



TRATTA L3: PV-E-9-MD SERVIZI
DI PROGETTAZIONE RELATIVI
AL TRATTO DA PAVIA A SAN
ROCCO AL PORTO (LO) DELLA
CICLOVIA TURISTICA NAZIONALE VENTO



PROGETTO FINANZIATO DAL PNRR:

Missione: M2 | Componente: C2 |
Investimento: 4.1 - Rafforzamento mobilità ciclistica |
Sub-intervento: 4.1.1 - Ciclovie turistiche

PROGETTO ESECUTIVO

COMMITTENTE:

Agenzia Interregionale per il fiume Po
Ufficio operativo di Pavia

D.E.C.: Arch. Luigi Caligiuri

R.U.P.: Ing. Marco La Veglia

Coordinatore dei progetti: Dott. Christian Farioli

CUP: B21B22000960008

**RESPONSABILE DELL'INTEGRAZIONE DELLE
PRESTAZIONI SPECIALISTICHE**

Dott. Agr. Mauro Perracino

Progettisti:

Ing. Giorgio Morini

Progettista strutturale:

Ing. Matteo Moratti, Prof. Ing. Gian Michele Calvi

Gruppo di progettazione:

Ing. Marco Salvadori, Ing. Tommaso Farchioni

Ing. Simone Lenzo, Ing. Marco Termine

Dott. Agr. Alessandro Maderna, Dott. Matteo Ruffoni,

Dott. Riccardo Inama, Dott. Manuele Bettoni,

Arch. Liliana Borrini, Ing. Khaled Breis, Arch. Valentina Lanati.

Geologo:

Dott. Geol. Maurizio Visconti

OGGETTO:

DOCUMENTI

PROGETTO:

**RELAZIONE DI CALCOLO STRUTTURALE OPERA D'ARTE MINORI 2B-1C-1D e NAVIGLIO
PAVESE**

n° elaborato

cod. elaborato

4.04

4258_PRO_E_STR_RC_01A

DATA 15.09.23

SCALA -

REVISIONE A

REDATTO

APPROVATO

VERIFICATO

SGL

MM

GMC



TAU Engineering S.r.l.
p.iva e c.f. 11045890966
Via Oslavia, 18/7
20134 Milano
t +39 02.26417244
tecnico@tauengineering.net
tau@pec.tauengineering.net
www.t-au.com



Studio Calvi S.r.l.
p.iva e c.f. 01673290183
Via Severino Boezio, 10
27100 Pavia
t +39 0382.538817
info@studiocalvi.eu
pec@pec.studiocalvi.eu
www.studiocalvi.eu/it/



Studio Associato Phytosfera
p.iva e c.f. 02015090182
Via Silvio Cappella, 14
27100 Pavia
t +39 0382.1902256
info@phytosfera.it
info@pec.phytosfera.it
www.phytosfera.it/



Signal S.r.l.
p.iva e c.f. 02667600031
Corso Lorenzo Cobiانchi, 72
28921 Verbania
t +39 339.2972479
info@signalitalia.it
signalitalia@pec.it
www.signalitalia.it

Relazione di calcolo strutturale opere d'arte minori 2B-1C-1D e Naviglio pavese

4.04_4258_PRO_E_STR_RC_01A

TABELLA DELLE REVISIONI

REV.	DATA	PREPARATO DA	CONTROLLATO DA	APPROVATO DA	NOTE
REV. 0	15/09/2023	Simone G. Lenzo, SGL	Matteo Moratti, MM	Gian Michele Calvi, GMC	

DESCRIZIONE DELLA REVISIONE:

REV. 0 Prima emissione

PER APPROVAZIONE DEL CLIENTE: _____

Copia controllata []

Distribuito a: _____

INDICE

1	INTRODUZIONE.....	9
2	PREMESSA E SCOPO DEL DOCUMENTO	10
3	NORMATIVE DI RIFERIMENTO	11
4	SINTETICA DESCRIZIONE DELL'INTERVENTO	12
4.1	ATTRAVERSAMENTO 2B – VALLE SALIMBENE.....	12
4.2	ATTRAVERSAMENTO 1C E 1D – SANTA MARGHERITA E TORRE DE NEGRI.....	16
4.3	MICROTRATTA NAVIGLIO PAVESE.....	22
5	CARATTERIZZAZIONE GEOTECNICA, GEOLOGICA E SISMICA	25
5.1	CARATTERIZZAZIONE GEOTECNICHE DEI TERRENI.....	25
5.1.1	Valle Salimbene – Pavia.....	25
5.1.2	Torre de Negri.....	28
5.1.3	Santa Margherita – Belgioioso.....	34
5.1.4	Naviglio Pavese.....	36
5.2	VALUTAZIONE DELLA SUSCETTIBILITÀ SISMICA DELL'AREA (VERIFICA DI II LIVELLO).....	37
5.2.1.1	Caratterizzazione sismica Valle Salimbene – Pavia	37
5.2.1.2	Caratterizzazione sismica Torre de Negri – Belgioioso - Linarolo.....	44
6	CRITERI PROGETTUALI	53
7	METODO DI CALCOLO	55
7.1	ANALISI STRUTTURALE MEDIANTE SAP2000	55
7.2	ANALISI STRUTTURALE MEDIANTE VCASLU (GELFI).....	55
7.3	ANALISI STRUTTURALE MEDIANTE PROFI (GELFI)	56
7.4	VALIDAZIONE DEI PROGRAMMI.....	56
7.5	CONVENZIONI DI SEGNO	56
8	ANALISI CONDOTTE.....	57
8.1	TIPI DI ANALISI.....	57
8.2	DESCRIZIONE DEI MODELLI NUMERICI.....	57
8.2.1	Ponte pedonale “2B”.....	58
8.2.2	Ponti pedonali “1C” e “1D”	60
9	CARATTERISTICHE DEI NUOVI MATERIALI	63
9.1	ACCIAIO PER CARPENTERIA METALLICA PONTI CICLOPEDONALI	63
9.2	ACCIAIO PER LAMIERA GRECATA.....	63

9.3	ACCIAIO PER PIOLATURA MECCANICA SOLETTA E TRAVI	63
9.4	BULLONI E TIRAFONDI PER CARPENTERIA METALLICA	64
9.5	CALCESTRUZZO	64
9.6	ACCIAIO PER C.A.	65
10	DURABILITA'	66
11	ANALISI DEI CARICHI STATICI	70
11.1	AZIONI DI CALCOLO PER GRAVITÀ.....	71
11.2	AZIONI PERMANENTI	72
11.2.1	Peso proprio delle strutture (G_1)	72
11.2.2	Carichi permanenti non strutturali (G_2)	72
11.3	AZIONI VARIABILI DA TRAFFICO	72
11.3.1	Carichi mobili	72
11.3.2	Incremento dinamico addizionale in presenza di discontinuità strutturali: q_2	73
11.3.3	Azione longitudinale di frenamento: q_3	73
11.3.4	Azione centrifuga: q_4	73
11.4	AZIONI VARIABILI.....	74
11.4.1	Azione di neve, vento: q_5	74
11.4.1.1	Carichi da neve	74
11.4.1.2	Carichi da vento	74
11.4.2	Azioni idrodinamiche: q_6	77
11.4.3	Azioni della temperatura: q_7	77
11.4.4	Azioni sui parapetti e Urto di veicoli in svio: q_8	77
11.4.5	Resistenze parassite dei vincoli: q_9	77
12	ANALISI DEI CARICHI SISMICI	78
12.1	PERIODO DI RIFERIMENTO PER L'AZIONE SISMICA	78
12.2	CATEGORIA DI SOTTOSUOLO	79
12.3	PARAMETRI DELLO SPETTRO DI RISPOSTA	79
12.4	SPETTRO DI RISPOSTA ELASTICO IN ACCELERAZIONE ORIZZONTALE	80
12.5	SPETTRO DI RISPOSTA ELASTICO IN ACCELERAZIONE VERTICALE	81
12.6	FATTORE DI COMPORTAMENTO Q	82
12.7	SPETTRO DI RISPOSTA DI PROGETTO	84
13	COMBINAZIONE DELLE AZIONI AGLI STATI LIMITE.....	85
13.1	COMBINAZIONI DELLE AZIONI	85
13.2	STATI LIMITE ULTIMI.....	86
13.3	DESCRIZIONE DELLE COMBINAZIONI ADOTTATE PER LE VERIFICHE STRUTTURALI.....	87
13.4	DESCRIZIONE DELLE COMBINAZIONI ADOTTATE PER LE VERIFICHE GEOTECNICHE.....	88

14 ANALISI MODALE	89
14.1 PASSERELLA "2B"	89
14.2 PASSERELLE "1C" E "1D"	91
15 VERIFICA DELLE REAZIONI ALLA BASE – PASSERELLE	93
15.1 PASSERELLA "2B"	93
15.2 PASSERELLA "1C"	94
15.3 PASSERELLA "1D"	95
16 VERIFICA DEI SISTEMI FONDAZIONALI	96
16.1 DESCRIZIONE	96
16.2 SOLLECITAZIONI TRAVE	97
16.2.1 Opere "2B"	97
16.2.2 Opere "1C" e "1D"	97
16.3 DIMENSIONAMENTO E VERIFICA ARMATURA LONGITUDINALE TRAVE	99
16.4 VERIFICA A TAGLIO – ARMATURA TRASVERSALE TRAVE.....	101
16.5 ARMATURA FRETTAGGIO E BAGGIOLI.....	103
16.6 MICROPALI	104
16.6.1 Area 2B.....	105
16.6.2 Area 1C.....	106
16.6.3 Area 1D.....	107
17 VERIFICHE DI RESISTENZA (SLU) DEGLI ELEMENTI METALLICI - PASSERELLE.....	108
17.1 PASSERELLA "2B"	108
17.1.1 Verifica a Flessione e taglio Travi principali HEB280 impalcato	108
17.1.2 Verifica a Flessione e taglio Travi secondarie di irrigidimento HEB160 impalcato	109
17.2 PASSERELLE "1C E 1D"	110
17.2.1 Verifica a Flessione e taglio Travi principali HEB280 impalcato	110
17.2.2 Verifica a Flessione e taglio Travi secondarie HEB160 impalcato	112
18 VERIFICHE IN ESERCIZIO (SLE) - PASSERELLE.....	114
18.1 VERIFICA A DEFORMAZIONE DELL'IMPALCATO	114
18.1.1 Passerella "2B"	114
18.1.2 Passerelle "1C e "1D"	116
19 VERIFICA DELLA SOLETTA COLLABORANTE CON LAMIERA GRECATA	118
19.1 PROGETTO DEI CONNETTORI A TAGLIO -SCORRIMENTO	118
19.1.1 Passerella "2B"	118
19.1.1.1 Travi principali	118
19.1.2 Passerelle "1C e 1D"	119

19.1.2.1	Travi secondarie.....	119
19.2	VERIFICA DELLA LAMIERA GRECATA	121
19.2.1	<i>Verifiche di Fase 1</i>	<i>121</i>
19.2.1.1	Flessionale (con cariche allo SLE).....	121
19.2.1.2	Taglio (SLE).....	122
19.2.1.3	Deformazione (SLE)	122
19.2.2	<i>Verifiche di Fase 2</i>	<i>123</i>
19.2.2.1	Flessionale (SLU)	123
1.1.1.1	Taglio (SLU).....	126
19.2.2.2	Sollecitazioni SLE.....	129
19.2.2.3	Tensioni agenti.....	132
19.2.2.4	Verifica SLE a fessurazione	136
19.2.2.5	Verifica SLE a tensione.....	137
20	PROGETTO E VERIFICA SISTEMA DI APPOGGIO	138
20.1	PASSERELLA “2B”.....	138
20.2	PASSERELLA “1C E 1D”.....	141
21	VERIFICHE DI RESISTENZA (SLU) CONNESSIONI	144
21.1	PASSERELLA “2B”	144
21.1.1	<i>Connessione 1 – Trave principale e secondaria</i>	<i>144</i>
21.1.1.1	Verifica a taglio – trazione gambo dei bulloni	145
21.1.1.2	Verifica a rifollamento piastre	145
21.1.1.3	Verifica tensionale piastre	146
21.1.1.4	Verifica dei cordoni di saldatura – Piatto 3	146
21.1.1.5	Verifica dei cordoni di saldatura – Piatto 2	147
21.1.1.6	Verifica dei cordoni di saldatura – Piatto 1	148
21.2	PASSERELLA “1C E 1D”.....	149
21.2.1	<i>Connessione 1 – Trave principale e secondaria</i>	<i>149</i>
21.2.1.1	Verifica a taglio – trazione gambo dei bulloni	150
21.2.1.2	Verifica a rifollamento piastre	150
21.2.1.3	Verifica tensionale piastre	151
21.2.1.4	Verifica dei cordoni di saldatura – Piatto 3	151
21.2.1.5	Verifica dei cordoni di saldatura – Piatto 2	152
21.2.1.6	Verifica dei cordoni di saldatura – Piatto 1	153
22	VERIFICHE PARAPETTO.....	154
22.1.1.1	Dettagli parapetti in acciaio.....	154

22.1.1.2	Verifiche strutturali.....	155
23	VERIFICHE GEOTECNICHE MURI DI SOSTEGNO NAVIGLIO PAVESE	158
23.1	MURO DI SOSTEGNO LATO NAVIGLIO PAVESE.....	158
23.2	MURO DI SOSTEGNO LATO STRADA (VIALE VENEZIA).....	162
24	VERIFICHE STRUTTURALI MURI DI SOSTEGNO NAVIGLIO PAVESE	166
24.1	PARAMENTI VERTICALI.....	166
24.1.1	Verifica a flessione.....	166
24.1.2	Verifica a taglio	167
24.2	CIABATTE DI FONDAZIONE.....	169
24.2.1	Verifiche a flessione.....	169
24.2.1.1	Lato Naviglio pavese	169
24.2.1.2	Lato strada Viale Venezia.....	170
24.2.2	Verifiche a taglio	171
24.2.2.1	Lato Naviglio pavese	171
24.2.2.2	Lato strada – Viale Venezia.....	173

1 INTRODUZIONE

La ciclovia VENTO è il progetto di un'infrastruttura ciclabile che corre per oltre 700 km lungo gli argini del fiume Po. Il percorso si sviluppa da Venezia a Torino, con una diramazione per il collegamento a Milano lungo il Naviglio Pavese, attraversando 4 regioni (Piemonte, Lombardia, Emilia Romagna e Veneto), 10 province, 3 città metropolitane e 116 comuni.

La presente elaborazione riguarda il servizio di progettazione esecutiva della Tratta L3, appartenente al Lotto Funzionale II della Ciclovia Vento, un percorso di circa 75 km da Pavia a San Rocco al Porto (LO), alle porte della città di Piacenza, che si sviluppa per la maggior parte sull'argine maestro del Po in sinistra idraulica.

L'Associazione Temporanea di Imprese "TAU - Calvi - Phytosfera - Signal", con mandataria Tau Engineering S.r.l., è risultata aggiudicataria con Determina Dirigenziale n. 1095 del 11/10/2022 dell'incarico relativo ai servizi di progettazione della ciclovia Vento con riferimento al Lotto II (PV-E-9-MD).

L'appalto è stato aggiudicato mediante Procedura Aperta (CIG 9339809E32) di cui all'art. 60 del D.Lgs. n. 50/2016 e s.m.i. con il criterio di selezione dell'offerta "economicamente più vantaggiosa" (OEV) di cui all'art. 95, comma 2 del D.Lgs. 50/2016 e s.m.i..

La relazione è redatta ai sensi dell'art. 18 del D.P.R. 5 ottobre 2010, n. 207, recante Regolamento di esecuzione ed attuazione del decreto legislativo 12 aprile 2006, n. 163, recante «Codice dei contratti pubblici relativi a lavori, servizi e forniture in attuazione delle direttive 2004/17/CE e 2004/18/CE».

L'attività progettuale è identificata come *LOTTO 2: PV-E-9-MD - Servizio di progettazione esecutiva comprensiva anche degli elementi del progetto definitivo indispensabili per l'acquisizione dei pareri degli Enti competenti in sede di CDS, coordinamento sicurezza in progettazione, n. 1 direttore operativo, n. 1 ispettore di cantiere, contabilità dei lavori, coordinamento della sicurezza in esecuzione ed analisi storiografica aree progetto ai fini della valutazione del rischio di ritrovamento ordigni bellici inesplosi relativo alla tratta L3 della ciclovia turistica nazionale VENTO. C.I.G. 9339809E32 - C.U.P. B21B22000960008.*

Il progetto è finanziato dal PNRR e dal Piano Lombardia.

La seguente relazione è redatta dal raggruppamento temporaneo costituito da TAU Engineering (Capogruppo), Studio Calvi s.r.l. (mandante) e Phytosfera (Mandante).

I tecnici incaricati della stesura e firma del presente documento sono il Prof. Ing. Gian Michele Calvi (iscrizione all'albo di Pavia al n. 1036) e l'Ing. Matteo Moratti (iscrizione all'albo di Genova al n. 7845), entrambi per Studio Calvi S.r.l., con sede in via Boezio, n. 10 a Pavia.

Gli aspetti architettonici sono stati seguiti dall'arch. Valentina Lanati e hanno contribuito al progetto l'ing. Simone G. Lenzo, l'ing. Marco Termine, l'ing. Khaled Breis e l'arch. Liliana Borrini.

Si riportano di seguito i calcoli strutturali delle opere d'arte di nuova costruzione.

2 PREMESSA E SCOPO DEL DOCUMENTO

Il presente documento costituisce la Relazione tecnica di calcolo delle opere strutturali a corredo del progetto esecutivo strutturale, denominate da qui in seguito "opere minori", per n.3 nuovi attraversamenti ciclo-pedonali da realizzarsi in prossimità delle località:

1. Area 2B – Valle Salimbene (Pavia) - LAT: 45.17174 LONG: 9.21611;
2. Area 1C – Santa Margherita (Pavia) - LAT: 45.147956 LONG: 9.30752;
3. Area 1D -Torre Dè Negri (Pavia) - LATITUDINE: 45.147972 LONGITUDINE: 9.340453

e dei muri di sostegno per la realizzazione della pista ciclopedonale nella microtratta del Naviglio Pavese.

3 NORMATIVE DI RIFERIMENTO

Nel seguito si adotta come riferimento quanto disposto dalle seguenti normative nazionali:

- [1] "Norme tecniche per le costruzioni" (D.M. del 17 gennaio 2018) pubblicato su S.O. n. 8 alla G.U. 20 febbraio 2018, n.42 (in seguito denominata "NTC");
- [2] "Istruzioni per l'applicazione dell'«Aggiornamento delle "Norme tecniche per le costruzioni". Sul supplemento ordinario n. 5 alla Gazzetta ufficiale n. 35 dell'11 febbraio 2019 è stata pubblicata la Circolare del Ministero delle infrastrutture e dei trasporti 21 gennaio 2019, n. 7 del Consiglio superiore dei Lavori Pubblici recante» di cui al decreto ministeriale 17 gennaio 2018";
- [3] D.M. 16 febbraio 2007: "Classificazione di resistenza al fuoco di prodotti ed elementi costruttivi di opere da costruzione";
- [4] D.M. 9 marzo 2007: "Prestazioni di resistenza al fuoco delle costruzioni nella attività soggette al controllo del Corpo Nazionale dei Vigili del Fuoco";
- [5] D.M. 25 ottobre 2007: "Reazione al fuoco";
- [6] DM 3 agosto 2015: "Codice Prevenzione incendi".

Per quanto non in contrasto con le precedenti normative si adotta inoltre quanto suggerito dalle seguenti norme volontarie:

- [7] UNI EN 1992-1-1:2015. Eurocodice 2: "Progettazione delle strutture in calcestruzzo – Parte 1-1: Regole generali e regole per gli edifici"
- [8] UNI EN 206:2016: "Calcestruzzo – Specificazione, prestazione, produzione e conformità"
- [9] UNI 11104:2016: "Calcestruzzo – Specificazione, prestazione, produzione e conformità – Istruzioni complementari per l'applicazione della EN 206"
- [10] UNI EN 1992-1-2:2019. Eurocodice 2: "Progettazione delle strutture di calcestruzzo - Parte 1-2: Regole generali - Progettazione strutturale contro l'incendio"

4 SINTETICA DESCRIZIONE DELL'INTERVENTO

I tre nuovi attraversamenti ciclopeditoni della tratta L3 (da Pavia a San Rocco al porto), della ciclovia nazionale Vento, vengono realizzati nelle tre diverse aree intervento:

1 Area 2B – Valle Salimbene (Pavia) - LAT: 45.17174 LONG: 9.21611;

2 Area 1C – Santa Margherita (Pavia) - LAT: 45.147956 LONG: 9.30752;

3 Area 1D -Torre Dè Negri (Pavia) - LAT: 45.147972 LONG: 9.340453

4.1 ATTRAVERSAMENTO 2B – VALLE SALIMBENE

L'attraversamento 2B, situato nel tratto rurale dell'antico meandro a Pavia, prevede la realizzazione di un ponte ciclopeditone per scavalcare la roggia Belvedere, canale irriguo a servizio agricolo.

È costituito da un impalcato di luce rispettivamente di 9,25 m ed una larghezza complessiva di 4,06 m, realizzato in struttura mista acciaio-clt. La larghezza netta interna percorribile è pari a 3,50 m.

Per l'accesso alla passerella sono previste due rampe di accesso in rilevato (pendenza scarpata a 2/3) di lunghezza rispettiva di 28,75 m e 35,45 m con pendenza inferiore al 5%.

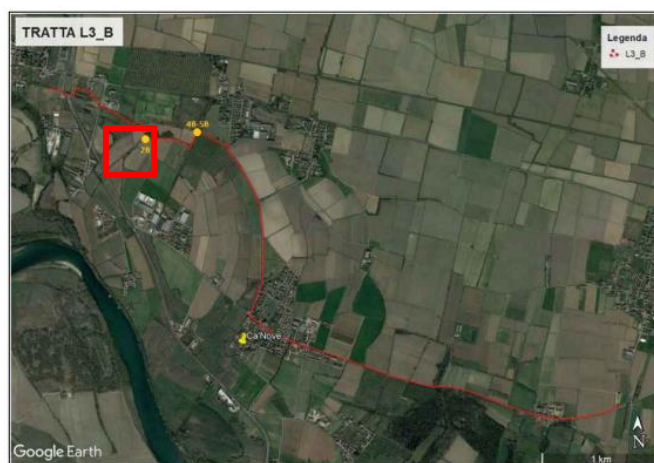


Figura 1 Inquadramento tratta L3 – Microtratta B – Opera 2B (in riquadro)

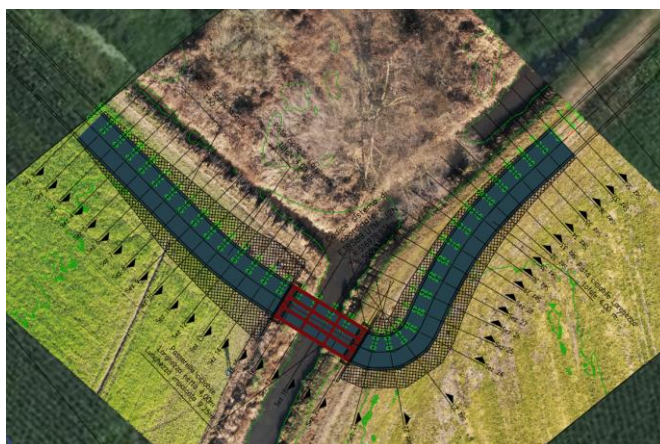


Figura 2 Planimetria del tracciato (locale) – Ponte pedonale 2B

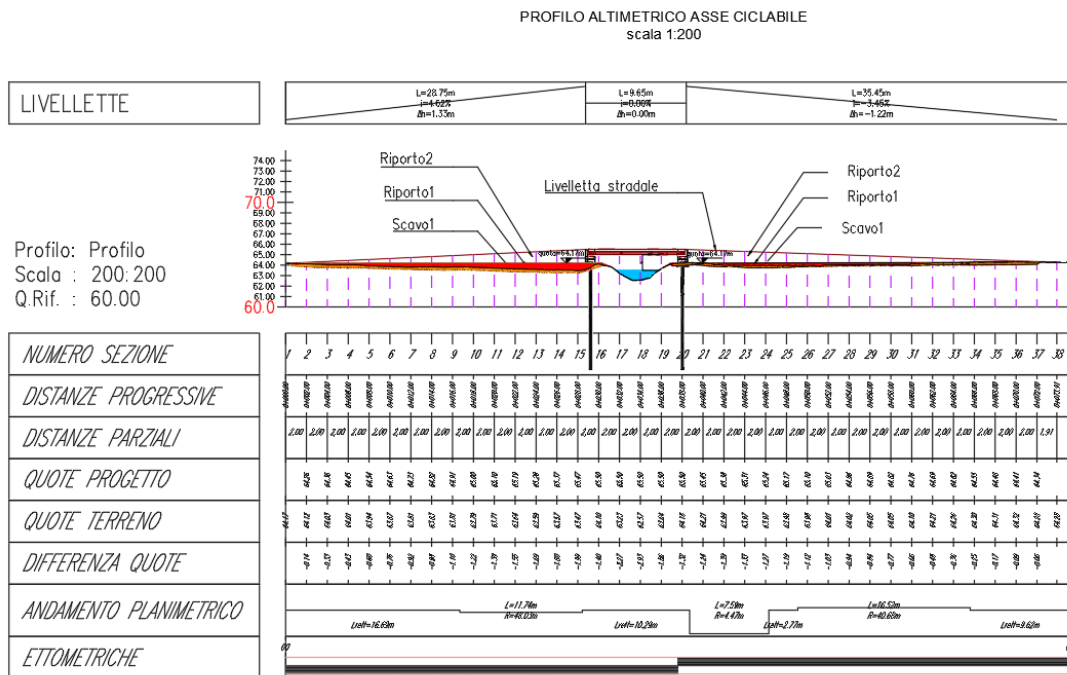


Figura 3 Profilo altimetrico – Ponte pedonale 2B

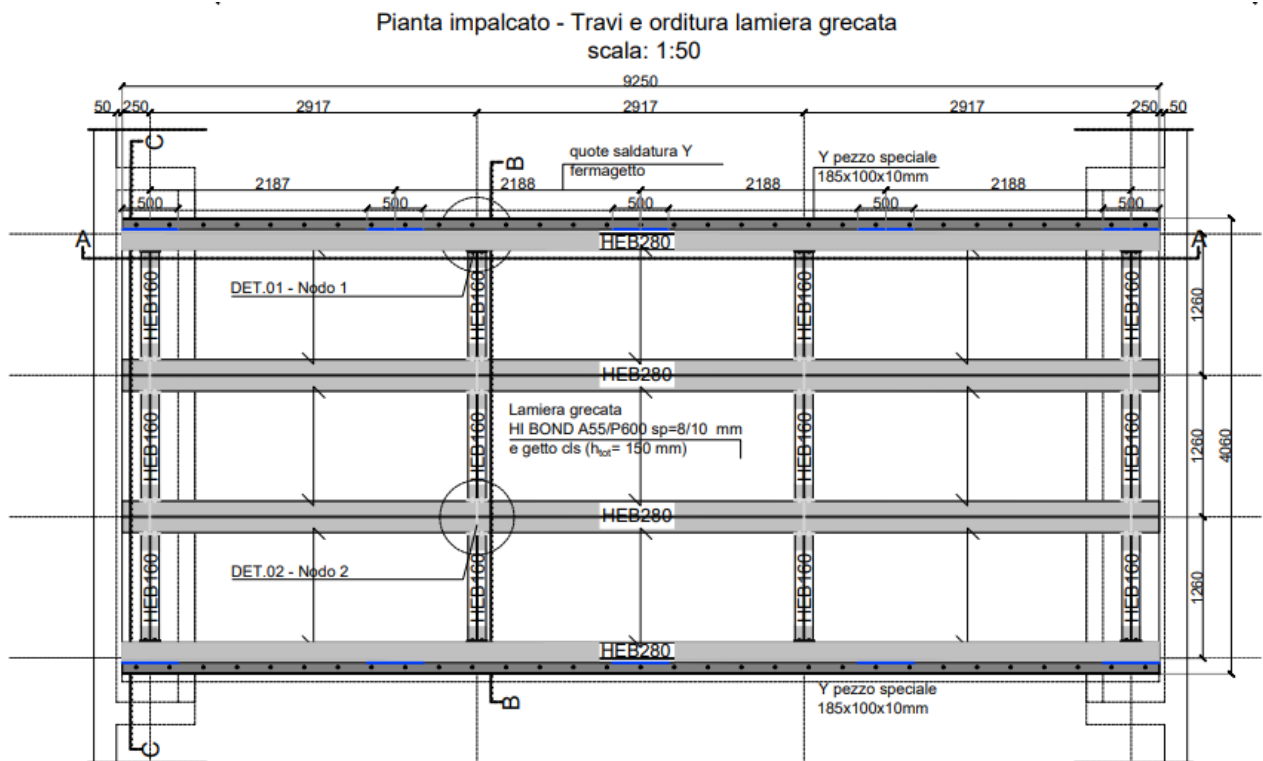


Figura 4 Pianta strutturale impalcato – Ponte pedonale 2B

L'impalcato del ponte pedonale 2B prevede uno schema portante costituito da n.4 travi principali HEB280, con interasse 1,26 m e soletta collaborante con lamiera grecata (lamiera grecata HI-BOND A55/P 600) dello spessore complessivo di 0,15 m, ordita perpendicolarmente ad esse. Sono presenti anche travi secondarie HEB 160, con solo ruolo di irrigidimento trasversale, con interasse di 2,92 m.

I profili in acciaio hanno classe di resistenza S275J2-EXC3 mentre il calcestruzzo della soletta C30/37.

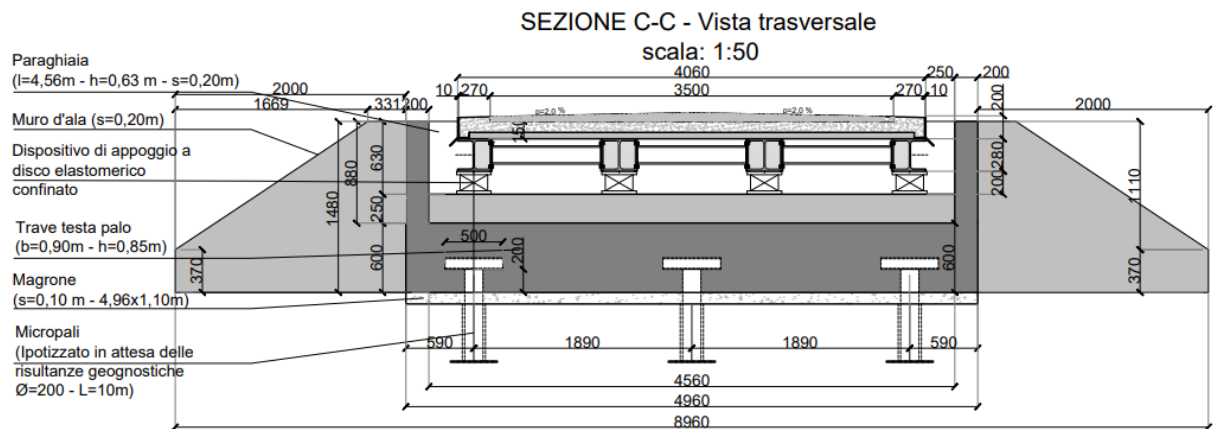


Figura 5 Viste trasversali B-B e C-C – impalcato e spalle 2B

Lo schema statico è appoggio-appoggio su n.2 spalle in c.a. (travi testa palo di dimensione 0,90x0,85 con risega di 0,15m) poggianti su n.3 micropali di fondazione di L=15m, tubolare 139,7x8mm e Ø foro =200mm

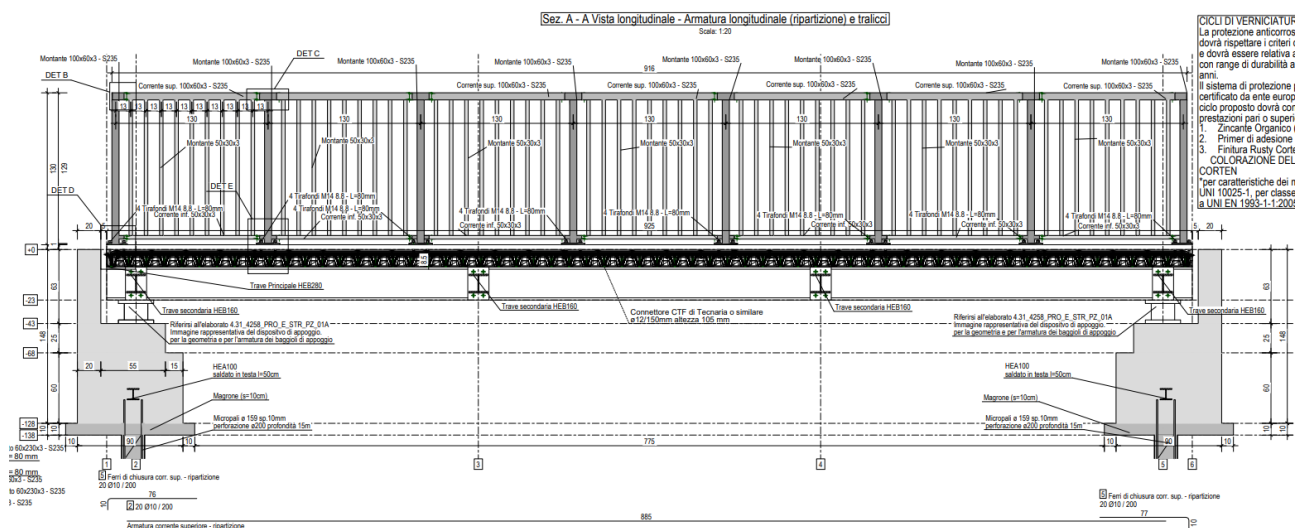


Figura 6 Vista longitudinale impalcato – Ponte pedonale 2B

Per le finiture del ponte è prevista una pavimentazione stradale in conglomerato con legante trasparente (similare a EVIzero) e parapetti in acciaio S235J2 con altezza montanti pari a 1,30 m realizzati con profili scatolari (come in XX) fissati ogni 1,30 m ai cordoli laterali in cls con piastra di ancoraggio e n.4 tirafondi M14 8.8 di lunghezza 80mm.



4.2 ATTRAVERSAMENTO 1C E 1D – SANTA MARGHERITA E TORRE DE NEGRI

L'attraversamento 1C, situato a Santa Margherita (Pavia), in corrispondenza dello sbarramento idraulico per gli eventi di piena del fiume Po, prevede la realizzazione di un ponte ciclopedonale (a scavalco della roggia esistente) costituito da un impalcato di luce rispettivamente di 6,75 m ed una larghezza complessiva di 4,06 m, realizzato in struttura mista acciaio-clt. La larghezza netta interna percorribile è pari a 3,50 m.

Per l'accesso alla passerella è prevista da lato strada una rampa di accesso in salita di lunghezza rispettiva di circa 24 m (Rampa 1 – Pista 2 – vedi Figura 9), pianerottolo di arrivo di L=4,00 m e rampa di accesso ai campi in discesa di L=40m (Rampa 2 – Pista 2– vedi Figura 9), con pendenza inferiore al 5%. Il collegamento alla pista ciclopedonale, una volta superata la passerella, avviene con rampa di lunghezza di circa 28,45 m e pendenza al 5% (Pista 1– vedi Figura 9).



Figura 8 Inquadramento tratta L3 – Microtratta C – Opera 1C (in riquadro rosso)

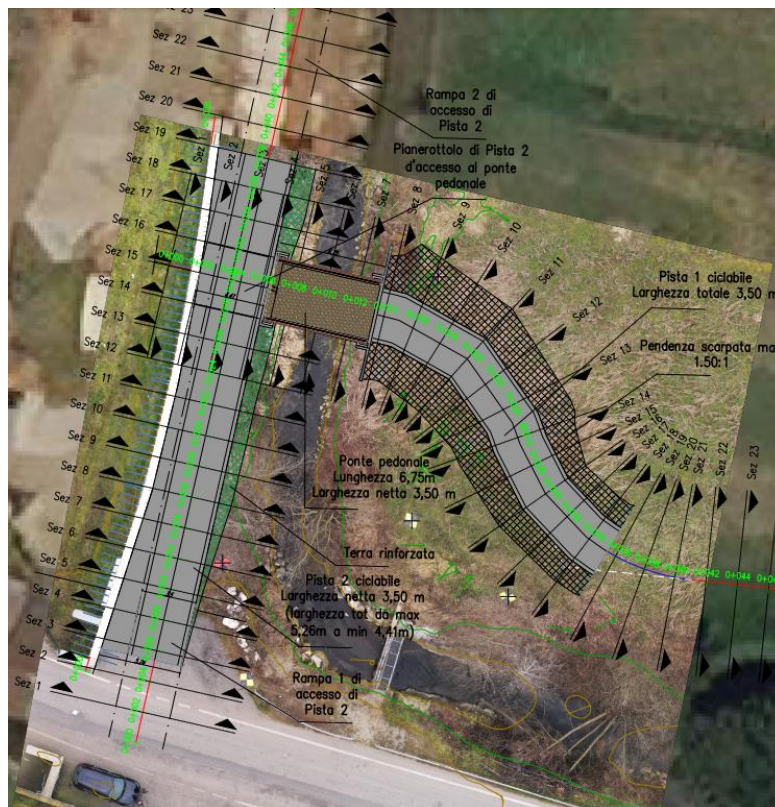


Figura 9 Planimetria del tracciato (locale) – Ponte pedonale 1C

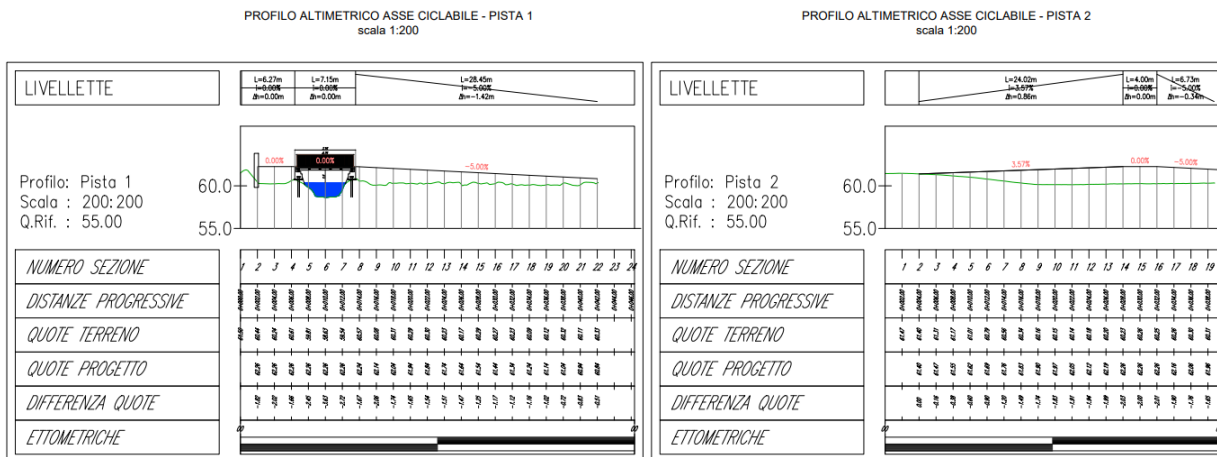


Figura 10 Profilo altimetrico – Ponte pedonale 1C

L'attraversamento 1D, situato a Torre Dè Negri (Pavia), sul terreno agricolo del consorzio irriguo utenti Torre de Negri parallelamente alla strada provinciale 9, prevede la realizzazione di un ponte ciclopeditonale (a scavalco del canale artificiale esistente) costituito da un impalcato di luce rispettivamente di 6,75 m ed una larghezza complessiva di 4,06 m, realizzato in struttura mista acciaio-clt. La larghezza netta interna percorribile è pari a 3,50 m.

Per l'accesso alla passerella sono previste due rampe di accesso di lunghezza di circa 50 m, con pendenza del 5%.

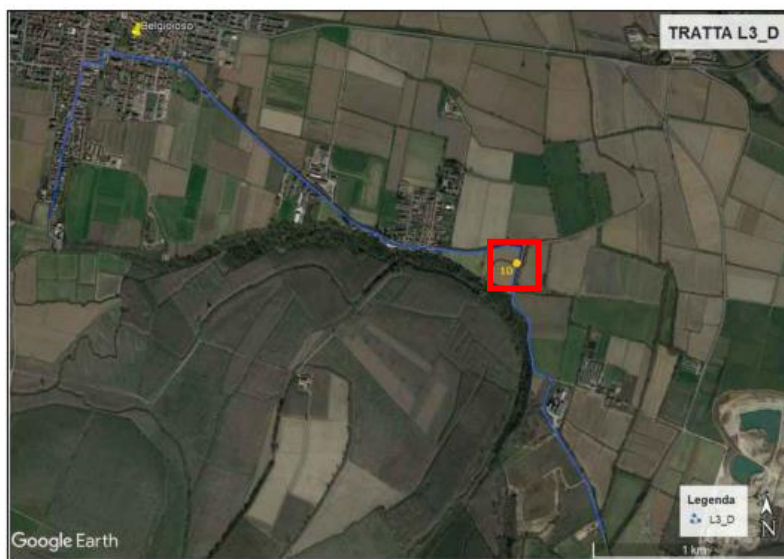


Figura 11 Inquadramento tratta L3 – Microtratta D – Opera 1D (in riquadro rosso)

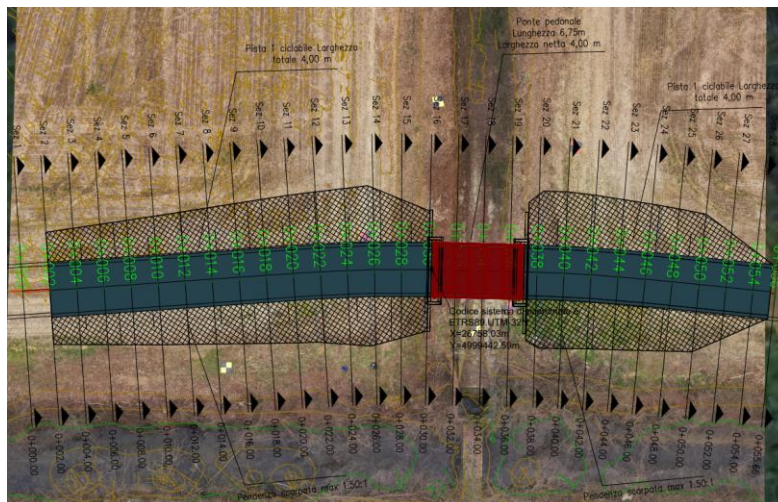


Figura 12 Planimetria del tracciato (locale) – Ponte pedonale 1D

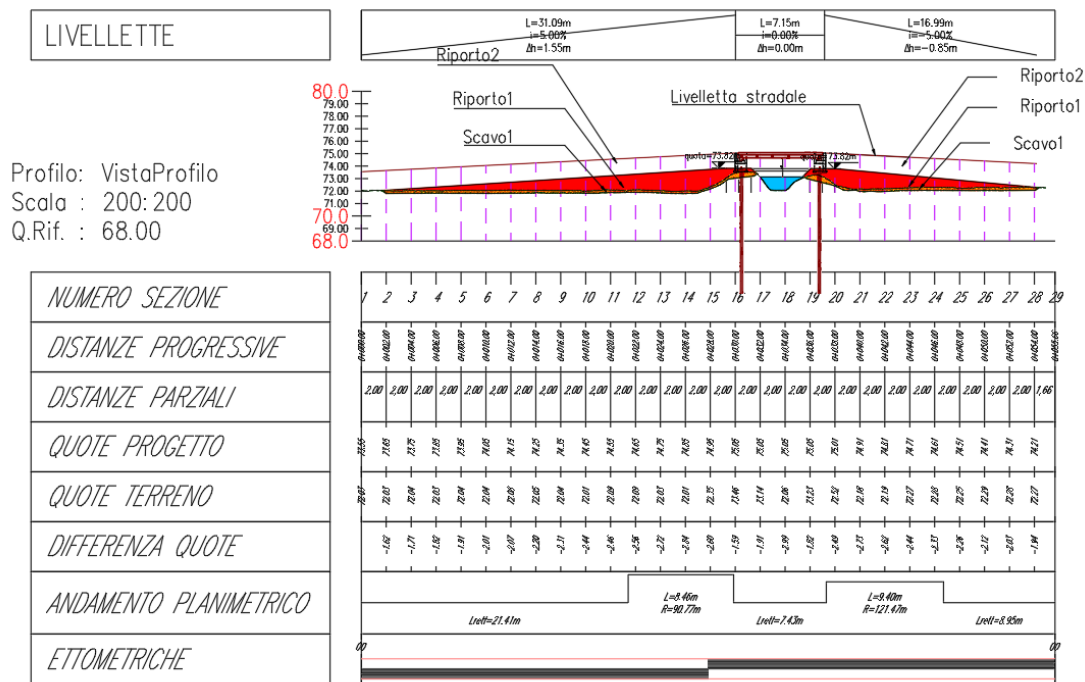


Figura 13 Profilo altimetrico – Ponte pedonale 1D

I ponti pedonali 1C e 1D sono costituiti da un impalcato di luce rispettivamente di 6,75 m ed una larghezza complessiva di 4,06 m realizzato in struttura mista acciaio-clt. La larghezza netta interna percorribile è pari a 3,50 m.

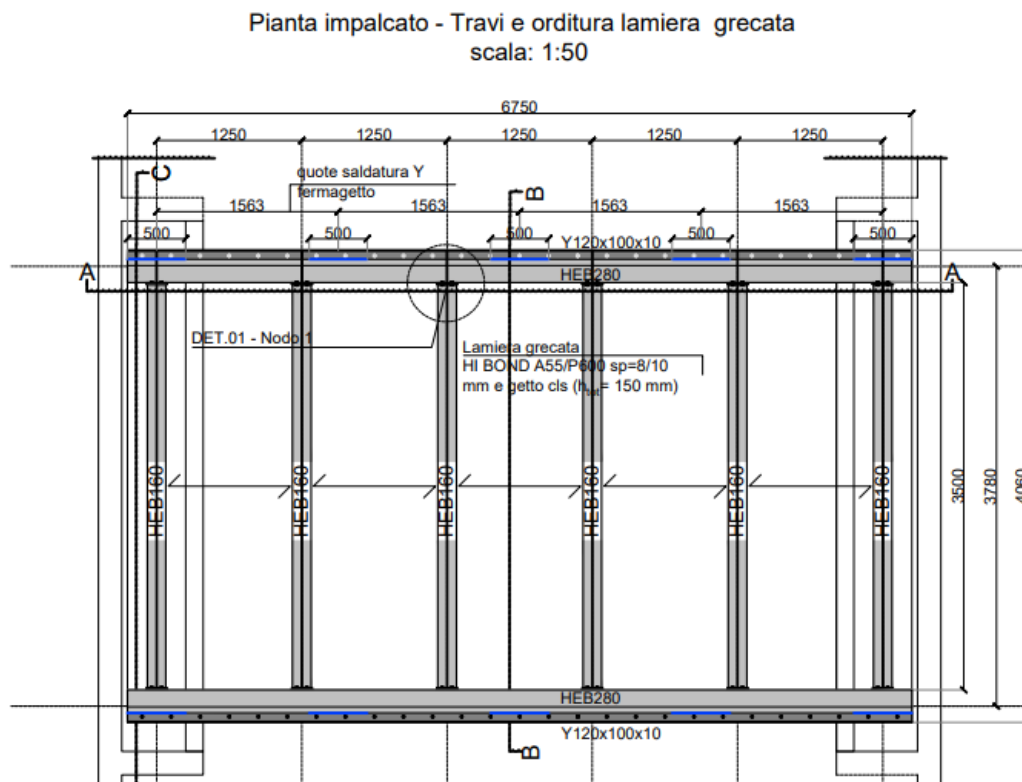


Figura 14 Pianta impalcato – Ponte pedonale 1C e 1D

I profili in acciaio hanno classe di resistenza S275J2-EXC3 mentre il calcestruzzo della soletta C30/37.

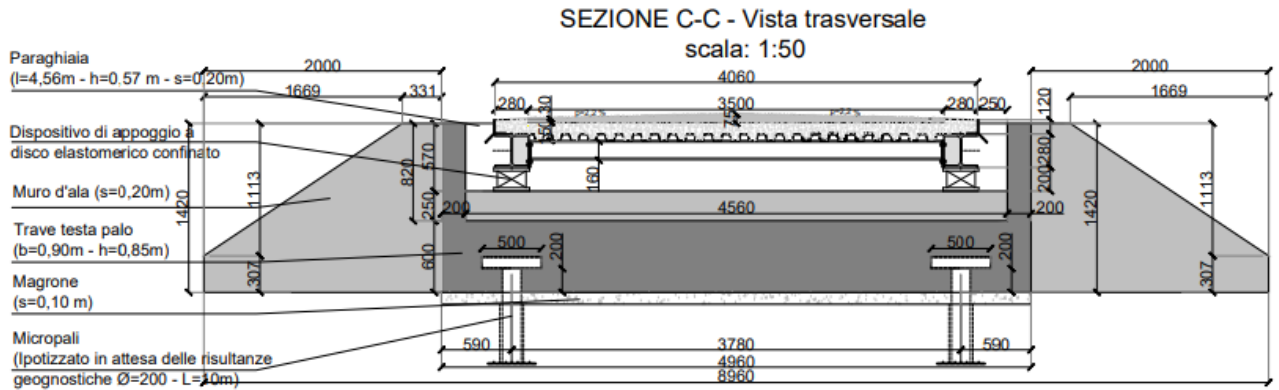


Figura 15 Viste trasversali B-B e C-C – impalcato e spalle 1C e 1D

Lo schema statico è appoggio-appoggio su n.2 spalle in c.a. (travi testa palo di dimensione 0,90x0,85 con risega di 0,15m) poggianti su n.2 micropali di fondazione di L=15m, tubolare 139,7x8mm e Ø foro =200mm

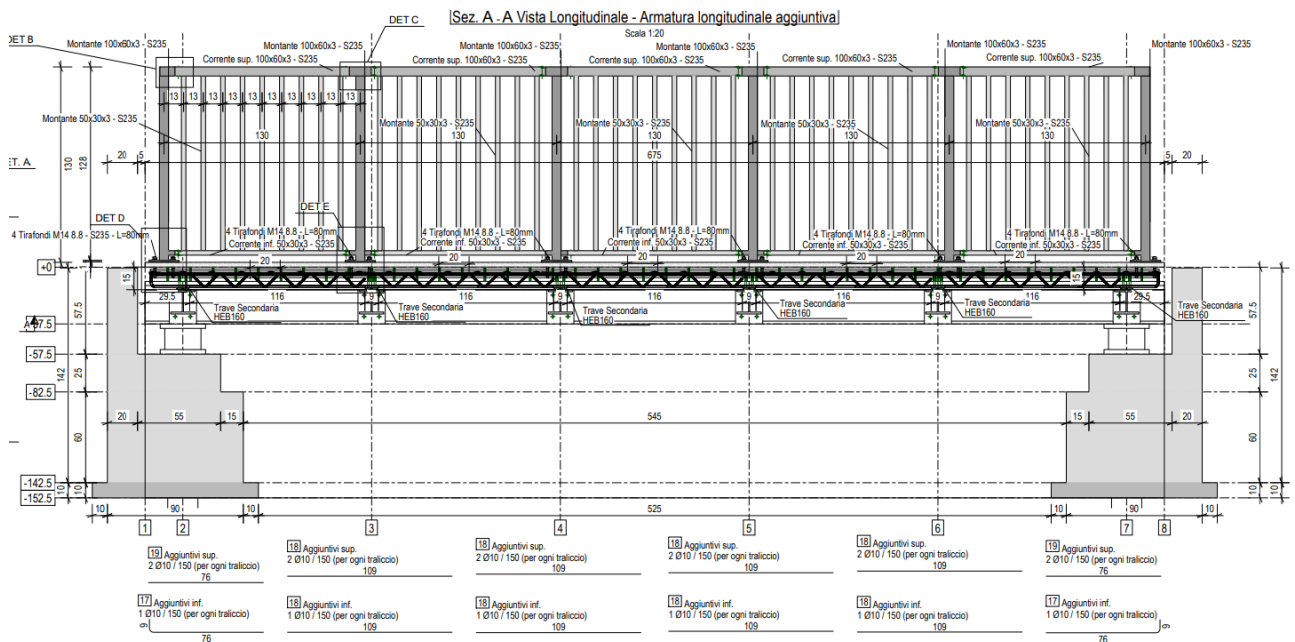


Figura 16 Vista longitudinale impalcato – Ponti pedonali 1C e 1D

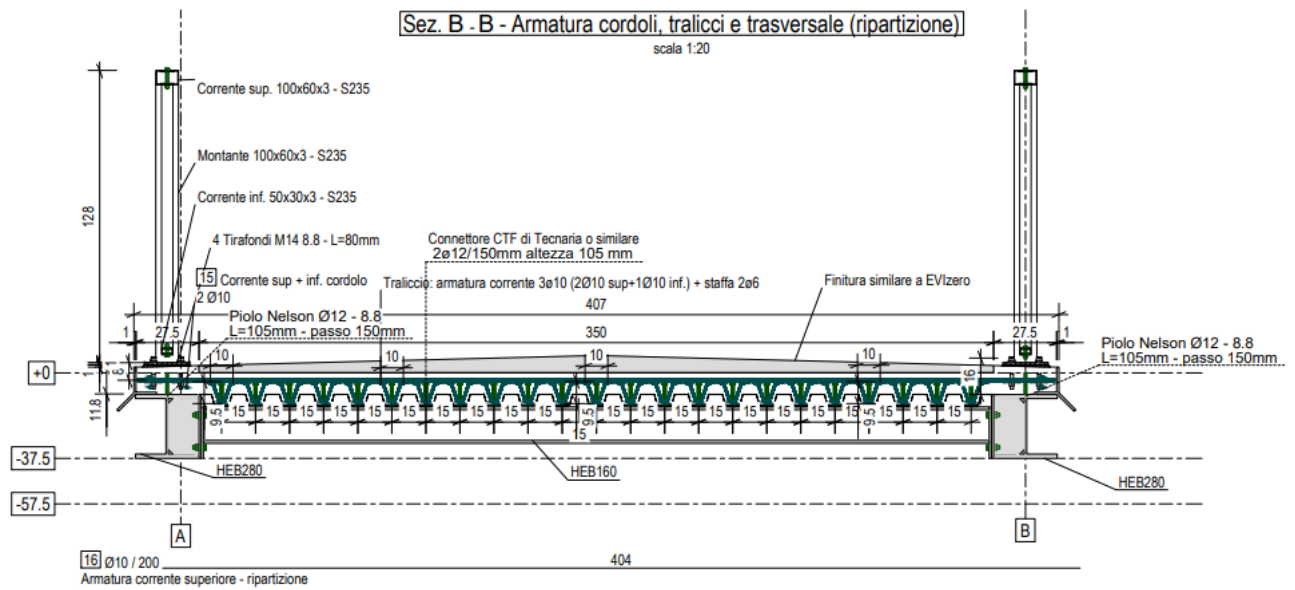


Figura 17 Vista trasversale impalcato – Ponti pedonali 1C e 1D

4.3 MICROTRATTA NAVIGLIO PAVESE



Figura 18 Tratta L3 – Microtratta Naviglio pavese

Dall'incrocio tra Viale Partigiani e Viale Venezia in Pavia, a ridosso dell'argine del Naviglio, è prevista la realizzazione della microtratta Naviglio Pavese: inizio/fine della Tratta L3 della ciclovia Nazionale Vento.

La pista ciclopedonale è di larghezza variabile da 2,50m (per circa 480m) a 3,50 m (nei restanti 70m terminali del percorso) verso il confluente.

Nella pagina seguente vengono proposti alcune immagini per l'opera in progetto. Per tutti i dettagli riferirsi agli elaborati:

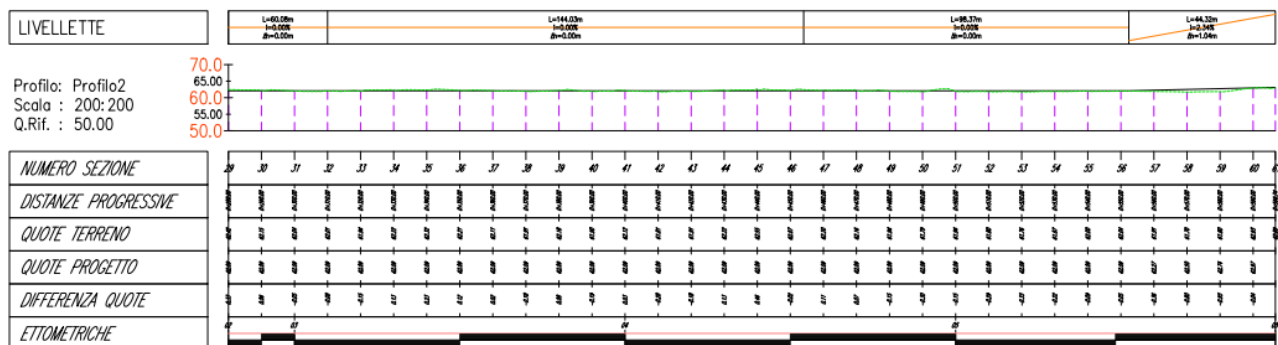
- 4.67 4258 PRO E STR PZ 01A;
- 4.68 4258 PRO E STR PZ 02A
- 4.69 4258 PRO E STR PZ 01A
- 4.70 4258 PRO E STR PZ 02A
- 4.71 4258 PRO E STR PZ 03A
- 4.72 4258 PRO E STR PZ 01A



Tratta L3 – Microtratta Naviglio pavese – Viste 3D

AIPO - AGENZIA INTERREGIONALE PER IL FIUME PO
 LOTTO 2: PV-E-9-MD SERVIZI DI PROGETTAZIONE RELATIVI ALLA TRATTA L3 DA PAVIA
 A SAN ROCCO AL PORTO (LO) DELLA CICLOVIA TURISTICA NAZIONALE VENTO

PROGETTO ESECUTIVO
 RELAZIONE DI CALCOLO STRUTTURALE OPERE D'ARTE MINORI 2B-1C-1D E NAVIGLIO PAVESE



Tratta L3 – Microtratta Naviglio pavese – Profilo piano altimetrico

5 CARATTERIZZAZIONE GEOTECNICA, GEOLOGICA E SISMICA

Per le caratteristiche geologiche, geotecniche e sismiche del terreno per le opere d'arte di nuova realizzazione in esame fare riferimento al documento "1.07_4258_PRO_D_GEN_RG_01A" del progetto definitivo e al successivo documento emesso dal dottore Geologo Visconti in fase di progettazione esecutiva.

Si riportano alcuni stralci del documento "1.07_4258_PRO_D_GEN_RG_01A"

5.1 CARATTERIZZAZIONE GEOTECNICHE DEI TERRENI

5.1.1 VALLE SALIMBENE – PAVIA

INDAGINE PENETROMETRICA DPSH 30



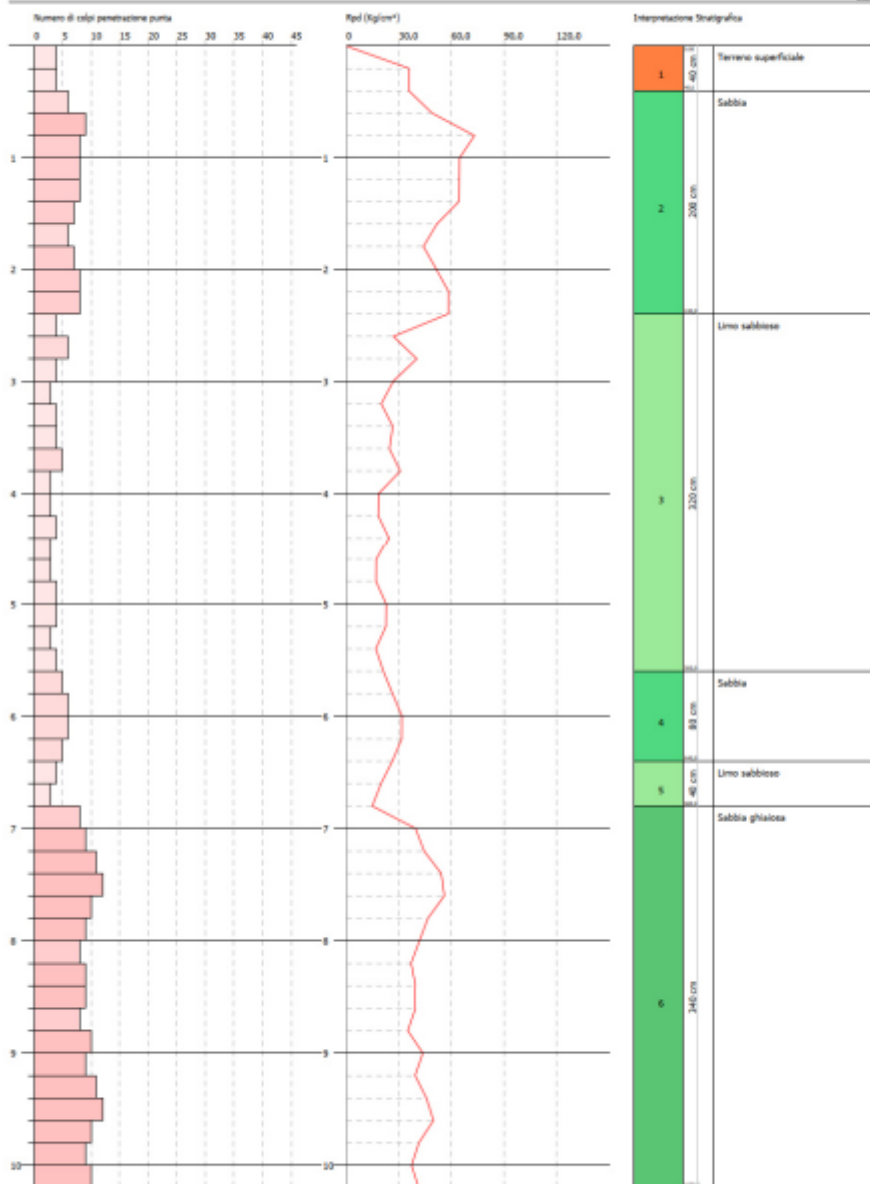
Figura 19 Prova DPSH 30 – Valle Salimbene - Pavia

PROVA PENETROMETRICA DINAMICA DPSH 30
 Strumento utilizzato... DPSH TG 63-200 PAGANI

Committente: A.I.Po
 Descrizione: CICLOVIA VENTO - TRATTA L3 - PV-E-9-MD - PMR - HQ2 04.1
 Località: SAN ROCCO AL PORTO - PAVIA

Data: 23/12/2022

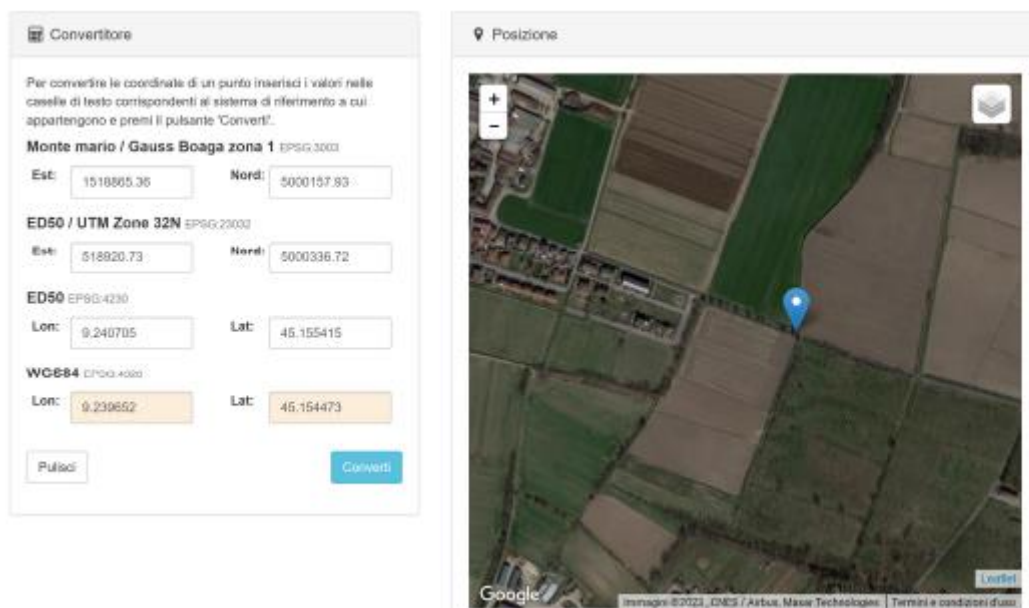
Scala 1:44



DPSH 30

Al di sotto di uno spessore di circa 40 centimetri di terreno superficiale si riscontrano strati di sabbia e limo sabbioso fino a 6,80 metri, segue sabbia ghiaiosa fino a 10,20 metri.

Figura 20 Prova DPSH 30 – Valle Salimbene – Pavia - Risultati



MODELLO GEOLOGICO – PARAMETRI GEOTECNICI DPSH 30

Strato	Profondità	Nspt	Tipo	Peso Unità di Volume (t/m³)	Peso Unità di Volume Saturato (t/m³)	Fi (°)	Cu Kg/cm²	Modulo Edometrico (Kg/cm²)	Modulo Elastico (Kg/cm²)	Modulo Poisson	Modulo di taglio G (Kg/cm²)	Velocità onde di taglio (m/s)
1	0,4	5,88	Incoerente	1,42	1,89	32,04	0	39,54	47,04	0,34	343,66	68,13
2	2,4	11,03	Incoerente	1,49	1,93	34,06	0	50,12	88,24	0,33	620,78	110,58
3	5,6	5,6	Incoerente	1,42	1,88	31,92	0	38,97	44,8	0,34	328,25	120,44
4	6,4	8,09	Incoerente	1,45	1,9	32,93	0	44,08	64,72	0,34	463,86	138,8
5	6,8	5,14	Incoerente	1,41	1,88	31,73	0	38,02	41,12	0,34	302,84	130,7
6	10,2	14,19	Incoerente	1,53	1,95	35,19	0	56,61	113,52	0,33	786,64	163,6

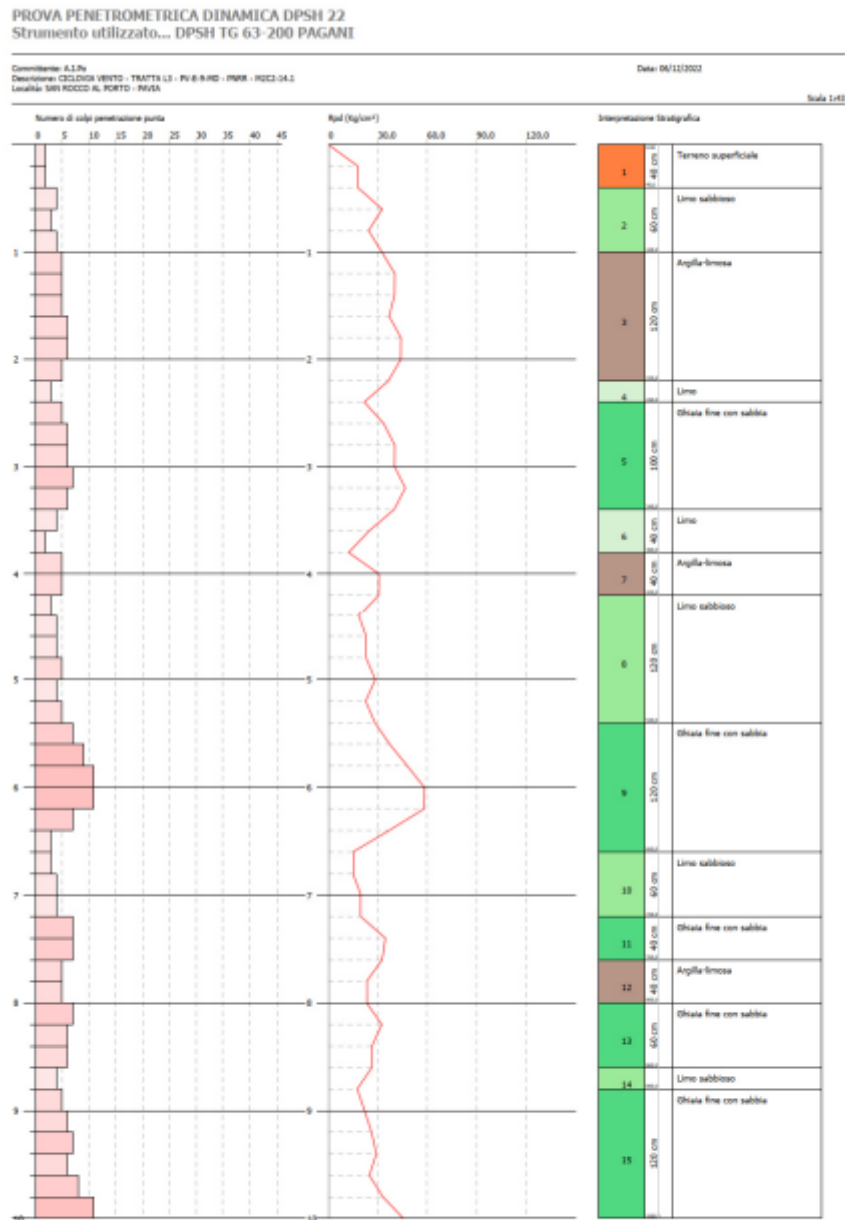
Figura 21 Prova DPSH 30 – Valle Salimbene – Pavia – modello geotecnico

5.1.2 TORRE DÉ NEGRI

INDAGINE PENETROMETRICA DPSH 22



Figura 22 Prova DPSH 22 - Torre dè Negri – Pavia



DPSH 22

Al di sotto di uno spessore di circa 40 centimetri di terreno superficiale si riscontrano limi sabbiosi/argilla limosa fino 2,40 metri, a seguire una sequenza di livelli sabbioso ghiaiosi/limosi/limoso sabbiosi/argilloso limosi fino a fine prova (10 metri).

Figura 23 Prova DPSH 22 - Torre dè Negri – Pavia - Risultati

Convertitore

Per convertire le coordinate di un punto inserisci i valori nelle caselle di testo corrispondenti al sistema di riferimento a cui appartengono e premi il pulsante "Converti".

Monte Mario / Gauss Boaga zona 1 EPSG:3003

Est: Nord:

ED50 / UTM Zone 32N EPSG:32032

Est: Nord:

ED50 EPSG:31433

Lon: Lat:

WGS84 EPSG:4326

Lon: Lat:

Posizione

Google

Immagini ©2022, CNES / Airbus, Maxar Technologies | Termini e condizioni d'uso

MODELLO GEOLOGICO – PARAMETRI GEOTECNICI DPSH 22

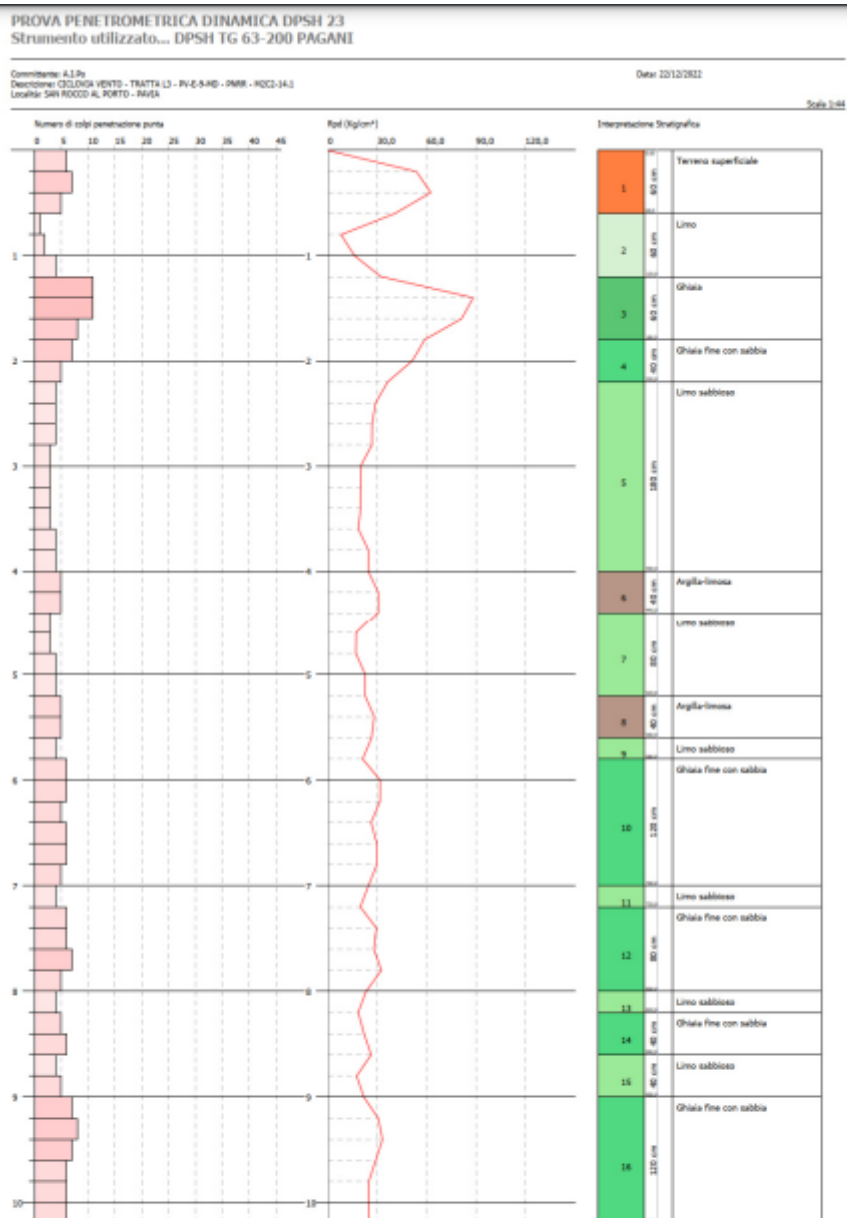
Strato	Profondità	Nspt	Tipo	Peso Unità di Volume (t/m³)	Peso Unità di Volume Saturato (t/m³)	Fi (%)	Cu Kg/cmq	Modulo Edometrico (Kg/cm²)	Modulo Elastico (Kg/cm²)	Modulo Poisson	Modulo di taglio G (Kg/cm²)	Velocità onde di taglio (m/s)
1	0,4	2,94	Coesivo	1,63	1,86	0	0,18	31,78	29,4	0	0	60,43
2	1	5,39	Incoerente	1,42	1,88	31,83	0	38,54	43,12	0,34	316,67	85,47
3	2,2	7,84	Coesivo	1,89	1,9	0	0,49	81,76	78,4	0	0	106,96
4	2,4	4,41	Incoerente	1,4	1,87	31,42	0	36,52	35,28	0,34	262,23	103,85
5	3,4	8,82	Incoerente	1,46	1,91	33,22	0	45,58	70,56	0,34	503,1	122,44
6	3,8	4,41	Incoerente	1,4	1,87	31,42	0	36,52	35,28	0,34	262,23	113,23
7	4,2	7,35	Coesivo	1,87	1,9	0	0,46	76,76	73,5	0	0	126,24
8	5,4	6,13	Incoerente	1,43	1,89	32,14	0	40,06	49,04	0,34	357,38	126,72
9	6,6	11,76	Incoerente	1,5	1,93	34,33	0	51,62	94,08	0,33	659,32	148,08
10	7,2	5,39	Incoerente	1,42	1,88	31,83	0	38,54	43,12	0,34	316,67	132,92
11	7,6	10,29	Incoerente	1,48	1,92	33,78	0	48,6	82,32	0,33	581,55	150,67
12	8	7,35	Coesivo	1,87	1,9	0	0,46	76,76	73,5	0	0	143,6
13	8,6	9,31	Incoerente	1,47	1,91	33,41	0	46,59	74,48	0,34	529,33	151,4
14	8,8	5,88	Incoerente	1,42	1,89	32,04	0	39,54	47,04	0,34	343,66	141,11
15	10	10,54	Incoerente	1,48	1,92	33,87	0	49,11	84,32	0,33	594,82	158,45

Figura 24 Prova DPSH 22 - Torre de Negri – Pavia – Modello geotecnico

INDAGINE PENETROMETRICA DPSH 23



Figura 25 Prova DPSH 23 – Torre dè Negri – Pavia



DPSH 23

Al di sotto di uno spessore di circa 60 centimetri di terreno superficiale si riscontrano dapprima limo, sabbia e ghiaia fino 2,20 metri, quindi alternanze tra limi sabbiosi e argille limose fino a 5,80 metri, a seguire e fino a fine prova (10 metri) ghiaia fine con sabbia con 86 intercalazioni limoso sabbiose.

Figura 26 Prova DPSH 23 – Torre dè Negri – Pavia - Risultati

AIPO - AGENZIA INTERREGIONALE PER IL FIUME PO
**LOTTO 2: PV-E-9-MD SERVIZI DI PROGETTAZIONE RELATIVI ALLA TRATTA L3 DA PAVIA
A SAN ROCCO AL PORTO (LO) DELLA CICLOVIA TURISTICA NAZIONALE VENTO**

PROGETTO ESECUTIVO
RELAZIONE DI CALCOLO STRUTTURALE OPERE D'ARTE MINORI 2B-1C-1D E NAVIGLIO PAVESE

Dr. Geol. Maurizio Viscanti – PV-E-9-MD – Indagini geognostiche - Progettazione definitiva ed esecutiva e realizzazione del lotto funzionale Pavia - San Rocco al Porto (tratta L3) della ciclovia turistica nazionale VENTO.

Convertitore

Per convertire le coordinate di un punto inserisci i valori nelle caselle di testo corrispondenti al sistema di riferimento a cui appartengono e premi il pulsante "Converti".

Monte Mario / Gauss Boaga zona 1 EPSG:3003

Est: Nord:

ED50 / UTM Zone 32N EPSG:23002

Est: Nord:

ED50 EPSG:4230

Lon: Lat:

WGS84 EPSG:4326

Lon: Lat:

Posizione

Google

Immagini ©2023, CNES / Airbus, Maxar Technologies, Terra e satelliti d'altro.

MODELLO GEOLOGICO – PARAMETRI GEOTECNICI DPSH 23

Strato	Profondità	Nspt	Tipo	Peso Unità di Volume (t/m³)	Peso Unità di Volume Saturato (t/m³)	Fi (°)	Cu Kg/cmq	Modulo Edometrico (Kg/cm²)	Modulo Elastico (Kg/cm²)	Modulo Poisson	Modulo di taglio G (Kg/cm²)	Velocità onde di taglio (m/s)
1	0,6	8,82	Incoerente	1,46	1,91	33,22	0	45,58	70,56	0,34	503,1	79,03
2	1,2	3,43	Incoerente	1,39	1,87	31	0	34,51	27,44	0,35	207,06	82,97
3	1,8	14,7	Incoerente	1,54	1,96	35,37	0	57,66	117,6	0,33	813,19	117,77
4	2,2	8,82	Incoerente	1,46	1,91	33,22	0	45,58	70,56	0,34	503,1	113,97
5	4	5,23	Incoerente	1,42	1,88	31,77	0	38,21	41,84	0,34	307,83	113,31
6	4,4	7,35	Coesivo	1,87	1,9	0	0,46	76,76	73,5	0	0	127,43
7	5,2	5,14	Incoerente	1,41	1,88	31,73	0	38,02	41,12	0,34	302,84	122,91
8	5,6	7,35	Coesivo	1,87	1,9	0	0,46	76,76	73,5	0	0	133,76
9	5,8	5,88	Incoerente	1,42	1,89	32,04	0	39,54	47,04	0,34	343,66	130,05
10	7	8,33	Incoerente	1,46	1,91	33,02	0	44,57	66,64	0,34	476,78	141,25
11	7,2	5,88	Incoerente	1,42	1,89	32,04	0	39,54	47,04	0,34	343,66	135,68
12	8	8,82	Incoerente	1,46	1,91	33,22	0	45,58	70,56	0,34	503,1	147,46
13	8,2	5,88	Incoerente	1,42	1,89	32,04	0	39,54	47,04	0,34	343,66	139,17
14	8,6	8,09	Incoerente	1,45	1,9	32,93	0	44,08	64,72	0,34	463,86	148,11
15	9	6,62	Incoerente	1,43	1,89	32,34	0	41,06	52,96	0,34	384,17	144,35
16	10,2	9,8	Incoerente	1,48	1,92	33,59	0	47,59	78,4	0,33	555,48	157,1

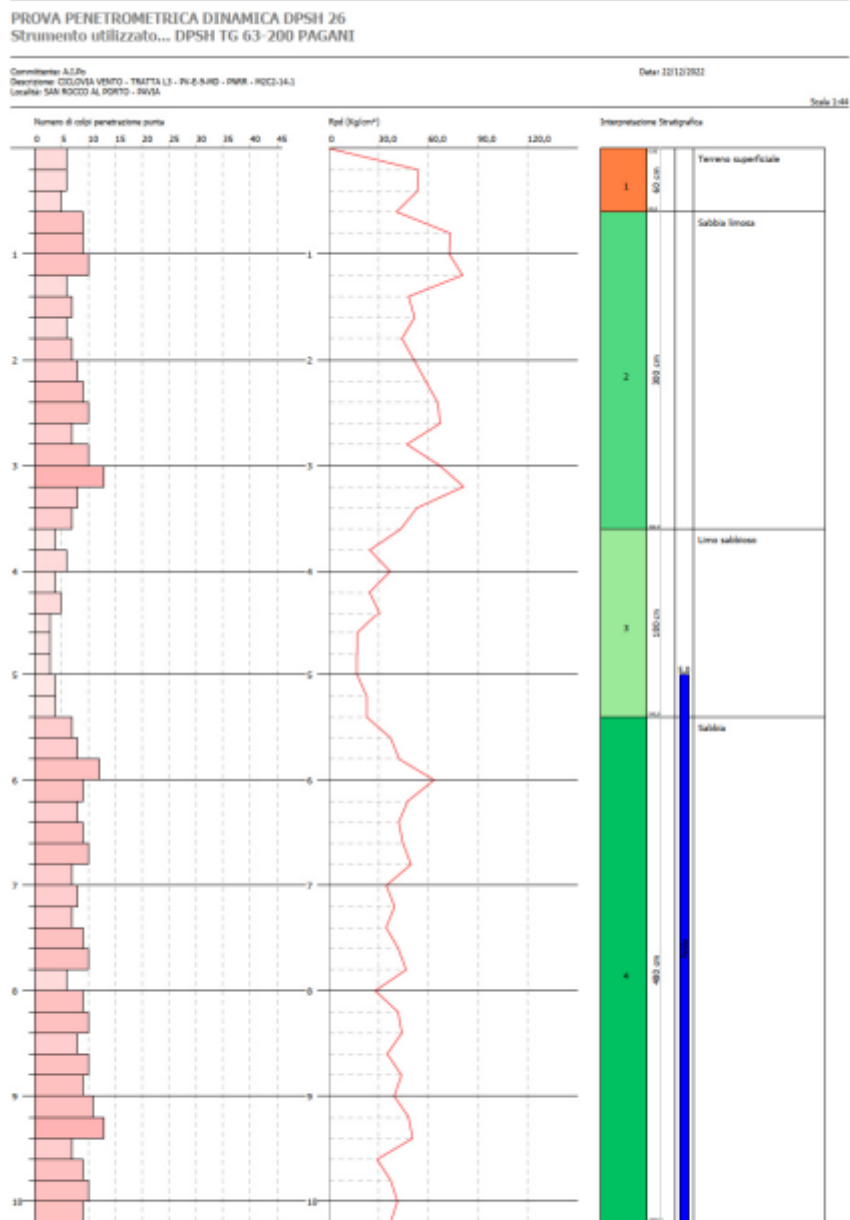
Figura 27 Prova DPSH 23 – Torre dè Negri – Pavia – Modello geotecnico

5.1.3 SANTA MARGHERITA – BELGIOIOSO

INDAGINE PENETROMETRICA DPSH 26



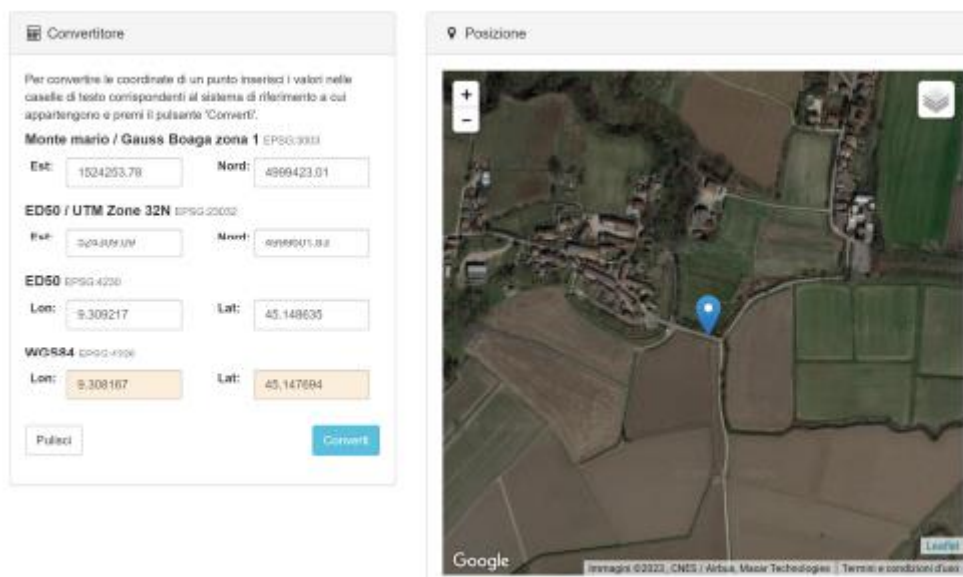
Figura 28 Prova DPSH 26 – Torre dè Negri – Pavia



DPSH 26

Al di sotto di uno spessore di circa 60 centimetri di terreno superficiale si riscontrano dapprima sabbia limosa e limo sabbioso fino 5,40 metri, quindi sabbia fino a fine prova (10,20 metri). Falda freatica riscontrata a 5 metri.

Figura 29 Prova DPSH 26 – Torre dè Negri – Pavia - Risultati



MODELLO GEOLOGICO – PARAMETRI GEOTECNICI DPSH 26

Strato	Profondità	Nspt	Tipo	Peso Unità di Volume (t/m³)	Peso Unità di Volume Saturato (t/m³)	Fi (°)	Cu Kg/cm²	Modulo Edometrico (Kg/cm²)	Modulo Elastico (Kg/cm²)	Modulo Poisson	Modulo di taglio G (Kg/cm²)	Velocità onde di taglio (m/s)
1	0,6	8,33	Incoerente	1,46	1,91	33,02	0	44,57	66,64	0,34	476,78	78,25
2	3,6	12,35	Incoerente	1,51	1,94	34,54	0	52,83	98,8	0,33	690,37	121,95
3	5,4	5,88	Incoerente	1,42	1,89	32,04	0	39,54	47,04	0,34	343,66	124,25
4	10,2	13,17	Incoerente	1,52	1,94	34,83	0	54,52	105,36	0,33	733,37	158,85

Figura 30 Prova DPSH 26 – Torre dè Negri – Pavia – Modello geotecnico

5.1.4 NAVIGLIO PAVESE

Strato	Prof.	Nspt	Tipo	Peso Unità di Volume (KN/m³)	Peso Unità di Volume Saturato (KN/m³)	Fi (°)	Coesione non drenata Cu (KPa)	Modulo Edometrico (Mpa)	Modulo Elastico (Mpa)	Modulo Poisson	Modulo di taglio G (Mpa)	Velocità onde di taglio (m/s)
1	0,9	37,82	Massicciata Via Venezia	17,32	20,58	41,15	0	10,31	29,67	0,28	193,86	109,94
2	3,8	12,51	Sabbia	14,8	19,02	34,6	0	5,21	9,81	0,33	68,53	124,9
3	4,5	6,26	Limo sabbioso	14,01	18,53	32,19	0	3,95	4,91	0,34	35,75	123,66
4	7,4	11,9	Sabbia/ghiaietto	14,72	18,97	34,38	0	5,09	9,34	0,33	65,38	148,14
5	9,6	23,62	Sabbia e ghiaia	16,03	19,78	38,1	0	7,45	18,53	0,31	124,54	178,68
orizzonte di appoggio muro di sostegno												

Fig. 1 _ Tratta L3 – Microtratta Naviglio pavese – modello geotecnico

5.2 VALUTAZIONE DELLA SUSCETTIBILITÀ SISMICA DELL'AREA (VERIFICA DI II LIVELLO)

5.2.1.1 Caratterizzazione sismica Valle Salimbene – Pavia

INDAGINE MASW – SEZIONE 16 - 17 – 18 – VALLE SALIMBENE - PAVIA



Figura 31 Prove MASW– Valle Salimbene – Pavia

MASW 16

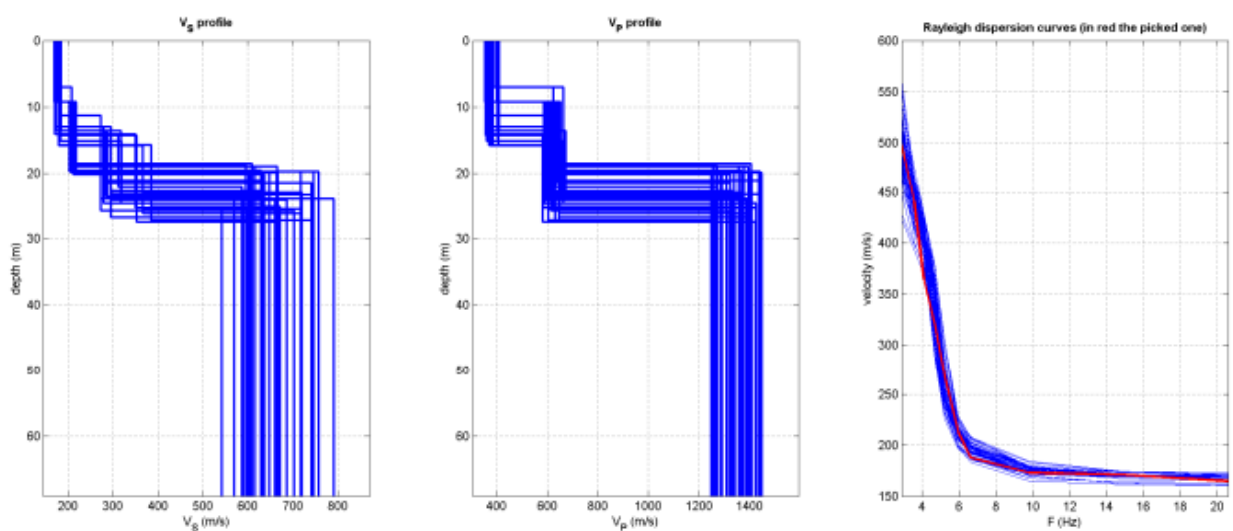


Figura 32 Prove MASW16– Valle Salimbene – Pavia

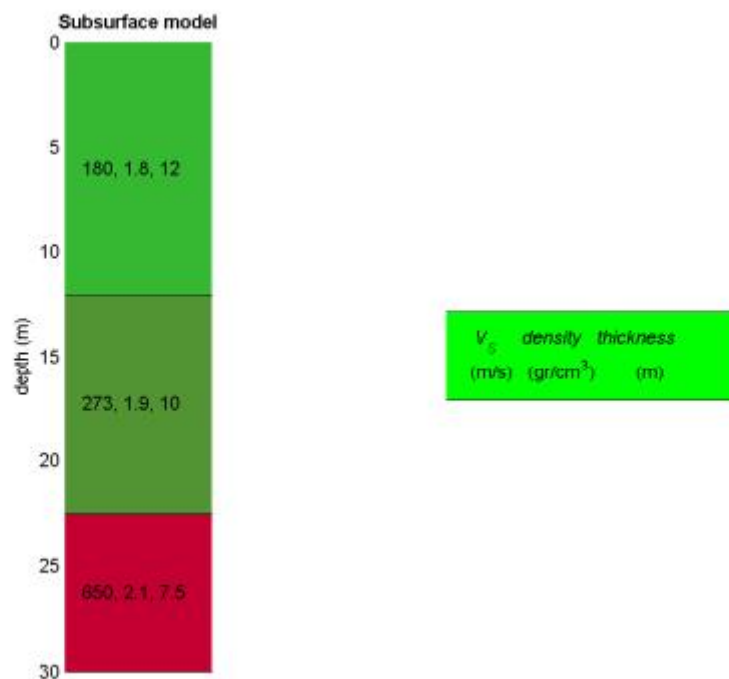
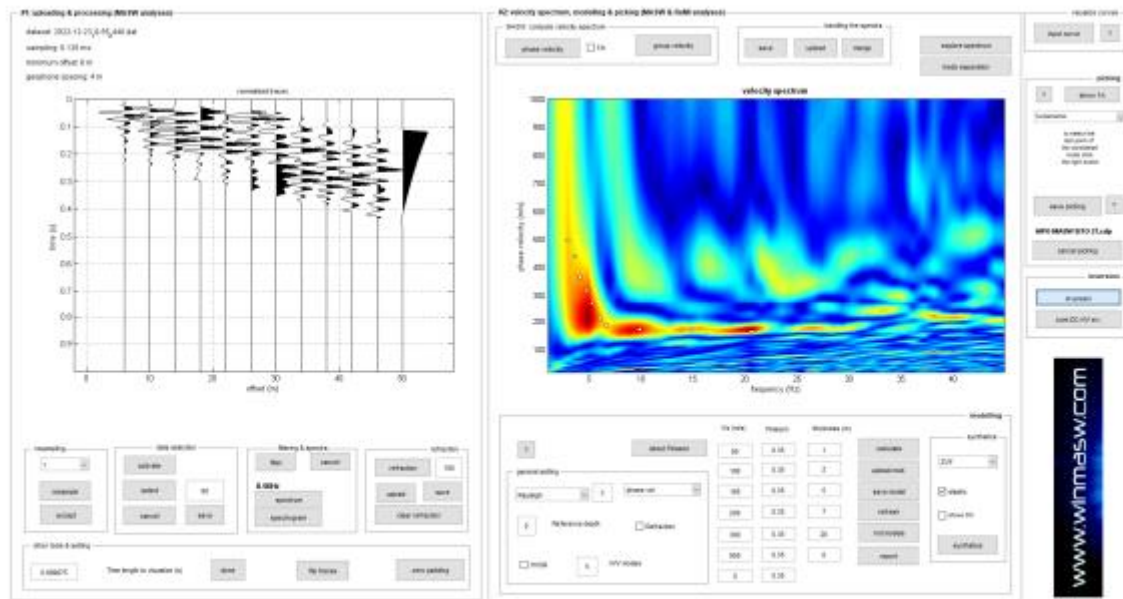
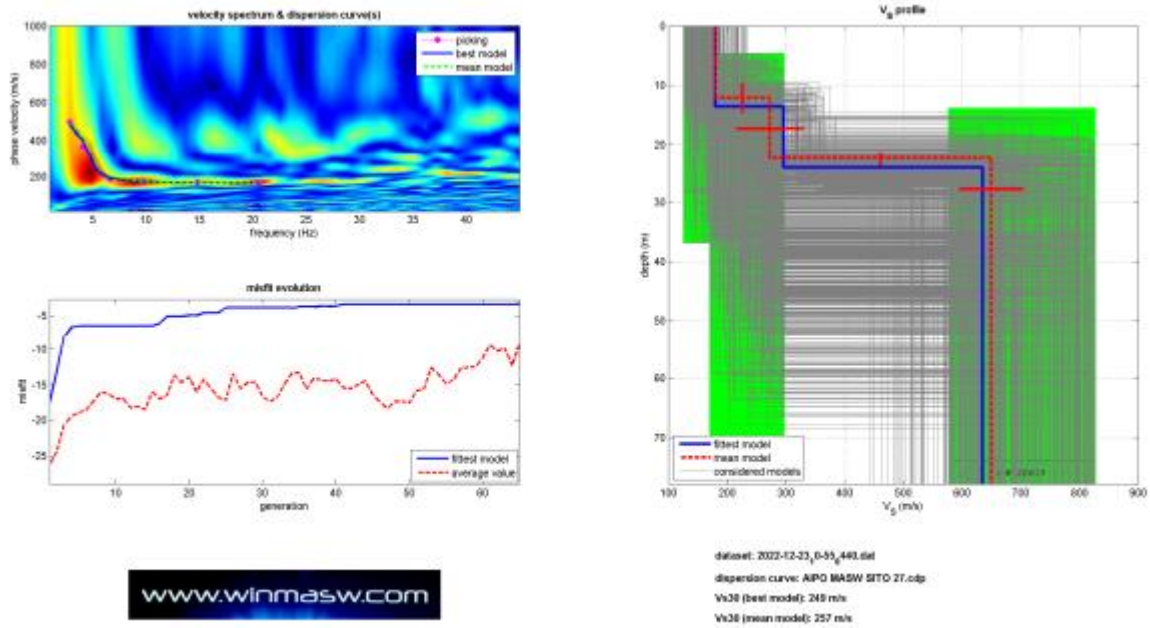


Figura 33 Prove MASW16– Valle Salimbene – Pavia - Risultati



MASW 17

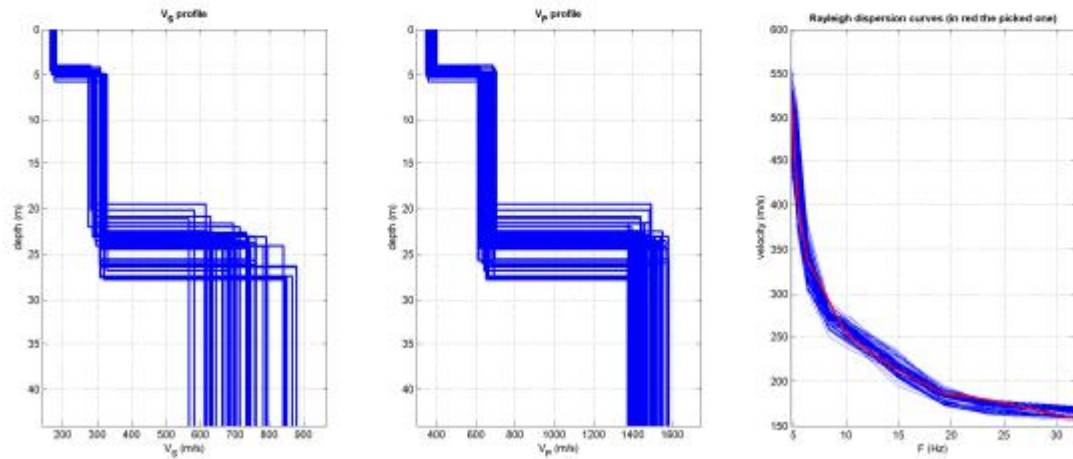


Figura 34 Prove MASW17– Valle Salimbene – Pavia

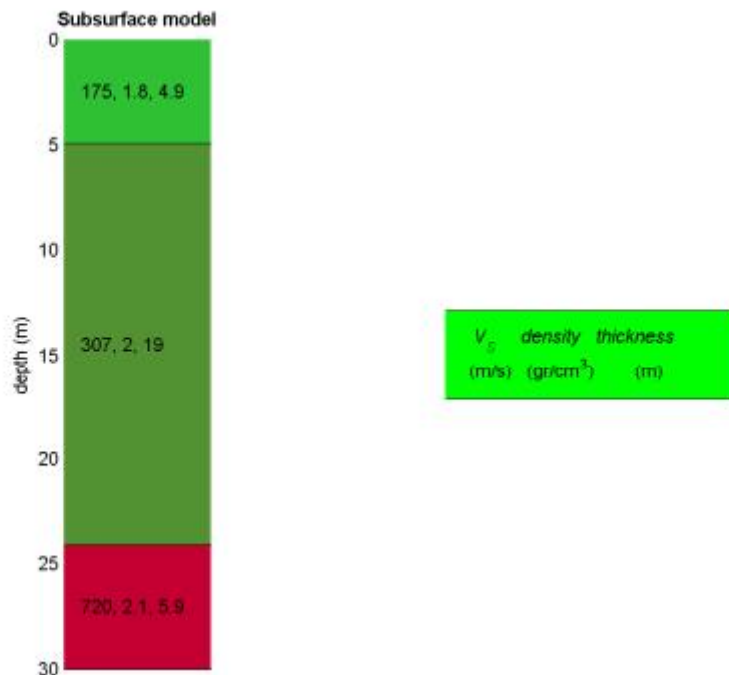
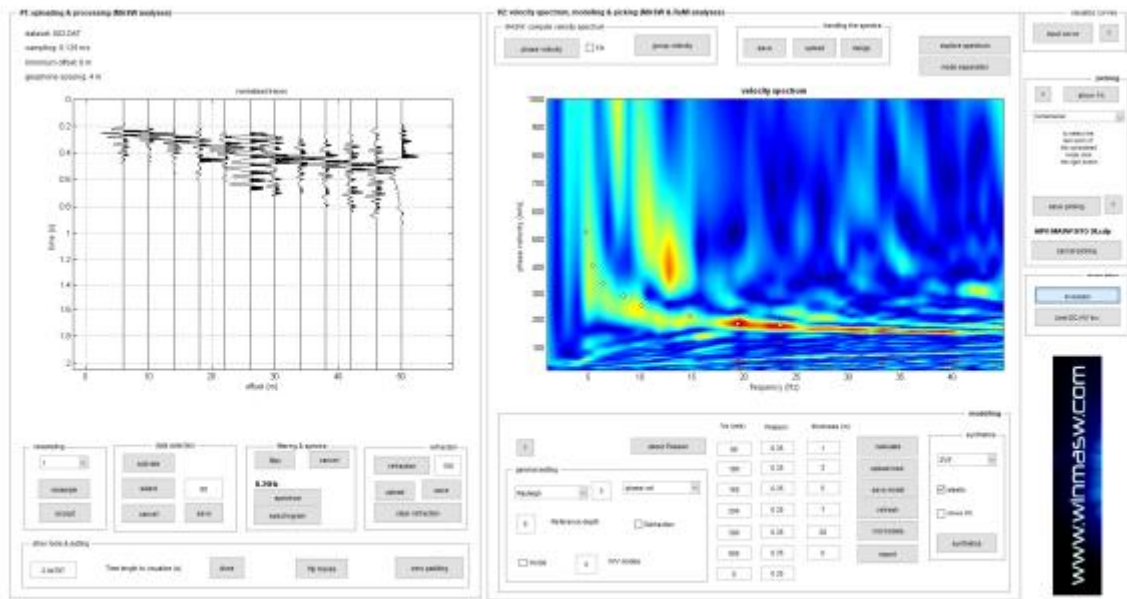
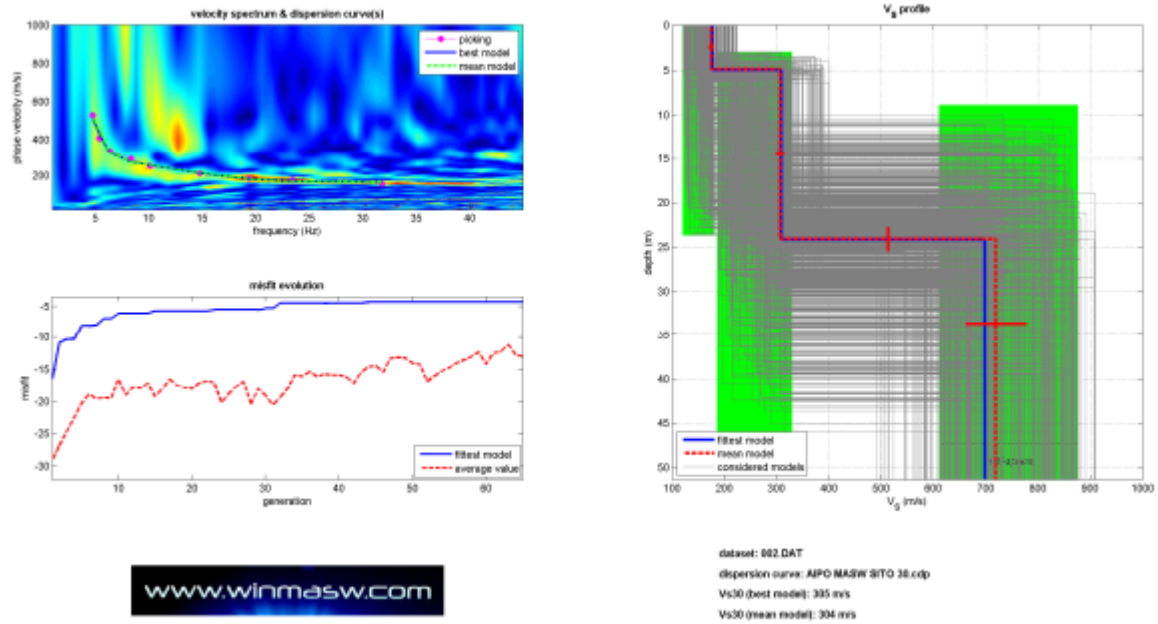


Figura 35 Prove MASW17– Valle Salimbene – Pavia - Risultati



MASW 18

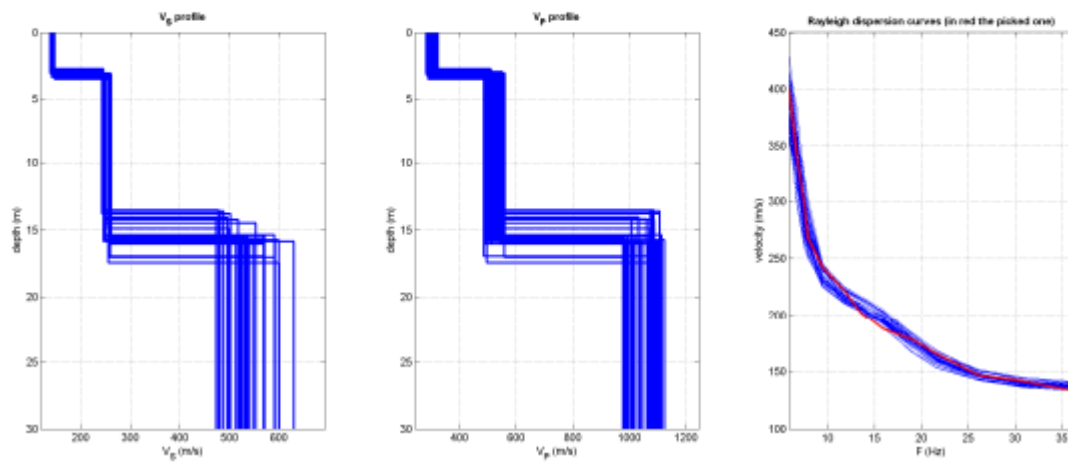


Figura 36 Prove MASW18– Valle Salimbene – Pavia

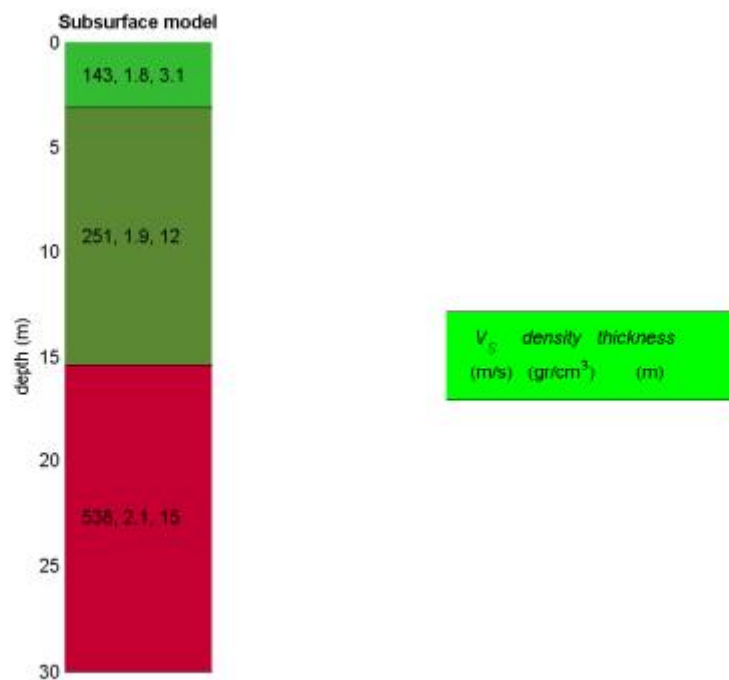
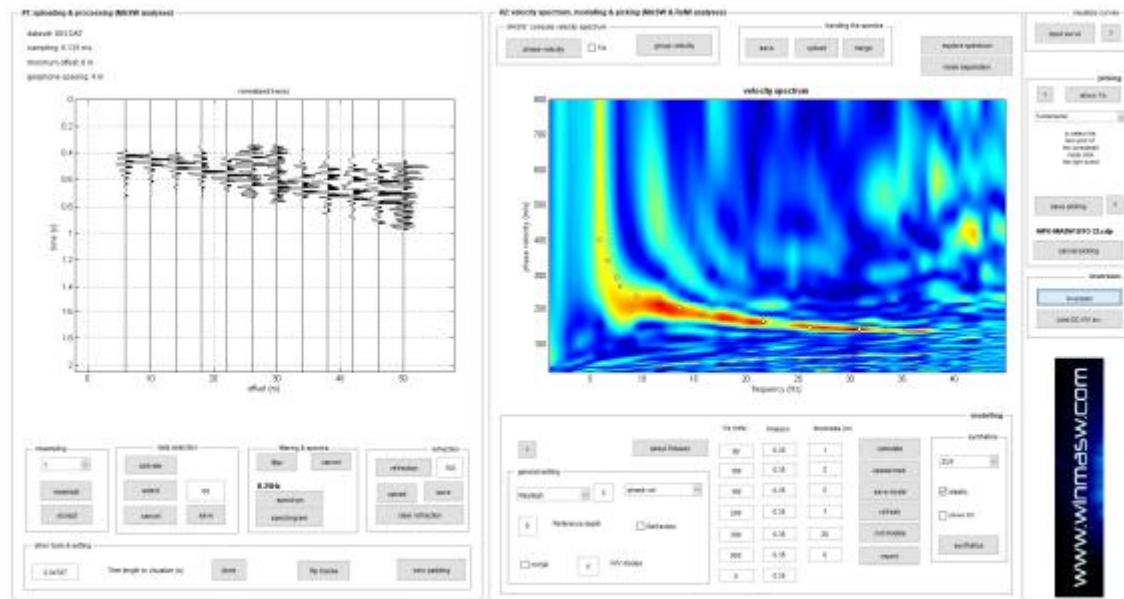
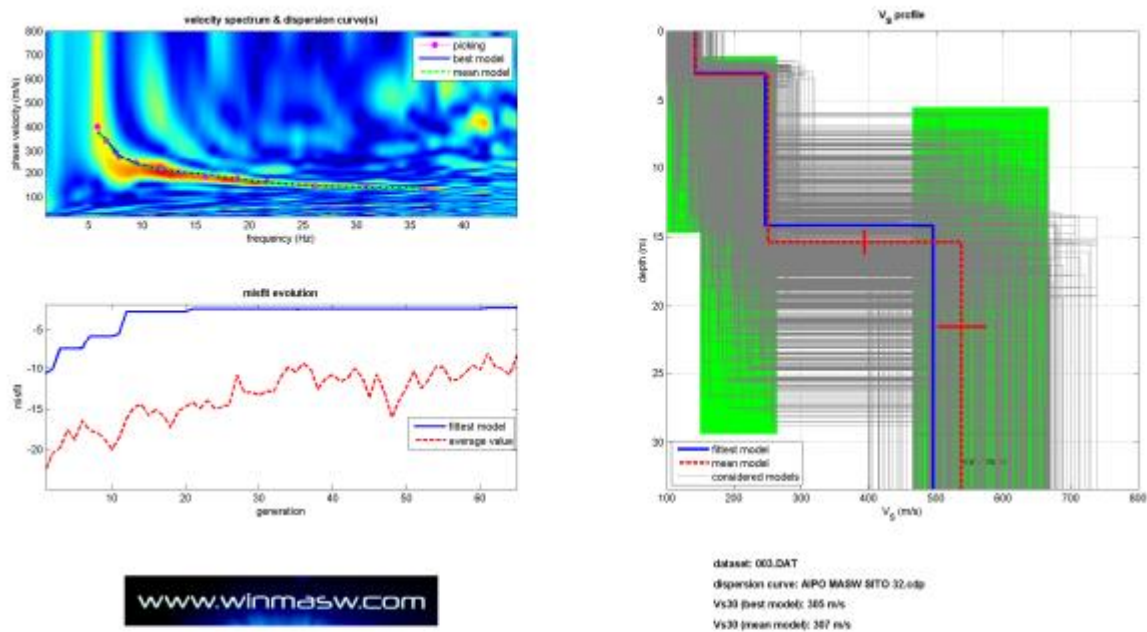


Figura 37 Prove MASW18– Valle Salimbene – Pavia - Risultati



L'elaborazione del dato di campagna ha fornito una V_s media dei quattro siti pari a 286 m/s che, così come riportato dalle NTC 2018, permette di classificare il suolo di fondazione come "tipo C". Depositi di terreni a grana grossa mediamente addensati o terreni a grana fina mediamente consistenti con profondità del substrato superiori a 30 m, caratterizzati da un miglioramento delle proprietà meccaniche con la profondità e da valori di velocità equivalente compresi tra 180 m/s e 360 m/s.

Figura 38 Prove MASW– Valle Salimbene – Pavia - Conclusioni

5.2.1.2 Caratterizzazione sismica Torre de' Negri – Belgioioso - Linarolo

INDAGINE MASW – SEZIONE 12 - 13 - 14 - 15 – TORRE DE' NEGRI-BELGIOIOSO-LINAROLO



Figura 39 Prove MASW– Torre de' Negri – Belgioioso - Linarolo

MASW 12

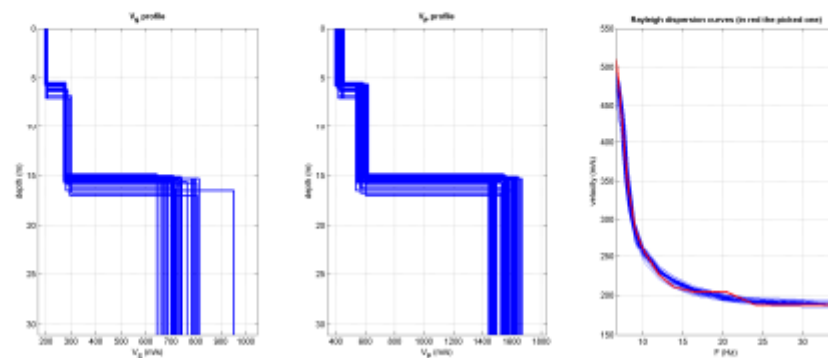
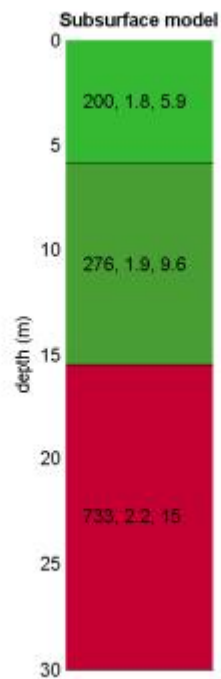
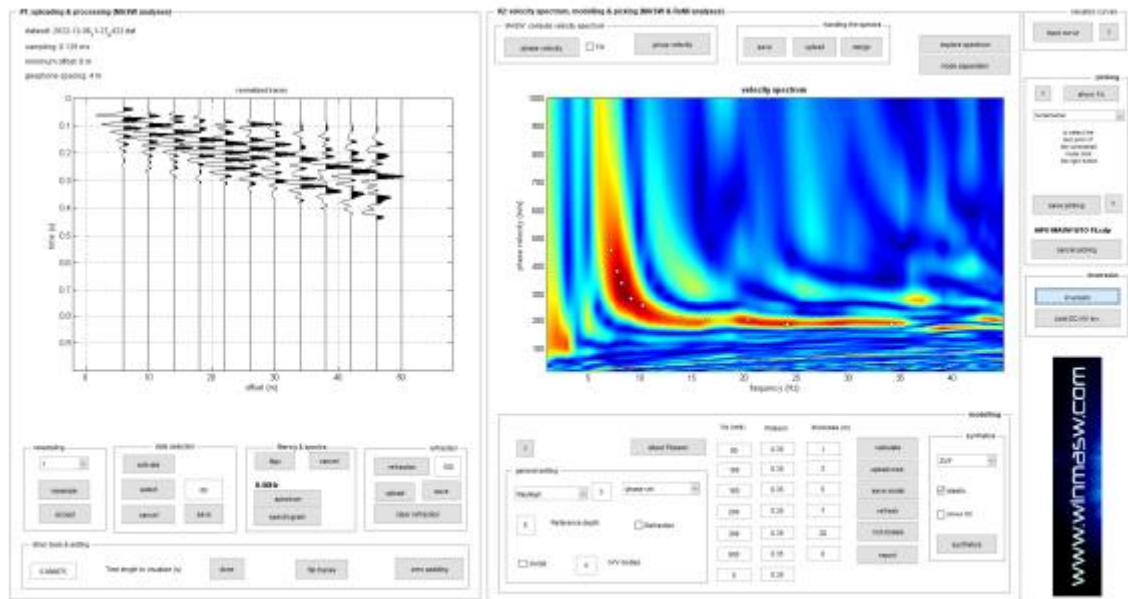
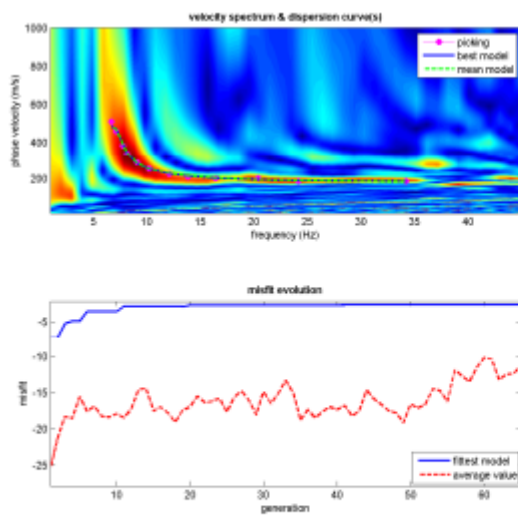


Figura 40 Prove MASW12– Torre de' Negri – Belgioioso - Linarolo

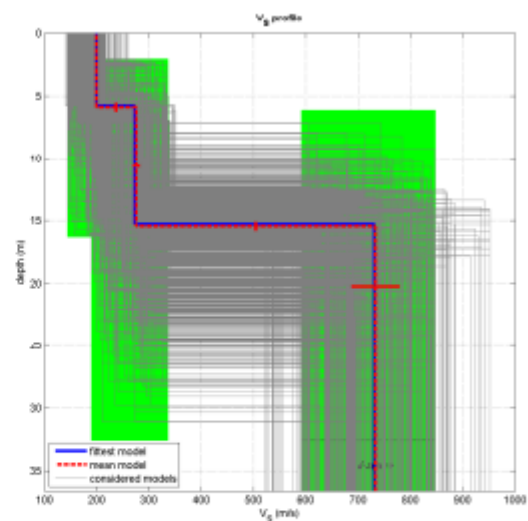


V_s density thickness
 (m/s) (g/cm³) (m)

Figura 41 Prove MASW12– Torre dé Negri – Belgioioso – Linarolo - Risultati



www.winmasw.com



dataset: 2022-12-05_1-27_422.dal
 dispersion curve: AIPO MASW SITO 19.cdp
 Vx30 (best model): 358 m/s
 Vx30 (mean model): 357 m/s

MASW 13

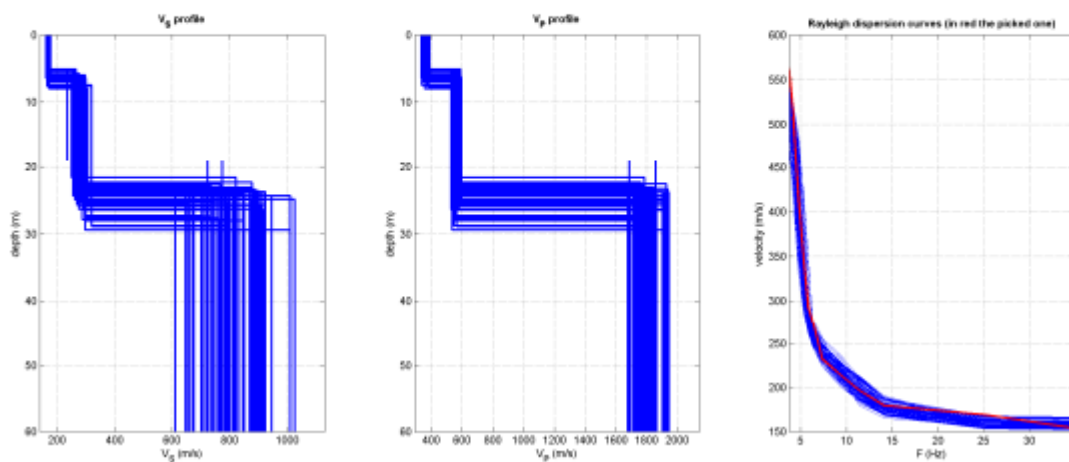


Figura 42 Prove MASW13– Torre dé Negri – Belgioioso – Linarolo

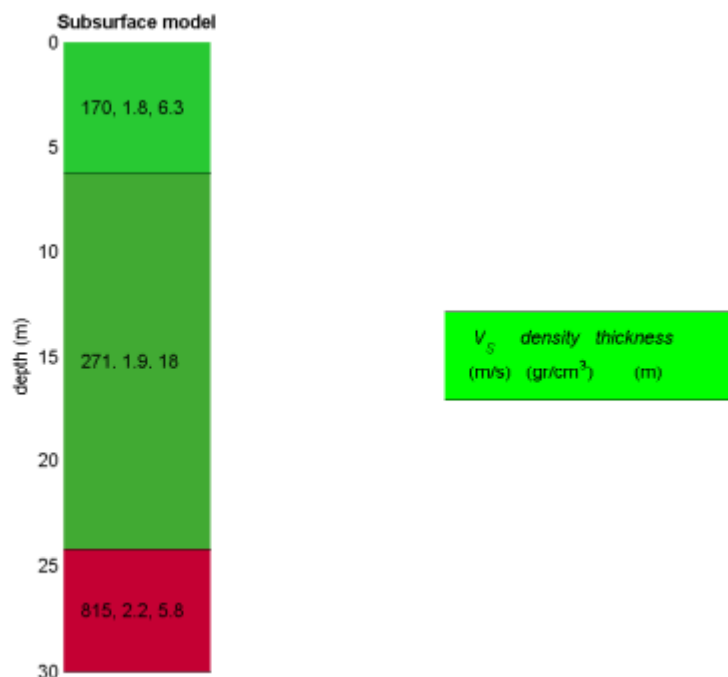
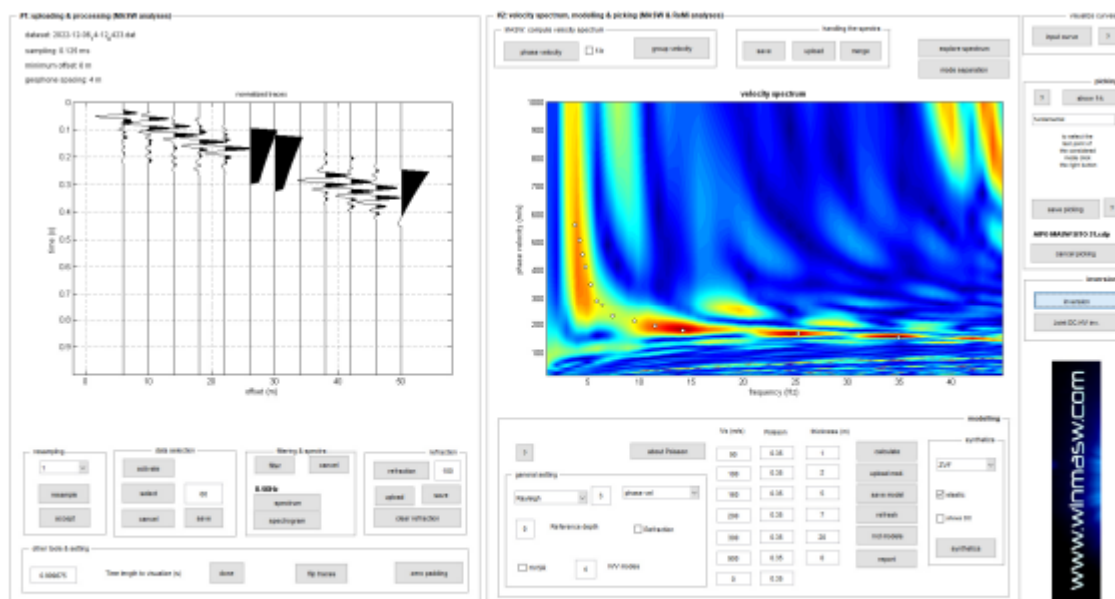
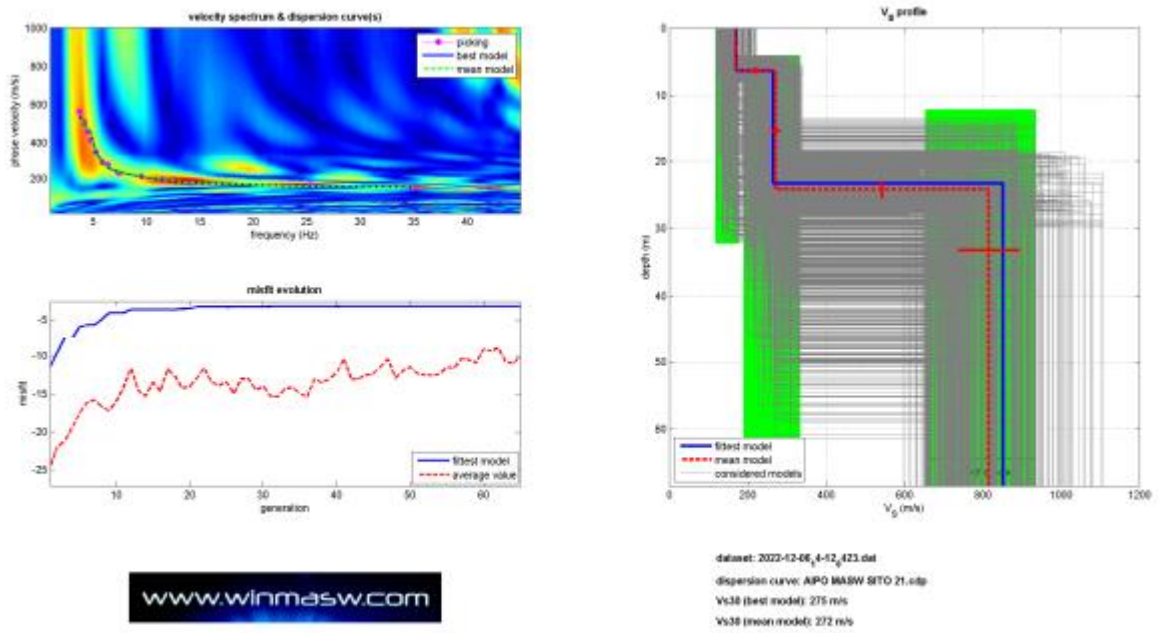


Figura 43 Prove MASW13– Torre dé Negri – Belgioioso – Linarolo - Risultati



MASW 14

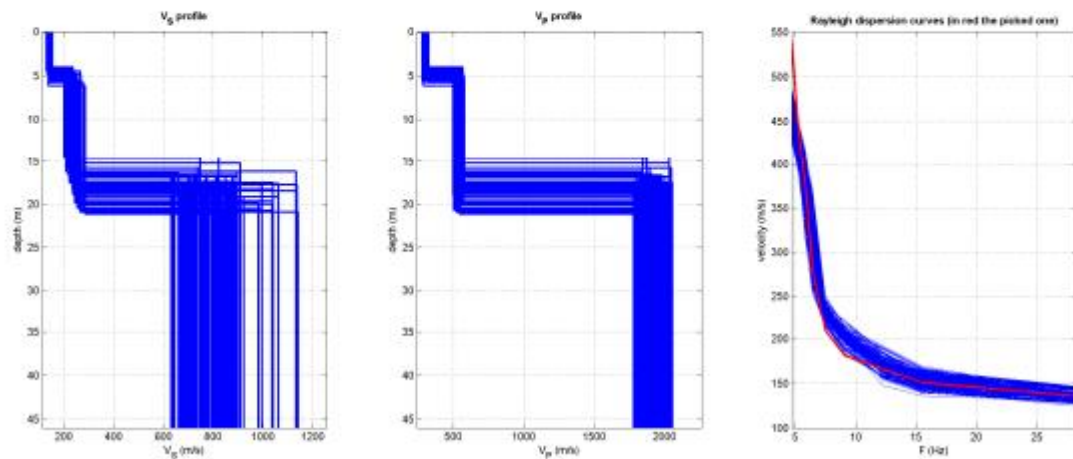


Figura 44 Prove MASW14– Torre dé Negri – Belgioioso – Linarolo

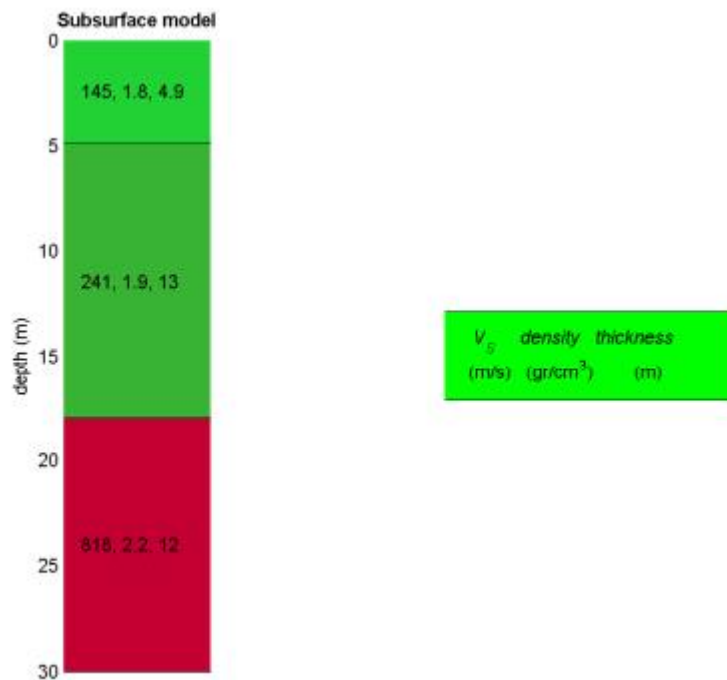
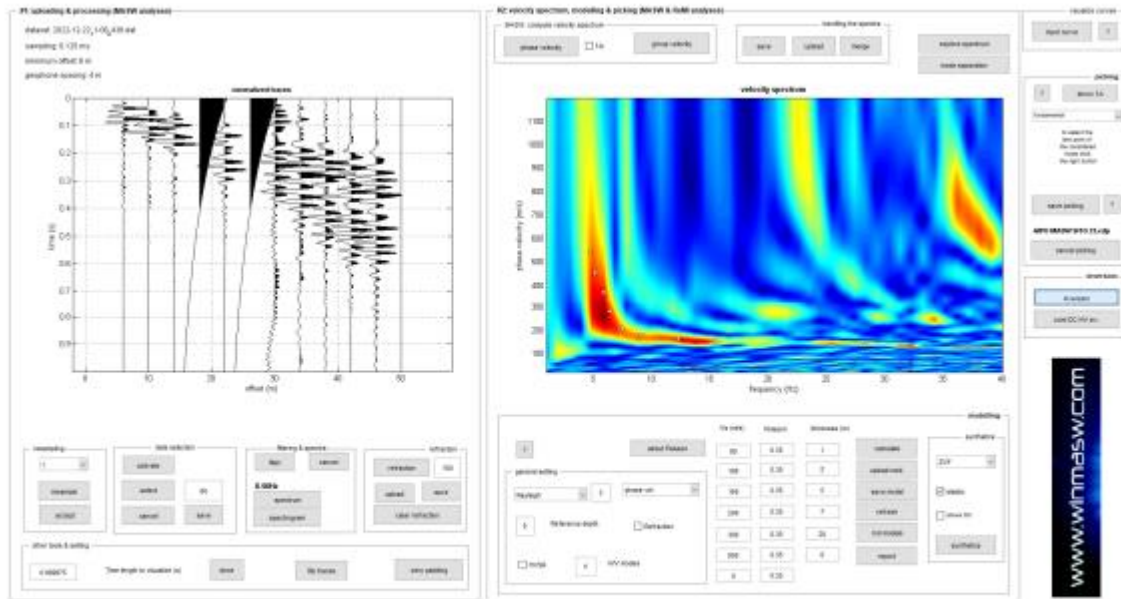
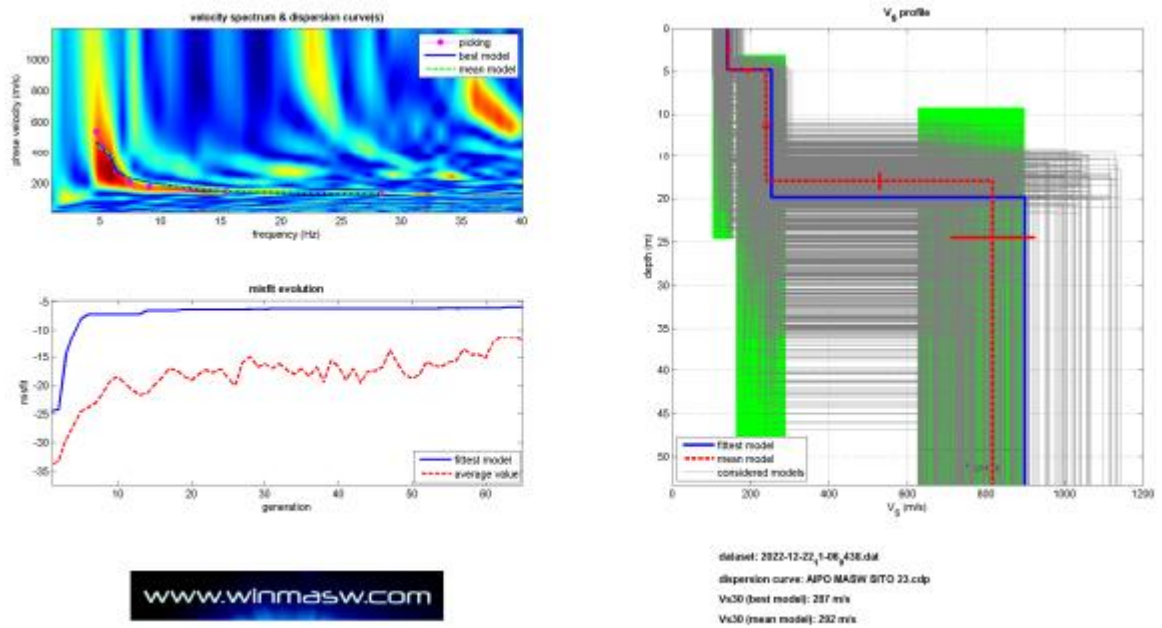


Figura 45 Prove MASW14– Torre dé Negri – Belgioioso – Linarolo - Risultati



MASW 15

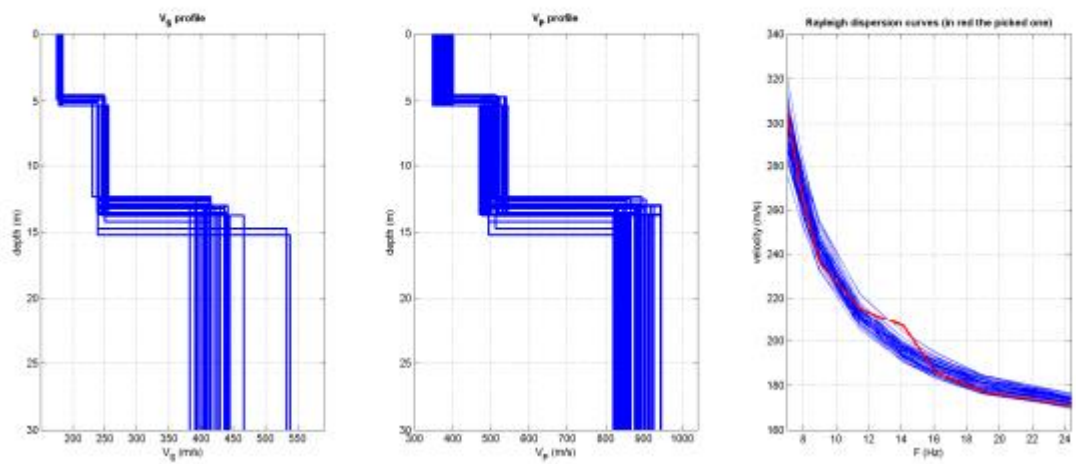


Figura 46 Prove MASW15– Torre dé Negri – Belgioioso – Linarolo

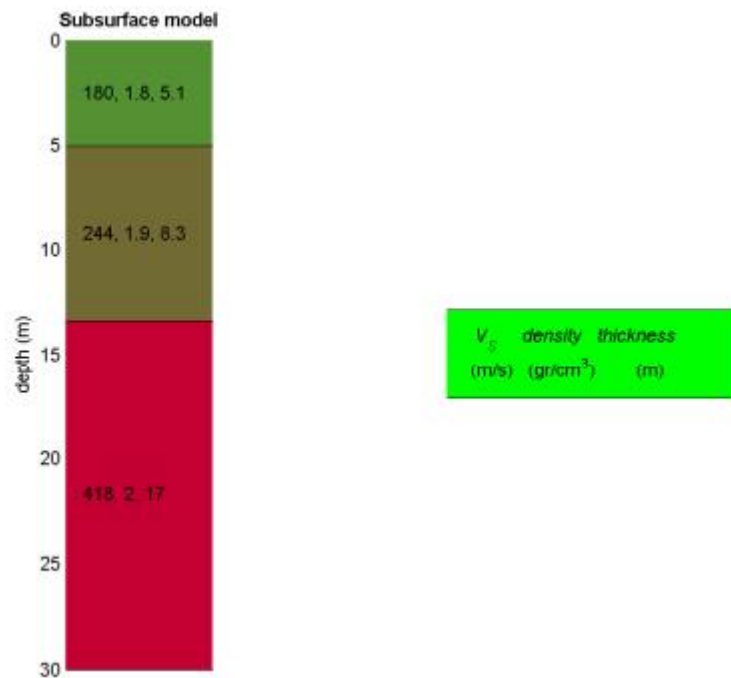
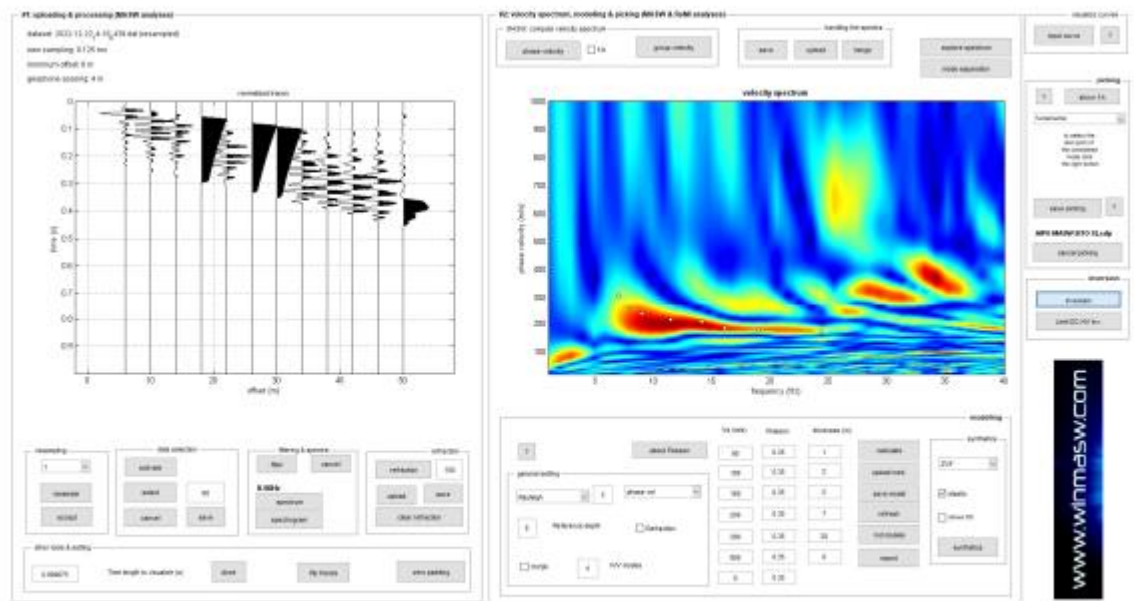
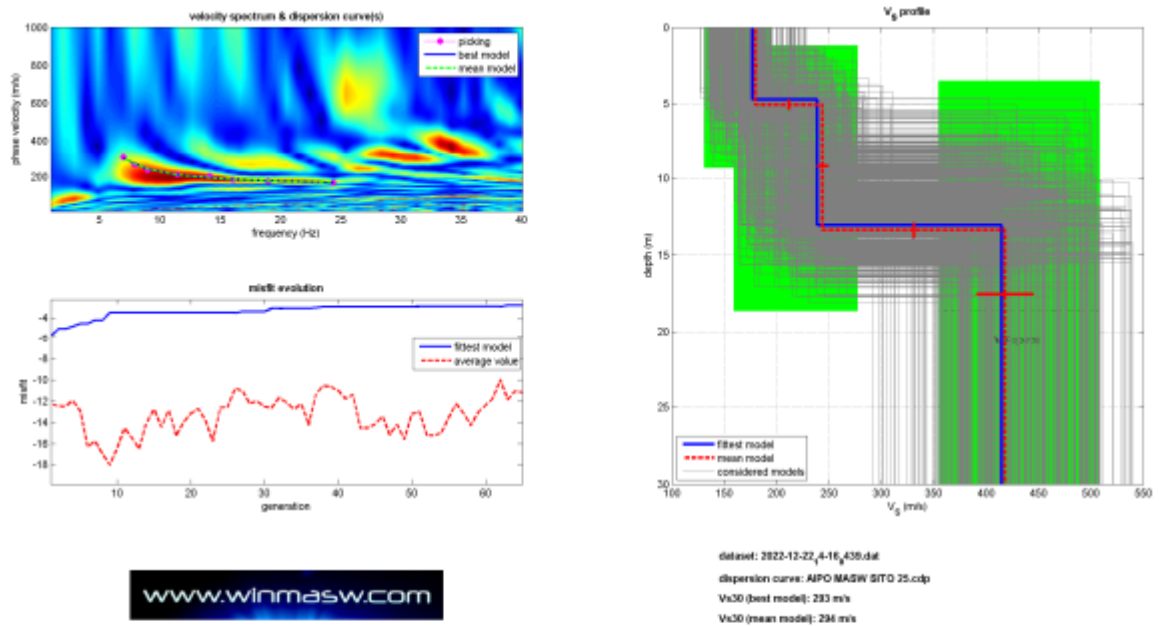


Figura 47 Prove MASW15– Torre dé Negri – Belgioioso – Linarolo - Risultati



*L'elaborazione del dato di campagna ha fornito una Vs media dei quattro siti pari a **303 m/s** che, così come riportato dalle NTC 2018, permette di classificare il suolo di fondazione come "tipo C". Depositi di terreni a grana grossa mediamente addensati o terreni a grana fina mediamente consistenti con profondità del substrato superiori a 30 m, caratterizzati da un miglioramento delle proprietà meccaniche con la profondità e da valori di velocità equivalente compresi tra 180 m/s e 360 m/s.*

Figura 48 Prove MASW15– Torre dé Negri – Belgioioso – Linarolo - Conclusioni

6 CRITERI PROGETTUALI

La struttura viene progettata per una vita nominale pari a $V_N=50$ anni ed una classe d'uso II con un conseguente periodo di riferimento pari a 50 anni per le azioni simiche.

Gli obiettivi principali della progettazione riguardano la verifica per azioni da gravità e sismiche degli elementi strutturali. Nei confronti delle azioni sismiche vengono individuati quattro stati limiti (2 di esercizio e 2 ultimi) riferiti alle prestazioni della costruzione (§3.2.1 delle NTC) brevemente descritti di seguito.

Gli Stati limite di esercizio (SLE) comprendono:

Stato Limite di Operatività (SLO): a seguito del terremoto la costruzione nel suo complesso, includendo gli elementi strutturali, quelli non strutturali e le apparecchiature rilevanti in relazione alla sua funzione, non deve subire danni ed interruzioni d'uso significativi;

Stato Limite di Danno (SLD): a seguito del terremoto la costruzione nel suo complesso, includendo gli elementi strutturali, quelli non strutturali e le apparecchiature rilevanti alla sua funzione, subisce danni tali da non mettere a rischio gli utenti e da non compromettere significativamente la capacità di resistenza e di rigidezza nei confronti delle azioni verticali e orizzontali, mantenendosi immediatamente utilizzabile pur nell'interruzione d'uso di parte delle apparecchiature.

Gli Stati limite ultimi (SLU) comprendono:

Stato Limite di salvaguardia della Vita (SLV): a seguito del terremoto la costruzione subisce rotture e crolli dei componenti non strutturali ed impiantistici e significativi danni dei componenti strutturali cui si associa una perdita significativa di rigidezza nei confronti delle azioni orizzontali; la costruzione conserva invece una parte della resistenza e rigidezza per azioni verticali e un margine di sicurezza nei confronti del collasso per azioni sismiche orizzontali;

Stato Limite di prevenzione del Collasso (SLC): a seguito del terremoto la costruzione subisce gravi rotture e crolli dei componenti non strutturali ed impiantistici e danni molto gravi dei componenti strutturali; la costruzione conserva ancora un margine di sicurezza per azioni verticali ed un esiguo margine di sicurezza nei confronti del collasso per azioni orizzontali.

Il soddisfacimento dei requisiti prestazionali sopra descritti si ottiene mediante lo sviluppo delle verifiche di cui alla **Tabella 1** per la relativa classe d'uso dell'edificio.

Nel caso corrente si considerano:

Tabella 1. Stati limite di elementi strutturali primari, elementi non strutturali e impianti

STATI LIMITE		CU I	CU II			CU III e IV		
		ST	ST	NS	IM	ST	NS	IM ^(*)
<i>SLE</i>	<i>SLO</i>					RIG		FUN
	<i>SLD</i>	RIG	RIG			RES		
<i>SLU</i>	<i>SLV</i>	RES	RES	STA	STA	RES	STA	STA
	<i>SLC</i>		DUT ^(**)			DUT ^(**)		

7 METODO DI CALCOLO

I risultati sono stati ottenuti implementando modelli tridimensionali delle strutture mediante l'ausilio di codici ad elementi finiti. In alcuni casi di validazione il calcolo delle membrature è stato condotto mediante analisi analitiche classiche secondo i dettami della Scienza delle Costruzioni. Le verifiche sono state condotte secondo la teoria degli Stati Limite.

La struttura in oggetto è stata verificata avvalendosi dei seguenti programmi di calcolo:

SAP 2000 (Computers and structures) per analisi dei carichi a gravità, analisi modali e analisi dinamiche con spettro di risposta.

VCA SLU per la verifica delle sezioni in c.a. allo SLU e allo SLE;

7.1 ANALISI STRUTTURALE MEDIANTE SAP2000

Le analisi a gravità e non lineari a plasticità concentrata sono ottenute implementando un modello tridimensionale della struttura mediante il software a elementi finiti SAP2000, prodotto dalla Computers and Structures, Inc, Berkeley, California, USA. Tale programma permette l'analisi a elementi finiti di strutture attraverso l'analisi statica lineare e non lineare, dinamica lineare e non lineare, P-delta; consente l'utilizzo di spettri di risposta o accelerogrammi, l'inserimento di carichi mobili con il calcolo delle linee d'influenza, la modellazione di elementi frame, shell, plane, solid, link. Al fine di controllare i risultati, a corredo del codice di calcolo sono disponibili manuali d'uso sia in forma cartacea sia su supporto informatico, in cui è indicata la teoria di base di tutte le procedure implementate dal codice. È presente anche un elenco esauriente di esempi per la verifica dell'affidabilità del programma, come disposto al capitolo 10.2 delle NTC, relativi a tutti gli elementi di modellazione (es. frame, shell, ecc.) per diverse configurazioni di carico. Maggiori informazioni sono reperibili al sito web di riferimento <https://wiki.csiamerica.com/display/tp/SAP2000..>

7.2 ANALISI STRUTTURALE MEDIANTE VCASLU (GELFI)

Le verifiche allo SLU e allo SLE delle diverse sezioni strutturali sono state effettuate attraverso il programma di calcolo "Sezione generica in C.A. e C.A.P. – VERIFICHE A PRESSO – FLESSIONE – Stato limite ultimo e Metodo n (elastico lineare) – Progetto a flessione e taglio di sezione rettangolare – Progetto di pilastri in zona sismica" prodotto dal prof. Piero Gelfi, versione 7.8.

Il programma VcaSlu consente la Verifica di sezioni in Cemento Armato normale e precompresso, soggette a presso-flessione o tenso-flessione retta o deviata sia allo Stato Limite Ultimo che con il Metodo n. Permette inoltre di tracciare il Domino M-N, il diagramma Momento-Curvatura per la verifica di stabilità con il metodo della Colonna-Modello ed il Dominio Mx-My. I legami s-e dei materiali, adottati per le verifiche allo Stato Limite Ultimo, sono quelli indicati dalle Norme Tecniche per le Costruzioni (D.M. 17-1-2018) e dall'Eurocodice 2 (parabola rettangolo per il calcestruzzo e legame elastico-perfettamente plastico per l'acciaio). Il programma è corredato da una serie di file esemplificativi della procedura di utilizzo e delle verifiche. Maggiori informazioni sono reperibili all'indirizzo <http://dicata.ing.unibs.it/gelfi/software>.

7.3 ANALISI STRUTTURALE MEDIANTE PROFI (GELFI)

Il programma contiene un data base completo dei profilati commerciali laminati a caldo per impiego strutturale (DoppioT, L, U). Sono compresi tutti i profili del catalogo ARBED (www.europrofil.lu) . Comprende inoltre le travi saldate del prontuario Italsider 1966 e i profili saldati non simmetrici del Prontuario CISIA 1977. I dati possono essere ordinati rispetto al modulo di resistenza a flessione W_y , rispetto al momento di inerzia J_y o rispetto al peso g . Per ciascun profilo, oltre alle caratteristiche geometriche e statiche, vengono calcolati, con riferimento all'EUROCODICE 3, i seguenti valori: • resistenze di progetto a compressione $N_{by,Rd}$ e $N_{bz,Rd}$ in base alle lunghezze di libera inflessione e alla tensione di snervamento selezionata; • resistenze di progetto a flessione $M_{cy,Rd}$ e $M_{cz,Rd}$; • resistenze di progetto a taglio $V_{ply,Rd}$ e $V_{plz,Rd}$; • classi della sezione per compressione, per flessione e per presso-flessione; La sezione scelta può essere disegnata in scala in una form che può essere ingrandita e che contiene un menu per la stampa, per l'esportazione in formato DXF e per il disegno diretto in Autocad 14. Per i profili a doppio T si può inoltre eseguire la verifica a presso-flessione, sia semplice che deviata, comprendente la verifica di resistenza della sezione, la verifica all'instabilità della membratura e la verifica all'instabilità flesso-torsionale. Sono implementate inoltre le seguenti funzioni: - verifica dei collegamenti con Bulloni- - - verifica delle Saldature verifica delle Travi Composte Acciaio-Calcestruzzo verifica e progetto di Giunti Flangiati trave-colonna

7.4 VALIDAZIONE DEI PROGRAMMI

Per le verifiche di validazione sono state definite verifiche semplificate dei carichi agenti sulla struttura e delle azioni sui principali elementi.

7.5 CONVENZIONI DI SEGNO

Per i dati di sollecitazione ottenuti dal programma SAP si utilizza la stessa convenzione adottata dal programma di calcolo (come indicato nella figura successiva). Si osserva che gli assi locali sono indicati come segue: asse 1 = rosso; asse 2 = bianco, 3 = azzurro.

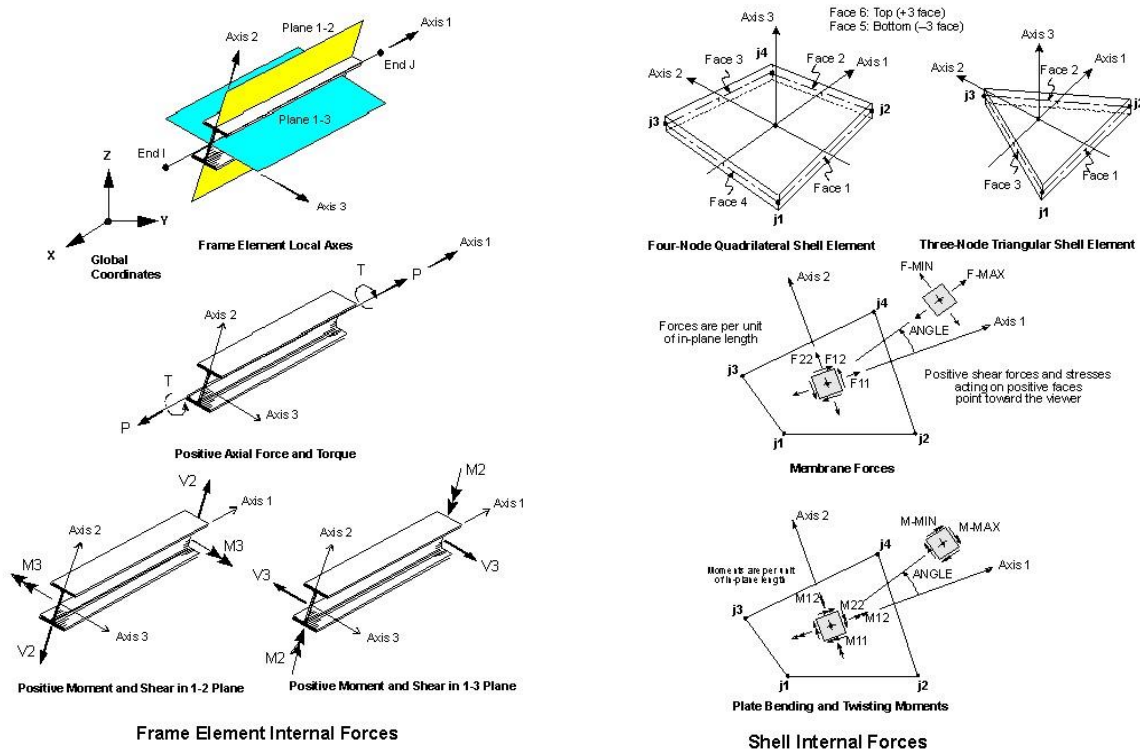


Figura 49 Convenzione di segno Sap2000

Per le verifiche effettuate utilizzando il programma “Verifica C.A. S.L.U” (Gelfi) si utilizzano le convenzioni relative: l'azione assiale è positiva se di compressione mentre i momenti flettenti M_x e M_y sono positivi se comprimono le fibre dalla parte degli assi positivi (spigolo in alto a destra); sono positive le tensioni di trazione sia nel calcestruzzo che nell'acciaio; i segni sono inoltre indicati dal colore blu per le trazioni e rosso per le compressioni. Per le verifiche allo SLE le tensioni di compressione sono negative e quelle di tensione sono positive

8 ANALISI CONDOTTE

8.1 TIPI DI ANALISI

Per il calcolo delle azioni agenti si sono condotti i seguenti tipi di analisi su diversi modelli di tipo locale e globale:

- analisi numeriche ed analitiche per i carichi da gravità;
- analisi secondo i tradizionali metodi della scienza delle costruzioni a supporto e verifica dei risultati forniti dal modello ad elementi finiti;
- analisi lineare dinamica modale con spettro di progetto per la verifica ad azione sismica.

8.2 DESCRIZIONE DEI MODELLI NUMERICI

Sono stati implementati tre differenti modelli numerici, con il programma di calcolo Sap2000, per la determinazione della domanda statica e sismica dei vari elementi strutturali che costituiscono i ponti

ciclo-pedonali in esame. Sap2000 contiene al proprio interno un catalogo di profili conforme agli standard UNI e un abaco di materiali affine alla normativa vigente NTC18.

8.2.1 PONTE PEDONALE "2B"

Per il ponte pedonale denominato "2B" si è realizzato un modello in cui per l'impalcato sono state modellate le n.4 travi principali portanti ($l=9,25$ m) e le n. 4 travi secondarie ($l=3,78$ m – $i=2,9$ m) di solo irrigidimento trasversale come elementi finiti di tipo frame. Le travi secondarie sono state considerate vincolate alle principali con un release a momento per le successive verifiche a deformazione e di resistenza del profilo mentre vincolate ad incastro per la verifica a momento della connessione.

I dispositivi di appoggio sono stati modellati come link lineari a cui è stata assegnata opportuna rigidità assiale e trasversale a seconda del grado di vincolo offerto. Lo schema di vincolo per gli appoggi adottato è rappresentato al capitolo 20.

Le spalle del ponte sono state modellate come elementi finiti monodimensionali di tipo frame.

I link degli appoggi sono collegati direttamente all'asse baricentrico delle travi di impalcato e tramite link rigidi agli elementi frame delle spalle.

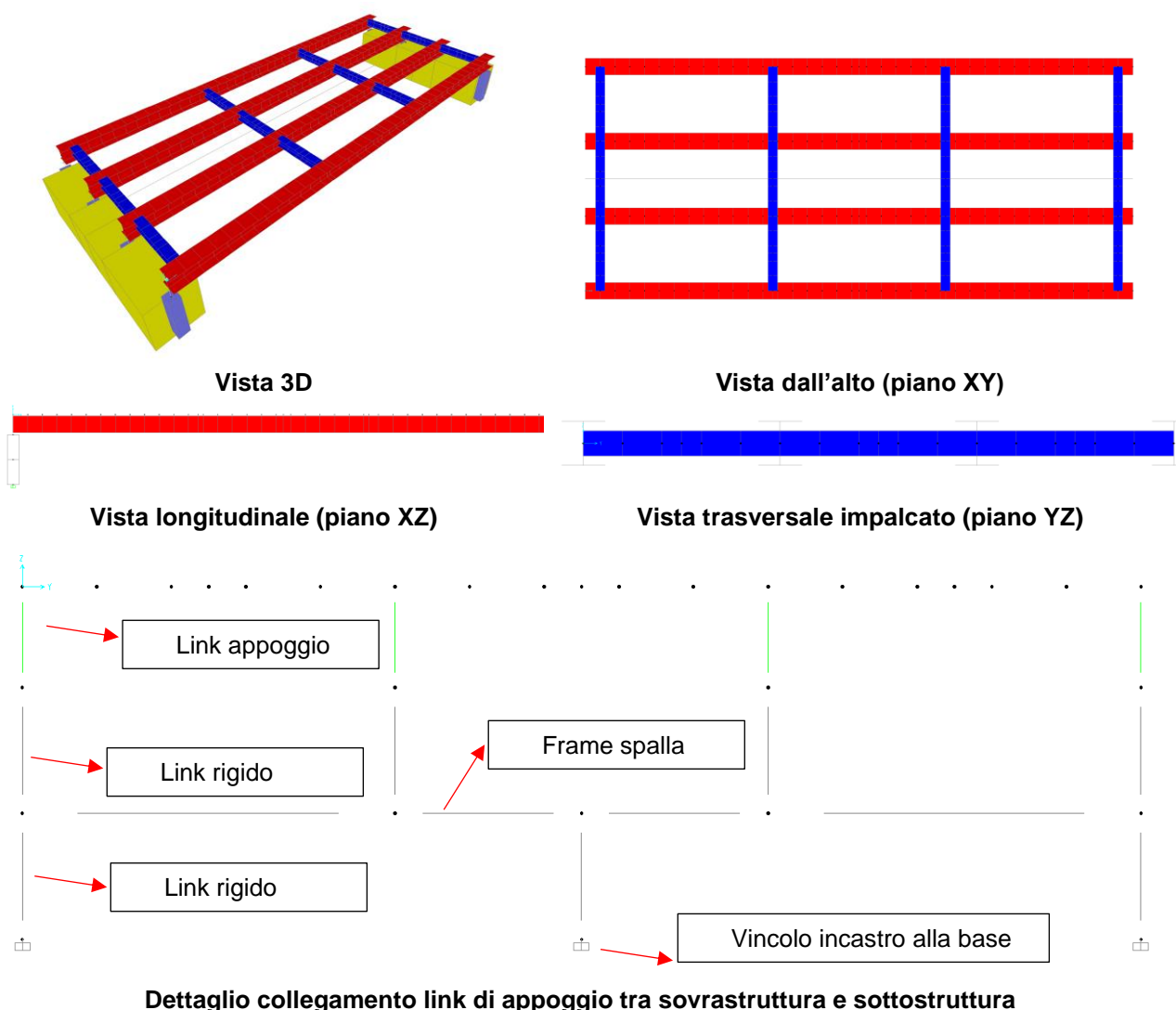


Figura 50 Viste Modello Sap 2000

I n.3 micropali di fondazione vengono modellati come incastri perfetti a terra. La spalla risulta quindi una trave (testa-palo) appoggiata su tre appoggi.

Si riepilogano in Tabella 2 la tipologia di elemento finito dei vari elementi strutturali e i valori delle costanti elastiche e delle rigidezze utilizzati nel modello:

Tabella 2. Riepilogo tipologia elementi e costanti elastiche

ELEMENTO	TIPO E.F.	MAT.	E [MPa]	ν	K_1 [kN/m]	K_2 [kN/m]	K_3 [kN/m]	R_1 [kNm/ rad]	R_2 [kNm/ rad]	R_3 [kNm/r ad]
Travi princ.	Frame HEB280 L=9,25 m	Acciaio	210'00 0	-	-	-	-	-	-	-
Travi sec.	Frame HEB160 L=1,26	Acciaio	210'00 0	-	-	-	-	-	-	-
Spalle	Frame B=0,90m H=0,85m	Cls armato	31'475, 81 *	-	-	-	-	-	-	-
Appoggio Fisso X e Y	Link lineare	-	-	-	1'100'0 00	100'00 0	100'00 0	0,1	0,1	0,1
Appoggio Fisso X	Link lineare	-	-	-	1'100'0 00	100'00 0	1'000	0,1	0,1	0,1
Appoggio Fisso Y	Link lineare	-	-	-	1'100'0 00	1'000	100'00 0	0,1	0,1	0,1
Appoggio libero X e Y	Link lineare	-	-	-	1'100'0 00	1'000	1'000	0,1	0,1	0,1

Il peso proprio totale G_1 della soletta, i carichi permanenti non strutturali G_2 e il variabile Q della neve sono stati assegnato come carichi uniformemente distribuiti per unità di superficie applicati direttamente alle shell.

I carichi variabili da traffico (folla compatta e carico veicolare di manutenzione) sono stati applicati come carichi "moving load" per tenere conto della massimizzazione (o minimizzazione) degli effetti secondo il criterio delle linee di influenza.

Il carico della temperatura è stato applicato come carico "temperature" applicato uniformemente sia alle shell che ai frame dell'impalcato. Il coefficiente di dilatazione termica utilizzato è pari a $\alpha_t = 12 \cdot 10^{-6}/^{\circ}\text{C}$ per le strutture miste in acciaio calcestruzzo:

Materiale	$\alpha_T [10^{-6}/^{\circ}\text{C}]$
Alluminio	24
Acciaio da carpenteria	12
Calcestruzzo strutturale	10
Strutture miste acciaio-calcestruzzo	12
Calcestruzzo alleggerito	7
Muratura	6 + 10
Legno (parallelo alle fibre)	5
Legno (ortogonale alle fibre)	30 + 70

Figura 51 Tabella 3.5.III Coefficienti di dilatazione termica a temperatura ambiente - NTC2018

Per tutti i valori dei carichi applicati nel modello vedere capitolo seguente 0 e i relativi paragrafi.

8.2.2 PONTI PEDONALI "1C" E "1D"

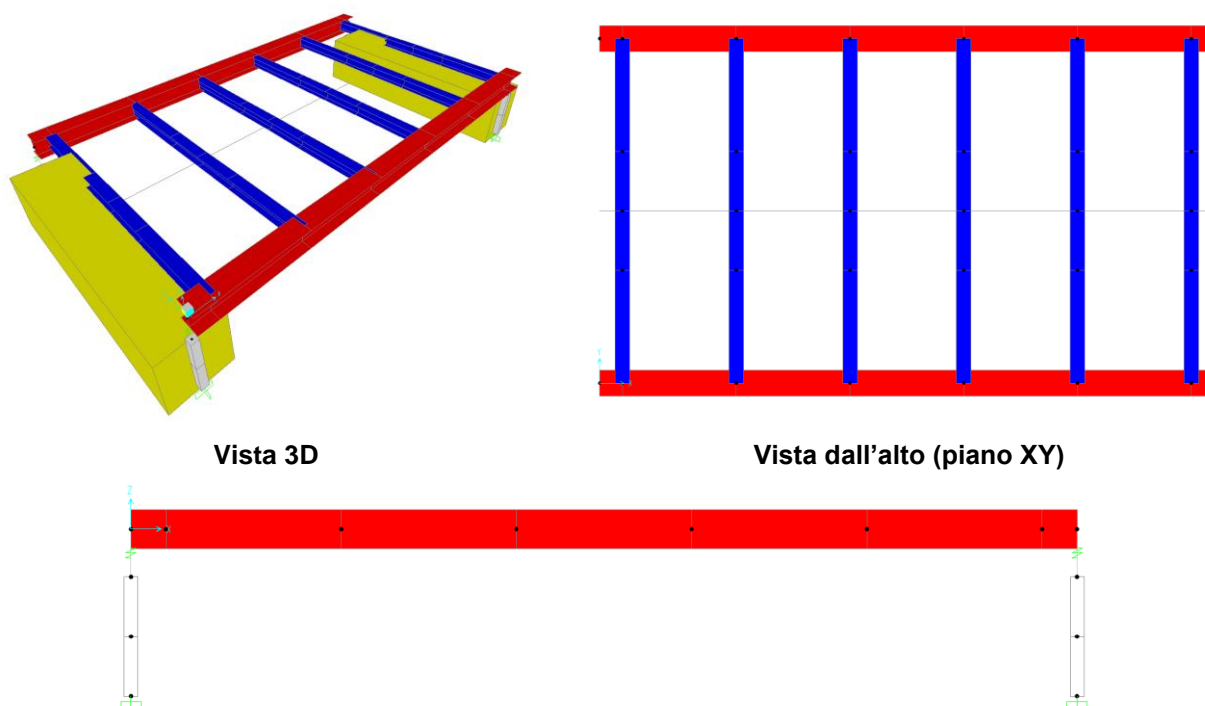
Per i ponti pedonali denominati "1C" e "1D" si è realizzato un modello in cui per l'impalcato sono state modellate le n.2 travi principali portanti ($l=6,75\text{m}$) e le n. 5 travi secondarie ($l=3,78 - i=1,25\text{m}$) come elementi finiti di tipo frame.

Le travi secondarie sono state considerate vincolate alle principali con un release a momento per le successive verifiche a deformazione e di resistenza del profilo mentre vincolate ad incastro per la verifica a momento della connessione.

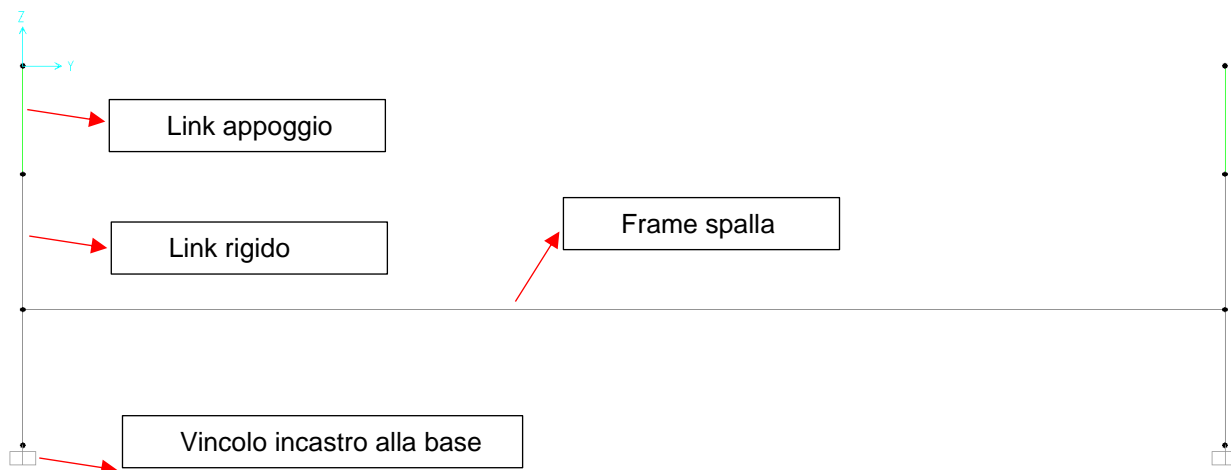
I dispositivi di appoggio sono stati modellati come link lineari a cui è stata assegnata opportuna rigidezza assiale e trasversale a seconda del grado di vincolo offerto.

Le spalle del ponte sono state modellate come elementi finiti monodimensionali di tipo frame.

I link degli appoggi sono collegati direttamente all'asse baricentrico delle travi di impalcato e tramite link rigidi agli elementi frame delle spalle.



Vista longitudinale (piano XZ)



Dettaglio collegamento link di appoggio tra sovrastruttura e sottostruttura

Figura 52 Viste Modello Sap 2000

I n.2 micropali di fondazione vengono modellati come incastri perfetti a terra. La spalla risulta quindi una trave (testa-palo) appoggiata su due appoggi.

Si riepilogano in Tabella 2 la tipologia di elemento finito dei vari elementi strutturali e i valori delle costanti elastiche e delle rigidezze utilizzati nel modello:

Tabella 3. Riepilogo tipologia elementi e costanti elastiche

ELEMENTO	TIPO E.F.	MAT.	E [MPa]	ν	K_1 [kN/m]	K_2 [kN/m]	K_3 [kN/m]	R_1 [kNm/ rad]	R_2 [kNm/ rad]	R_3 [kNm/r ad]
Travi princ.	Frame HEB280 L=6,75m	Acciaio	210'00 0	-	-	-	-	-	-	-
Travi sec.	Frame HEB160 L=3,78m	Acciaio	210'00 0	-	-	-	-	-	-	-
Spalle	Frame B=0,90m H=0,85m	Cls armato	31'475, 81	-	-	-	-	-	-	-
Appoggio Fisso X e Y	Link lineare	-	-	-	1'550'0 00	50'000	50'000	0,1	0,1	0,1
Appoggio Fisso X	Link lineare	-	-	-	1'550'0 00	50'000	1'300	0,1	0,1	0,1
Appoggio Fisso Y	Link lineare	-	-	-	1'550'0 00	1'300	50'000	0,1	0,1	0,1
Appoggio libero X e Y	Link lineare	-	-	-	1'550'0 00	1'300	1'300	0,1	0,1	0,1

Il peso proprio totale G_1 della soletta, i carichi permanenti non strutturali G_2 e il variabile Q della neve sono stati assegnati come carichi uniformemente distribuiti per unità di lunghezza applicati direttamente agli elementi frame delle travi secondarie.

I carichi variabili da traffico (folla compatta e carico veicolare di manutenzione) sono stati applicati come carichi "moving load" per tenere conto della massimizzazione (o minimizzazione) degli effetti secondo il criterio delle linee di influenza.

Il carico della temperatura è stato applicato come carico "temperature" applicato uniformemente ai frame dell'impalcato. Il coefficiente di dilatazione termica utilizzato è pari a $\alpha_t = 12 \cdot 10^{-6}/^{\circ}\text{C}$ per le strutture miste in acciaio calcestruzzo:

Materiale	$\alpha_T [10^{-6}/^{\circ}\text{C}]$
Alluminio	24
Acciaio da carpenteria	12
Calcestruzzo strutturale	10
Strutture miste acciaio-calcestruzzo	12
Calcestruzzo alleggerito	7
Muratura	6 ÷ 10
Legno (parallelo alle fibre)	5
Legno (ortogonale alle fibre)	30 ÷ 70

Figura 53 Tabella 3.5.III Coefficienti di dilatazione termica a temperatura ambiente - NTC2018

Per tutti i valori dei carichi applicati nel modello vedere capitolo seguente 0 e i relativi paragrafi.

9 CARATTERISTICHE DEI NUOVI MATERIALI

Nel dimensionare le strutture relative ai diversi manufatti in esame si sono utilizzati i seguenti materiali, le cui caratteristiche di resistenza vengono stabilite in base alla normativa basata sul metodo semi probabilistico agli stati limite:

9.1 ACCIAIO PER CARPENTERIA METALLICA PONTI CICLOPEDONALI

Elementi strutturali	profili impalcato e relative piastre di collegamento
Denominazione	S275 – J2 da UNI10025
Classe di esecuzione	EXC3
Legge costitutiva	bilineare
Allungamento ultimo di progetto	1,00 %
Resistenza allo snervamento	$f_{yk} = 275$ Mpa per $t < 40$ mm
Resistenza a rottura	$f_{tk} = 510$ Mpa per $t < 40$ mm
Coefficiente di sicurezza	$\gamma_M = 1,05$
Resistenza di progetto	$f_{yd} = 261,90$ Mpa
Modulo elastico (E_s)	$E_s = 210000$ MPa

Elementi strutturali	profili parapetto e relative piastre di collegamento
Denominazione	S235 – J2 da UNI10025
Classe di esecuzione	EXC3
Legge costitutiva	bilineare
Allungamento ultimo di progetto	1,00 %
Resistenza allo snervamento	$f_{yk} = 275$ Mpa per $t < 40$ mm
Resistenza a rottura	$f_{tk} = 510$ Mpa per $t < 40$ mm
Coefficiente di sicurezza	$\gamma_M = 1,05$
Resistenza di progetto	$f_{yd} = 261,90$ Mpa
Modulo elastico (E_s)	$E_s = 210000$ MPa

9.2 ACCIAIO PER LAMIERA GRECATI

Denominazione	S280GD secondo la norma UNI EN 10147
Classe di esecuzione	EXC3

9.3 ACCIAIO PER PIOLATURA MECCANICA SOLETTA E TRAVI

Denominazione	connettore a piolo per acciaio CTF105
Tecnaria (o similare equivalente)	

9.4 BULLONI E TIRAFONDI PER CARPENTERIA METALLICA

Denominazione vite	8.8 (alta resistenza)
Denominazione dado	8 (alta resistenza)
Allungamento ultimo di progetto	1,00 %
Resistenza allo snervamento	$f_{yb} = 640 \text{ MPa}$
Resistenza a rottura	$f_{tb} = 800 \text{ MPa}$
Coefficiente di sicurezza	$\gamma_s = 1,25$

9.5 CALCESTRUZZO

Elementi strutturali	Spalla (Trave testa palo)
Classe di resistenza	C25/30
Resistenza caratteristica cubica:	$R_{ck} = 30 \text{ MPa}$
Resistenza caratteristica cilindrica:	$f_{ck} = 25 \text{ MPa}$
Densità per unità di volume	$\rho = 2500 \text{ kg/m}^3$
Modulo elastico (E_{lcm})	$[22000 \cdot (f_{cm}/10)^{0.3}] = 31'475,81 \text{ MPa}$
Legge costitutiva	parabola rettangolo
Deformazione ultima a flessione	-0,35 %
Deformazione ultimo a compressione	-0,20 %
Coefficiente di sicurezza	$\gamma_c = 1,5$
Resistenza di progetto a compressione (lunga durata)	$f_{cd} = (0.85 \cdot 25) / 1,5 = 14,17 \text{ MPa}$
Classe di esposizione	XC2
Dimensione massima inerte	25 mm
Slump	S4

Elementi strutturali	Soletta
Classe di resistenza	C30/37
Resistenza caratteristica cubica:	$R_{ck} = 37 \text{ MPa}$
Resistenza caratteristica cilindrica:	$f_{lck} = 30 \text{ MPa}$
Densità per unità di volume	$\rho = 2500 \text{ kg/m}^3$
Modulo elastico (E_{lcm})	$[22000 \cdot (f_{cm}/10)^{0.3}] = 32'836,57 \text{ MPa}$
Legge costitutiva	parabola rettangolo
Deformazione ultima a flessione	-0,35 %
Deformazione ultimo a compressione	-0,20 %
Coefficiente di sicurezza	$\gamma_c = 1,5$
Resistenza di progetto a compressione (lunga durata)	$f_{cd} = (0.85 \cdot 30) / 1.5 = 17 \text{ MPa}$
Classe di esposizione	XC3
Dimensione massima inerte	16 mm
Slump	S5

9.6 ACCIAIO PER C.A.

Denominazione	B450C
Legge costitutiva	bilineare
Allungamento ultimo di progetto	1,00 %
Resistenza allo snervamento	$f_y = 450 \text{ MPa}$
Resistenza a rottura	$f_t = 540 \text{ MPa}$
Coefficiente di sicurezza	$\gamma_s = 1,15$
Resistenza di progetto	$f_{yd} = 391,3 \text{ Mpa}$

10 DURABILITA'

Al fine di proteggere le armature dalla corrosione si deve rispettare un valore limite di copriferro. Per massimizzare la protezione delle armature, si calcola il valore minimo del copriferro prendendo il massimo dai valori forniti dalla Circolare 2019 delle NTC18 (

Tabella 4 - per costruzioni con vita nominale pari a 50 anni) e l'Eurocodice 2 [7].

Nel caso in esame si considera per sia per la sottostruttura (spalle) che per la sovrastruttura (soletta d'impalcato) un ambiente ordinario.

Seguendo le NTC18, si ottiene:

1. Per la soletta collaborante d'impalcato (barre da c.a. di elementi a piastra) con cls di classe di resistenza C30/37 e di esposizione XC3 un valore di copriferro minimo $C_{min}=20$ mm;
2. Per i cordoli in c.a. della soletta d'impalcato (barre da c.a. di altri elementi) con cls di classe di resistenza C30/37 e di esposizione XC3 un valore di copriferro minimo $C_{min}=25$ mm;
3. Per le spalle (barre da c.a. di altri elementi) con cls di classe di resistenza C25/30 e di esposizione XC2 un valore di copriferro minimo $C_{min}=25$ mm;

Tabella 4 C4.1.IV Copriferro minimi in mm

C_{min}	C_0	ambiente	barre da c.a. elementi a piastra		barre da c.a. altri elementi		cavi da c.a.p. elementi a piastra		cavi da c.a.p. altri elementi	
			$C \geq C_0$	$C_{min} \leq C < C_0$	$C \geq C_0$	$C_{min} \leq C < C_0$	$C \geq C_0$	$C_{min} \leq C < C_0$	$C \geq C_0$	$C_{min} \leq C < C_0$
C25/30	C35/45	ordinario	15	20	20	25	25	30	30	35
C30/37	C40/50	aggressivo	25	30	30	35	35	40	40	45
C35/45	C45/55	molto ag.	35	40	40	45	45	50	50	50

Tabella 5. Classi di resistenza indicativa – Prospetto E.1N Eurocodice 2

Exposure Classes according to Table 4.1									
Corrosion									
	Carbonation-induced corrosion				Chloride-induced corrosion			Chloride-induced corrosion from sea-water	
	XC1	XC2	XC3	XC4	XD1	XD2	XD3	XS1	XS2
Indicative Strength Class	C20/25	C25/30	C30/37		C30/37		C35/45	C30/37	C35/45
Damage to Concrete									
	No risk		Freeze/Thaw Attack			Chemical Attack			
	X0	XF1	XF2	XF3		XA1	XA2	XA3	
Indicative Strength Class	C12/15	C30/37	C25/30	C30/37		C30/37		C35/45	

La classe di resistenza del calcestruzzo rispetta anche i limiti definiti dal prospetto 5 delle UNI11104 (Tabella 6).

Tabella 6. Valori limite per la composizione e proprietà del calcestruzzo – UNI11104

prospetto 5	Valori limite per la composizione e le proprietà del calcestruzzo																	
	Classi di esposizione																	
	Nessun rischio di corrosione dell'armatura		Corrosione delle armature indotta dalla carbonatazione				Corrosione delle armature indotta da cloruri			Attacco da cicli di gelo/disgelo				Ambiente aggressivo per attacco chimico				
						Acqua di mare			Cloruri provenienti da altre fonti									
	XC0	XC1	XC2	XC3	XC4	XS1	XS2	XS3	XD1	XD2	XD3	XF1	XF2	XF3	XF4	XA1	XA2	XA3
Massimo rapporto a/c	-	0,60	0,55	0,50	0,50	0,50	0,45	0,55	0,50	0,45	0,50	0,50	0,50	0,45	0,55	0,50	0,45	
Minima classe di resistenza	C12/15	C25/30	C30/37	C32/40	C32/40	C35/45	C30/37	C32/40	C35/45	C32/40	C25/30	C30/37	C30/37	32/40	35/45			
Minimo contenuto in cemento (kg/m³) ^{a)}	-	300	320	340	340	360	320	340	360	320	340	360	320	340	360	320	340	360
Contenuto minimo in aria (%)												b)	4,0 ^{b)}					
Altri requisiti						E' richiesto l'utilizzo di cementi resistenti all'acqua di mare secondo UNI 9156				E' richiesto l'utilizzo di aggregati conformi alla UNI EN 12620 di adeguata resistenza al gelo/disgelo				In caso di esposizione a terreno o acqua del terreno contenente solfati nei limiti del prospetto 2 della UNI EN 206:2014, è richiesto l'impiego di cementi resistenti ai solfati ^{c)}				

a) Quando il calcestruzzo non contiene aria inglobata, le sue prestazioni devono essere verificate rispetto ad un calcestruzzo aerato per il quale è provata la resistenza al gelo/disgelo, da determinarsi secondo UNI CEN/TS 12390-9, UNI CEN/TR 15177 o UNI 7067 per la relativa classe di esposizione. Il valore minimo di aria inglobata del 4% può ritenersi adeguato per calcestruzzi specificati con $D_{req} > 20\text{mm}$; per D_{req} inferiori il limite minimo andrà opportunamente aumentato (ad esempio 5% per D_{req} tra 12 mm e 16 mm).

b) Qualora si ritenga opportuno impiegare calcestruzzo aerato anche in classe di esposizione XF1 si adottano le specifiche di composizione prescritte per le classi XF2 e XF3.

c) Cementi resistenti ai solfati sono definiti dalla UNI EN 197-1 e su base nazionale dalla UNI 9156. La UNI 9156 classifica i cementi resistenti ai solfati in tre classi: moderata, alta e altissima resistenza solfatica. La classe di resistenza solfatica del cemento deve essere prescelta in relazione alla classe di esposizione del calcestruzzo secondo il criterio di corrispondenza della UNI 1147-1.

d) Quando si applica il concetto di valore k il rapporto massimo a/c e il contenuto minimo di cemento sono calcolati in conformità al punto 5.2.2.

Ai valori dei copriferri indicati vanno aggiunti 10mm per tolleranze di posa, ricapitolando si ottiene:

1. Per la soletta collaborante d'impalcato un valore di copriferro minimo $C=30\text{ mm}$;
2. Per i cordoli in c.a della soletta d'impalcato un valore di copriferro minimo $C=35\text{ mm}$;
3. Per le spalle un valore di copriferro minimo $C=35\text{ mm}$;

Seguendo invece la progettazione secondo [7]:

I copriferri netti di progetto indicano la distanza tra la superficie più esterna dell'armatura più prossima alla superficie del calcestruzzo e la superficie stessa del calcestruzzo.

Il copriferro è definito come il copriferro minimo c_{min} più un margine di progetto per gli scostamenti Δc_{dev} :

$$c_{netto} = c_{min} + \Delta c_{dev}$$

Il valore di c_{min} è da intendersi come il valore massimo fra il copriferro minimo richiesto per durabilità e per resistenza al fuoco (nel caso fosse richiesto).

I copriferri minimi indicati in normativa UNI EN 1992-1-1:2005 sono netti.

Il copriferro minimo delle armature deve tenere conto della classe di esposizione e della classe strutturale. La classe strutturale raccomandata è S4 e le modifiche raccomandate della normativa sono date dalla seguente tabella:

Tabella 7: UNI EN 1992-1-1:2005, prospetto 4.3N Classificazione strutturale raccomandata

Classe Strutturale							
Criterio	Classe di esposizione secondo il prospetto 4.1						
	X0	XC1	XC2 / XC3	XC4	XD1	XD2 / XS1	XD3 / XS2 / XS3
Vita utile di progetto di 100 anni	aumentare di 2 classi	aumentare di 2 classi	aumentare di 2 classi	aumentare di 2 classi	aumentare di 2 classi	aumentare di 2 classi	aumentare di 2 classi
Classe di resistenza ^{1) 2)}	≥C30/37 ridurre di 1 classe	≥C30/37 ridurre di 1 classe	≥C35/45 ridurre di 1 classe	≥C40/50 ridurre di 1 classe	≥C40/50 ridurre di 1 classe	≥C40/50 ridurre di 1 classe	≥C45/55 ridurre di 1 classe
Elemento di forma simile ad una soletta (posizione delle armature non influenzata dal processo costruttivo)	ridurre di 1 classe	ridurre di 1 classe	ridurre di 1 classe	ridurre di 1 classe	ridurre di 1 classe	ridurre di 1 classe	ridurre di 1 classe
È assicurato un controllo di qualità speciale della produzione del calcestruzzo	ridurre di 1 classe	ridurre di 1 classe	ridurre di 1 classe	ridurre di 1 classe	ridurre di 1 classe	ridurre di 1 classe	ridurre di 1 classe

Per il seguente elemento strutturale in progetto è stato considerato la seguente classe:

Tabella 8: Classi strutturali di progetto

Elemento strutturale	Classe Esposizione	Classe strutturale	Modifiche apportate
Spalle	XC2	S4	
Soletta	XC3	S3	Elemento di forma simile ad una soletta: ridurre di 1 classe

Per l'Eurocodice 2 il calcolo del copriferro minimo è il seguente:

Dove

$$C_{min} = \max\{C_{min,b}; C_{min,dur} + \Delta_{cdur,\gamma} - \Delta_{cdur,st} - \Delta_{cdur,add}; 10mm\}$$

I valori di $\Delta_{cdur,\gamma}$, $\Delta_{cdur,st}$ e $\Delta_{cdur,add}$ sono assunti pari a 0.

Dal prospetto 4.2 si ricava il valore di $C_{min,b}$:

Tabella 9. Copriferro minimi $C_{min,b}$ – Prospetto 4.2 Eurocodice 2

prospetto 4.2

Copriferro minimo, $C_{min,b}$, richiesto con riferimento all'aderenza

Requisito relativo all'aderenza	
Disposizione delle armature	Copriferro minimo $C_{min,b}$ ^{*)}
Isolate	Diametro della barra
Raggruppate	Diametro equivalente (ϕ_n) (vedere punto 8.9.1)
*) Se la dimensione nominale massima dell'aggregato è maggiore di 32 mm, si raccomanda di maggiore $C_{min,b}$ di 5 mm.	

$C_{min,b} = 20 \text{ mm}$; (diametro barre longitudinali – sottostruttura)

$C_{min,b} = 10 \text{ mm}$; (diametro barre longitudinali – soletta)

Tabella 10: UNI EN 1992-1-1:2005, prospetto 4.4N Valori del copriferro minimo c_{min}

Requisito ambientale per $c_{min,dur}$ (mm)							
Classe strutturale	Classe di esposizione secondo il prospetto 4.1						
	X0	XC1	XC2 / XC3	XC4	XD1 / XS1	XD2 / XS2	XD3 / XS3
S1	10	10	10	15	20	25	30
S2	10	10	15	20	25	30	35
S3	10	10	20	25	30	35	40
S4	10	15	25	30	35	40	45
S5	15	20	30	35	40	45	50
S6	20	25	35	40	45	50	55

Il margine di progetto per gli scostamenti Δc_{dev} considerato è pari a 10 mm in quanto l'esecuzione non è sottoposta ad un sistema di assicurazione della qualità, nel quale siano incluse le misure dei copriferri. Tale valore rispetta la raccomandazione dell'eurocodice 2 descritte nel punto 4.4.1.3:

- Nota La riduzione di Δc_{dev} da adottare in uno Stato in tali circostanze può essere reperita nella sua appendice nazionale. I valori raccomandati sono:
- se l'esecuzione è sottoposta ad un sistema di assicurazione della qualità, nel quale siano incluse le misure dei copriferri, lo scostamento ammesso nel progetto, Δc_{dev} , può essere ridotto a:
 $10 \text{ mm} \geq \Delta c_{dev} \geq 5 \text{ mm}$ (4.3N)
 - se si può assicurare che sia utilizzato un dispositivo di misurazione molto accurato per il monitoraggio e che gli elementi non conformi siano respinti (per esempio elementi prefabbricati), lo scostamento ammesso Δc_{dev} può essere ridotto a:
 $10 \text{ mm} \geq \Delta c_{dev} \geq 0 \text{ mm}$ (4.4N)

Si riassumono di seguito i dati principali del progetto:

Tabella 11: Valori di copriferro di progetto

Elemento strutturale	Classe Esposizione	Classe strutturale	C_{min} EC2 [mm]	C_{min} NTC18 [mm]	$C_{min,max}$ [mm]	C_{dev} [mm]	C_{NOM} [mm]	C_{prog} [mm]
Spalle	XC2	S4	25	25	25	10	35	35
Soletta	XC3	S3	20	20	20	10	30	30
Cordoli soletta	XC3	S4	25	25	25	10	35	35

11 ANALISI DEI CARICHI STATICI

Nel seguito è riportata la classificazione delle azioni sulle strutture secondo la variazione della loro intensità nel tempo prevista dal D.M. del 17 gennaio 2018 (§2.5.1.3):

PERMANENTI (G): azioni che agiscono durante tutta la vita nominale di progetto della costruzione, la cui variazione di intensità nel tempo è molto lenta e di modesta entità:

- peso proprio di tutti gli elementi strutturali; peso proprio del terreno, quando pertinente; forze indotte dal terreno (esclusi gli effetti di carichi variabili applicati al terreno); forze risultanti dalla pressione dell'acqua (quando si configurino costanti nel tempo) (G_1);
- peso proprio di tutti gli elementi non strutturali (G_2);
- spostamenti e deformazioni impressi, incluso il ritiro;
- presollecitazione (P).

VARIABILI (q): azioni che agiscono con valori istantanei che possono risultare sensibilmente diversi fra loro nel corso della vita nominale della struttura:

- sovraccarichi;
- azioni del vento;
- azioni della neve;
- azioni della temperatura.

Le azioni variabili sono dette di lunga durata se agiscono con un'intensità significativa, anche non continuativamente, per un tempo non trascurabile rispetto alla vita nominale della struttura. Sono dette di breve durata se agiscono per un periodo di tempo breve rispetto alla vita nominale della struttura. A seconda del sito ove sorge la costruzione, una medesima azione climatica può essere di lunga o di breve durata.

ECCEZIONALI (A): azioni che si verificano solo eccezionalmente nel corso della vita nominale della struttura;

- incendi;
- esplosioni;
- urti ed impatti;

SISMICHE (E): azioni derivanti dai terremoti.

Quando rilevante, nella valutazione dell'effetto delle azioni è necessario tenere conto del comportamento dipendente dal tempo dei materiali, come per la viscosità.

11.1 AZIONI DI CALCOLO PER GRAVITÀ

Nella loro completezza, le azioni che devono essere considerate nella progettazione dei ponti stradali sono:

AZIONI PERMANENTI

G_1 = peso proprio delle strutture

G_2 = carichi permanenti portati

G_3 = altre azioni permanenti

DISTORSIONI E DEFORMAZIONI IMPRESSE

ε_1 = distorsioni e pre-sollecitazioni di progetto

ε_2 = ritiro del calcestruzzo

ε_3 = viscosità

ε_4 = cedimenti vincolari

AZIONI VARIABILI DA TRAFFICO

q_1 = carichi mobili

q_2 = incremento dinamico addizionale in presenza di discontinuità strutturali

q_3 = azioni longitudinali di frenamento

q_4 = azione centrifuga

AZIONI VARIABILI

q_5 = azioni di neve e vento

q_6 = azioni idrodinamiche

q_7 = azioni della temperatura

q_8 = azioni sui parapetti e urto di veicolo in svio

q_9 = resistenze parassite dei vincoli

ALTRE AZIONI

E = azioni sismiche

A = azioni eccezionali

11.2 AZIONI PERMANENTI

11.2.1 PESO PROPRIO DELLE STRUTTURE (G_1)

Il peso proprio di tutti gli elementi strutturali è stato valutato assumendo per l'acciaio strutturale un peso specifico pari a $\gamma_s = 78,50 \text{ kN/m}^3$ per l'acciaio e $\gamma_c = 25,00 \text{ kN/m}^3$ per il calcestruzzo armato.

Avendo assegnato a ciascun profilo in acciaio che compone la struttura la sua reale sezione trasversale, la valutazione di tale azione viene condotta in modo automatico dal codice di calcolo utilizzato per le analisi.

La soletta collaborante viene considerata invece come carico permanente strutturale pari a $G_{1, \text{lamiera}} = 3,15 \text{ kN/m}^2$, avendo un'altezza totale di 150 mm (55mm di lamiera grecata e 90 mm di getto di completamento).

Nel modello "2B" si è applicato alle travi principali centrali un valore pari a $G_{1, \text{lamiera}} = 3,15 \text{ kN/m}^2 \times 1,26 \text{ m} = 3,97 \text{ kN/m}$ e di 1,98 kN/m su quelle di bordo.

Nei modelli "1C" e "1D" si sono applicati sulle travi secondarie centrali un valore di $G_{1, \text{lamiera}} = 3,15 \text{ kN/m}^2 \times 1,25 \text{ m} = 3,97 \text{ kN/m}$ e $G_{1, \text{lamiera}} = 3,15 \times 0,875 \text{ m} = 2,76 \text{ kN/m}$ sulle travi secondarie di bordo.

In entrambi i modelli strutturali si è considerato presente inoltre sulle travi di bordo 70-90mm aggiuntivi di getto in cls per la formazione dei cordoli, pari a circa $G_{1, \text{cordoli}} = 0,60 \text{ kN/m}$

11.2.2 CARICHI PERMANENTI NON STRUTTURALI (G_2)

I carichi permanenti non strutturali vengono applicati nei modelli di calcolo come carichi per unità di lunghezza, considerando un valore per unità di superficie pari a $G_2 = 1,00 \text{ kN/m}^2$.

Nel modello "2B" si è applicato alle travi principali centrali un valore pari a $G_2 = 1,00 \text{ kN/m}^2 \times 1,26 \text{ m} = 1,26 \text{ kN/m}$ e di 0,63 kN/m su quelle di bordo.

Nei modelli 1C e 1D si sono applicati sulle travi secondarie centrali un valore di $G_2 = 1,00 \text{ kN/m}^2 \times 1,25 \text{ m} = 1,25 \text{ kN/m}$ e $G_2 = 1,00 \text{ kN/m}^2 \times 0,875 \text{ m} = 0,88 \text{ kN/m}$ sulle travi secondarie di bordo.

11.3 AZIONI VARIABILI DA TRAFFICO

11.3.1 CARICHI MOBILI

Come specificato al paragrafo §5.1.3.3.4 delle NTC18, le passerelle pedonali risultano fare parte dei ponti stradali di 2a categoria: ponti: ponti per il transito dei soli carichi associati allo Schema 5 (ponti pedonali).

Per i ponti pedonali, come indicato al paragrafo §5.1.3.3.5, si deve considerare il carico associato allo schema 5 (folla compatta) applicato con la disposizione più gravosa per le singole verifiche.

Il paragrafo §5.1.3.3.3 delle NTC indica che lo schema di carico 5 è costituito dalla folla compatta, agente con intensità nominale (comprensiva degli effetti dinamici) di $5,0 \text{ kN/m}^2$. Il valore di combinazione è invece di $2,5 \text{ kN/m}^2$. Il carico folla deve essere applicato su tutte le zone significative della superficie di influenza, inclusa l'area dello spartitraffico centrale, ove rilevante.

Avendo la passerella una carreggiata di 3,5m, la larghezza della corsia convenzionale sarà pari alla larghezza dell'intera carreggiata come riportato al §5.1.3.3.2 delle NTC18.

Per operazioni di manutenzione o di soccorso viene considerato lo schema di carico riportato al paragrafo §C5.1.8 della Circolare 2019, nel quale si considera un carico tandem costituito da due assi di peso $Q_{sv1} = 40\text{kN}$ e $Q_{sv2} = 80\text{kN}$, comprensivi degli effetti dinamici, con carreggiata di 1,3m ed interasse 3m. L'impronta di ciascuna ruota può essere considerata di lato 20cm (vedi **Figura 54**).

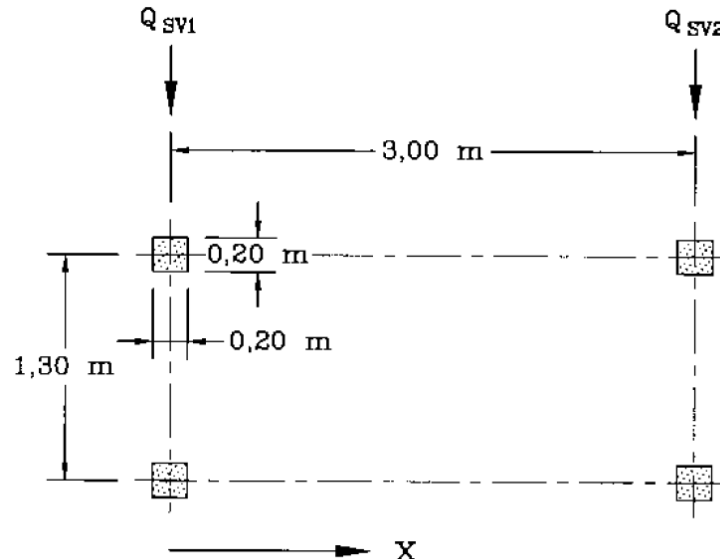


Figura 54 Veicolo di servizio per passerelle pedonali

Per la forza orizzontale di frenamento si considera il 60% del carico verticale tandem.

Ricapitolando i carichi da traffico verticali che si considerano sono di due tipi:

Schema 5: folla compatta 5kN/m^2 ($2,5\text{kN/m}^2$ in combinazione);

Carico Tandem: $Q_{sv1} = 40\text{kN}$ e $Q_{sv2} = 80\text{kN}$.

Per le verifiche locali si considera il carico tandem rappresentato in Figura 54 e il carico associata allo schema 4, è costituito da un carico isolato da 10kN con impronta quadrata di lato $0,10\text{ m}$. Il primo carico risulta quello dominante ai fini delle verifiche.

11.3.2 INCREMENTO DINAMICO ADDIZIONALE IN PRESENZA DI DISCONTINUITÀ STRUTTURALI: Q2

Non presente non essendoci discontinuità strutturale della soletta.

11.3.3 AZIONE LONGITUDINALE DI FRENAMENTO: Q3

Come azione longitudinale di frenamento è stata considerata, come riportato al paragrafo §C5.1.8 della Circolare 2019, il 60% del carico verticale tandem del veicolo di servizio, come riportato di seguito:

- Carico Tandem: $Q_{s01} = 24\text{kN}$ e $Q_{s02} = 48\text{kN}$.

11.3.4 AZIONE CENTRIFUGA: Q4

Non presente in quanto la passerella è rettilinea.

11.4 AZIONI VARIABILI

11.4.1 AZIONE DI NEVE, VENTO: Q5

11.4.1.1 Carichi da neve

La determinazione del carico da neve si ricava in funzione delle prescrizioni riportate al §3.4 delle Norme Tecniche per le Costruzioni (DM 17 gennaio 2018).

Dati:

Regione: Lombardia
 Località: Valle Salimbene
 (PV), Santa Margherita (PV), Torre Dè Negri (PV)
 Zona: I - Mediterranea
 Quota sul livello del mare: 63,61,73 m circa
 Inclinazione falda: piano

Coefficienti:

$q_{sk} = 1,5$ [kN/m²] §3.4.2
 $\mu_i = 0,8$ §3.4.3
 $C_E = 1$ §3.4.4
 $C_t = 1$ §3.4.5

Il carico della neve è fornito dalla seguente relazione:

$$q_s = q_{sk} \cdot \mu_i \cdot C_E \cdot C_t = 1,20 \text{ kN/m}^2$$

11.4.1.2 Carichi da vento

La pressione del vento si ricava in funzione delle prescrizioni riportate al §3.3 delle Norme Tecniche per le Costruzioni (DM 17 gennaio 2018) con l'ausilio della Circolare 2019.

L'azione del vento per le passerelle in esame può essere convenzionalmente assimilata ad un carico orizzontale statico, diretto ortogonalmente all'asse del ponte applicato come carico uniformemente distribuito alle travi laterali costituenti l'impalcato. Il valore del carico viene indicato successivamente al calcolo riportato.

Per i parametri identificativi dell'azione del vento sono riportati nella tabella seguente.

Tabella 12: Valori dei parametri $v_{b,0}$, a_0 , k_s

Zona	Descrizione	$v_{b,0}$ [m/s]	a_0 [m]	k_s
1	Valle d'Aosta, Piemonte, Lombardia, Trentino Alto Adige, Veneto, Friuli Venezia Giulia (con l'eccezione della provincia di Trieste)	25	1000	0,40
2	Emilia Romagna	25	750	0,45
3	Toscana, Marche, Umbria, Lazio, Abruzzo, Molise, Puglia, Campania, Basilicata, Calabria (esclusa la provincia di Reggio Calabria)	27	500	0,37
4	Sicilia e provincia di Reggio Calabria	28	500	0,36
5	Sardegna (zona a oriente della retta congiungente Capo Teulada con l'Isola di Maddalena)	28	750	0,40
6	Sardegna (zona a occidente della retta congiungente Capo Teulada con l'Isola di Maddalena)	28	500	0,36
7	Liguria	28	1000	0,54
8	Provincia di Trieste	30	1500	0,50
9	Isole (con l'eccezione di Sicilia e Sardegna) e mare aperto	31	500	0,32

In mancanza di specifiche ed adeguate indagini statistiche v_b è data dall'espressione:

§3.3.1 Velocità base di riferimento ($V_{b,0}$)

Zona 1: Lombardia

$V_{b,0} = 25 \text{ m/s}$

velocità base di riferimento al livello del mare

$a_s = 73 \text{ m}$

altitudine sul livello del mare del sito

$a_0 = 1000 \text{ m}$

parametri forniti dalla Tab. 3.3.I in funzione della zona in cui sorge la

$k_s = 0,4$

costruzione

$C_a = 1$

coefficiente di altitudine

$V_b = V_{b,0} \times C_a = 25 \times 1 = 25 \text{ m/s}$

velocità base di riferimento

§3.3.2 Velocità di riferimento (V_r)

$T_r = 50 \text{ anni}$

periodo di ritorno

$$c_r = 0,75 \sqrt{1 - 0,2 \ln \left[-\ln \left(1 - \frac{1}{T_r} \right) \right]} = 1,00 \quad \text{Coefficiente di ritorno}$$

$V_r = V_b \times C_r = 25 \times 1 = 25 \text{ m/s}$

velocità di riferimento

§3.3.6 Pressione cinetica di riferimento (q_r)

$q_r = \frac{1}{2} \times \rho \times V_b^2 = \frac{1}{2} \times 1,25 \times 25^2 = 390,6 \text{ N/m}^2$

§3.3.7 Coefficiente di esposizione (c_e)

Si considera una classe di rugosità del terreno **D** con riferimento alla **Tabella 13**.

Tabella 13 Classi di rugosità del terreno

Classe di rugosità del terreno	Descrizione
A	Aree urbane in cui almeno il 15% della superficie sia coperto da edifici la cui altezza media superi i 15 m
B	Aree urbane (non di classe A), suburbane, industriali e boschive
C	Aree con ostacoli diffusi (alberi, case, muri, recinzioni,...); aree con rugosità non riconducibile alle classi A, B, D
D	a) Mare e relativa fascia costiera (entro 2 km dalla costa); b) Lago (con larghezza massima pari ad almeno 1 km) e relativa fascia costiera (entro 1 km dalla costa) c) Aree prive di ostacoli o con al più rari ostacoli isolati (aperta campagna, aeroporti, aree agricole, pascoli, zone paludose o sabbiose, superfici innevate o ghiacciate, ...)

L'assegnazione della classe di rugosità non dipende dalla conformazione orografica e topografica del terreno. Si può assumere che il sito appartenga alla Classe A o B, purché la costruzione si trovi nell'area relativa per non meno di 1 km e comunque per non meno di 20 volte l'altezza della costruzione, per tutti i settori di provenienza del vento ampi almeno 30°. Si deve assumere che il sito appartenga alla Classe D, qualora la costruzione sorge nelle aree indicate con le lettere a) o b), oppure entro un raggio di 1 km da essa vi sia un settore ampio 30°, dove il 90% del terreno sia del tipo indicato con la lettera c). Laddove sussistano dubbi sulla scelta della classe di rugosità, si deve assegnare la classe più sfavorevole (l'azione del vento è in genere minima in Classe A e massima in Classe D).

ZONE 1, 2, 3, 4, 5						
	costa	mare	2 km	10 km	30 km	
A	--	IV	IV	V	V	V
B	--	III	III	IV	IV	IV
C	--	*	III	III	IV	IV
D	I	II	II	II	III	**
* Categoria II in zona 1, 2, 3, 4 Categoria III in zona 5						
** Categoria III in zona 2, 3, 4, 5 Categoria IV in zona 1						

Figura 55 Definizione delle categorie di esposizione

Si considera quindi una categoria di esposizione del sito **II** con riferimento alla **Figura 55**.

Il coefficiente di esposizione c_e dipende dall'altezza z sul suolo del punto considerato, dalla topografia del terreno e dalla categoria di esposizione del sito ove sorge la costruzione. In assenza di analisi specifiche che tengano in conto la direzione di provenienza del vento e l'effettiva scabrezza e topografia del terreno che circonda la costruzione, per altezze sul suolo non maggiori di $z = 200$ m, esso è dato dalla formula:

$$c_e(z) = k_r^2 c_t \ln(z/z_0) [7 + c_t \ln(z/z_0)] \quad \text{per } z \geq z_{\min}$$

$$c_e(z) = c_e(z_{\min}) \quad \text{per } z < z_{\min}$$

dove k_r , z_0 , z_{\min} sono assegnati in tabella seguente in funzione della categoria di esposizione del sito ove sorge la costruzione; c_t è il coefficiente di topografia, posto pari ad 1.

Tabella 14 Parametri per la definizione del coefficiente di esposizione

Categoria di esposizione del sito	K_r	z_0 [m]	z_{\min} [m]
I	0,17	0,01	2
II	0,19	0,05	4
III	0,20	0,10	5
IV	0,22	0,30	8
V	0,23	0,70	12

$K_r = 0,19$ m

$z_0 = 0,05$ m

$z_{\min} = 4$ m

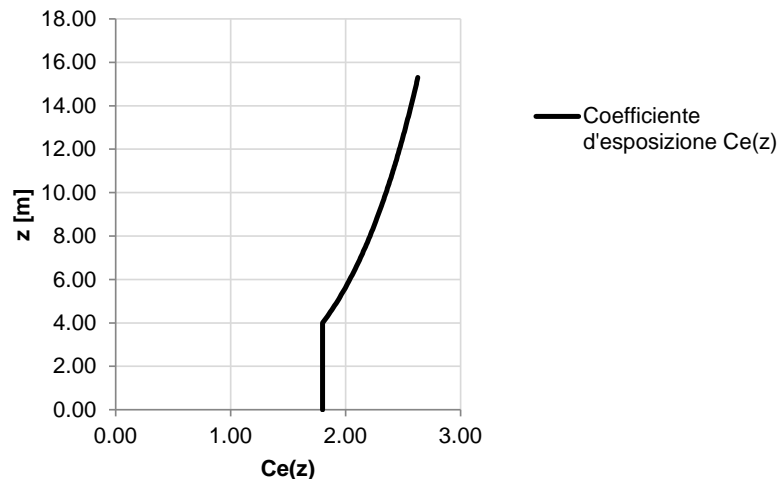


Figura 56 Coefficiente di esposizione

Per il caso in esame le quote degli impalcati sono ad un'altezza dal PC inferiore ai 4,00 e quindi il valore del coefficiente d'esposizione è pari 1,80.

Il coefficiente dinamico c_d tiene in conto degli effetti riduttivi associati alla non contemporaneità delle massime pressioni locali e degli effetti amplificativi dovuti alla risposta dinamica della struttura. Si assume cautelativamente c_d pari a 1.

I valori delle pressioni normali del vento assunte sono quindi pari a:

$$p_1 = q_r \times C_e \times C_p \times C_d = 390,6 \times 1,80 \times 0,8 \times 1 = 0,563 \text{ kPa (sopravento);}$$

$$p_2 = q_r \times C_e \times C_p \times C_d = 390,6 \times 1,80 \times 0,4 \times 1 = 0,281 \text{ kPa (sottovento);}$$

Considerando un'altezza dell'impalcato pari a 480 mm (caso peggiore 2B) si hanno quindi i seguenti carichi distribuiti da applicare alle travi di bordo:

$$q_1 = 0,563 \times 0,48 = 0,270 \text{ kN/m (sopravento);}$$

$$q_2 = 0,281 \times 0,48 = 0,135 \text{ kN/m (sottovento);}$$

11.4.2 AZIONI IDRODINAMICHE: Q6

Non presenti.

11.4.3 AZIONI DELLA TEMPERATURA: Q7

Come specificato al paragrafo §3.5.4 di [1] e più nello specifico al §5.1.4.5 di [2] i valori di progetto da adottare per le variazioni termiche uniformi dell'impalcato possono essere espresse come segue:

$$\Delta T_{exp,d} = \Delta T_{exp} + \Delta T_0$$

$$\Delta T_{con,d} = \Delta T_{con} + \Delta T_0$$

In cui:

$$\Delta T_{exp} = +T_{e,max} - T_0 = 41,56 - 15 = 26,56^\circ$$

$$\Delta T_{con} = -T_{e,min} - T_0 = -(-15,29) - 15 = -30,29$$

Si considera quindi un valore di variazione termica uniforme sull'impalcato pari a $\pm 30^\circ$

11.4.4 AZIONI SUI PARAPETTI E URTO DI VEICOLI IN SVIO: Q8

Si considerano un'azione orizzontale di spinta pari a 2 kN/m applicata sul corrimano del parapetto.

11.4.5 RESISTENZE PARASSITE DEI VINCOLI: Q9

Si considerano forze parassite dei vincoli trasversali circa pari al 3% del carico verticale allo stato limite ultimo.

12 ANALISI DEI CARICHI SISMICI

Si riportano di seguito i dati relativi all'elaborazione degli spettri di progetto ai sensi delle Norme tecniche per le Costruzioni (NTC), approvate con D.M. 17 gennaio 2018.

Ai fini delle verifiche sismiche, secondo quanto previsto dal D.M. del 17 gennaio 2018, vengono individuati due stati limite di esercizio e due stati limite ultimi. Per le verifiche dell'intervento in oggetto si considererà in accordo con la normativa vigente sugli edifici esistenti, il solo SLV.

- Stato Limite di Operatività (SLO)
- Stato Limite di Danno (SLD)
- Stato Limite di Salvaguardia della Vita (SLV)
- Stato Limite di Collasso (SLC)

Si fa riferimento al paragrafo 7 delle NTC18 per i dettagli relativi al soddisfacimento dei requisiti prestazionali degli stati limite sopra descritti.

12.1 PERIODO DI RIFERIMENTO PER L'AZIONE SISMICA

La vita nominale di progetto V_N di un'opera è convenzionalmente definita come il numero di anni nel quale è previsto che l'opera, purché soggetta alla necessaria manutenzione, mantenga specifici livelli prestazionali; tenendo conto che si tratta di un'opera ordinaria, la costruzione appartiene al tipo 2. Si assume una vita nominale minima pari a $V_N=50$ (tabella 2.4.I delle NTC).

In presenza di azione sismica le costruzioni sono suddivise in classi d'uso in base alle conseguenze di una interruzione di operatività o di un eventuale collasso; in questo caso si considera la classe d'uso II che raggruppa costruzioni il cui uso preveda normali affollamenti, senza contenuti pericolosi per l'ambiente e senza funzioni pubbliche e sociali essenziali. Industrie con attività non pericolose per l'ambiente. A questa classe corrisponde il coefficiente d'uso $C_U = 1$.

Dai dati sopra citati, si ottiene un periodo di riferimento per l'azione sismica pari a $V_R = V_N \times C_U = 50$ che corrisponde ad un periodo di ritorno pari a $T_R = 475$ anni per SLV (probabilità di superamento del 10%).

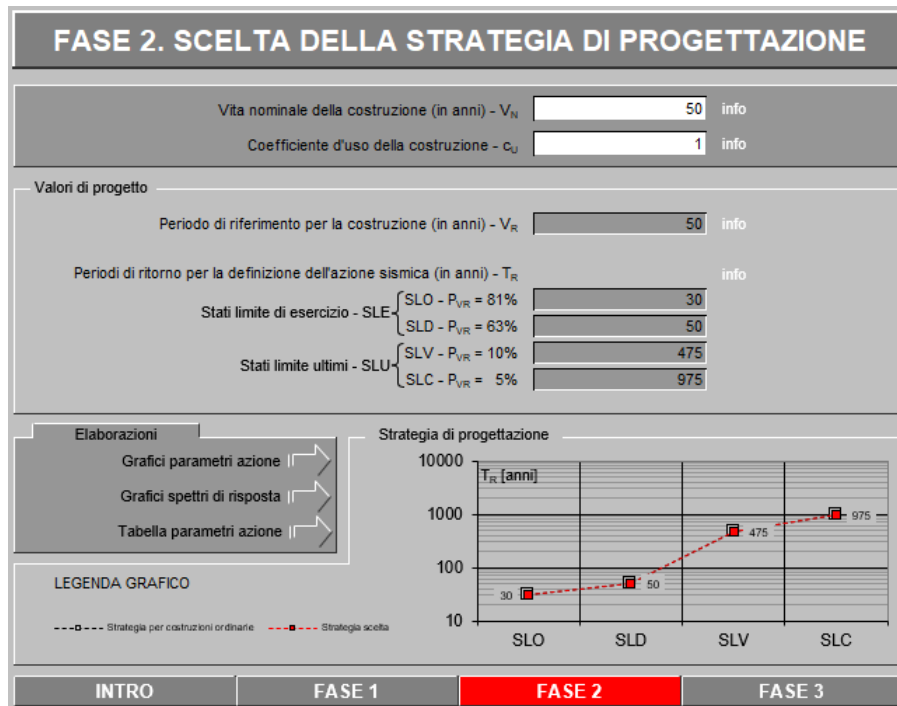


Figura 57: Valori di progetto per l'azione sismica

12.2 CATEGORIA DI SOTTOSUOLO

I risultati delle indagini geologiche e geotecniche, interpretate nel documento 1.07_4258_PRO_D_GEN_RG_01A, classificano il suolo di fondazione in categoria **C**.

Nella determinazione della valutazione dell'azione sismica tale versante ricade nella Categoria Topografica **T1**, Superficie pianeggiante, pendii e rilievi isolati con inclinazione media $i \leq 15^\circ$ per la quale si ottiene un coefficiente topografico $S_T = 1$.

12.3 PARAMETRI DELLO SPETTRO DI RISPOSTA

Ai fini della normativa corrente, le forme spettrali sono definite, per ciascuna delle probabilità di superamento P_{VR} nel periodo di riferimento V_R , a partire dai valori dei seguenti parametri su sito di riferimento rigido orizzontale:

- a_g accelerazione orizzontale massima al sito;
- F_o valore massimo del fattore di amplificazione dello spettro in accelerazione orizzontale;
- T^*_C valore di riferimento per la determinazione del periodo di inizio del tratto a velocità costante dello spettro in accelerazione orizzontale.

Per i valori dei parametri sopra citati si fa riferimento agli Allegati A e B al Decreto del Ministro delle Infrastrutture 14 gennaio 2008, pubblicato nel S.O. alla Gazzetta Ufficiale del 4 febbraio 2008, n.29, ed eventuali successivi aggiornamenti. La tabella seguente mostra i risultati per i vari stati limite.

Di seguito si riportano i parametri sismici per i siti in esame:

Tabella 15: Parametri per spettro di risposta – area 2B

STATO LIMITE	T_R [anni]	a_g [g]	F_0	T_C^* [s]
SLO	30	0.023	2.532	0.184
SLD	50	0.03	2.528	0.209
SLV	475	0.076	2.498	0.279
SLC	975	0.101	2.47	0.284

Tabella 16: Parametri per spettro di risposta – area 1C

STATO LIMITE	T_R [anni]	a_g [g]	F_0	T_C^* [s]
SLO	30	0.025	2.506	0.196
SLD	50	0.032	2.538	0.214
SLV	475	0.084	2.472	0.278
SLC	975	0.112	2.451	0.282

Tabella 17: Parametri per spettro di risposta – area 1D

STATO LIMITE	T_R [anni]	a_g [g]	F_0	T_C^* [s]
SLO	30	0.026	2.51	0.195
SLD	50	0.033	2.542	0.214
SLV	475	0.084	2.472	0.278
SLC	975	0.113	2.453	0.283

12.4 SPETTRO DI RISPOSTA ELASTICO IN ACCELERAZIONE ORIZZONTALE

Lo spettro di risposta elastico in accelerazione della componente orizzontale del moto sismico S_e è desunto dalla normativa corrente:

$$0 \leq T < T_B \quad S_e(T) = a_g \cdot S \cdot \eta \cdot F_0 \left[\frac{T}{T_B} + \frac{1}{\eta F_0} \left(1 - \frac{T}{T_B} \right) \right]$$

$$T_B \leq T < T_C \quad S_e(T) = a_g \cdot S \cdot \eta \cdot F_0$$

$$T_C \leq T < T_D \quad S_e(T) = a_g \cdot S \cdot \eta \cdot F_0 \cdot \left(\frac{T_C}{T} \right)$$

$$T_D \leq T \quad S_e(T) = a_g \cdot S \cdot \eta \cdot F_0 \cdot \left(\frac{T_C T_D}{T^2} \right)$$

Nelle quali:

T è il periodo proprio di vibrazione [s]

a_g è l'accelerazione orizzontale massima al sito

$S = S_S \times S_T$ è un coefficiente che tiene conto della categoria di sottosuolo e delle condizioni topografiche.

$$\eta = \sqrt{10/5 + \xi} \geq 0.55$$

F_0 è il fattore che quantifica l'amplificazione spettrale massima;

$T_C = C_C \times T_C^*$ è il periodo di inizio del tratto a velocità costante dello spettro

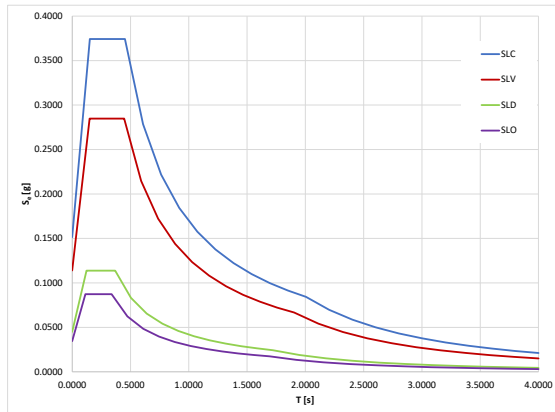
$T_B = \frac{T_C}{3}$ è il periodo di inizio del tratto ad accelerazione costante dello spettro

$T_D = 4,0 \times \frac{a_g}{g} + 1,6$ è il periodo di inizio del tratto a spostamento costante dello spettro.

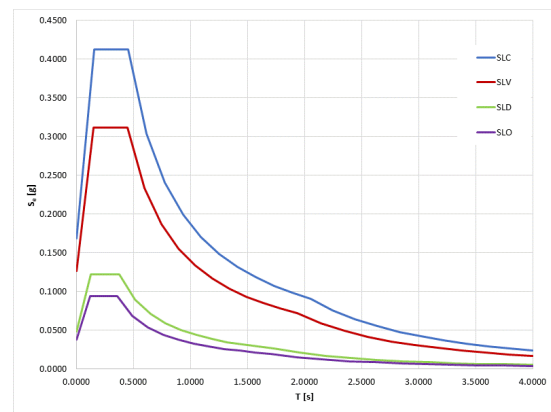
I valori dei parametri sismici sopra indicati variano in base allo stato limite considerato.

Si riportano in gli spettri di risposta elastici in accelerazione orizzontale per i quattro stati limite considerati.

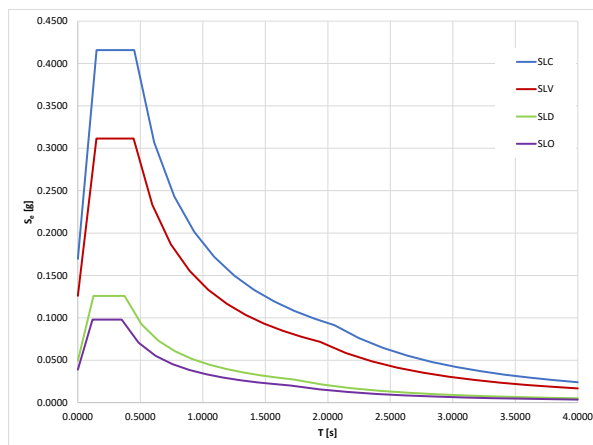
Tabella 18: Spettri di risposta in accelerazione orizzontale



Area 2B



Area 1C



Area 1D

12.5 SPETTRO DI RISPOSTA ELASTICO IN ACCELERAZIONE VERTICALE

Lo spettro di risposta elastico in accelerazione della componente verticale del moto sismico S_{ve} è desunto dalla normativa corrente:

$$0 \leq T < T_B \quad S_{ve}(T) = a_g \cdot S \cdot \eta \cdot F_v \left[\frac{T}{T_B} + \frac{1}{\eta F_0} \left(1 - \frac{T}{T_B} \right) \right]$$

$$T_B \leq T < T_C \quad S_{ve}(T) = a_g \cdot S \cdot \eta \cdot F_v$$

$$T_C \leq T < T_D \quad S_{ve}(T) = a_g \cdot S \cdot \eta \cdot F_v \cdot \left(\frac{T_C}{T} \right)$$

$$T_D \leq T \quad S_{ve}(T) = a_g \cdot S \cdot \eta \cdot F_v \cdot \left(\frac{T_C T_D}{T^2} \right)$$

Nelle quali:

T è il periodo proprio di vibrazione [s]

F_v è il fattore che quantifica l'amplificazione spettrale massima, in termini di accelerazione orizzontale massima del terreno a_g su sito di riferimento rigido orizzontale, mediante la relazione:

$$F_v = 1,35F_0 \left(\frac{a_g}{g} \right)^{0,5}$$

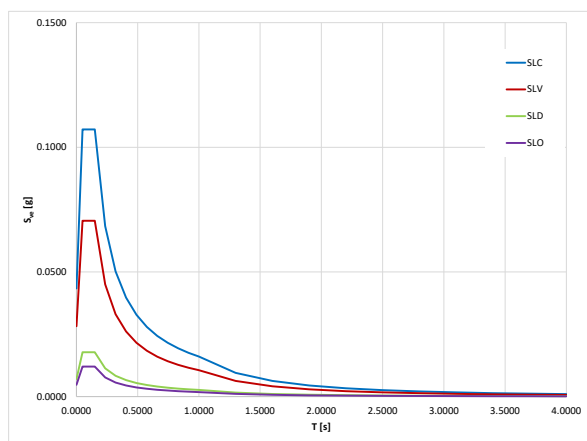
I valori di a_g , F_0 , S , η sono i medesimi definiti per la componente orizzontale.

I valori S_s , T_B , T_C e T_D sono riportati alla **Tabella 19** (Tab. 3.2.VI delle NTC18).

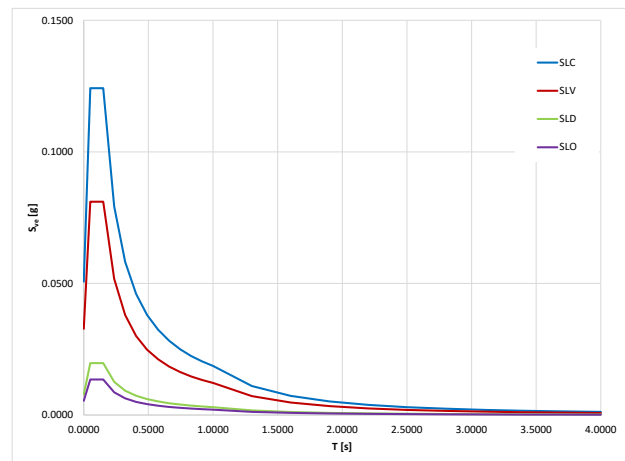
Tabella 19: Tab. 3.2.VI – Valori dei parametri dello spettro di risposta elastico della componente verticale

Categoria di sottosuolo	S_s	T_B	T_C	T_D
A, B, C, D, E	1,0	0,05 s	0,15 s	1,0 s

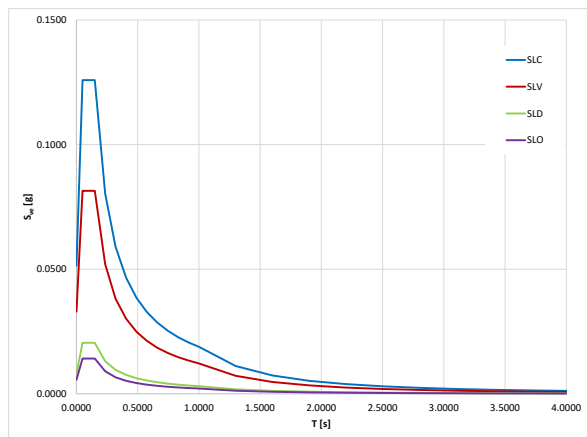
Tabella 20: Spettri di risposta in accelerazione verticale



Area 2B



Area 1C



Area 1D

12.6 FATTORE DI COMPORTAMENTO Q

Nel caso di analisi lineare, la domanda sismica per strutture a comportamento sia non dissipativo, sia dissipativo, può essere ridotta utilizzando un opportuno fattore di comportamento q (**Tabella 21**).

Tabella 21: Tab. 7.3.I – Limiti su q e modalità di modellazione dell'azione sismica (fonte: NTC18)

STATI LIMITE		Lineare (Dinamica e Statica)		Non Lineare	
		Dissipativo	Non Dissipativo	Dinamica	Statica
SLE	SLO	q = 1,0 § 3.2.3.4	q = 1,0 § 3.2.3.4	§ 7.3.4.1	§ 7.3.4.2
	SLD	q ≤ 1,5 § 3.2.3.5	q ≤ 1,5 § 3.2.3.5		
SLU	SLV	q ≥ 1,5 § 3.2.3.5	q ≤ 1,5 § 3.2.3.5		
	SLC	---	---		

Il limite superiore del fattore di comportamento per lo SLV è, inoltre, calcolato in base al materiale e alla tipologia strutturale:

$$q_{lim} = q_0 \cdot K_R$$

Come indicato al §7.3.1 delle NTC2018, per le strutture a comportamento strutturale non dissipativo si adotta un fattore di comportamento q_{ND} , ridotto rispetto al valore minimo relativo alla CD"B" (Tab. 7.3.II delle NTC2018) secondo l'espressione:

$$1 \leq q_{ND} = \frac{2}{3} q_{CD"B"} \leq 1.5$$

Il fattore di comportamento per una struttura mista, irregolare in pianta e in altezza e in classe CD"B", secondo le indicazioni di **Tabella 22**, è pari a:

$$q_0 = 3,0 \quad \alpha_u / \alpha_1 = 3,0 \cdot 1,1 = 3,3$$

dove $\alpha_u / \alpha_1 = 1,1$

quindi il fattore di comportamento limite risulta:

$$q_{lim} = q_0 \cdot K_R = 3,3 \cdot 0,8 = 2,64$$

Tabella 22: Tab. 7.3.II – Valori massimi del valore di base q_0 del fattore di comportamento allo SLV per diverse tecniche costruttive ed in funzione della tipologia strutturale e della classe di duttilità CD (fonte: NTC018)

Ponti (§ 7.9.2.1)		
Pile in calcestruzzo armato		
Pile verticali inflesse	3,5 λ	1,5
Elementi di sostegno inclinati inflessi	2,1 λ	1,2
Pile in acciaio:		
Pile verticali inflesse	3,5	1,5
Elementi di sostegno inclinati inflessi	2,0	1,2
Pile con controventi concentrici	2,5	1,5
Pile con controventi eccentrici	3,5	-
Spalle		
In genere	1,5	1,5
Se si muovono col terreno	1,0	1,0

Qualora nella costruzione siano presenti pareti di calcestruzzo armato, per prevenirne il collasso fragile, i valori di q_0 devono essere ridotti mediante il fattore k_w :

$$k_w = \begin{cases} 1,00 & \text{per strutture a telaio e miste equivalenti a telai} \\ 0,5 \leq (1 + \alpha_o) / 3 \leq 1 & \text{per strutture a pareti, miste equivalenti a pareti, torsionalmente deformabili} \end{cases}$$

Il valore finale per il fattore di comportamento della struttura in oggetto è pari a:

$$q_{ND} = \frac{2}{3} q_{CD"B"} = \frac{2}{3} \cdot q_{lim} = \frac{2}{3} \cdot 1,50 = 1$$

Il fattore di comportamento da adottare per la struttura risulta pari a:

$$q_{ND} = 1,0$$

12.7 SPETTRO DI RISPOSTA DI PROGETTO

Gli spettri di risposta di progetto utilizzati per la progettazione sono quelli elastici ridotti del fattore di struttura $q=1,0$ per lo stato limite SLV, mentre sono quelli elastici per lo stato limite SLD (vedi 12.5).

13 COMBINAZIONE DELLE AZIONI AGLI STATI LIMITE

Nel seguito si riportano, in accordo col D.M. del 17 gennaio 2018, le condizioni di carico considerate nel progetto e nella verifica dei singoli elementi strutturali dell'edificio.

13.1 COMBINAZIONI DELLE AZIONI

Ai fini delle verifiche degli stati limite si definiscono le seguenti combinazioni delle azioni.

- Combinazione fondamentale, generalmente impiegata per gli stati limite ultimi (SLU):

$$\gamma_{G1} G_1 + \gamma_{G2} G_2 + \gamma_P P + \gamma_{Q1} Q_{k1} + \gamma_{Q2} \psi_{02} Q_{k2} + \gamma_{Q3} \psi_{03} Q_{k3} + \dots$$
- Combinazione caratteristica (rara), generalmente impiegata per gli stati limite di esercizio (SLE) irreversibili:

$$G_1 + G_2 + P + Q_{k1} + \psi_{02} Q_{k2} + \psi_{03} Q_{k3} + \dots$$
- Combinazione frequente, generalmente impiegata per gli stati limite di esercizio (SLE) reversibili:

$$G_1 + G_2 + P + \psi_{11} Q_{k1} + \psi_{22} Q_{k2} + \psi_{23} Q_{k3} + \dots$$
- Combinazione quasi permanente (SLE), generalmente impiegata per gli effetti a lungo termine:

$$G_1 + G_2 + P + \psi_{21} Q_{k1} + \psi_{22} Q_{k2} + \psi_{23} Q_{k3} + \dots$$
- Combinazione sismica, impiegata per gli stati limite ultimi e di esercizio connessi all'azione sismica E (v. § 3.2 della normativa):

$$E + G_1 + G_2 + P + \psi_{21} Q_{k1} + \psi_{22} Q_{k2} + \dots$$
- Combinazione eccezionale, impiegata per gli stati limite ultimi connessi alle azioni eccezionali di progetto Ad (v. § 3.6 della normativa):

$$G_1 + G_2 + P + A_d + \psi_{21} Q_{k1} + \psi_{22} Q_{k2} + \dots$$

Gli effetti dell'azione sismica saranno valutati tenendo conto delle masse associate ai seguenti carichi gravitazionali:

$$G_1 + G_2 + \sum \psi_{2j} Q_{kj}$$

Nelle combinazioni si intende che vengono omissi i carichi Q_{kj} che danno un contributo favorevole ai fini delle verifiche e, se del caso, i carichi G_2 .

Tabella 23: Tab 5.1.IV NTC - Valori caratteristici delle azioni dovute al traffico

Gruppo di azioni	Carichi sulla superficie carrabile					Carichi su marciapiedi e piste ciclabili non sormontabili
	Carichi verticali			Carichi orizzontali		Carichi verticali
	Modello principale (schemi di carico 1, 2, 3, 4 e 6)	Veicoli speciali	Folla (Schema di carico 5)	Frenatura	Forza centrifuga	Carico uniformemente distribuito
1	Valore caratteristico					Schema di carico 5 con valore di combinazione 2,5KN/m ²
2a	Valore frequente			Valore caratteristico		
2b	Valore frequente				Valore caratteristico	
3 (*)						Schema di carico 5 con valore caratteristico 5,0KN/m ²
4 (**)			Schema di carico 5 con valore caratteristico 5,0KN/m ²			Schema di carico 5 con valore caratteristico 5,0KN/m ²
5 (***)	Da definirsi per il singolo progetto	Valore caratteristico o nominale				

(*) Ponti pedonali
(**) Da considerare solo se richiesto dal particolare progetto (ad es. ponti in zona urbana)
(***) Da considerare solo se si considerano veicoli speciali

La Tab. 5.1.VI delle NTC18 fornisce i valori dei coefficienti di combinazione ψ delle azioni da assumere nell'analisi per la determinazione degli effetti delle azioni nelle verifiche agli stati limite ultimi.

Tabella 24: Tab 5.1.VI NTC – Coefficienti ψ per le azioni variabili per ponti stradali e pedonali

Azioni	Gruppo di azioni (Tab. 5.1.IV)	Coefficiente Ψ_0 di combinazione	Coefficiente Ψ_1 (valori frequenti)	Coefficiente Ψ_2 (valori quasi permanenti)
Azioni da traffico (Tab. 5.1.IV)	Schema 1 (carichi tandem)	0,75	0,75	0,0
	Schemi 1, 5 e 6 (carichi distribuiti)	0,40	0,40	0,0
	Schemi 3 e 4 (carichi concentrati)	0,40	0,40	0,0
	Schema 2	0,0	0,75	0,0
	2	0,0	0,0	0,0
	3	0,0	0,0	0,0
	4 (folla)	–	0,75	0,0
	5	0,0	0,0	0,0
Vento	a ponte scarico SLU e SLE	0,6	0,2	0,0
	in esecuzione	0,8	0,0	0,0
	a ponte carico SLU e SLE	0,6	0,0	0,0
Neve	SLU e SLE	0,0	0,0	0,0
	in esecuzione	0,8	0,6	0,5
Temperatura	SLU e SLE	0,6	0,6	0,5

13.2 STATI LIMITE ULTIMI

Nelle verifiche agli stati limite ultimi si distinguono:

- lo stato limite di equilibrio come corpo rigido: **EQU**
- lo stato limite di resistenza della struttura compresi gli elementi di fondazione: **STR**
- lo stato limite di resistenza del terreno: **GEO**

Per le verifiche nei confronti dello stato limite ultimo di equilibrio come corpo rigido (EQU) si utilizzano i coefficienti parziali relativi alle azioni riportati nella colonna EQU della **Tabella 24**.

Per la progettazione di componenti strutturali che non coinvolgano azioni di tipo geotecnico, le verifiche nei confronti degli stati limite ultimi strutturali (STR) si eseguono adottando i coefficienti riportati nella colonna A1 della Tabella 24.

La Tab. 5.1.V delle NTC18 fornisce i valori dei coefficienti parziali delle azioni da assumere nell'analisi per la determinazione degli effetti delle azioni nelle verifiche agli stati limite ultimi.

Tabella 25: Tab 5.1.IV NTC – Coefficienti parziali di sicurezza per le combinazioni di carico agli SLU

		Coefficiente	EQU ⁽¹⁾	A1	A2
Azioni permanenti g_1 e g_3	favorevoli	γ_{G1} e γ_{G3}	0,90	1,00	1,00
	sfavorevoli		1,10	1,35	1,00
Azioni permanenti non strutturali ⁽²⁾ g_2	favorevoli	γ_{G2}	0,00	0,00	0,00
	sfavorevoli		1,50	1,50	1,30
Azioni variabili da traffico	favorevoli	γ_Q	0,00	0,00	0,00
	sfavorevoli		1,35	1,35	1,15
Azioni variabili	favorevoli	γ_{Qi}	0,00	0,00	0,00
	sfavorevoli		1,50	1,50	1,30
Distorsioni e presollecitazioni di progetto	favorevoli	γ_{t1}	0,90	1,00	1,00
	sfavorevoli		1,00 ⁽³⁾	1,00 ⁽⁴⁾	1,00
Ritiro e viscosità, Cedimenti vincolari	favorevoli	γ_{t2} , γ_{t3} , γ_{t4}	0,00	0,00	0,00
	sfavorevoli		1,20	1,20	1,00

⁽¹⁾ Equilibrio che non coinvolga i parametri di deformabilità e resistenza del terreno; altrimenti si applicano i valori della colonna A2.

⁽²⁾ Nel caso in cui l'intensità dei carichi permanenti non strutturali, o di una parte di essi (ad esempio carichi permanenti portati), sia ben definita in fase di progetto, per detti carichi o per la parte di essi nota si potranno adottare gli stessi coefficienti validi per le azioni permanenti.

⁽³⁾ 1,30 per instabilità in strutture con precompressione esterna

⁽⁴⁾ 1,20 per effetti locali

Nel caso in cui l'azione sia costituita dalla spinta del terreno, per la scelta dei coefficienti parziali di sicurezza valgono le indicazioni riportate nel Cap. 6 della normativa. Altri valori di coefficienti parziali sono riportati nei capitoli successivi con riferimento a particolari azioni specifiche.

13.3 DESCRIZIONE DELLE COMBINAZIONI ADOTTATE PER LE VERIFICHE STRUTTURALI

Per quanto riguarda i ponti pedonali, si considerano i seguenti 3 gruppi di azioni più le combinazioni sismiche:

- gruppo di azioni 1: nel quale viene considerato il carico tandem con coefficiente di combinazione caratteristico e per lo schema di carico 5 si utilizza il valore di combinazione 2,5kN/m²;
- gruppo di azioni 2a: nel quale viene considerato il carico tandem con coefficiente di combinazione frequente ed è presente anche il carico orizzontale dovuto alla frenata;
- gruppo di azioni 3: nel quale viene considerato lo schema di carico 5 con valore di 5kN/m².

Il dettaglio delle combinazioni di carico considerate è contenuto nell'Errore. L'origine riferimento non è stata trovata..

13.4 DESCRIZIONE DELLE COMBINAZIONI ADOTTATE PER LE VERIFICHE GEOTECNICHE

Per la progettazione di elementi strutturali che coinvolgano azioni di tipo geotecnico (plinti, platee, pali, muri di sostegno, ...) le verifiche nei confronti degli stati limite ultimi strutturali (STR) e geotecnici (GEO) si eseguono adottando due possibili approcci progettuali, fra loro alternativi.

Nell'Approccio 1, le verifiche si conducono con due diverse combinazioni di gruppi di coefficienti parziali, rispettivamente definiti per le azioni (γ_F), per la resistenza dei materiali (γ_M) e, eventualmente, per la resistenza globale del sistema (γ_R). Nella Combinazione 1 dell'Approccio 1, per le azioni si impiegano i coefficienti γ_F riportati nella colonna A1 della **Tabella 25**. Nella Combinazione 2 dell'Approccio 1, si impiegano invece i coefficienti γ_F riportati nella colonna A2. In tutti i casi, sia nei confronti del dimensionamento strutturale, sia per quello geotecnico, si deve utilizzare la combinazione più gravosa fra le due precedenti.

Nell'Approccio 2 si impiega un'unica combinazione dei gruppi di coefficienti parziali definiti per le Azioni (γ_F), per la resistenza dei materiali (γ_M) e, eventualmente, per la resistenza globale (γ_R). In tale approccio, per le azioni si impiegano i coefficienti γ_F riportati nella colonna A1.

I coefficienti γ_M e γ_R dipendono dall'elemento considerato e sono riportati nei capitoli specifici.

14 ANALISI MODALE

14.1 PASSERELLA "2B"

Si riportano di seguito i risultati dell'analisi modale. La massa partecipante totale in ogni direzione è mostrata in **Figura 58** con riferimento al numero di modi e in **Figura 59** con riferimento al periodo di vibrazione.

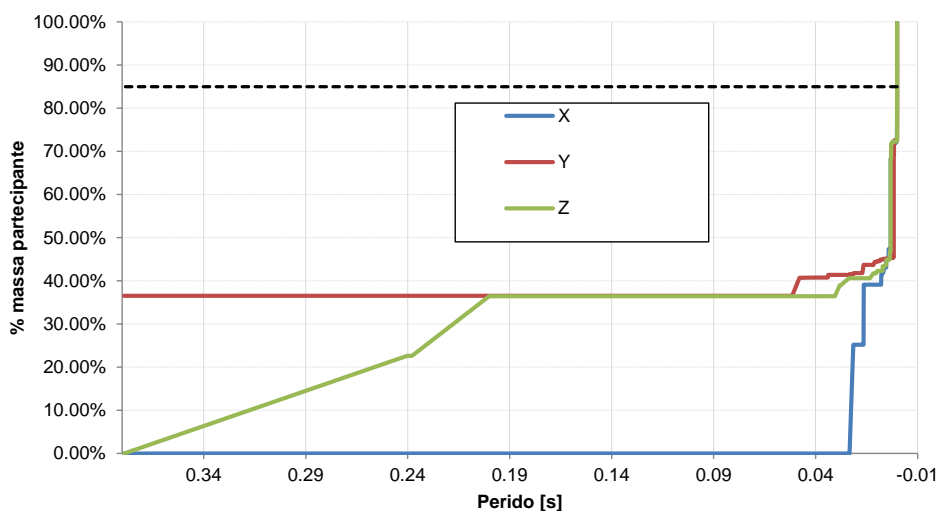


Figura 58: Massa modale partecipante in funzione dei modi di vibrare

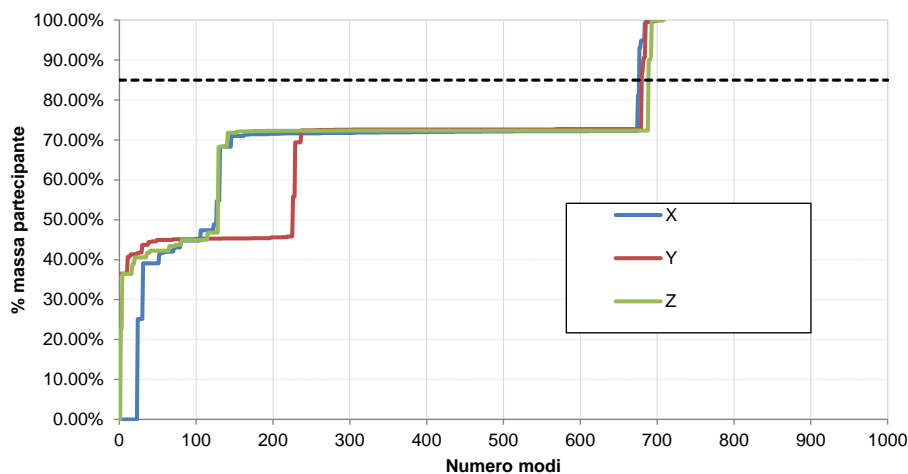
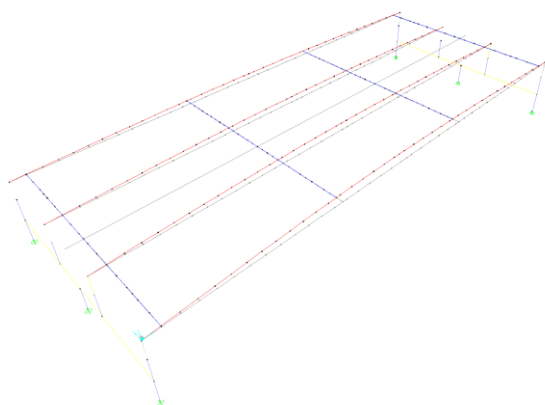
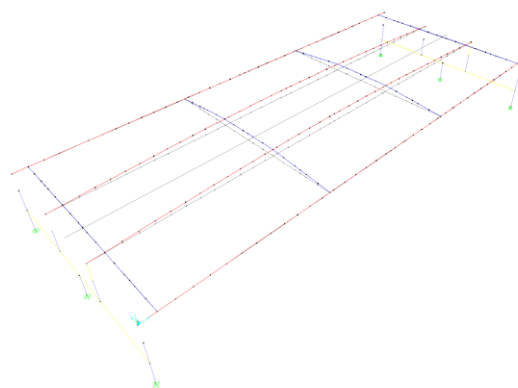


Figura 59: Massa modale partecipante in funzione del periodo di vibrazione

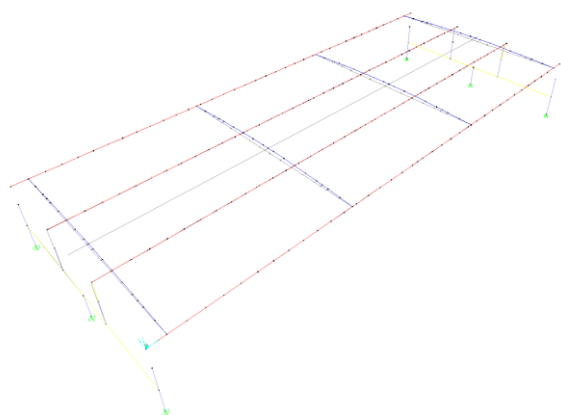
Si riportano in Figura 60 i modi principali di vibrare e le relative masse modali partecipanti della struttura in esame:



$T_{1y}=0,379$ s ($M_x=0,00\%$ $M_y=36,52\%$ $M_z=0,00\%$)



$T_{2z}=0,24$ s ($M_x=0,00\%$ $M_y=0,00\%$ $M_z=22,62\%$)



$T_{24x}=0,0215$ s ($M_x=25,18\%$ $M_y=0,00\%$ $M_z=0,00\%$)

Figura 60: Modi principali di vibrazione – Passerella “2B”

14.2 PASSERELLE “1C” E “1D”

Si riportano di seguito i risultati dell'analisi modale. La massa partecipante totale in ogni direzione è mostrata in Figura 61 con riferimento al numero di modi e in Figura 62 con riferimento al periodo di vibrazione.

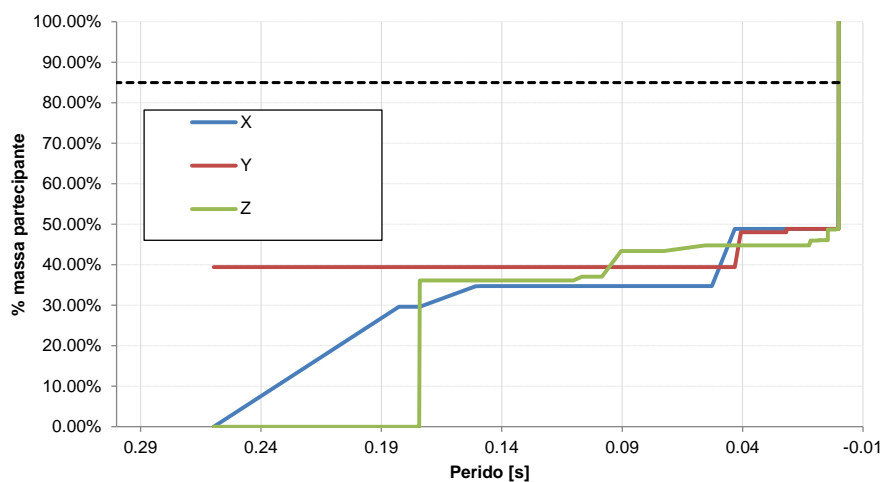


Figura 61: Massa modale partecipante in funzione dei modi di vibrare

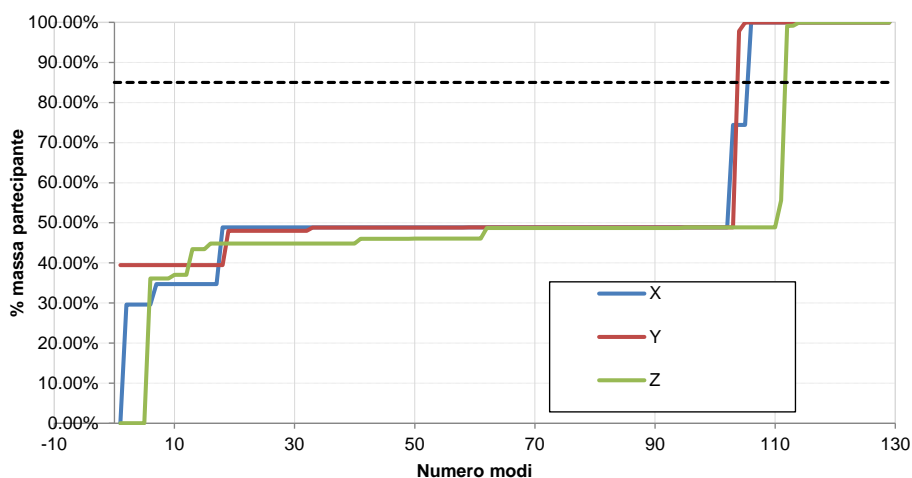
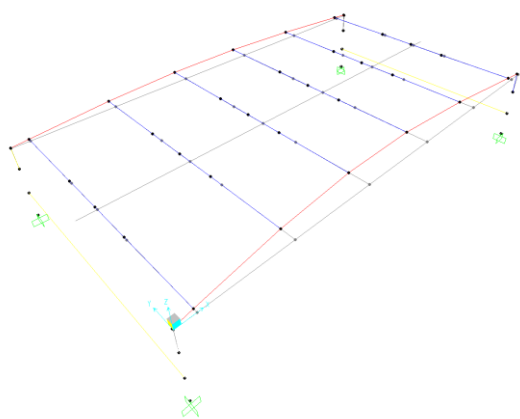
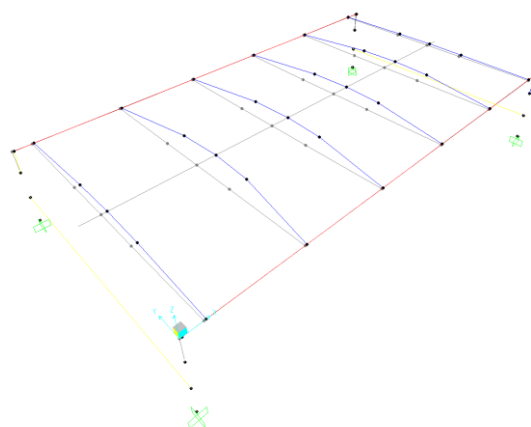


Figura 62: Massa modale partecipante in funzione del periodo di vibrazione

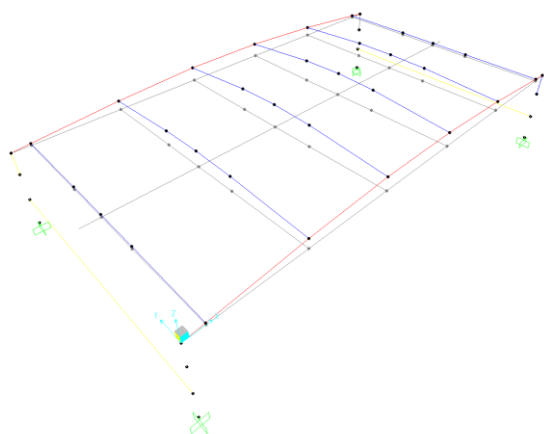
Si riportano in Figura 63 i modi principali di vibrare e le relative masse modali partecipanti della struttura in esame:



$T_{1y}=0,259$ s ($M_x=0,00\%$ $M_y=39,43\%$ $M_z=0,00\%$)



$T_{2x}=0,183$ s ($M_x=29,61\%$ $M_y=0,00\%$ $M_z=0,00\%$)



$T_{6z}=0,174$ s ($M_x=0,00\%$ $M_y=0,00\%$ $M_z=36,11\%$)

Figura 63: Modi principali di vibrazione – Passerella “1C e 1D”

15 VERIFICA DELLE REAZIONI ALLA BASE – PASSERELLE

15.1 PASSERELLA “2B”

Si riportano di seguito le reazioni alla base del modello.

Tabella 26: Reazioni alla base

TABLE: Base Reactions					
OutputCase	CaseType	StepType	GlobalFX	GlobalFY	GlobalFZ
Text	Text	Text	KN	KN	KN
G1	LinStatic		0	1.996E-10	307.923
G2	LinStatic		0	1.701E-11	34.965
Q_folla1	LinMoving	Max	1.042E-13	8.776E-11	161.875
Q_tandem	LinMoving	Max	3.152E-12	2.172E-10	120
Q_neve	LinStatic		0	2.041E-11	41.958
Q_vento	LinStatic		0	-3.441	-6.211E-11
Q_frenata	LinStatic		-72	0	0
Q_folla2	LinMoving	Max	4.456E-15	3.065E-12	11.563
Q_temp	LinStatic		2.766E-10	1.427E-10	189.079
SLO_combo	Combination	Max	13.533	17.24	439.027
SLO_combo	Combination	Min	-13.533	-17.24	435.827
SLD_combo	Combination	Max	17.195	23.783	439.785
SLD_combo	Combination	Min	-17.195	-23.783	435.07
SLV_combo	Combination	Max	41.19	61.207	446.803
SLV_combo	Combination	Min	-41.19	-61.207	428.052
SLC_combo	Combination	Max	54.319	80.554	451.738
SLC_combo	Combination	Min	-54.319	-80.554	423.116

Le reazioni alla base sono state confrontate con i calcoli svolti a mano:

Tabella 27: Confronto azioni SAP2000 - mano

REAZIONI A TERRA									
Carico	Elemento	[kN/mc]	[kN/mq]	[kN/m]	n [#]	lx [m]	ly [m]	lz [m]	[kN]
G1	HEB280			1.03	4.00	9.25			38.11
	HEB160			0.43	4.00		3.78		6.44
	Soletta + lamiera (h=15cm)		3.15			9.25	3.78		110.14
	Cordoli in c.a.	25			2	9.25	0.27	0.07	8.74
	Travi su pali	25			2	3.78	0.9	0.85	144.59
	TOT								308.02
G2	Finitura		1			9.25	3.78		34.97
	TOT								34.97
Q	Neve		1.2			9.25	3.78		41.96
	Vento			0.374		9.25			3.46
	Folla 1		5			9.25	3.5		161.88
	Folla 2		2.5		2	9.25	0.25		11.56
	Tandem								120
	Frenata								72

La differenza tra il modello SAP2000 e i calcoli manuali risulta essere inferiore sempre al 5%.

15.2 PASSERELLA "1C"

Si riportano di seguito le reazioni alla base del modello.

Tabella 28: Reazioni alla base

TABLE: Base Reactions					
OutputCase	CaseType	StepType	GlobalFX	GlobalFY	GlobalFZ
Text	Text	Text	KN	KN	KN
G1	LinStatic		-1.665E-16	0	257.154
G2	LinStatic		-4.163E-17	0	25.553
Q_folla1	LinMoving	Max	0	9.641E-15	118.125
Q_tandem	LinMoving	Max	9.758E-17	6.306E-14	120
Q_neve	LinStatic		-5.551E-17	0	30.618
Q_vento	LinStatic		0	-2.511	0
Q_frenata	LinStatic		-72	0	0
Q_folla2	LinMoving	Max	1.218E-18	1.405E-15	8.437
Q_temp	LinStatic		-5.862E-12	-7.709E-13	0
SLO_combo	Combination	Max	10.168	11.887	284.2
SLO_combo	Combination	Min	-10.168	-11.887	281.214
SLD_combo	Combination	Max	13.114	15.359	284.881
SLD_combo	Combination	Min	-13.114	-15.359	280.533
SLV_combo	Combination	Max	33.713	39.472	291.704
SLV_combo	Combination	Min	-33.713	-39.472	273.71
SLC_combo	Combination	Max	44.681	52.277	296.524
SLC_combo	Combination	Min	-44.681	-52.277	268.89

Le reazioni alla base sono state confrontate con i calcoli svolti a mano:

Tabella 29: Confronto azioni SAP2000 – mano

REAZIONI A TERRA									
Carico	Elemento	[kN/mc]	[kN/mq]	[kN/m]	n [#]	lx [m]	ly [m]	lz [m]	[kN]
G1	HEB280			1.03	2.00	6.75			13.91
	HEB160			0.43	6.00		3.78		9.66
	Soletta + lamiera (h=15cm)		3.15			6.75	3.78		80.37
	Cordoli in c.a.	25			2	6.75	0.28	0.09	8.51
	Travi su pali	25			2	3.78	0.9	0.85	144.59
	TOT								257.03
G2	Finitura		1			6.75	3.78		25.52
	TOT								25.52
Q	Neve		1.2			6.75	3.78		30.62
	Vento			0.374		6.75			2.52
	Folla 1		5			6.75	3.5		118.13
	Folla 2		2.5		2	6.75	0.25		8.44
	Tandem								120
	Frenata								72

La differenza tra il modello SAP2000 e i calcoli manuali risulta essere inferiore sempre al 5%.

15.3 PASSERELLA "1D"

Si riportano di seguito le reazioni alla base del modello.

Tabella 30: Reazioni alla base

TABLE: Base Reactions					
OutputCase	CaseType	StepType	GlobalFX	GlobalFY	GlobalFZ
Text	Text	Text	KN	KN	KN
G1	LinStatic		0	0	257.154
G2	LinStatic		0	0	25.553
Q_folla1	LinMoving	Max	0	0	118.125
Q_tandem	LinMoving	Max	0	0	120
Q_neve	LinStatic		0	0	30.618
Q_vento	LinStatic		0	-2.511	0
Q_frenata	LinStatic		-72	0	0
Q_folla2	LinMoving	Max	0	0	8.437
Q_temp	LinStatic		-6.878E-12	-9.379E-13	0
SLO_combo	Combination	Max	10.587	12.376	284.27
SLO_combo	Combination	Min	-10.587	-12.376	281.144
SLD_combo	Combination	Max	13.536	15.857	284.967
SLD_combo	Combination	Min	-13.536	-15.857	280.447
SLV_combo	Combination	Max	33.71	39.47	291.751
SLV_combo	Combination	Min	-33.71	-39.47	273.663
SLC_combo	Combination	Max	45.104	52.775	296.705
SLC_combo	Combination	Min	-45.104	-52.775	268.709

Le reazioni alla base sono state confrontate con i calcoli svolti a mano:

Tabella 31: Confronto azioni SAP2000 – mano

REAZIONI A TERRA									
Carico	Elemento	[kN/mc]	[kN/mq]	[kN/m]	n [#]	lx [m]	ly [m]	lz [m]	[kN]
G1	HEB280			1.03	2.00	6.75			13.91
	HEB160			0.43	6.00		3.78		9.66
	Soletta + lamiera (h=15cm)		3.15			6.75	3.78		80.37
	Cordoli in c.a.	25			2	6.75	0.28	0.09	8.51
	Travi su pali	25			2	3.78	0.9	0.85	144.59
	TOT								257.03
G2	Finitura		1			6.75	3.78		25.52
	TOT								25.52
Q	Neve		1.2			6.75	3.78		30.62
	Vento			0.374		6.75			2.52
	Folla 1		5			6.75	3.5		118.13
	Folla 2		2.5		2	6.75	0.25		8.44
	Tandem								120
	Frenata								72

La differenza tra il modello SAP2000 e i calcoli manuali risulta essere inferiore sempre al 5%.

16 VERIFICA DEI SISTEMI FONDAZIONALI

16.1 DESCRIZIONE

Le spalle degli attraversamenti "2B", "1C" e "1D" sono travi testa palo realizzate in calcestruzzo armato con geometria rappresentata in Figura 63.

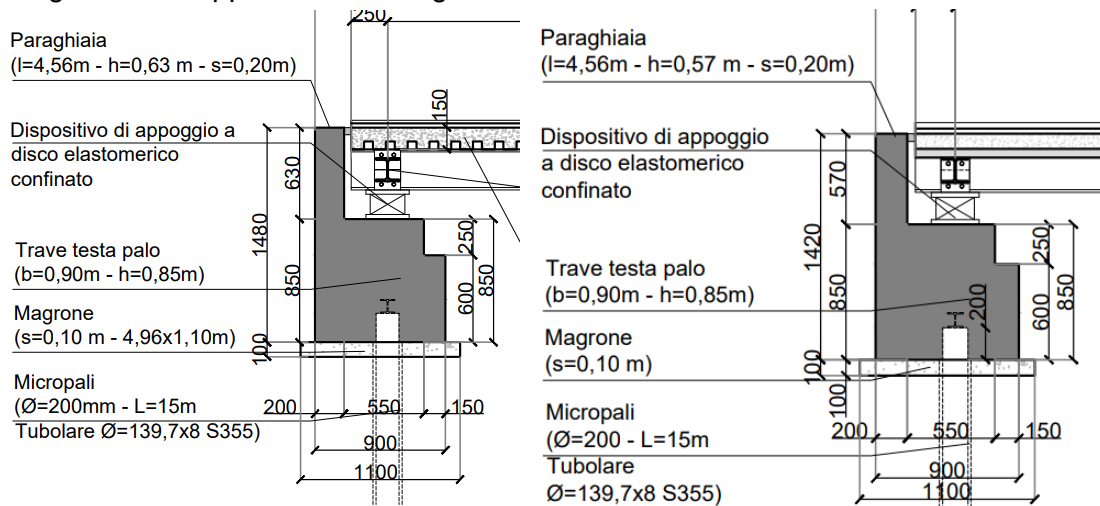


Figura 64: Sezioni Spalle di fondazione: a sx "2B" e DX "1C e 1D"

La trave su pali ha sezione 0,90 x 0,85 m (con risega di 0,15m) nei quali primi 60 cm viene posata l'armatura effettiva della trave e nei restanti 25 cm l'armatura di frettaggio.

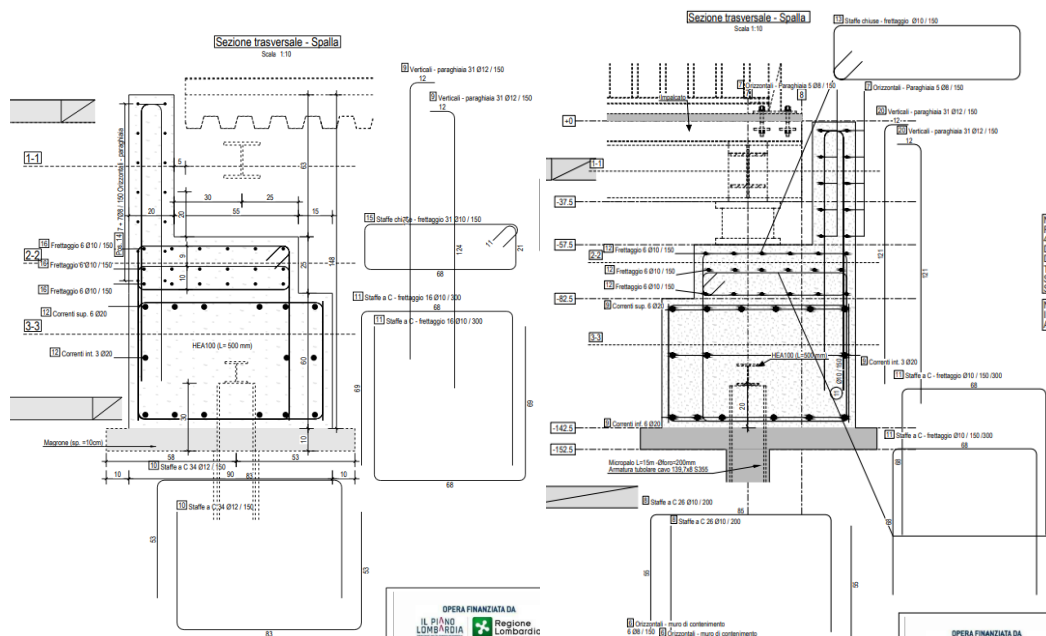


Figura 65: Sezioni Spalle di fondazione: a sx "2B" e DX "1C e 1D" – armatura

16.2 SOLLECITAZIONI TRAVE

16.2.1 OPERE "2B"

La trave delle spalle per quest'opera poggia su n.3 micropali di fondazione posti in corrispondenza dei 2 appoggi di estremità dell'impalcato e uno nella mezzeria. La trave risulta essere sollecitata a taglio e momento per il peso proprio più le azioni indotte dai 2 appoggi centrali dell'impalcato (in rosso nel riquadro di Figura 66).

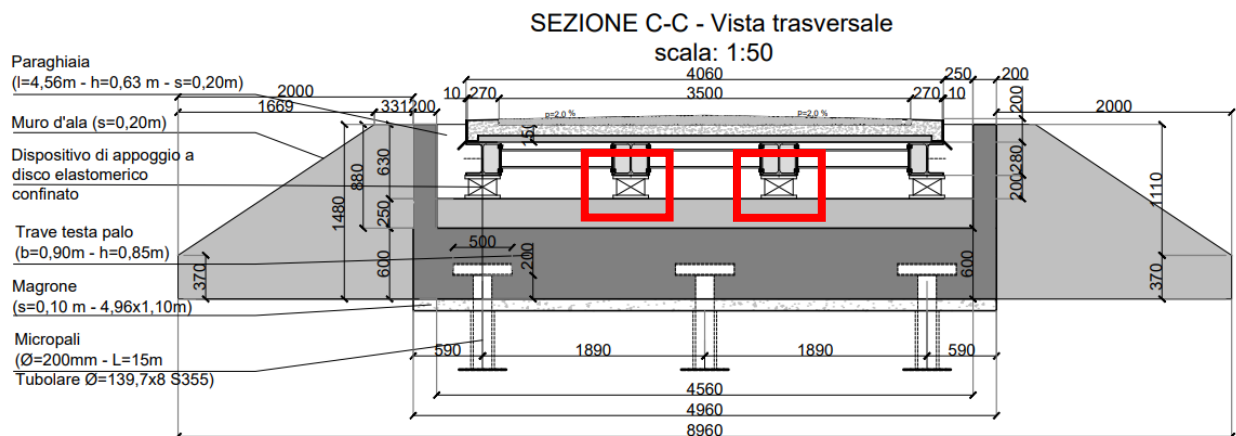


Figura 66: prospetto spalla "2B"

16.2.2 OPERE "1C" E "1D"

La trave delle spalle per queste opere poggia su n.2 micropali di fondazione il cui posizionamento risulta essere in corrispondenza dei 2 appoggi dell'impalcato, pertanto il carico risulta direttamente scaricato per compressione sui micropali di fondazione. La trave dunque risulta sollecitata a taglio e momento per il solo peso proprio.

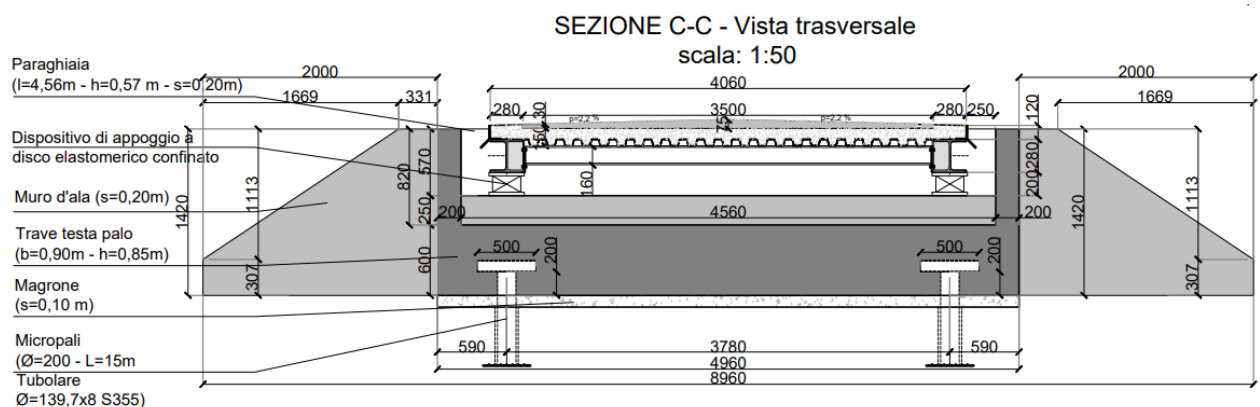


Figura 67: prospetto spalla "1C e 1D"

Si riportano quindi nel seguito il dimensionamento e le verifiche dell'armatura della trave di spalla "2B" in quanto risulta essere il caso più significativo.

Il carichi dovuti al peso proprio della spalla e muro paraghiaia sono pari a:

$$G1 = 25 \times (0,9 \times 0,85 + 0,63 \times 0,20) = 22,28 \text{ kN/m}$$

$$\text{Allo SLU: } G1,slu = 1,35 \times 22,28 = 30,08 \text{ kN/m}$$

Il carico allo SLU proveniente dallo scarico dei dispositivi di appoggio centrali è pari a circa 120 kN (vedi Tabella 35)

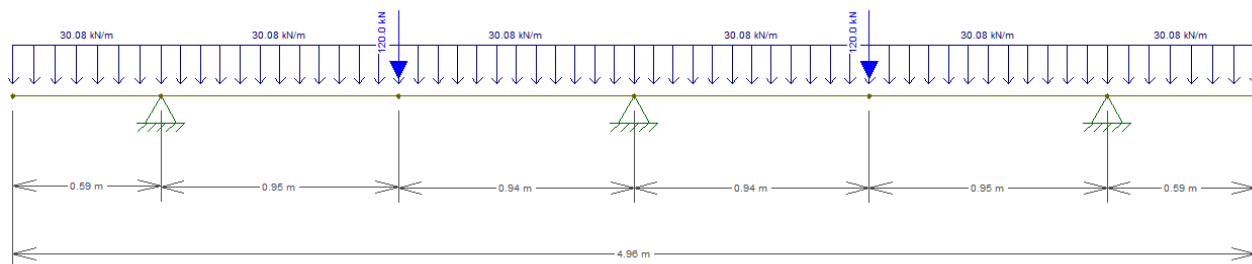


Figura 68: Carichi su spalla "2B"

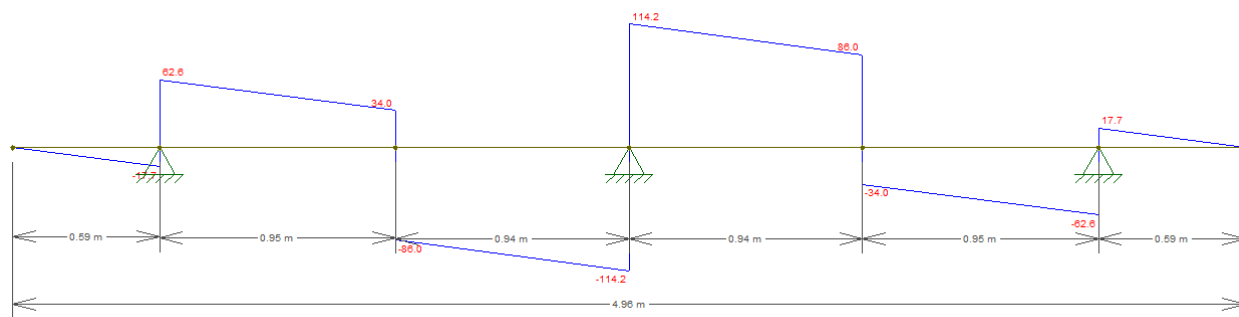


Figura 69: taglio su spalla "2B"

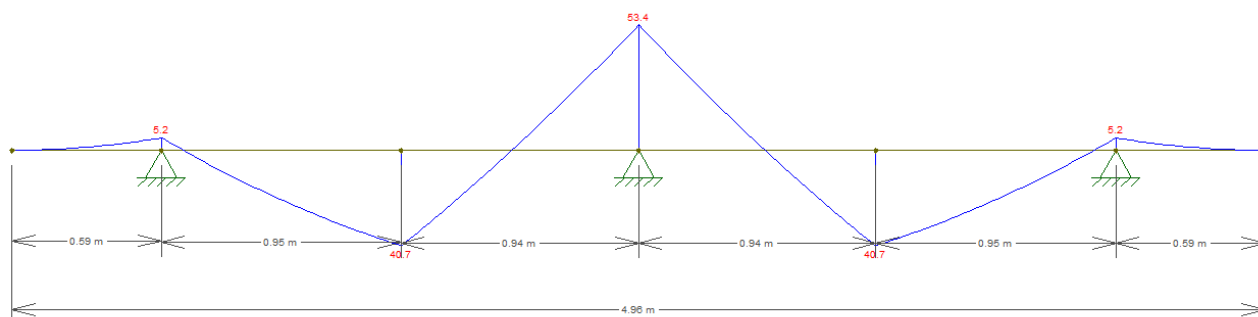


Figura 70: momento su spalla "2B"

Il massimo valore di taglio è pari a 115 kN;

Il massimo valore del momento positivo è pari a 41 kNm

Il massimo valore del momento negativo è pari a 54 kNm

16.3 DIMENSIONAMENTO E VERIFICA ARMATURA LONGITUDINALE TRAVE

L'armatura principale della trave viene inserita all'interno della sezione 0,90 x 0,60 m.

Il minimo dell'armatura in zona tesa da garantire nella sezione 0,90 x 0,85 m deve essere pari secondo NTC18 (§ 4.1.45) a :

$$A_{s,min} = 0,26 \times (f_{ctm}/f_{yk}) \times b \times d = 0,26 \times 2,56/450 \times 900 \times 850 = 1131,52 \text{ mm}^2$$

E non minore di NTC18 (§ 7.2.5) a : $0,2\% \times 900 \times 850 = 1530 \text{ mm}^2$

Si dispongono nella sezione 0,90 x 0,60m n. 6+6Ø20 correnti superiori ed inferiori + n.3Ø20 come ferri correnti intermedi

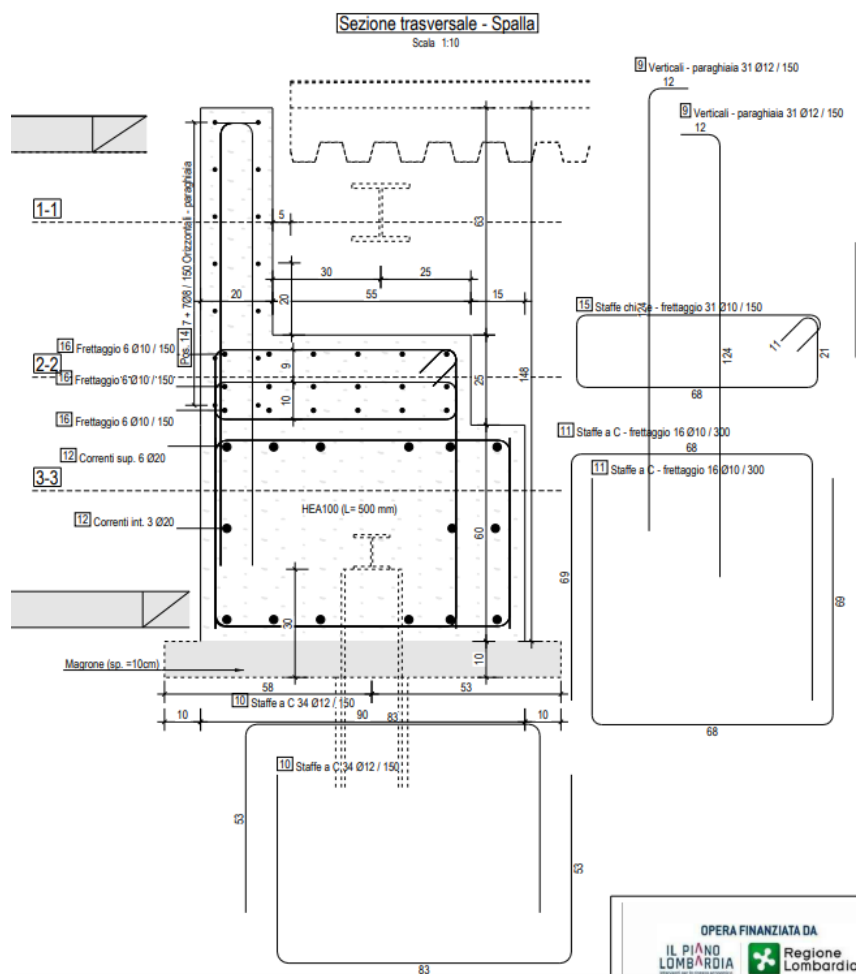


Figura 71: Armatura trave su pali "2B"

Il quantitativo in zona tesa è quindi pari a: 1884 mm² mentre il totale nella sezione è pari a 4712 mm².

I minimi risultano essere soddisfatti.

Il quantitativo totale comunque non eccede il 4% della sezione: $A_s = 0,04 \times 900 \times 850 = 30'600 \text{ mm}^2$

Titolo : _____

N° strati barre Zoom

N°	b [mm]	h [mm]
1	900	600

N°	As [mm²]	d [mm]
1	1885	55
2	1307	300
3	1885	545

Sollecitazioni
 S.L.U. Metodo n

N_{Ed} kN
 M_{xEd} kNm
 M_{yEd}

P.to applicazione N
☒ Centro ☐ Baricentro cls
☐ Coord.[mm] xN yN

Tipo rottura
 Lato calcestruzzo - Acciaio snervato

Materiali

 ε_{su} ‰ ε_{c2} ‰
 f_{yd} N/mm² ε_{cu} ‰
 E_s N/mm² f_{cd} ‰
 E_s/E_c f_{cc}/f_{cd} ?
 ε_{syd} ‰ σ_{c,adm} ‰
 σ_{s,adm} N/mm² τ_{co} ‰
 τ_{c1} ‰

M_{xRd} kN m
 σ_c N/mm²
 σ_s N/mm²
 ε_c ‰
 ε_s ‰
 d mm
 x x/d
 δ

Tipo Sezione
☒ Rettan.re ☐ Trapezi
☐ a T ☐ Circolare
☐ Rettangoli ☐ Coord.
☐ DXF

Metodo di calcolo
☒ S.L.U.+ ☐ S.L.U.-
☐ Metodo n

Tipo flessione
☒ Retta ☐ Deviata

N° rett.

 L₀ mm Col. modello

☐ Precompresso

Figura 72: Verifica a flessione trave su pali "2B"

Il momento massimo agente è pari a 54kNm

Il momento resistente è pari a 504 kNm

La verifica risulta SODDISFATTA

16.4 VERIFICA A TAGLIO – ARMATURA TRASVERSALE TRAVE

Si considera a favore di sicurezza la sezione di trave 900x600 mm

Taglio_nuovo.xlsx STUDIOCALVI

VERIFICA A TAGLIO PER SEZIONI DI ELEMENTI IN C.A

	INPUT	OK
	OUTPUT	NOT OK

CARATTERISTICHE GEOMETRICHE

b	900,00 [mm]		
h	600,00 [mm]		
d'	55,00 [mm]		
d	545,00 [mm]		
A _c	540000,00 [mm ²]		
k	1,61 ≤2		
v _{min}	0,3561 [#]		
A _{st}	1884,00 [mm ²]		
ρ _l	0,00384 ≤0.02		
N _{ed}	0,00 [N]		
σ _{cp}	0,00 [N/mm ²]	≤0.2*f _{cd}	

CARATTERISTICHE MECCANICHE

R _{ck}	30,12 [MPa]		
f _{ck}	25,00 [MPa]		
f _{yk}	450,00 [MPa]		
γ _c	1,50 [#]		
γ _s	1,15 [#]		
f _{cd}	14,17 [MPa]		
f _{yd}	391,30 [MPa]		
v	0,50 [#]		
α _c	1,00 [#]		
α	90,00 [°]		

SOLLECITAZIONE TAGLIO AGENTE

V _{Ed}	115 [kN]		
t _{Ed}	0,018 [#]		

Figura 73: Caratteristiche geometriche e meccaniche per verifica a taglio

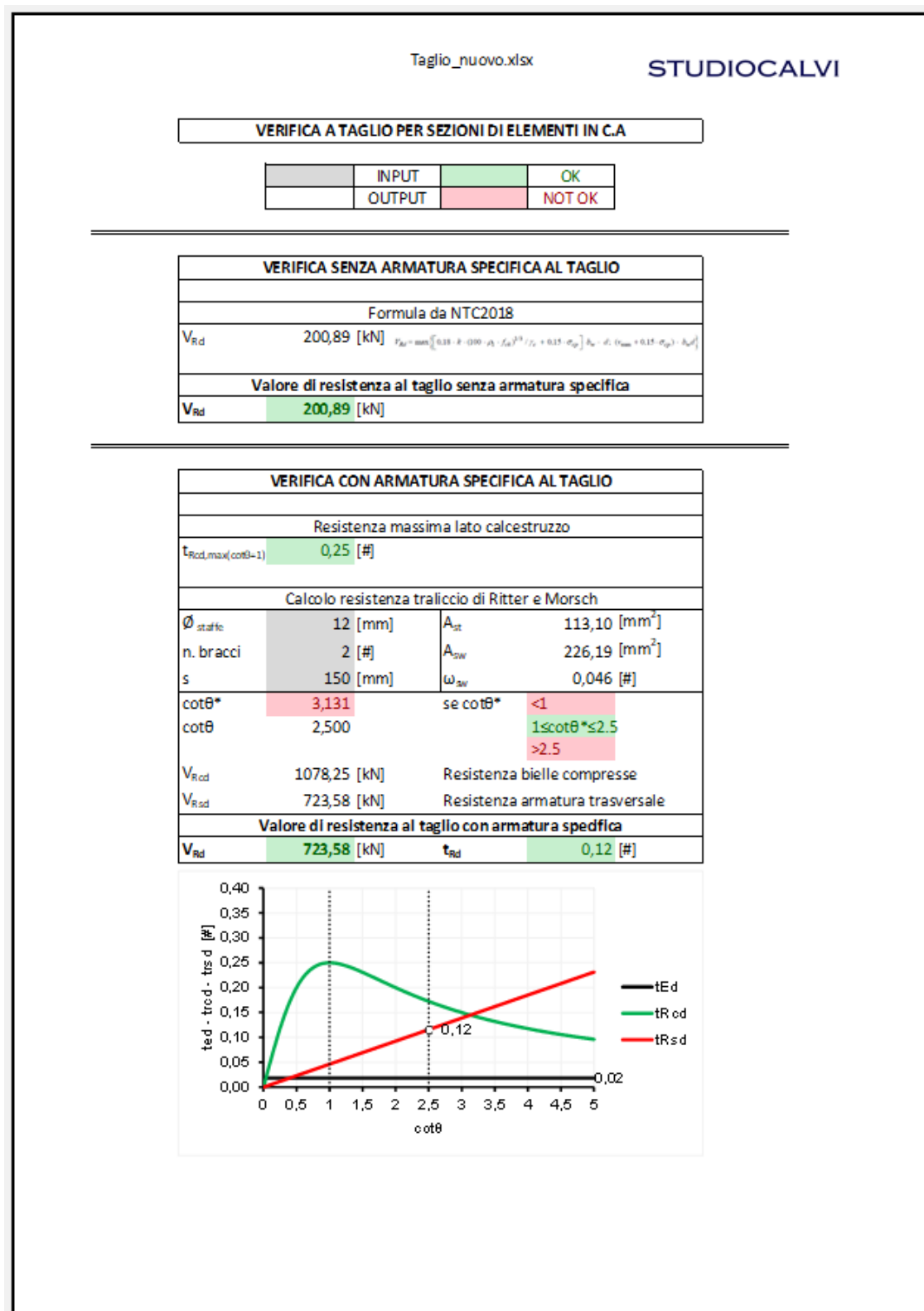


Figura 74: Risultati verifica a taglio

Il passo minimo di armatura deve essere pari al minimo fra: (330mm; 0,8d; $A_{sw} \times 1000 / 1,5 \times b$) = 167mm

Con $A_{sw} = 226 \text{ mm}^2$

Si dispongono staffe Ø12 passo 150 mm. La verifica risulta SODDISFATTA

16.6 MICROPALI

Si assumono per tutte le opere di interesse micropali $\varnothing 200\text{mm}$ (armatura tubolare 139,7x8mm) e lunghezza di 15 m. Per l'opera 2B si utilizzano 3 micropali per ogni spalla mentre per le opere 1C e 1D 2 micropali per spalla.

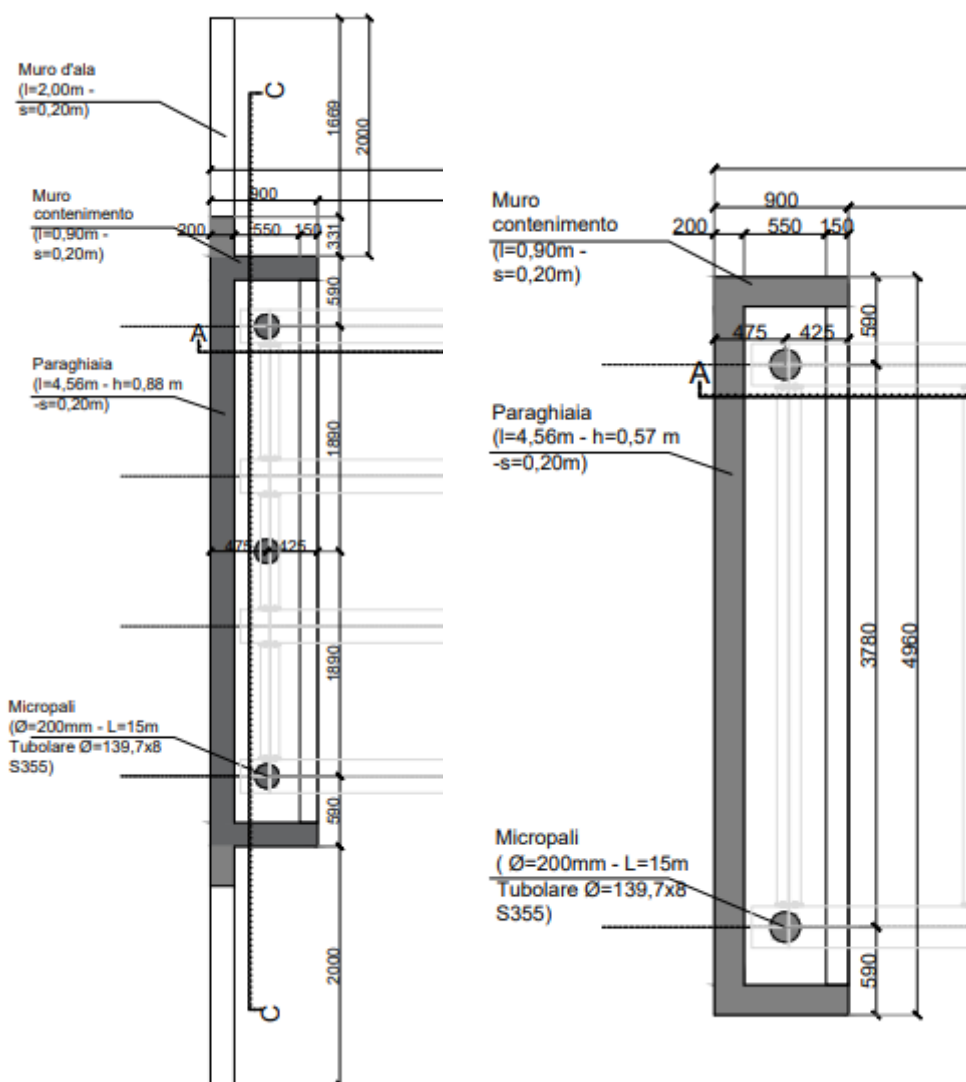


Figura 76: Micropali: a Sx disposizione Opera 2B – a dx disposizione Opere 1C e 1D

Per le portate dei micropali fare riferimento a relazione geotecnica.

Di seguito si riportano in breve alcuni stralci che riassumono in principali risultati

16.6.3 AREA 1D

Strato	Prof.	Nspt	Tipo	Peso Unità di Volume (KN/m³)	Peso Unità di Volume Saturato (KN/m³)	Fi (°)	Coesione non drenata Cu (KPa)	Modulo Edometrico (Mpa)	Modulo Elastico (Mpa)	Modulo Poisson	Modulo di taglio G (Mpa)	Velocità onde di taglio (m/s)	Densità relativa (%)
1	2,5	10	Sabbia	14,49	18,83	33,67	0	4,71	0	0,33	55,52	105,96	77,12
2	6,5	7	Sabbia limosa	14,11	18,59	32,49	0	4,1	0	0,34	39,7	127,78	61,83
3	10,5	27	Sabbia addensata ghiaiosa	15,76	19,61	37,37	0	6,92	17,65	0,31	111,51	174,88	100
4	14,5	31	Sabbia ben addensata	15,97	19,74	37,93	0	7,33	18,63	0,31	121,47	191,46	0

Figura 81: Modello Geotecnico Area 1D

PALI TRIVELLATI - massimo nove strati differenti

DATI DI INGRESSO

D diametro del palo 0,20 [m] FS coeff. sicurezza 3,00 [-]

L lunghezza massima di calcolo 15,00 [m]

Z_{sc} profondità della falda dal p.c. 11,00 [m]

f_{cd} resistenza di calcolo del c.i.s. 13,20 [Mpa]

NOTA: Devono essere compilati tutti i campi in azzurro

NOTA: è sempre necessario inserire uno strato avente profondità uguale alla falda

n° strato	tipo	ΔH _i [m]	H _i [m]	γ _n [kN/m³]	γ' [kN/m³]	N _{SP} [-]	φ [°]	K [-]	c _u [kPa]	α [-]	c _a [kPa]
1	terreno	2,50	2,50	14,50	14,50	10,00	32,90	0,70	0,00	0,00	0,00
2	sabbia limo	4,00	6,50	14,20	14,20	7,00	32,60	0,70	0,00	0,00	0,00
3	sabbia ghia	4,50	11,00	18,90	18,90	27,00	36,90	0,70	0,00	0,00	0,00
4	sabbia ben	4,00	15,00	19,70	19,70	31,00	37,50	0,70	0,00	0,00	0,00
					0,00					0,00	0,00

LEGENDA

ΔH_i spessore dello strato

H_i profondità dello strato dal p.c.

γ_n peso specifico del terreno naturale

γ' peso specifico efficace

N_{SP} Numero colpi al piede (solo granulari)

φ angolo di attrito (solo granulari)

K rapporto tra e_u/e_c

c_u coesione non drenata (solo coesivi)

c_a adesione (solo coesivi)

Congruenza dei dati

Congruenza sulla lunghezza: OK

Congruenza sulla stratigrafia: OK

PORTATA ALLA BASE - protocollo di Berenzantzev

n° strato	tipo	ΔH _i [m]	H _i [m]	γ _n [kN/m³]	γ' [kN/m³]	N _{SP} [-]	φ [°]	K [-]	c _u [kPa]	α [-]	c _a [kPa]
4	terreno	4,00	15,00	19,70	19,70	31,00	37,50	0,70	0,00	0,00	0,00

A_b Area della base del palo 0,03 [m²]

σ_u Pressione geostatica di base 216,9 [kPa]

N_u=σ_u/B_u Coeff. di pressione geostatica 73

c Coesione alla base 0,00 [kPa]

N_c Coeff. di coesione 9

Q_{u,lim} Portata limite di base 497,43 [kN]

Q_{u,amm} Portata amm. di base 165,8 [kN]

Tabella per il calcolo di B_u

B _u	20,00	33,00	63,00	104,00	186,00
26	30	34	37	40	

Tabella per il calcolo di v

H/D	26	30	34	37	40
5,00	0,75	0,77	0,81	0,83	0,85
10,00	0,62	0,67	0,73	0,76	0,79
15,00	0,55	0,61	0,68	0,73	0,77
20,00	0,49	0,57	0,65	0,71	0,75
25,00	0,44	0,53	0,63	0,70	0,74

PORTATA LATERALE - protocollo di Viggiani

σ _u	σ _u [kPa]	σ _{u,med}	σ _{u,med}	c _a	s	
σ _{u,1}	0	36,25	18,125	12,6875	0,00	8,21
σ _{u,2}	36,25	93,05	64,65	45,255	0,00	28,94
σ _{u,3}	93,05	178,1	135,575	94,9025	0,00	71,25
σ _{u,4}	178,1	216,9	197,5	138,25	0,00	106,08
σ _{u,5}	0	0	0	0	0,00	0,00
σ _{u,6}	0	0	0	0	0,00	0,00
σ _{u,7}	0	0	0	0	0,00	0,00
σ _{u,8}	0	0	0	0	0,00	0,00
σ _{u,9}	0	0	0	0	0,00	0,00

Q_{u,lim} Portata limite laterale 553,72 [kN]

Q_{u,amm} Portata amm. laterale 184,57 [kN]

PORTATA TOTALE LIMITE 1039 [kN]

PORTATA TOTALE AMMISSIBILE 346 [kN]

EFFETTO DI GRUPPO SULLE PORTATE - protocollo di Converse Labaree

m numero di file di pali 1

n numero di pali per fila 3

i interasse fra i pali 1,5 [m]

E fattore di efficienza 0,94

N numero pali totali 3

PORTATA TOTALE LIMITE DI GRUPPO 2943 [kN]

PORTATA TOTALE AMM. DI GRUPPO 981 [kN]

Figura 82: Opera 1D - Portate dei micropali – L=15m

17 VERIFICHE DI RESISTENZA (SLU) DEGLI ELEMENTI METALLICI - PASSERELLE

17.1 PASSERELLA "2B"

17.1.1 VERIFICA A FLESSIONE E TAGLIO TRAVI PRINCIPALI HEB280 IMPALCATO

Si verificano a flessione le travi principali dell'impalcato. Il massimo valore di momento ottenuto dall'involuppo delle combinazioni al SLU e SLV, per le travi centrali, è pari a:

$$M_{Ed} = 255 \text{ kNm}$$

Utilizzando profili HEB280 – S275 si ha una resistenza flessionale pari a:

$$M_{Rd} = 401,80 \text{ kNm}$$

Da cui si ottiene:

$$M_{Ed} = 255 \text{ kNm} < M_{Rd} = 401,80 \text{ kNm}$$

La verifica risulta quindi SODDISFATTA. Il rapporto azione/resistenza è pari a 0,635

Il massimo valore di taglio dall'involuppo delle combinazioni al SLU e SLV, per le travi centrali, è pari a:

$$V_{Ed} = 115 \text{ kN}$$

Si ha una resistenza a taglio pari a:

$$V_{Rd} = 621,90 \text{ kN}$$

Da cui si ottiene:

$$V_{Ed} = 115 \text{ kN} < V_{Rd} = 621,90 \text{ kN}$$

La verifica risulta quindi SODDISFATTA. Il rapporto azione/resistenza è pari a 0,185

Doppio T Laminati - F1 per aiuto

File Tipo Profilo Collegamenti Giunto Flangiato AcciaioCl Normativa: NTC ?

☐ IPE ☐ IPN ☐ HEAA ☐ HL ☐ Ordina per ☒ Wy ☐ ly ☐ g

☐ HEA ☐ IPEA ☐ HEX ☐ UB

☒ HEB ☐ IPEO ☐ HD ☐ UC

☐ HEM ☐ IPEX ☐ HP ☐ W

Acciaio S275 (Fe430) fy (N/mm2) 275 fu 430

Lunghezze di libera inflessione [m]
 l_{0y} 0 l_{0z} 0

N_{Sd} [kN] 0

Aggiorna Tabella

designation	g (Kg/m)	h (mm)	b (mm)	tw (mm)	tf (mm)	r1 (mm)
HE 200 B	61.3	200	200	9.00	15.00	18.00
HE 220 B	71.5	220	220	9.50	16.00	18.00
HE 240 B	83.2	240	240	10.00	17.00	21.00
HE 260 B	93.0	260	260	10.00	17.50	24.00
HE 280 B	103.0	280	280	10.50	18.00	24.00
HE 300 B	117.0	300	300	11.00	19.00	27.00
UC 220 B	127.0	220	200	11.50	20.50	27.00

HE 280 B

N_{by,Rd} [kN] 3'441 N_{bz,Rd} [kN] 3'441 V_{ply,Rd} [kN] 621.9

M_{cy,Rd} [kNm] 401.8 M_{cz,Rd} [kNm] 187.9 V_{plz,Rd} [kN] 1'524

g (Kg/m): 103 h (mm): 280 r2 (mm): 0

b (mm): 280 A (cm2): 131.4 i_y (cm): 12.11 i_z (cm): 7.09

tw (mm): 10.5 I_y (cm4): 19'270 I_z (cm4): 6'595 I_T (cm4): 143.7

tf (mm): 18 W_y (cm3): 1'376 W_z (cm3): 471 I_w (cm6): 1'130'000

r1 (mm): 24 W_{ply} (cm3): 1'534 W_{pl,z} (cm3): 717.6

Classe Sezione
 Compressione 1
 Flessione My 1
 Flessione Mz 1
 Presso-Flessione 1

Verifiche
 Presso Flessione
 Svergolamento

Figura 83: Momento e taglio resistente travi HEB280

17.1.2 VERIFICA A FLESSIONE E TAGLIO TRAVI SECONDARIE DI IRRIGIDIMENTO HEB160 IMPALCATO

Si verificano a flessione le travi d'irrigidimento dell'impalcato. Il massimo valore di momento ottenuto dall'involuppo delle combinazioni al SLU e SLV, per le travi centrali, è pari a:

$$M_{Ed} = 20 \text{ kNm}$$

Utilizzando profili HEB160 – S275 si ha una resistenza flessionale pari a:

$$M_{Rd} = 92,71 \text{ kNm}$$

Da cui si ottiene:

$$M_{Ed} = 20 \text{ kNm} < M_{Rd} = 92,71 \text{ kNm}$$

La verifica risulta quindi SODDISFATTA. Il rapporto azione/resistenza è pari a 0,216

Il massimo valore di taglio dall'involuppo delle combinazioni al SLU e SLV, per le travi centrali, è pari a:

$$V_{Ed} = 38 \text{ kN}$$

Si ha una resistenza a taglio pari a:

$$V_{Rd} = 266 \text{ kN}$$

Da cui si ottiene:

$$V_{Ed} = 38 \text{ kN} < V_{Rd} = 266 \text{ kN}$$

La verifica risulta quindi SODDISFATTA. Il rapporto azione/resistenza è pari a 0,143

Doppio T Laminati - F1 per aiuto

File Tipo Profilo Collegamenti Giunto Flangiato AcciaioCl Normativa: NTC ?

☐ IPE ☐ IPN ☐ HEAA ☐ HL ☐ Wy ☐ ly ☐ g

☐ HEA ☐ IPEA ☐ HEX ☐ UB

☒ HEB ☐ IPEO ☐ HD ☐ UC

☐ HEM ☐ IPEX ☐ HP ☐ W

Aggiorna Tabella

designation	g (Kg/m)	h (mm)	b (mm)	tw (mm)	tf (mm)	r1 (mm)
HE 140 B	33.7	140	140	7.00	12.00	12.00
HE 160 B	42.6	160	160	8.00	13.00	15.00
HE 180 B	51.2	180	180	8.50	14.00	15.00
HE 200 B	61.3	200	200	9.00	15.00	18.00
HE 220 B	71.5	220	220	9.50	16.00	18.00
HE 240 B	83.2	240	240	10.00	17.00	21.00

Acciaio: S275 (Fe430) fy (N/mm2) 275 fu 430

Lunghezze di libera inflessione [m]
 Oy 0 Oz 0

Nsd [kN] 0

Plotta

HE 160 B

N_{by,Rd} [kN] 1'421

N_{bz,Rd} [kN] 1'421

V_{ply,Rd} [kN] 266.0

M_{cy,Rd} [kNm] 92.71

M_{cz,Rd} [kNm] 44.52

V_{plz,Rd} [kN] 629.0

g (Kg/m): 42.6

h (mm): 160

b (mm): 160

tw (mm): 8

tf (mm): 13

r1 (mm): 15

r2 (mm): 0

A (cm2): 54.25

Iy (cm4): 2'492

Iz (cm4): 889.2

W_y (cm3): 311.5

W_z (cm3): 111.2

W_{pl,y} (cm3): 354

W_{pl,z} (cm3): 170

Classe Sezione

Compressione 1

Flessione My 1

Flessione Mz 1

Presso-Flessione 1

Verifiche

Presso Flessione

Svergolamento

Figura 84: Momento e taglio resistente travi HEB280

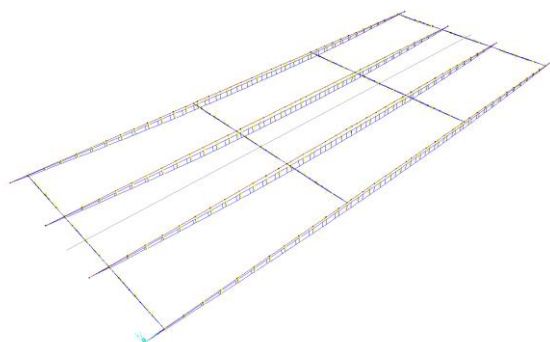


Diagramma dei momenti

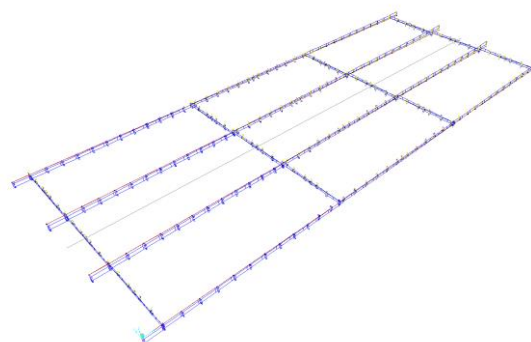


Diagramma dei tagli

Figura 85: Andamento sollecitazioni impalcato

17.2 PASSERELLE "1C E 1D"

17.2.1 VERIFICA A FLESSIONE E TAGLIO TRAVI PRINCIPALI HEB280 IMPALCATO

Si verificano a flessione le travi principali dell'impalcato. Il massimo valore di momento ottenuto dall'involuppo delle combinazioni al SLU e SLV, per le travi centrali, è pari a:

$$M_{Ed} = 238 \text{ kNm}$$

Utilizzando profili HEB280 – S275 si ha una resistenza flessionale pari a:

$$M_{Rd} = 401,80 \text{ kNm}$$

Da cui si ottiene:

$$M_{Ed} = 238 \text{ kNm} < M_{Rd} = 401,80 \text{ kNm}$$

La verifica risulta quindi SODDISFATTA. Il rapporto azione/resistenza è pari a 0,592

Il massimo valore di taglio dall'involuppo delle combinazioni al SLU e SLV, per le travi centrali, è pari a:

$$V_{Ed} = 154 \text{ kN}$$

Si ha una resistenza a taglio pari a:

$$V_{Rd} = 621,90 \text{ kN}$$

Da cui si ottiene:

$$V_{Ed} = 154 \text{ kN} < V_{Rd} = 621,90 \text{ kN}$$

La verifica risulta quindi SODDISFATTA. Il rapporto azione/resistenza è pari a 0,248

Doppio T Laminati - F1 per aiuto

File Tipo Profilo Collegamenti Giunto Flangiato AcciaioCl Normativa: NTC ?

☐ IPE ☐ IPN ☐ HEAA ☐ HL ☐ Ordina per Wy ☐ Ly ☐ g

☐ HEA ☐ IPEA ☐ HEX ☐ UB

☒ HEB ☐ IPEO ☐ HD ☐ UC

☐ HEM ☐ IPEX ☐ HP ☐ W

Acciaio: S275 (Fe430) f_y (N/mm²): 275 f_u : 430

Lunghezze di libera inflessione [m]: l_{0y} 0 l_{0z} 0

N_{Sd} [kN]: 0

Aggiorna Tabella

designation	g (Kg/m)	h (mm)	b (mm)	tw (mm)	tf (mm)	r1 (mm)
HE 200 B	61.3	200	200	9.00	15.00	18.00
HE 220 B	71.5	220	220	9.50	16.00	18.00
HE 240 B	83.2	240	240	10.00	17.00	21.00
HE 260 B	93.0	260	260	10.00	17.50	24.00
HE 280 B	103.0	280	280	10.50	18.00	24.00
HE 300 B	117.0	300	300	11.00	19.00	27.00
UC 220 B	127.0	220	200	11.50	20.50	27.00

Plotta

HE 280 B

$N_{b,Rd}$ [kN]: 3'441 $N_{bz,Rd}$ [kN]: 3'441 $V_{pl,Rd}$ [kN]: 621.9

$M_{cy,Rd}$ [kNm]: 401.8 $M_{cz,Rd}$ [kNm]: 187.9 $V_{plz,Rd}$ [kN]: 1'524

g (Kg/m): 103 h (mm): 280 r2 (mm): 0

b (mm): 280 A (cm²): 131.4 i_y (cm): 12.11 i_z (cm): 7.09

tw (mm): 10.5 I_y (cm⁴): 19'270 I_z (cm⁴): 6'595 I_T (cm⁴): 143.7

tf (mm): 18 W_y (cm³): 1'376 W_z (cm³): 471 I_w (cm⁶): 1'130'000

r1 (mm): 24 $W_{pl,y}$ (cm³): 1'534 $W_{pl,z}$ (cm³): 717.6

Classe Sezione

Compressione 1

Flessione My 1

Flessione Mz 1

Presso-Flessione 1

Verifiche

Presso Flessione

Svergolamento

Figura 86: Momento e taglio resistente travi HEB280

17.2.2 VERIFICA A FLESSIONE E TAGLIO TRAVI SECONDARIE HEB160 IMPALCATO

Si verificano a flessione le travi d'irrigidimento dell'impalcato. Il massimo valore di momento ottenuto dall'involuppo delle combinazioni al SLU e SLV, per le travi centrali, è pari a:

$$M_{Ed} = 80 \text{ kNm}$$

Utilizzando profili HEB160 – S275 si ha una resistenza flessionale pari a:

$$M_{Rd} = 92,71 \text{ kNm}$$

Da cui si ottiene:

$$M_{Ed} = 80 \text{ kNm} < M_{Rd} = 92,71 \text{ kNm}$$

La verifica risulta quindi SODDISFATTA. Il rapporto azione/resistenza è pari a 0,86

Il massimo valore di taglio dall'involuppo delle combinazioni al SLU e SLV, per le travi centrali, è pari a:

$$V_{Ed} = 100 \text{ kN}$$

Si ha una resistenza a taglio pari a:

$$V_{Rd} = 266 \text{ kN}$$

Da cui si ottiene:

$$V_{Ed} = 100 \text{ kN} < V_{Rd} = 266 \text{ kN}$$

La verifica risulta quindi SODDISFATTA. Il rapporto azione/resistenza è pari a 0,376

Doppio T Laminati - F1 per aiuto

File Tipo Profilo Collegamenti Giunto Flangiato AcciaioCl Normativa: NTC ?

☐ IPE ☐ IPN ☐ HEAA ☐ HL ☐ Ordina per ☒ Wy ☐ ly ☐ g

☐ HEA ☐ IPEA ☐ HEX ☐ UB

☒ HEB ☐ IPEO ☐ HD ☐ UC

☐ HEM ☐ IPEX ☐ HP ☐ W

Aggiorna Tabella

designation	g (Kg/m)	h (mm)	b (mm)	tw (mm)	tf (mm)	r1 (mm)
HE 140 B	33.7	140	140	7.00	12.00	12.00
HE 160 B	42.6	160	160	8.00	13.00	15.00
HE 180 B	51.2	180	180	8.50	14.00	15.00
HE 200 B	61.3	200	200	9.00	15.00	18.00
HE 220 B	71.5	220	220	9.50	16.00	18.00
HE 240 B	83.2	240	240	10.00	17.00	21.00

Acciaio: S275 (Fe430) f_y (N/mm²) 275 f_u 430

Lunghezze di libera inflessione [m]
 l_{0y} 0 l_{0z} 0

N_{sd} [kN] 0

Plotta

HE 160 B

$N_{by,Rd}$ [kN] 1'421 $M_{cy,Rd}$ [kNm] 92.71

$N_{bz,Rd}$ [kN] 1'421 $M_{cz,Rd}$ [kNm] 44.52

$V_{ply,Rd}$ [kN] 266.0 $V_{plz,Rd}$ [kN] 629.0

g (Kg/m): 42.6 r_2 (mm): 0

h (mm): 160 A (cm²): 54.25 i_y (cm): 6.78 i_z (cm): 4.05

b (mm): 160 I_y (cm⁴): 2'492 I_z (cm⁴): 889.2 I_T (cm⁴): 31.24

tw (mm): 8 W_y (cm³): 311.5 W_z (cm³): 111.2 I_w (cm⁶): 47'940

tf (mm): 13 $W_{pl,y}$ (cm³): 354 $W_{pl,z}$ (cm³): 170

r1 (mm): 15

Classe Sezione
 Compressione 1
 Flessione My 1
 Flessione Mz 1
 Presso-Flessione 1

Verifiche
 Presso Flessione
 Svergolamento

Figura 87: Momento e taglio resistente travi HEB280

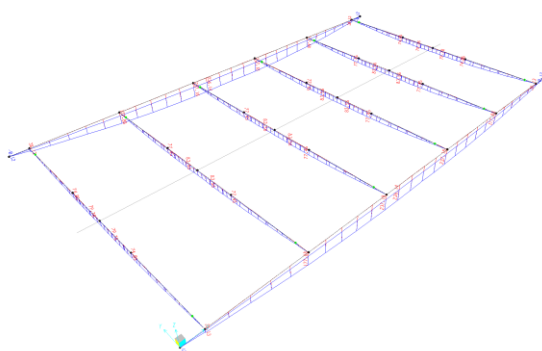


Diagramma dei momenti

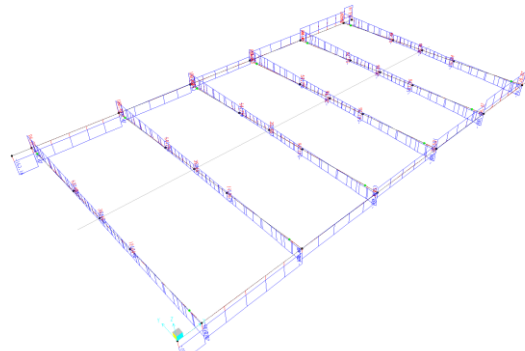


Diagramma dei tagli

Figura 88: Andamento sollecitazioni impalcato

18 VERIFICHE IN ESERCIZIO (SLE) - PASSERELLE

18.1 VERIFICA A DEFORMAZIONE DELL'IMPALCATO

18.1.1 PASSERELLA "2B"

Il valore massimo di spostamento verticale ottenuto dall'analisi numerica dall'involuppo delle combinazioni rare per le travi principali risulta essere pari a:

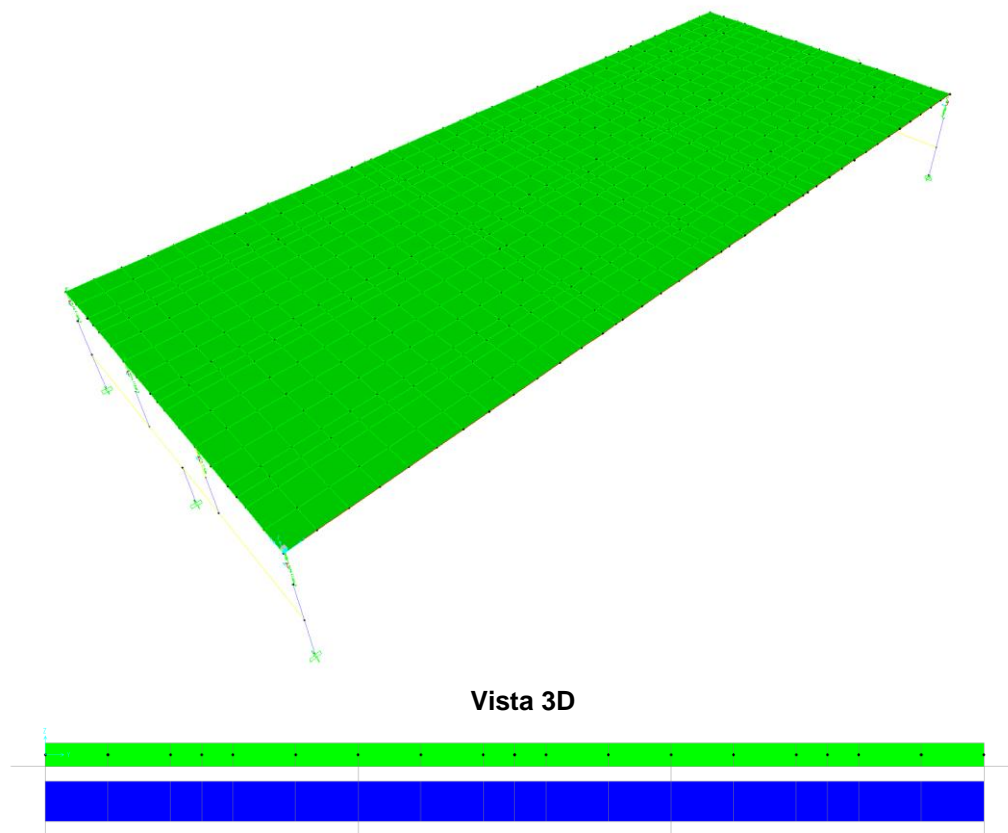
$$\delta_{\max} = 39 \text{ mm}$$

Il valore di freccia limite per le travi in esame, considerando 1/400 della luce risulta essere pari a:

$$f_{\lim} = 9250/400 = 23,13 \text{ mm}$$

Poiché il valore dello spostamento massimo dell'analisi risulta essere maggiore dell'abbassamento limite, si implementa nel modello ad elementi finiti anche la presenza del getto di soletta con lamiera grecata.

In dettaglio si modella con elementi bidimensionali shell (dimensioni 0,25x0,25m), solidale con i profili portanti in acciaio, una soletta in cls (dello spessore di 95mm – solo getto di completamento) per simulare la reale rigidezza del sistema collaborante:



Vista 3D
Vista dettaglio sezione trasversale impalcato
Figura 89: Modello passerella 2B con impalcato a shell - Sap200

I valori massimi di spostamento ottenuti da questa modellazione sono riportati in Figura 90:

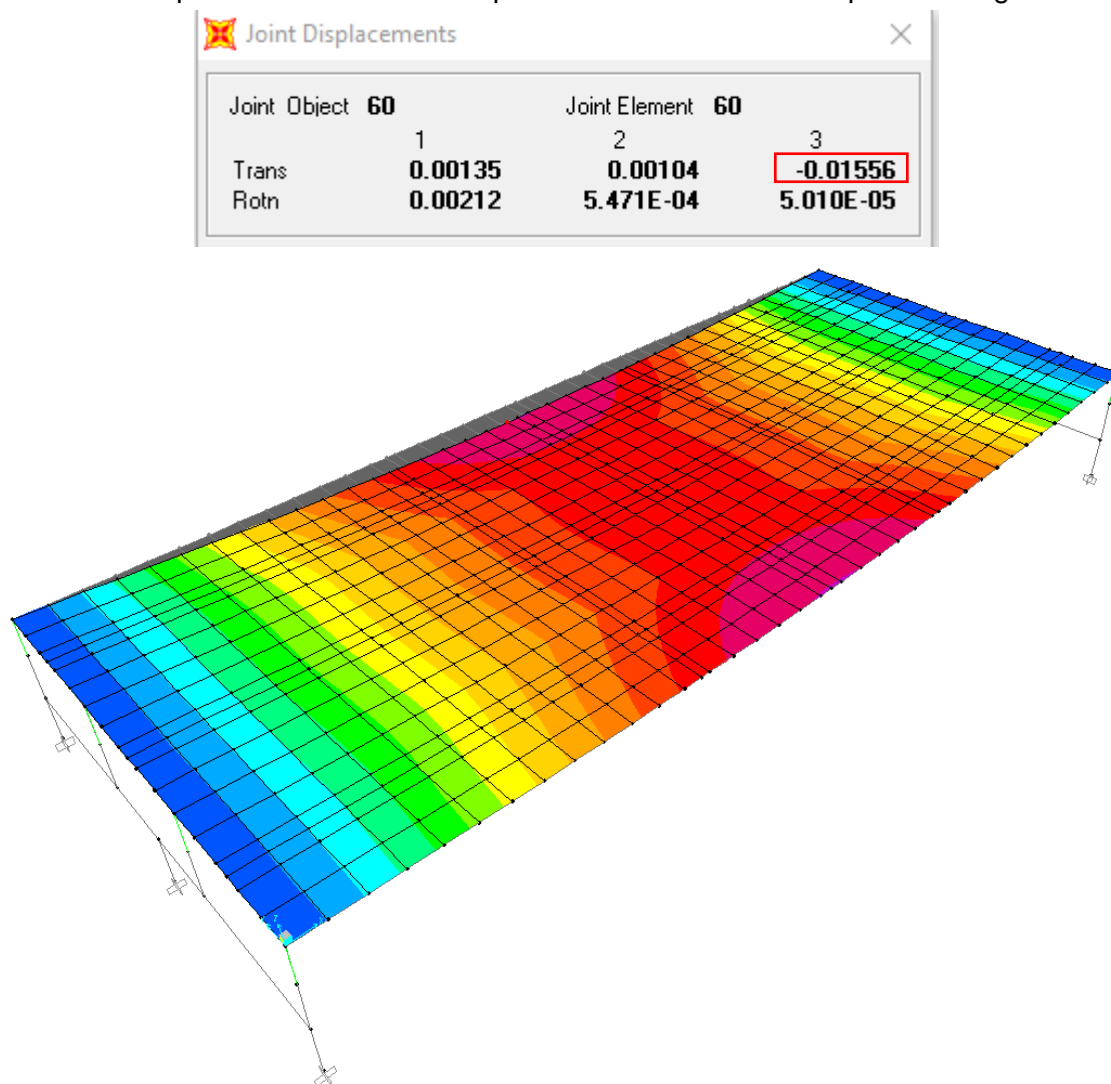


Figura 90: Modello passerella 2B con impalcato a shell - Sap200

$\delta_{\max} = 15,56 \text{ mm}$

Il valore di freccia limite per le travi in esame, considerando 1/400 della luce risulta essere pari a:

$f_{\text{lim}} = 9250/400 = 23,12 \text{ mm}$

La verifica a deformazione risulta essere SODDISFATTA.

18.1.2 PASSERELLE "1C E 1D"

Il valore massimo di spostamento verticale ottenuto dall'analisi numerica dall'involuppo delle combinazioni rare per le travi principali risulta essere pari a:

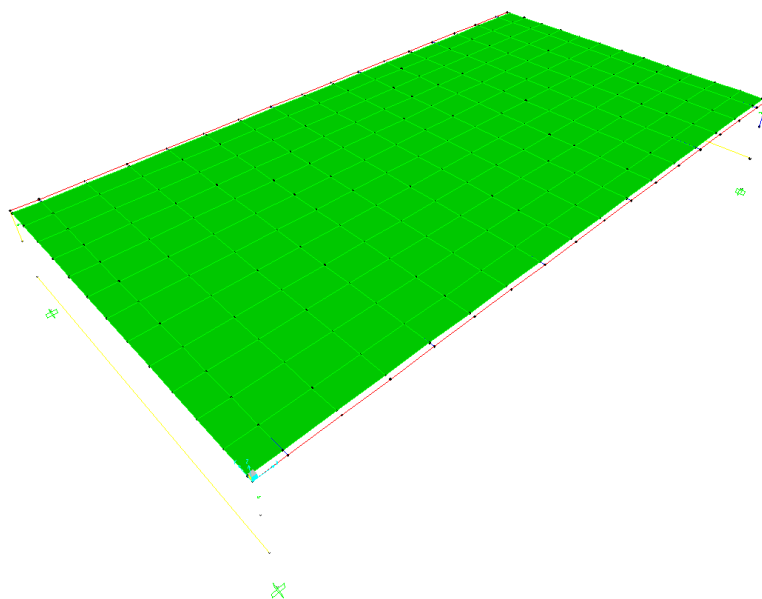
$$\delta_{\max} = 19 \text{ mm}$$

Il valore di freccia limite per le travi in esame, considerando 1/500 della luce risulta essere pari a:

$$f_{\lim} = 9250/400 = 16,88 \text{ mm}$$

Poiché il valore dello spostamento massimo dell'analisi risulta essere maggiore dell'abbassamento limite, si implementa nel modello ad elementi finiti anche la presenza del getto di soletta con lamiera grecata.

In dettaglio si modella con elementi bidimensionali shell (dimensioni 0,25x025m), solidale con i profili portanti in acciaio, una soletta in cls (dello spessore di 95mm – solo getto di completamento) per simulare la reale rigidezza del sistema collaborante:



Vista 3D

Figura 91: Modello passerella 1C e 1D con impalcato a shell - Sap2000

I valori massimi di spostamento ottenuti da questa modellazione sono riportati in Figura 91:

Joint Displacements			
Joint Object	81		
	1	2	3
Trans	0.00135	5.677E-05	-0.01678
Rotn	0.00000	0.00102	0.00000

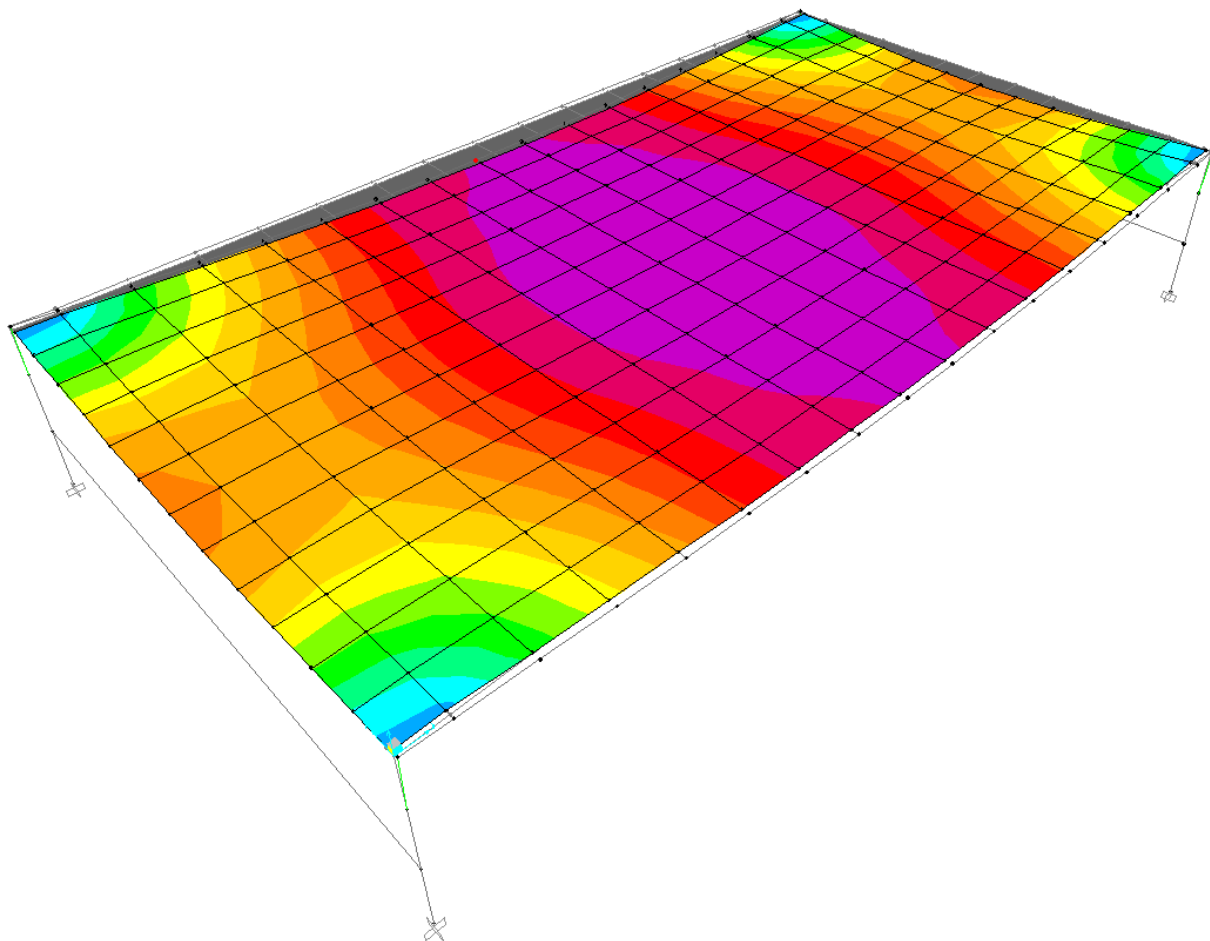


Figura 92: Modello passerella 1C e 1D con impalcato a shell - Sap2000

$\delta_{\max} = 16,78 \text{ mm}$

Il valore di freccia limite per le travi in esame, considerando 1/500 della luce risulta essere pari a:

$f_{\text{lim}} = 6750/400 = 16,875 \text{ mm}$

La verifica a deformazione risulta essere SODDISFATTA.

19 VERIFICA DELLA SOLETTA COLLABORANTE CON LAMIERA GRECATA

19.1 PROGETTO DEI CONNETTORI A TAGLIO -SCORRIMENTO

19.1.1 PASSERELLA "2B"

19.1.1.1 Travi principali

Si riportano i calcoli per la progettazione dei pioli per la soletta collaborante, resistenti all'azione del taglio scorrimento. Si esegue il calcolo considerando il parziale ripristino di resistenza (con calcolo elastico) della sezione composta e si utilizza il software di Profili (Gelfi). Il momento agente massimo allo SLU è pari a: $M_{Ed} = 255 \text{ kNm}$.

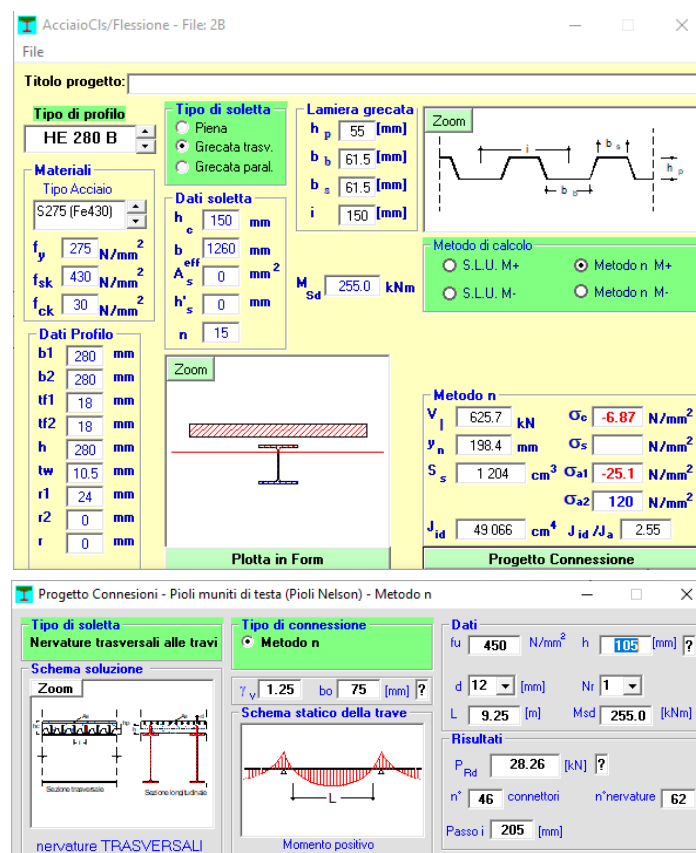


Figura 93: Numero dei connettori a taglio scorrimento

Il calcolo della base efficace è stato condotto seguendo il paragrafo 4.3.2.3 di [1] nel quale:

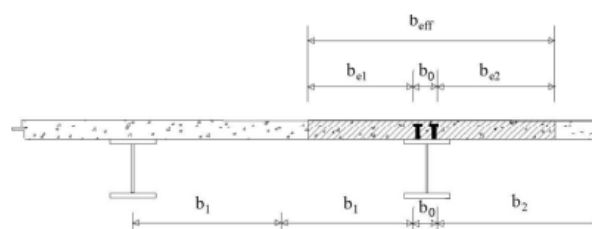


Figura 94: Calcolo base efficace

$$b_{eff} = b_0 + b_{e1} + b_{e2}$$

$$b_0 = 0$$

$$b_{ei} = \min (L_e/8, b_i) = \min (9,25/8; 1,26/2) = \min (1,16; 0,63)$$

da cui:

$$b_{eff} = 0 + 0,63 \times 2 = 1,26 \text{ m}$$

Per garantire il parziale ripristino della resistenza allo SLU dal calcolo risultano necessari n.46 connettori ($\varnothing=12 \text{ mm}$ $L=105 \text{ mm}$). Si assume di posarne in numero pari alle nervature della lamiera grecata e quindi n.62 per ognuna delle n.4 travi costituenti l'impalcato.

19.1.2 PASSERELLE "1C E 1D"

19.1.2.1 Travi secondarie

Si riportano i calcoli per la progettazione dei pioli per la soletta collaborante, resistenti all'azione del taglio scorrimento. Si esegue il calcolo considerando il parziale ripristino di resistenza (con calcolo elastico) della sezione composta e si utilizza il software di Profili (Gelfi).

Il momento agente considerato allo stato limite ultimo tiene conto dei pesi propri G_1 e G_2 e della presenza dell'asse più gravoso del carico Tandem ($40 + 40 \text{ kN}$) applicato a massimizzare i momenti positivi. Si riportano in Figura 96 i valori delle sollecitazioni:

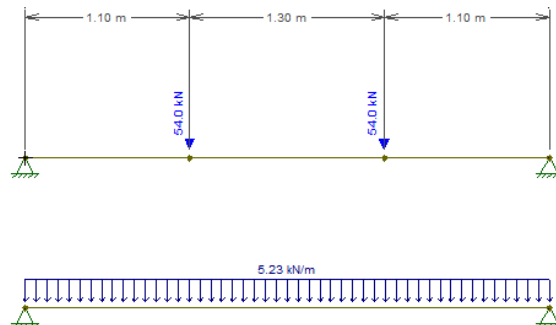


Figura 95: Carichi allo SLU

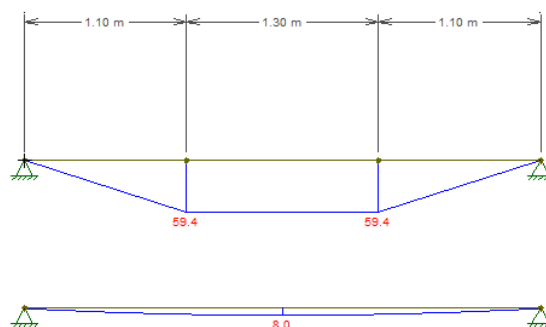


Figura 96: Sollecitazioni allo SLU

Il calcolo della base efficace è stato condotto seguendo il paragrafo 4.3.2.3 di [1] nel quale:

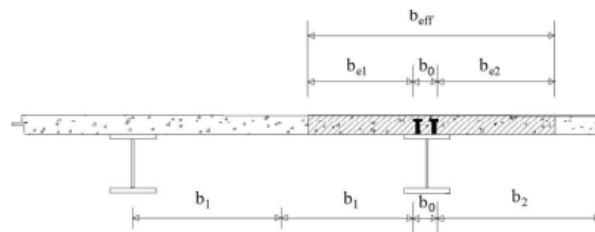


Figura 97: Calcolo base efficace

$$b_{eff} = b_0 + b_{e1} + b_{e2}$$

$$b_0 = 0$$

$$b_{ei} = \min (L_e/8, b_i) = \min (3,50/8; 1,25/2) = \min (0,44; 0,63)$$

da cui:

$$b_{eff} = 0 + 0,44 \times 2 = 0,88 \text{ m}$$

Figura 98: Numero dei connettori a taglio scorrimento

Per garantire il parziale ripristino della resistenza dal calcolo risultano necessari n.16 coppie di connettori ($\varnothing=12 \text{ mm}$ $L=105 \text{ mm}$). Poiché il numero di nervature è pari a 23 si assume un numero di coppie di connettori pari a 23 (totale connettori 46) per singola trave secondaria.

19.2.1.2 Taglio (SLE)

Si verifica la resistenza a taglio della lamiera all'atto del getto di cls.

Su un metro di lamiera si ottiene:

$$q_{sle} = 3,15 \times 1,00 + 1,50 \times 1,00 = 4,65 \text{ kN/m}$$

$$V_{Ed} = q_{SLE} \times l/2 = 2,93 \text{ kNm};$$

Considerando la lamiera di spessore 8 decimi di mm si ha una resistenza al taglio pari a:

$$A_v = b \times (n \times h_p \times s) = 2 \times 1000/150 \times 55 \times 0,8 = 586,67 \text{ mm}^2/\text{m}$$

Dove:

b: numero di lamine;

n: numero di nervature;

$$V_{Rd} = f_y \times A_v / ((\alpha)(1 + \sqrt{1 + \alpha})) = 165 \times 586,67 / (1,73 \times 1,1) = 50,81 \text{ kN}$$

Poiché il $V_{Ed} = 2,93 < V_{Rd} = 50,81 \text{ kN}$

La verifica risulta quindi SODDISFATTA. Il rapporto azione/resistenza è pari a 0,057

19.2.1.3 Deformazione (SLE)

Lo spostamento massimo calcolato in appoggio-appoggio è pari a:

$$\delta_{max} = 5/384 \times (q_{SLE} \times L^4) / EJ = 5/384 \times (4,65 \times 1260^4) / (210'000 \times 61,44 \times 10^4) = 1,183 \text{ mm}$$

$$f_{lim} = L/250 = 1260/250 = 5,04 \text{ mm}$$

La verifica risulta quindi SODDISFATTA.

19.2.2 VERIFICHE DI FASE 2

Dati di progetto:

$$G_1 = 3,15 \text{ kN/m}^2;$$

$$G_2 = 1,00 \text{ kN/m}^2;$$

$$Q_{\text{folia}} = 5,00 \text{ kN/m}^2;$$

$$Q_{\text{tandem}} = 120 \text{ kN (40 +80 kN)} - (\text{vedi carico al 11.3.1})$$

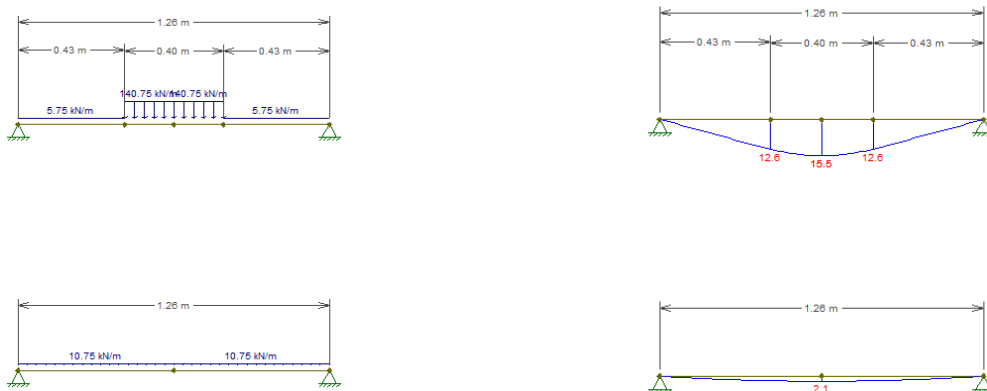
$$L = 1,26 \text{ m};$$

19.2.2.1 Flessionale (SLU)

Per il calcolo del massimo momento flettente sulla lamiera si considera:

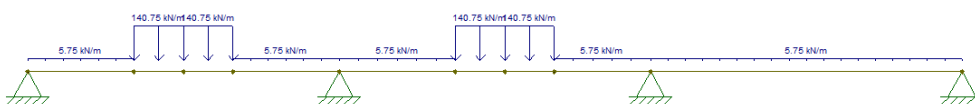
1. la condizione di appoggio- appoggio (per il momento positivo) su una luce di 1,26 m per una larghezza di 1,00 m;
2. la condizione di trave continua su 4 appoggi (per il momento negativo) su una luce totale di 3,78 m (1,26 m per campata) per una larghezza di 1,00 m;

NB: visti gli interassi uguali per gli appoggi della lamiera, per le tipologie di passerelle in esame, si è considerata la sola condizione più significativa per il calcolo a momento negativo, che si verifica per la passerella "2B".



Configurazione di carico – massimi momenti (+)

Diagramma momenti



Configurazione di carico – massimi momenti (-)

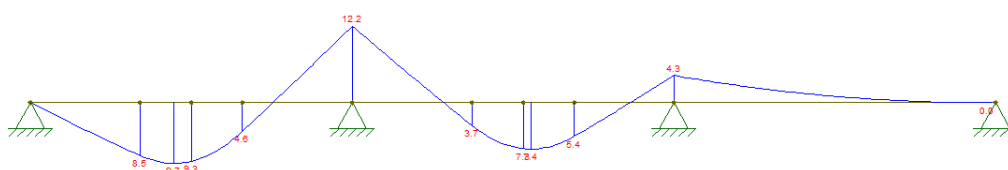


Diagramma momenti

Figura 100: Configurazione di carico - Momenti

Il valore massimo di momento agente positivo risulta pari a: $M_{Ed} = 15,50 \text{ kNm/m}$

Il valore massimo di momento agente positivo risulta pari a: $M_{Ed} = 12,20 \text{ kNm/m}$

Si assume:

armatura inferiore $A_s = 1000/150 \text{ } \varnothing 10 = 6,67 \times \varnothing 10 = 523,60 \text{ mm}^2/\text{m}$;

armatura superiore $A's = 1000/75 \text{ } \varnothing 10 = 13,33 \times \varnothing 10 = 1045 \text{ mm}^2/\text{m}$;

Lamiera grecata $A_s = 1266 \text{ mm}^2/\text{m}$;

Poiché nel programma di calcolo VCA slu la tensione di snervamento delle barre è impostata al valore

$f_{yd} = 391,3 \text{ MPa}$ ma quella della lamiera è pari a $f_{yd} = 165 \text{ MPa}$ viene utilizzata l'armatura equivalente pari a $A_s = 1266 \times 165/391,3 = 534 \text{ mm}^2/\text{m}$.

Si riportano nelle pagine seguenti gli screen dei risultati di calcolo.

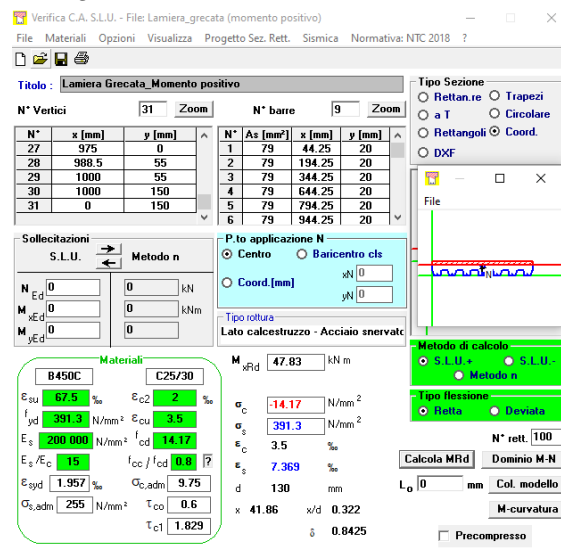


Figura 101: Resistenza flessionale SLU M+

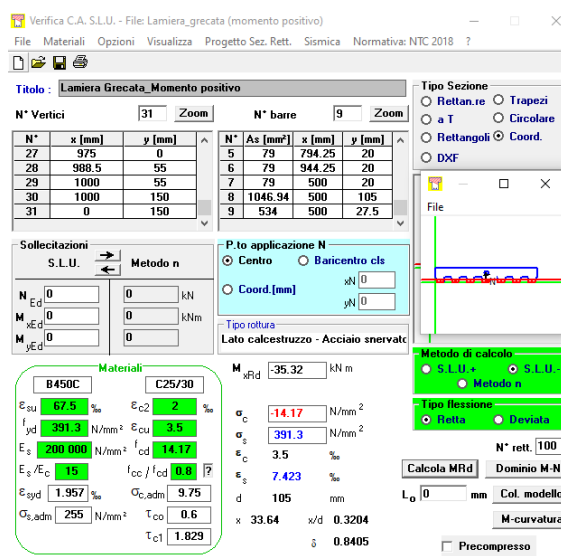


Figura 102: Resistenza flessionale SLU M-

Da cui risulta che

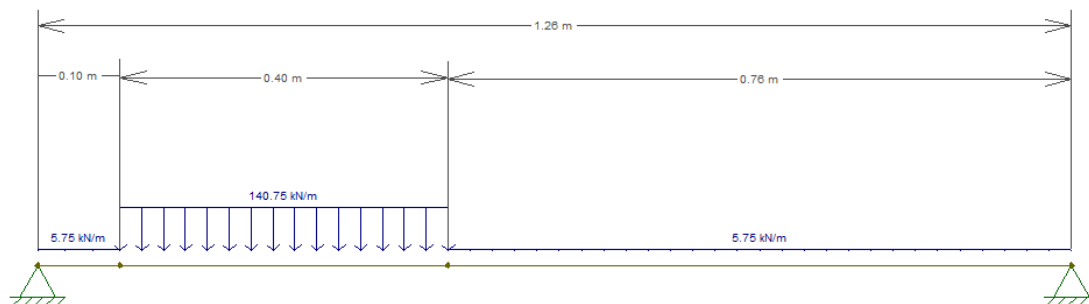
$$M_{Ed(+)} = 15,50 \text{ kNm/m} < M_{Rd(+)} = 47,89 \text{ kNm/m};$$

$$M_{Ed(-)} = -12,20 \text{ kNm/m} < M_{Rd(+)} = -35,32 \text{ kNm/m};$$

La verifica risulta quindi SODDISFATTA.

1.1.1.1 Taglio (SLU)

Per il calcolo del massimo taglio sulla lamiera si considera la condizione di appoggio- appoggio su una luce di 1,26 m per una larghezza di 1,00 m con carico posizionato a 0,10 m dall'appoggio.



Configurazione di carico – Taglio massimo

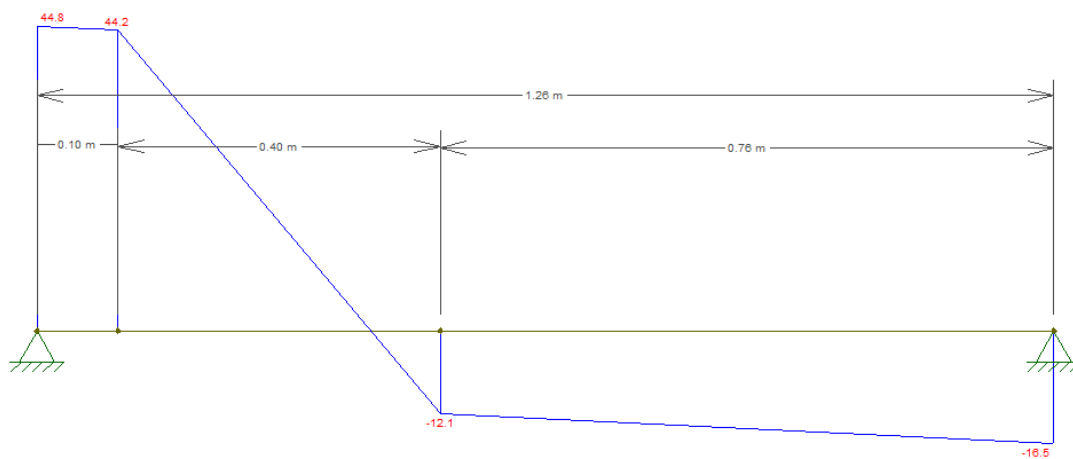


Diagramma – Taglio

La sollecitazione di taglio massimo su un metro di soletta è pari a: $V_{Ed, max} = 45 \text{ kN}$

Sul singolo travetto il taglio agente è quindi pari a: $V_{Ed, max} = 45 / (1000/150) = 6,75 \text{ kN}$

Si riporta nelle pagine seguenti la verifica di resistenza del travetto a taglio

Taglio_nuovo.xlsx

STUDIOCALVI

VERIFICA A TAGLIO PER SEZIONI DI ELEMENTI IN C.A

	INPUT		OK
	OUTPUT		NOT OK

CARATTERISTICHE GEOMETRICHE

b	61.50 [mm]
h	150.00 [mm]
d	40.00 [mm]
d	110.00 [mm]
A _c	9225.00 [mm ²]
k	2.00 ≤ 2
v _{min}	0.4950 [#]
A _{sl}	78.53 [mm ²]
ρ _l	0.01161 ≤ 0.02
N _{ed}	0.00 [N]
σ _{cp}	0.00 [N/mm ²] ≤ 0.2*f _{cd}

CARATTERISTICHE MECCANICHE

R _{ck}	30.12 [MPa]
f _{ck}	25.00 [MPa]
f _{yk}	450.00 [MPa]
γ _c	1.50 [#]
γ _s	1.15 [#]
f _{cd}	14.17 [MPa]
f _{yd}	391.30 [MPa]
v	0.50 [#]
α _c	1.00 [#]
α	90.00 [°]

SOLLECITAZIONE TAGLIO AGENTE

V _{Ed}	45 [kN]
t _{Ed}	0.522 [#]

Figura 103: Verifica a taglio travetti – Caratteristiche geometriche e meccaniche

Taglio_nuovo.xlsx

STUDIOCALVI

VERIFICA A TAGLIO PER SEZIONI DI ELEMENTI IN C.A.

	INPUT		OK
	OUTPUT		NOT OK

VERIFICA SENZA ARMATURA SPECIFICA AL TAGLIO

Formula da NTC2018

$$V_{Rd} = \min \left[0.15 \cdot k \cdot (100 \cdot \rho_l \cdot f_{ctd})^{2/3} / \gamma_c + 0.15 \cdot \sigma_{cp} \right] \cdot b_w \cdot d \cdot (r_{tmax} + 0.15 \cdot \sigma_{cp}) \cdot b_w d^2$$

Valore di resistenza al taglio senza armatura specifica

$$V_{Rd} = 4.99 \text{ [kN]}$$

VERIFICA CON ARMATURA SPECIFICA AL TAGLIO

Resistenza massima lato calcestruzzo

$$t_{Rd,max}(\cot\theta=1) = 0.25 \text{ [#]}$$

Calcolo resistenza traliccio di Ritter e Morsch

\emptyset staffe	6 [mm]	A_{st}	28.27 [mm ²]
n. bracci	2 [#]	A_{sw}	56.55 [mm ²]
s	95 [mm]	ω_{sw}	0.267 [#]

$$\cot\theta^* = 0.933 \quad \text{se } \cot\theta^* < 1$$

$$\cot\theta = 1.000 \quad 1 \leq \cot\theta^* \leq 2.5$$

$$V_{Rcd} = 21.56 \text{ [kN]} \quad \text{Resistenza bielle compresse}$$

$$V_{Rsd} = 23.06 \text{ [kN]} \quad \text{Resistenza armatura trasversale}$$

Valore di resistenza al taglio con armatura specifica

$$V_{Rd} = 21.56 \text{ [kN]} \quad t_{Rd} = 0.25 \text{ [#]}$$

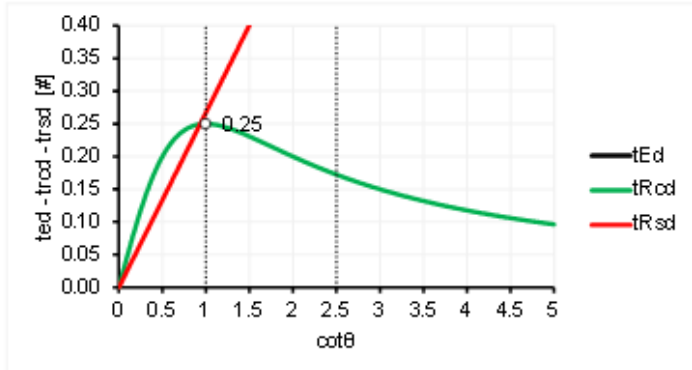


Figura 104: Verifica a taglio travetti – Risultati

La verifica risulta SODDISFATTA

19.2.2.2 Sollecitazioni SLE

Dati:

$G_1 = 3,15 \text{ kN/m}^2$ peso proprio cls + lamiera

$G_2 = 1 \text{ kN/m}^2$ peso proprio non strutturale

$Q_F = 5 \text{ kN/m}^2$ carico da folla compatta (schema 5)

$Q_T = 100 \text{ kN/m}^2$ carico tandem dei mezzi di soccorso ($80/2=40 \text{ kN}$; $40/0,4=100 \text{ kN/m}^2$)

$L = 1,26 \text{ m}$

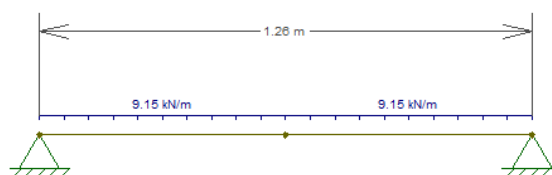
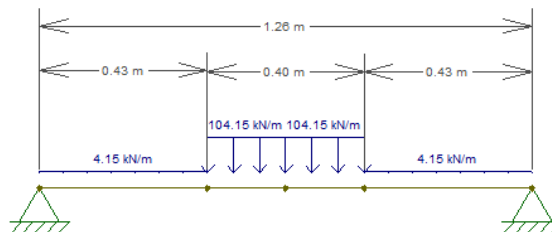
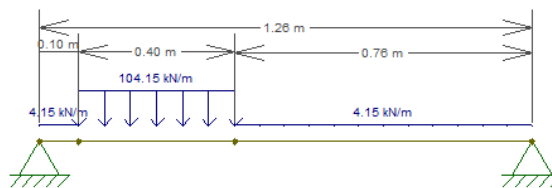
Sollecitazioni in combinazione rara:

Caso di carico dovuto alla folla compatta (schema 5):

$q = 1 \times 3,15 + 1 \times 1 + 1 \times 5 = 9,15 \text{ kN/m/m}$ ($L_{\text{inf.}} = 1 \text{ m}$)

Caso di carico dovuto al carico tandem:

$q = 1 \times 3,15 + 1 \times 1 + 1 \times 100 = 104,15 \text{ kN/m/m}$ ($L_{\text{inf.}} = 1 \text{ m}$)



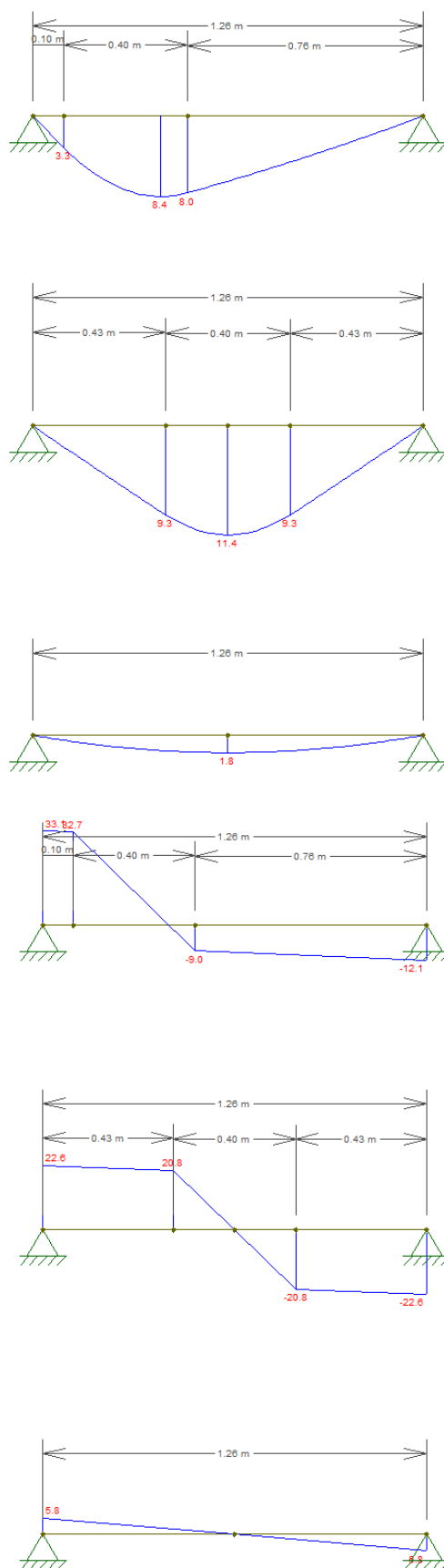


Figura 105: Sollecitazioni in combinazione SLE rara.

Le sollecitazioni in combinazione rara risultano:

$$M_{Ed} = 11,40 \text{ kNm} \rightarrow M_{Ed} = 1,71 \text{ kNm (per una larghezza di 15cm)}$$

$$V_{Ed} = 33 \text{ kN} \rightarrow V_{Ed} = 4,95 \text{ kN (per una larghezza di 150cm)}$$

Sollecitazioni in combinazione frequente:

Caso di carico dovuto al carico tandem:

$$q = 1 \times 3,15 + 1 \times 1 + 1 \times 0,75 \times 100 = 79 \text{ kN/m/m} \quad (L_{inf.} = 1 \text{ m})$$

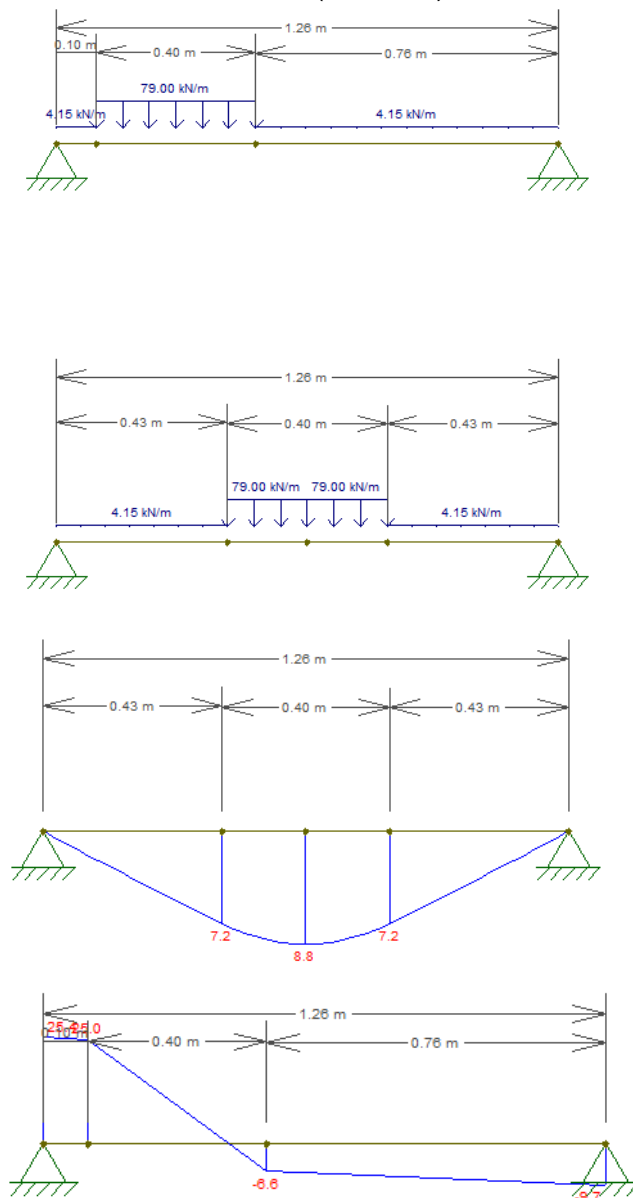


Figura 106: Sollecitazioni in combinazione SLE frequente.

Le sollecitazioni in combinazione frequente risultano:

$$M_{Ed} = 8,80 \text{ kNm} \rightarrow M_{Ed} = 1,32 \text{ kNm (per una larghezza di 15cm)}$$

$$V_{Ed} = 25 \text{ kN} \rightarrow V_{Ed} = 3,75 \text{ kN (per una larghezza di 15cm)}$$

Sollecitazioni in combinazione quasi permanente:

Caso di carico dovuto al carico tandem:

$$q = 1 \times 3,15 + 1 \times 1 + 1 \times 0 \times 100 = 4,15 \text{ kN/m/m} \quad (L_{\text{inf}} = 1 \text{ m})$$

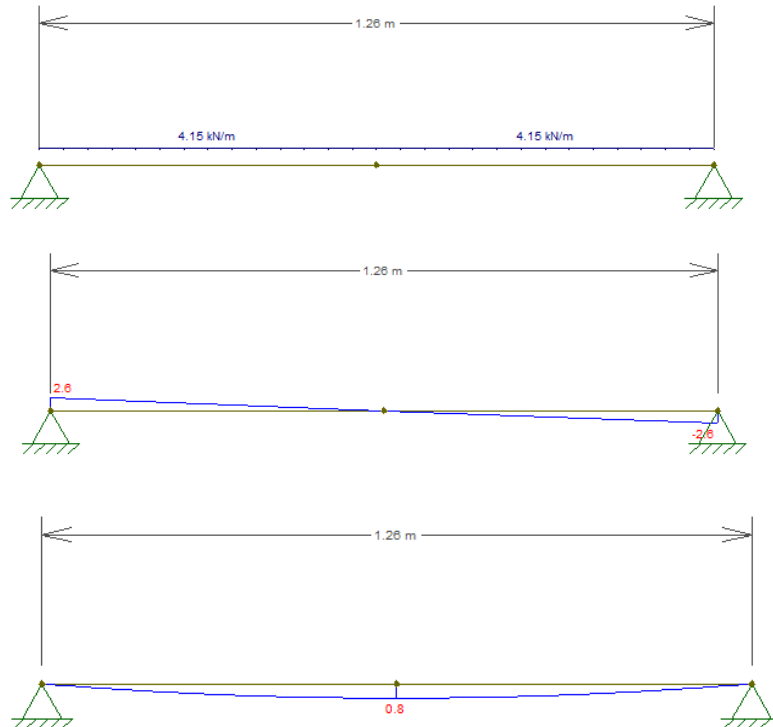


Figura 107: Sollecitazioni in combinazione SLE quasi permanente.

Le sollecitazioni in combinazione permanente risultano:

$$M_{\text{Ed}} = 0,8 \text{ kNm} \rightarrow M_{\text{Ed}} = 0,12 \text{ kNm} \quad (\text{per una larghezza di } 15 \text{ cm})$$

$$V_{\text{Ed}} = 2,6 \text{ kN} \rightarrow V_{\text{Ed}} = 0,39 \text{ kN} \quad (\text{per una larghezza di } 15 \text{ cm})$$

19.2.2.3 Tensioni agenti

Per rappresentare correttamente tutte le armature presenti all'interno della sezione, le armature si dividono in 3 strati:

- 2 strati rappresentano le armature superiori ($2\varnothing 10$) e inferiori ($1\varnothing 10$);
- 3 strati rappresentano le armature della lamiera (armature equivalenti in quanto la lamiera ha una tensione di snervamento di 165MPa e il calcolo viene effettuato con la tensione del B450C).

$$A_{\text{anima}} = 0,1 \times 6,15 = 0,615 \text{ cm}^2 \rightarrow A_{\text{anima}} = 0,615 \text{ cm}^2 \times 165/391,3 = 0,259 \text{ cm}^2$$

$$A_{\text{ali}} = 0,1 \times 5,5 \times 2 = 1,1 \text{ cm}^2 \rightarrow A_{\text{ali}} = 1,1 \text{ cm}^2 \times 165/391,3 = 0,464 \text{ cm}^2$$

Di seguito si riportano i risultati delle tensioni agenti:

Titolo: Solaio lamiera grecata - singola nervatura_SLE rara

N° figure elementari: 2 Zoom N° strati barre: 5 Zoom

N°	x sup [cm]	b inf [cm]	h [cm]
1	15	15	9,5
2	8,85	6,15	5,5

N°	As [cm²]	d [cm]
1	0,259	9,5
2	0,464	12,25
3	0,259	15
4	0,79	4,5
5	1,57	12,5

Sollecitazioni
 S.L.U. Metodo n
 N_{Ed} 0 kN
 M_{Ed} 0 1,71 kNm
 M_{yEd} 0

P.to applicazione N
 Centro Baricentro cls
 Coord.[cm] xN 0 yN 0

Materiali
 B450C C25/30
 ε_{su} 67,5 ‰ ε_{c2} 2 ‰
 f_{yd} 391,3 N/mm² ε_{cu} 3,5 ‰
 E_s 200 000 N/mm² f_{cd} 14,17 ‰
 E_s/E_c 15 f_{cc}/f_{cd} 0,8
 ε_{syd} 1,957 ‰ σ_{c,adm} 9,75
 σ_{s,adm} 255 N/mm² τ_{co} 0,6
 τ_{c1} 1,829

σ_c -3,574 N/mm²
 σ_s 87,7 N/mm²
 ε_s 0,4385 ‰
 d 15 cm
 x 5,691 x/d 0,3794
 δ 0,9142

Verifica
 N° iterazioni: 3
☐ Precompresso

Tipo Sezione
☐ Rettan.re ☒ Trapezi
☐ a T ☐ Circolare
☐ Rettangoli ☐ Coord.
☐ DXF

Metodo di calcolo
☐ S.L.U.+ ☐ S.L.U.-
☒ Metodo n

Figura 108: Tensioni in combinazione SLE rara.

Titolo: Solaio lamiera grecata - singola nervatura_SLE frequente

N° figure elementari: 2 Zoom N° strati barre: 5 Zoom

N°	x sup [cm]	b inf [cm]	h [cm]
1	15	15	9,5
2	8,85	6,15	5,5

N°	As [cm²]	d [cm]
1	0,259	9,5
2	0,464	12,25
3	0,259	15
4	0,79	4,5
5	1,57	12,5

Sollecitazioni
 S.L.U. Metodo n
 N_{Ed} 0 kN
 M_{Ed} 0 1,32 kNm
 M_{yEd} 0

P.to applicazione N
 Centro Baricentro cls
 Coord.[cm] xN 0 yN 0

Materiali
 B450C C25/30
 ε_{su} 67,5 ‰ ε_{c2} 2 ‰
 f_{yd} 391,3 N/mm² ε_{cu} 3,5 ‰
 E_s 200 000 N/mm² f_{cd} 14,17 ‰
 E_s/E_c 15 f_{cc}/f_{cd} 0,8
 ε_{syd} 1,957 ‰ σ_{c,adm} 9,75
 σ_{s,adm} 255 N/mm² τ_{co} 0,6
 τ_{c1} 1,829

σ_c -2,759 N/mm²
 σ_s 67,7 N/mm²
 ε_s 0,3385 ‰
 d 15 cm
 x 5,691 x/d 0,3794
 δ 0,9142

Verifica
 N° iterazioni: 3
☐ Precompresso

Tipo Sezione
☐ Rettan.re ☒ Trapezi
☐ a T ☐ Circolare
☐ Rettangoli ☐ Coord.
☐ DXF

Metodo di calcolo
☐ S.L.U.+ ☐ S.L.U.-
☒ Metodo n

Figura 109: Tensioni in combinazione SLE frequente.

Titolo: Solaio lamiera grecata - singola nervatura_SLE qp

N° figure elementari: 2 **Zoom** **N° strati barre:** 5 **Zoom**

N°	y sup [cm]	b inf [cm]	h [cm]
1	15	15	9,5
2	8,85	6,15	5,5

N°	As [cm²]	d [cm]
1	0,259	9,5
2	0,464	12,25
3	0,259	15
4	1,13	4,5
5	1,57	12,5

Sollecitazioni: S.L.U. **Metodo n**

N 0 **0** kN
M 0 **0,12** kNm
M 0 **0**

P.to applicazione N: Centro **Baricentro cls**
Coord.[cm] xN 0 yN 0

Materiali: B450C C25/30

ϵ_{su} 67,5 ‰ ϵ_{c2} 2 ‰
 f_{yd} 391,3 N/mm² ϵ_{cu} 3,5 ‰
 E_s 200 000 N/mm² f_{cd} 14,17 N/mm²
 E_s/E_c 15 f_{cc}/f_{cd} 0,8
 ϵ_{syd} 1,957 ‰ $\sigma_{c,adm}$ 9,75 N/mm²
 $\sigma_{s,adm}$ 255 N/mm² τ_{co} 0,6
 τ_{c1} 1,829

σ_c -0,2483 N/mm²
 σ_s 6,167 N/mm²
 ϵ_s 0,03084 ‰
d 15 cm
x 5,647 x/d 0,3765
 δ 0,9106

Verifica **N° iterazioni:** 3

☐ Precompresso

Figura 110: Tensioni in combinazione SLE q.p..

Le tensioni in combinazione rara risultano:

$$\sigma_c = 3,57 \text{ MPa}$$

$$\sigma_s = 87,7 \text{ MPa}$$

Le tensioni in combinazione frequente risultano:

$$\sigma_c = 2,76 \text{ MPa}$$

$$\sigma_s = 67,7 \text{ MPa}$$

Le tensioni in combinazione quasi permanente risultano:

$$\sigma_c = 0,25 \text{ MPa}$$

$$\sigma_s = 6,17 \text{ MPa}$$

Verifica SLE a deformazione

Secondo il §4.1.2.2.2 delle NTC, i limiti di deformabilità devono essere congruenti con le prestazioni richieste alla struttura anche in relazione alla destinazione d'uso, con riferimento alle esigenze statiche, funzionali ed estetiche.

Per quanto riguarda la salvaguardia dell'aspetto e della funzionalità dell'opera, le frecce a lungo termine, calcolate sotto l'azione quasi permanente dei carichi, non dovrebbero superare il limite di 1/500 della luce.

Le caratteristiche statiche della sezione omogeneizzata al calcestruzzo e della sezione parzializzata relativamente alla singola nervatura vengono calcolate col programma VcaSLU.

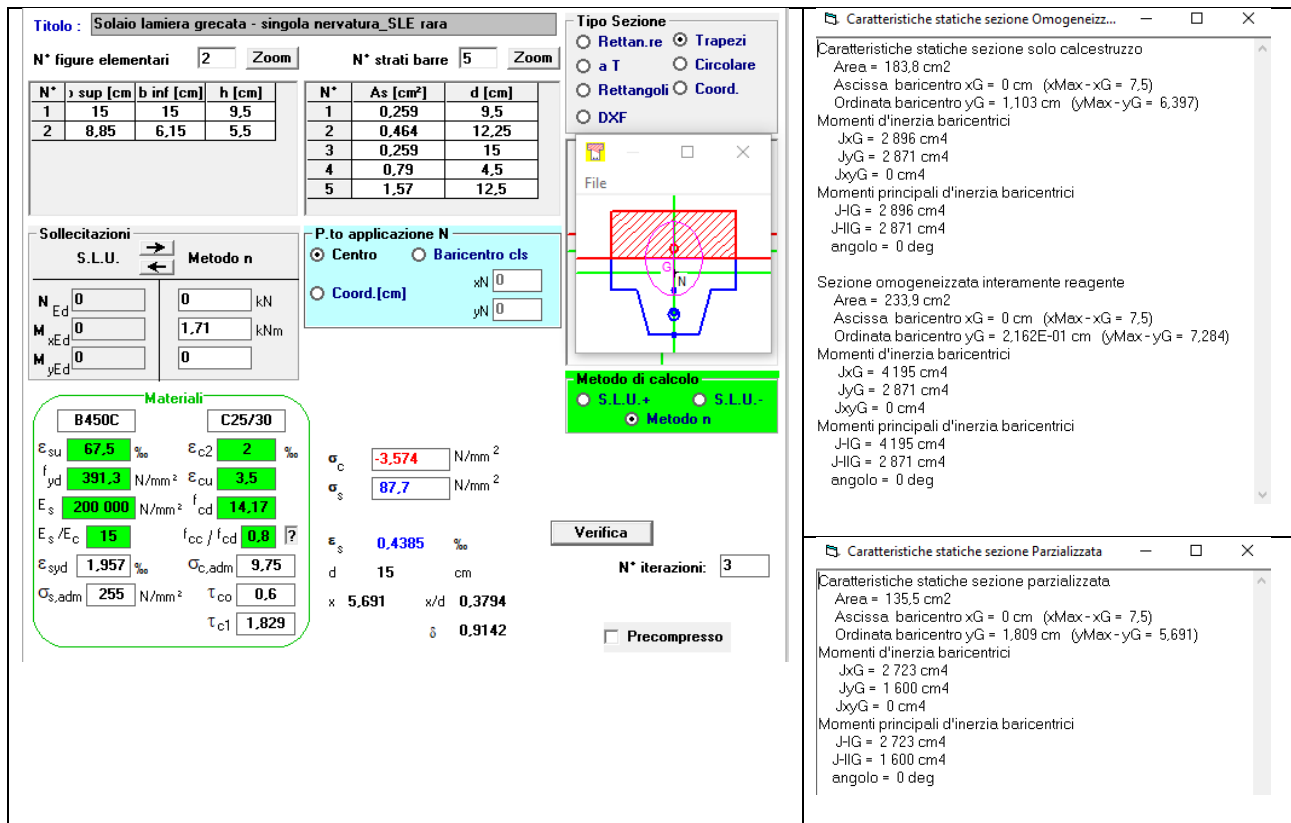
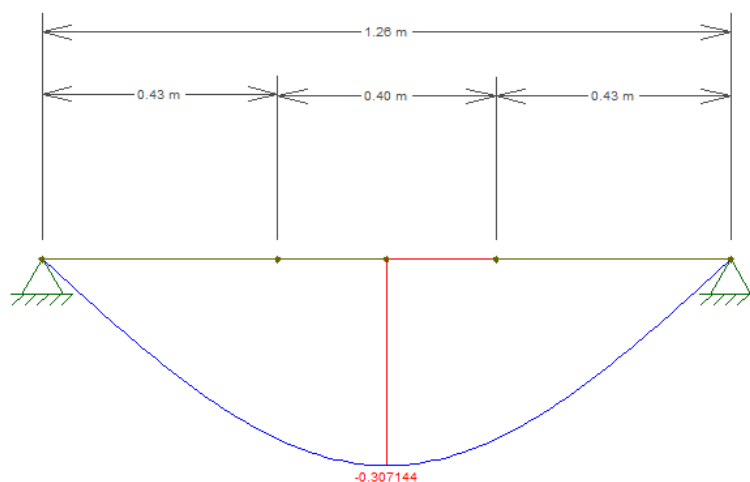


Figura 111: Caratteristiche singola nervatura (15cm)

La freccia viene calcolata con il momento d'inerzia per unità di larghezza della soletta:

$$I = (2896 + 2723)/2 \times 100/15 = 18730 \text{ cm}^4$$

In combinazione rara l'inflessione massima risulta 0,30 mm:



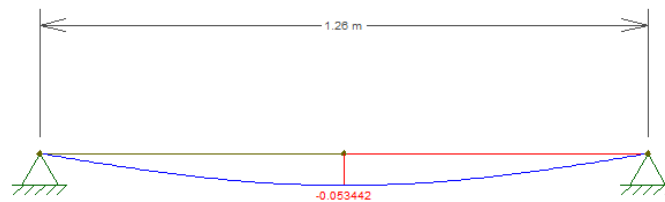


Figura 112: Inflessione dovuta alla combinazione SLE rara (carico tandem in alto, carico da folla in basso).

$$\delta_{max} = 0,53 \text{ mm} < \frac{L}{500} = \frac{1260}{500} = 2,52 \text{ mm}$$

La verifica è ampiamente soddisfatta.

19.2.2.4 Verifica SLE a fessurazione

I criteri di scelta dello stato limite di fessurazione sono riportati nella tabella seguente.

Tabella 32: Criteri di scelta dello stato limite di fessurazione

Gruppi di Esigenze	Condizioni ambientali	Combinazione di azioni	Armatura			
			Sensibile		Poco sensibile	
			Stato limite	w_k	Stato limite	w_k
A	Ordinarie	frequente	apertura fessure	$\leq w_2$	apertura fessure	$\leq w_3$
		quasi permanente	apertura fessure	$\leq w_1$	apertura fessure	$\leq w_2$
B	Aggressive	frequente	apertura fessure	$\leq w_1$	apertura fessure	$\leq w_2$
		quasi permanente	decompressione	-	apertura fessure	$\leq w_1$
C	Molto aggressive	frequente	formazione fessure	-	apertura fessure	$\leq w_1$
		quasi permanente	decompressione	-	apertura fessure	$\leq w_1$

In questo caso si considerano condizioni ambientali ordinarie e armature poco sensibili; si ottiene quindi che l'apertura delle fessure deve essere minore o uguale a w_3 per la combinazione frequente e minore o uguale a w_2 per la combinazione quasi permanente, con $w_2 = 0,3 \text{ mm}$ e $w_3 = 0,4 \text{ mm}$.

Come indicato al paragrafo §4.1.2.2.4.5 delle NTC, la verifica dell'ampiezza di fessurazione può anche essere condotta senza calcolo diretto, limitando la tensione di trazione nell'armatura, valutata nella sezione parzializzata per la combinazione di carico pertinente, ad un massimo correlato al diametro delle barre ed alla loro spaziatura. La Circolare alle NTC definisce i diametri massimi delle barre e la spaziatura massima delle barre per il controllo di fessurazione.

Per lo SLE in combinazione frequente il momento massimo è 1,32 kNm che corrisponde a $\sigma_s = 68 \text{ MPa}$.

Per lo SLE in combinazione quasi permanente il momento massimo è 0,12 kNm che corrisponde a $\sigma_s = 6,17 \text{ MPa}$.

Tabella 33: Diametri massimi delle barre per il controllo di fessurazione

Tensione nell'acciaio σ_s [MPa]	Diametro massimo ϕ delle barre (mm)		
	$w_3 = 0,4 \text{ mm}$	$w_2 = 0,3 \text{ mm}$	$w_1 = 0,2 \text{ mm}$
160	40	32	25
200	32	25	16
240	20	16	12
280	16	12	8
320	12	10	6
360	10	8	-

Tabella 34: Spaziatura massima delle barre per il controllo di fessurazione

Tensione nell'acciaio σ_s [MPa]	Spaziatura massima s delle barre (mm)		
	$w_3 = 0,4$ mm	$w_2 = 0,3$ mm	$w_1 = 0,2$ mm
160	300	300	200
200	300	250	150
240	250	200	100
280	200	150	50
320	150	100	-
360	100	50	-

Le verifiche risultano soddisfatte.

19.2.2.5 Verifica SLE a tensione

Secondo il §4.1.2.2.5 delle NTC, si devono verificare le massime tensioni nel calcestruzzo e nelle armature dovute alle combinazioni caratteristica e quasi permanente.

$$\sigma_{c,max} \leq 0,60f_{ck} = 15 \text{ MPa} \quad \text{per la combinazione caratteristica}$$

$$\sigma_{c,max} \leq 0,45f_{ck} = 11,25 \text{ MPa} \quad \text{per la combinazione quasi permanente}$$

$$\sigma_{s,max} \leq 0,80f_{yk} = 360 \text{ MPa} \quad \text{per la combinazione caratteristica}$$

A favore di sicurezza, le tensioni limite sono state calcolate con un calcestruzzo C25/30.

Il momento massimo per SLE in combinazione rara risulta 1,71kNm, che corrispondono ad una tensione massima nell'acciaio pari a 87,7MPa e una compressione massima di 3,57MPa.

Il momento massimo per SLE in combinazione quasi permanente risulta 0,12kNm, che corrispondono ad una compressione massima di 0,25MPa.

I limiti risultano essere rispettati.

20 PROGETTO E VERIFICA SISTEMA DI APPOGGIO

20.1 PASSERELLA "2B"

Il sistema di appoggio previsto per la passerella "2B" prevede il seguente schema statico

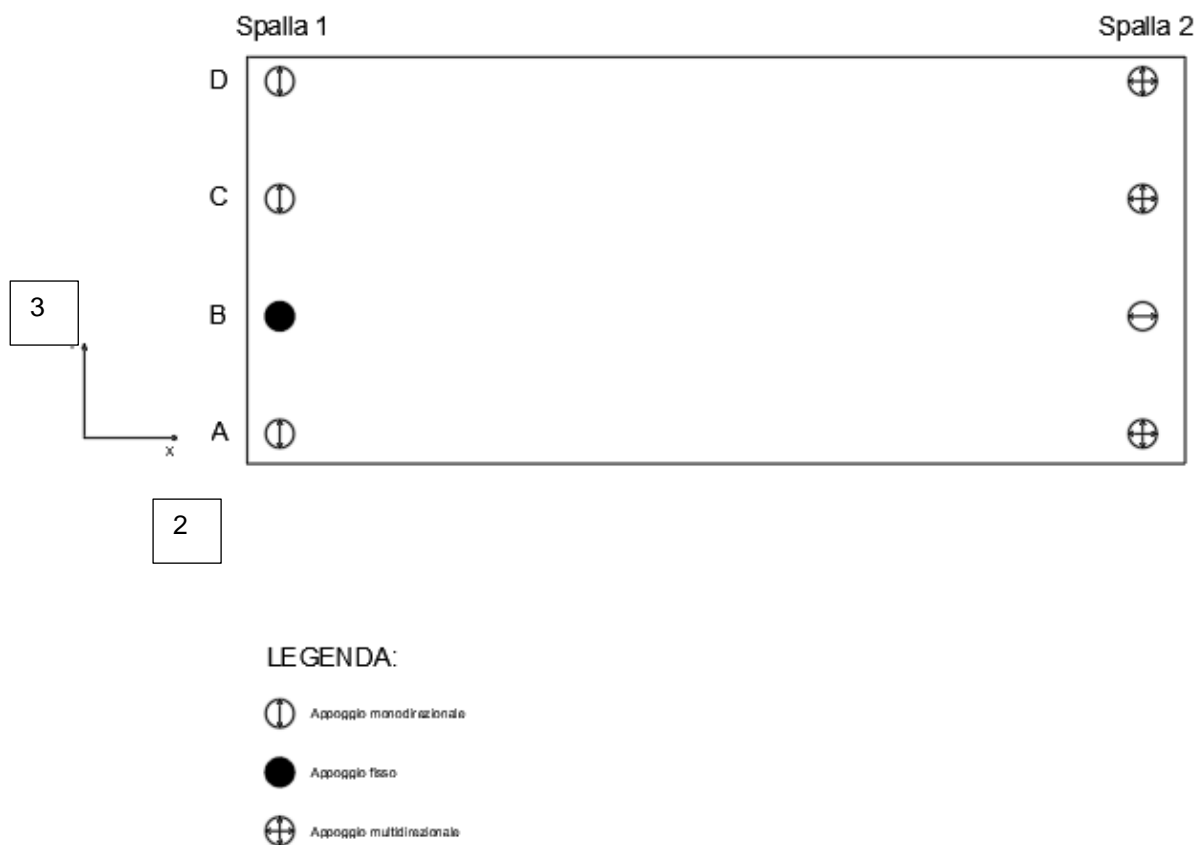


Figura 113 Schema dispositivi di appoggio – Ponte "2B"

Tale schema che risulta essere isostatico in entrambe le direzioni X e Y dell'impalcato (per le resistenze passive dei vincoli presenta lo sviluppo di basse reazioni iperstatiche).

Dall'involuppo delle sollecitazioni SLU-SLV si ottengono le seguenti reazioni vincolari:

Tabella 35: Valori massimi SLU e SLV forze appoggi – Passerella 2B

LinkElem	OutputCase	P	V2	V3
Text	Text	KN	KN	KN
S1A	ENV_SLU	94.142	4.806	0.66
S1B	ENV_SLU	115.077	45.135	1.725
S1C	ENV_SLU	115.077	45.135	0.659
S1D	ENV_SLU	94.142	4.806	1.318
S2A	ENV_SLU	95.23	4.806	0.66
S2B	ENV_SLU	116.276	4.803	1.725
S2C	ENV_SLU	116.276	4.803	0.659

LinkElem	OutputCase	P	V2	V3
Text	Text	KN	KN	KN
S1A	ENV_SLV	23.279	9.533	0.639
S1B	ENV_SLV	34.23	14.515	27.415
S1C	ENV_SLV	34.23	14.515	0.629
S1D	ENV_SLV	23.279	9.533	0.862
S2A	ENV_SLV	23.279	1.695	0.639
S2B	ENV_SLV	34.23	1.756	27.415
S2C	ENV_SLV	34.23	1.756	0.629

S2D	ENV_SLU	95.23	4.806	1.318	S2D	ENV_SLV	23.279	1.695	0.862
-----	---------	-------	-------	-------	-----	---------	--------	-------	-------

Dall'involuppo allo SLU e SLC si ottengono i seguenti spostamenti massimi:

Tabella 36: Valori massimi SLU spostamenti appoggi – Passerella 2B

LinkElem	OutputCase	U1	U2	U3	R3
Text	Text	mm	mm	mm	Radians
S1A	ENV_SLU	0.08286	0.048059	0.6592	0.014579
S1B	ENV_SLU	0.096686	0.451353	0.017218	0.017991
S1C	ENV_SLU	0.098471	0.451353	0.658779	0.018066
S1D	ENV_SLU	0.08286	0.048059	1.318265	0.014579
S2A	ENV_SLU	0.084164	4.805906	0.659199	0.014586
S2B	ENV_SLU	0.097983	4.803046	0.017218	0.018035
S2C	ENV_SLU	0.099826	4.803046	0.658779	0.018044
S2D	ENV_SLU	0.084164	4.805906	1.318267	0.014586

Tabella 37: Valori massimi SLC spostamenti appoggi – Passerella 2B

LinkElem	OutputCase	U1	U2	U3	R3
Text	Text	mm	mm	mm	Radians
S1A	ENV_SLC	0.021669	0.12034	0.7689	0.004229
S1B	ENV_SLC	0.031733	0.18564	0.358907	0.006148
S1C	ENV_SLC	0.031733	0.18564	0.760547	0.006148
S1D	ENV_SLC	0.021669	0.12034	0.997152	0.004229
S2A	ENV_SLC	0.02167	1.724085	0.768853	0.004229
S2B	ENV_SLC	0.031733	1.804622	0.35891	0.006146
S2C	ENV_SLC	0.031733	1.804622	0.76051	0.006146
S2D	ENV_SLC	0.02167	1.724085	0.997108	0.004229

I valori massimi ottenuti dalla modellazione numerica sono pari a:

$$N_{\max} = 115 \text{ kN}$$

$$V_{\max} = 46 \text{ kN}$$

$$U_{2\max} = 4,80 \text{ mm};$$

$$U_{3\max} = 1,30 \text{ mm};$$

$$R_3 = 0,009 \text{ rad}^*$$

*Utilizzando il modello numerico con presenza di soletta collaborante descritto al capitolo 18 i valori di rotazione allo SLU si riducono ai seguenti:

LinkElem	OutputCase	U1	U2	U3	R3
Text	Text	mm	mm	mm	Radians
S1A	ENV_SLU	0.093628	0.440643	0.793452	0.008596
S1B	ENV_SLU	0.101576	0.252798	0.10726	0.006874
S1C	ENV_SLU	0.099635	0.25048	0.798252	0.006826
S1D	ENV_SLU	0.093369	0.435495	1.508849	0.008592
S2A	ENV_SLU	0.093571	3.85123	0.81368	0.008823
S2B	ENV_SLU	0.101553	3.892259	0.106055	0.006932
S2C	ENV_SLU	0.100212	3.893469	0.795351	0.006905
S2D	ENV_SLU	0.09351	3.854347	1.517358	0.00887

Per il dimensionamento dei vincoli fissi o monodirezionali trasversali (spalla 1) si controlla che il taglio totale massimo (SLU o SLV) diviso per il numero di appoggi (4) non risulti superiore al massimo valore sul singolo appoggio ottenuto dall'analisi:

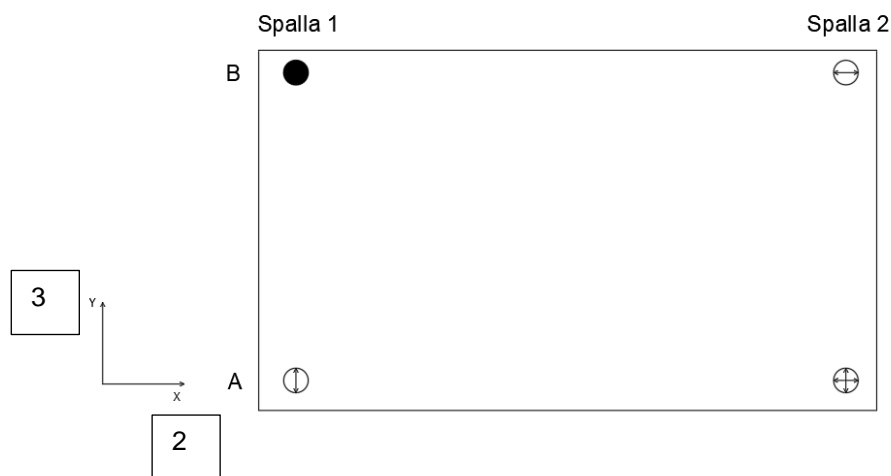
$$V_{\max, \text{SLU}} = 45 \times 2 + 5 \times 6 = 120/4 = 30 \text{ kN};$$

$$V_{\max, \text{SLV}} = 10 \times 2 + 15 \times 2 + 2 \times 4 = 58/4 = 15 \text{ kN};$$

Il massimo valore è quello ottenuto dall'analisi pari a $V_{\max} = 46 \text{ kN}$

20.2 PASSERELLA "1C E 1D"

Il sistema di appoggio previsto per le passerelle "1C" e "1D" prevede il seguente schema statico:



LEGENDA:

- Appoggio monodirezionale
- Appoggio fisso
- Appoggio multidirezionale

Tale schema che risulta essere isostatico in entrambe le direzioni X e Y dell'impalcato.

Dall'involuppo delle sollecitazioni SLU-SLV si ottengono le seguenti reazioni vincolari:

Tabella 38: Valori massimi SLU e SLV forze appoggi – Passerella 1C e 1D

LinkEle m	OutputCa se	P	V2	V3
Text	Text	KN	KN	KN
S1A	ENV_SLU	153.158	44.599	2.454
S1B	ENV_SLU	153.158	44.599	3.584
S2A	ENV_SLU	153.158	4.489	2.454
S2B	ENV_SLU	153.158	4.489	3.584

LinkEle m	OutputCa se	P	V2	V3
Text	Text	KN	KN	KN
S1A	ENV_SLV	60.723	48.579	2.624
S1B	ENV_SLV	60.723	48.579	56.129
S2A	ENV_SLV	60.723	2.794	2.624
S2B	ENV_SLV	60.723	2.794	56.129

Dall'inviluppo allo SLU e SLC si ottengono i seguenti spostamenti massimi:

Tabella 39: Valori massimi SLU spostamenti appoggi – Passerella 1C e 1D

LinkElem	OutputCase	U1	U2	U3	R3
Text	Text	mm	mm	mm	Radians
S1A	ENV_SLU	0.092485	0.891977	1.887506	0.012108
S1B	ENV_SLU	0.092485	0.891977	0.071674	0.012108
S2A	ENV_SLU	0.092485	3.453077	1.887506	0.012179
S2B	ENV_SLU	0.092485	3.453077	0.071674	0.012179

Tabella 40: Valori massimi SLC spostamenti appoggi – Passerella 1C e 1D

LinkElem	OutputCase	U1	U2	U3	R3
Text	Text	mm	mm	mm	Radians
S1A	ENV_SLC	0.039176	0.971576	2.018662	0.006114
S1B	ENV_SLC	0.039176	0.971576	1.122589	0.006114
S2A	ENV_SLC	0.039176	2.14912	2.018661	0.006114
S2B	ENV_SLC	0.039176	2.149121	1.122589	0.006114

NB: I valori delle forze e degli spostamenti sismici indicati in tabella sono sostanzialmente identici fra le 2 passerelle (1C e D).

I valori massimi ottenuti dalla modellazione numerica sono pari a:

$$N_{\max} = 155 \text{ kN}$$

$$V_{\max} = 75 \text{ kN (somma vettoriale)}$$

$$U_{2\max} = 3,45 \text{ mm};$$

$$U_{3\max} = 1,89 \text{ mm};$$

$$R_3 = 0,011 \text{ rad}^*$$

*Utilizzando il modello numerico con presenza di soletta collaborante descritto al capitolo 18 i valori di rotazione allo SLU si riducono ai seguenti:

LinkElem	OutputCase	U1	U2	U3	R3
Text	Text	mm	mm	mm	Radians
S1A	ENV_SLU	0.094961	0.90598	0.322919	0.011056
S1B	ENV_SLU	0.094961	0.912075	0.042209	0.011056
S2A	ENV_SLU	0.094961	2.418176	0.323205	0.011126
S2B	ENV_SLU	0.094961	2.425887	0.041796	0.011126

Per il dimensionamento dei vincoli fissi o monodirezionali trasversali (spalla 1) si controlla che il taglio totale massimo (SLU o SLV) diviso per il numero di appoggi (2) non risulti superiore al massimo valore sul singolo appoggio ottenuto dall'analisi:

$$V_{\max, \text{SLU}} = 45 \times 2 + 5 \times 2 = 100/2 = 50 \text{ kN};$$

$$V_{\max, \text{SLVx}} = 50 \times 2 + 5 \times 2 = 110/2 = 55 \text{ kN};$$

$$V_{\max, \text{SLVy}} = 5 \times 2 + 60 \times 2 = 130/2 = 65 \text{ kN};$$

$$V_{\max, \text{SLV}} = \text{rad}(55^2 + 65^2) = 85 \text{ kN};$$

Il massimo ottenuto dall'analisi (somma vettoriale SLV) è pari a $V_{\max} = 75 \text{ kN}$

Il valore dimensionante è pari quindi a 85 kN.

21 VERIFICHE DI RESISTENZA (SLU) CONNESSIONI

21.1 PASSERELLA "2B"

21.1.1 CONNESSIONE 1 – TRAVE PRINCIPALE E SECONDARIA

La connessione in esame è rappresentata in Figura 122.

La trave secondaria HEB160 presenta all'estremità il piatto 3 (280x180x10mm), saldato di testa a cordone d'angolo. La trave principale invece presenta saldati alle flange e all'anima Piatto 1 (244x135x10mm) e Piatto 2 (280x180x10mm), saldati con cordoni d'angolo fra loro a formazione di una T.

La connessione tra gli elementi avviene attraverso 4 bulloni M16 classe 8.8.

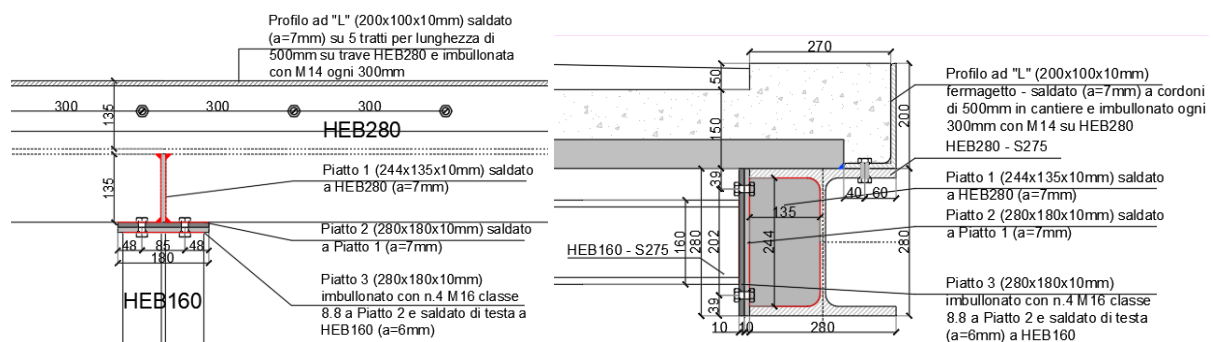


Figura 114: Dettaglio connessione 1 – Passerella 2B

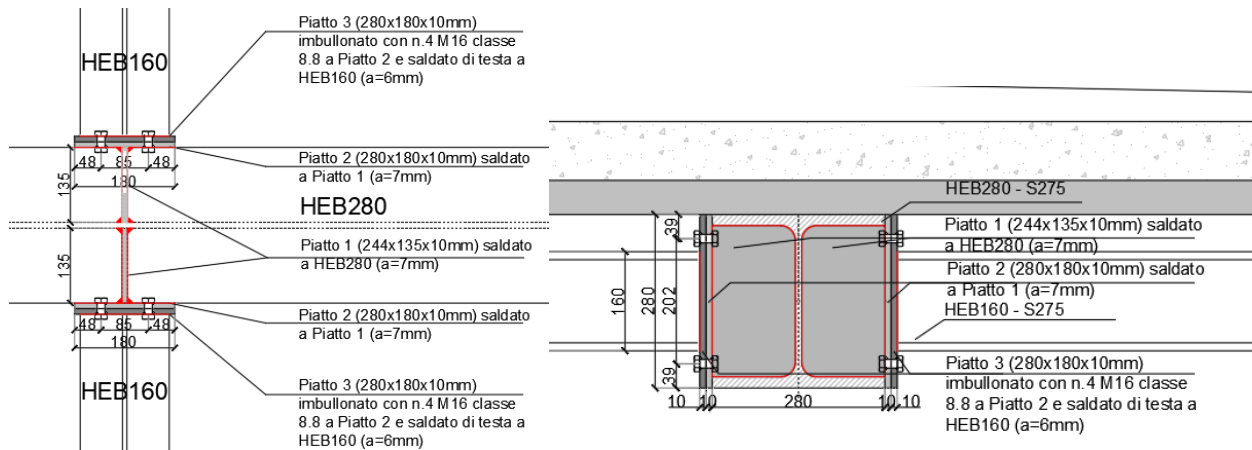


Figura 115: Dettaglio connessione 2 – Passerella 2B

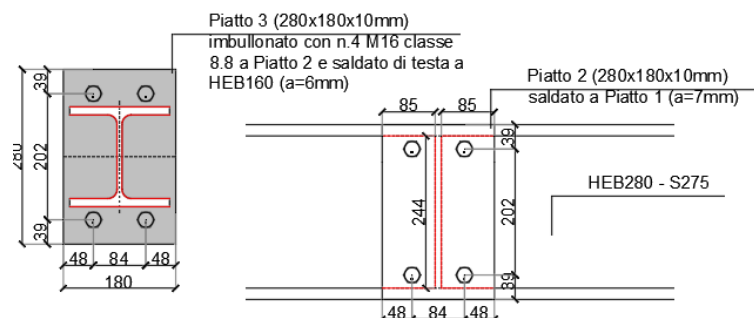


Figura 116: Dettagli connessioni – Passerella 2B

21.1.1.1 Verifica a taglio – trazione gambo dei bulloni

Si verificano a taglio trazione i bulloni costituenti la connessione 1 dell'impalcato.

Il massimo valore delle sollecitazioni dall'involuppo delle combinazioni al SLU e SLV è pari a:

$$V_{Ed} = 60 \text{ kN}$$

$$M_{Ed} = 30 \text{ kNm}$$

Il valore di taglio agente sul singolo bullone è quindi pari a $V_{Ed,i} = 15 \text{ kN}$.

Il valore di trazione sul singolo bullone teso è pari a: $T_{Ed,i} = M_{Ed}/b = 30/(0,202 \times 2) = 75 \text{ kN}$

Figura 117: Verifica a taglio trazione bulloni – Passerella 1C e 1D

La verifica risulta essere SODDISFATTA.

21.1.1.2 Verifica a rifollamento piastre

Si verificano a rifollamento le piastre oggetto dell'unione, considerando il caso di piastra 3

Il massimo valore delle sollecitazioni dall'involuppo delle combinazioni al SLU e SLV è pari a:

$$V_{Ed} = 60 \text{ kN}$$

Il valore di taglio agente sul singolo bullone è quindi pari a $V_{Ed,i} = 60/4 = 15 \text{ kN}$.

Figura 118: Verifica a rifollamento piastra – Passerella 1C e 1D

La resistenza a rifollamento della piastra è pari a: $F_{b,Rd} = 105,20 \text{ kN}$

La verifica risulta essere SODDISFATTA.

21.1.1.3 Verifica tensionale piastre

Si verificano le massime tensioni presenti nelle piastre oggetto dell'unione.

Il massimo valore delle sollecitazioni dall'involuppo delle combinazioni al SLU e SLV è pari a:

$$V_{Ed} = 60 \text{ kN}$$

$$M_{Ed} = 30 \text{ kNm}$$

La massima tensione tangenziale è pari a: $\tau = V_{Ed}/A = (60/(0,01 \times 0,18))/1000 = 33,33 \text{ MPa}$;

La massima tensione normale è pari a: $\sigma = T_{Ed,i}/(3,14 \times d_0) = (75/(3,14 \times 0,017 \times 0,01))/1000 = 141 \text{ MPa}$;

La tensione di Von Mises risulta essere: $\sigma_{VM} = \sqrt{\sigma^2 + 3\tau^2} = \sqrt{141^2 + 3 \cdot 33,33^2} = 152 \text{ MPa}$

La tensione resistente di progetto della piastra è pari a: $F_{Rd} = f_{yk}/\gamma_{M0} = 275/1,05 = 261,90 \text{ MPa}$

La verifica risulta essere SODDISFATTA.

21.1.1.4 Verifica dei cordoni di saldatura – Piatto 3

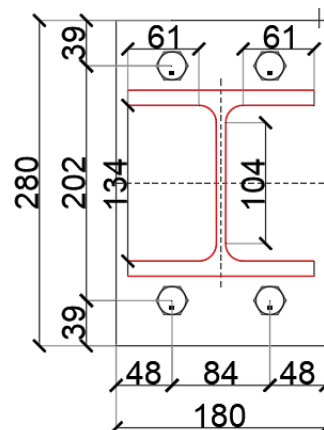


Figura 119: Dettagli piatto 3

Si verificano le massime tensioni presenti nei cordoni oggetto dell'unione.

Il massimo valore delle sollecitazioni dall'involuppo delle combinazioni al SLU e SLV è pari a:

$$V_{Ed} = 60 \text{ kN}$$

$$M_{Ed} = 30 \text{ kNm}$$

Si assume che i 2 cordoni paralleli all'anima del profilo sono sollecitati all'azione di taglio.

L'altezza di gola dei due cordoni d'anima è pari a 6 mm.

La forza per unità di lunghezza agente sui cordoni è pari a: $F_{W,Ed} = V_{Ed}/(2 \times L) = (60/(2 \times 0,104)) = 289 \text{ kN/m}$;

La resistenza del cordone per unità di lunghezza può essere calcolata in maniera semplificata (in accordo al 4.2.8.2.4 di [1]) come: $F_{W,Rd} = \frac{a \cdot f_{tk}}{\sqrt{3} \cdot \beta \cdot \gamma_{M2}} = \frac{6 \cdot 430}{\sqrt{3} \cdot 0,85 \cdot 1,25} = 1401,94 \frac{\text{kN}}{\text{m}}$,

da cui si ottiene: $F_{W,Ed} < F_{W,Rd}$

La verifica risulta essere SODDISFATTA.

21.1.1.5 Verifica dei cordoni di saldatura – Piatto 2

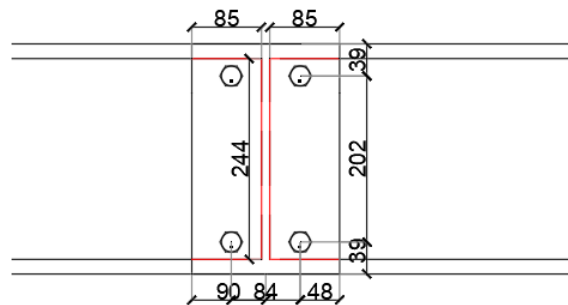


Figura 120: Dettagli piatto 2

Si verificano le massime tensioni presenti nei cordoni oggetto dell'unione.

Il massimo valore delle sollecitazioni dall'involuppo delle combinazioni al SLU e SLV è pari a:

$$V_{Ed} = 60 \text{ kN}$$

$$M_{Ed} = 30 \text{ kNm}$$

Si assume che i 2 cordoni paralleli all'anima del profilo sono sollecitati all'azione di taglio.

L'altezza di gola dei due cordoni d'anima è pari a 7 mm.

La forza per unità di lunghezza agente sui cordoni è pari a: $F_{W,Ed} = V_{Ed} / (2 \times L) = (60 / (2 \times 0,244)) = 122,95 \text{ kN/m}$;

La resistenza del cordone per unità di lunghezza può essere calcolata in maniera semplificata (in accordo al 4.2.8.2.4 di [1]) come: $F_{W,Rd} = \frac{\alpha \cdot f_{tk}}{\sqrt{3} \cdot \beta \cdot \gamma_{M2}} = \frac{7 \cdot 430}{\sqrt{3} \cdot 0,85 \cdot 1,25} = 1635,60 \frac{\text{kN}}{\text{m}}$,

da cui si ottiene: $F_{W,Ed} < F_{W,Rd}$

La verifica risulta essere SODDISFATTA.

Si assume che i 2 cordoni paralleli alle flange, superiormente ed inferiormente, del profilo sono sollecitati all'azione flessionale.

L'altezza di gola dei due cordoni sulle piattabande è pari a 7mm.

La forza per unità di lunghezza agente sui cordoni è pari a: $F_{W,Ed} = M_{Ed} / b = (30 / (0,244)) = 123 \text{ kN}$;

La tensione normale agente sulla sezione di gola ribaltata è pari a: $\sigma = (123 \times 1000) / (85 \times 2 \times 9,90) = 73,08$ MPa

Il valore limite di tensione normale imposto da [1] è pari a: $\beta_1 \cdot f_{yk} = 0,7 \times 275 = 192,50$ MPa

$\sigma = 73,08 \text{ MPa} < 192,50 \text{ MPa}$

La verifica risulta essere SODDISFATTA.

21.1.1.6 Verifica dei cordoni di saldatura – Piatto 1

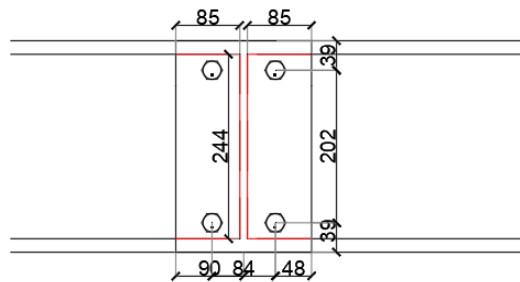


Figura 121: Dettagli piatto 2 e 1

Si verificano le massime tensioni presenti nei cordoni oggetto dell'unione.

Il massimo valore delle sollecitazioni dall'involuppo delle combinazioni al SLU e SLV è pari a:

$$V_{Ed} = 100,5 \text{ kN}$$

Si assume che i 2 cordoni paralleli all'anima del profilo sono sollecitati all'azione di taglio.

L'altezza di gola dei due cordoni d'anima è pari a 7mm.

La forza per unità di lunghezza agente sui cordoni è pari a: $F_{W,Ed} = V_{Ed} / (2 \times L) = (100,5 / (2 \times 0,244)) = 205,33 \text{ kN/m}$;

La resistenza del cordone per unità di lunghezza può essere calcolata in maniera semplificata (in accordo al 4.2.8.2.4 di [1]) come: $F_{W,Rd} = \frac{\alpha \cdot f_{tk}}{\sqrt{3} \cdot \beta \cdot \gamma_{M2}} = \frac{7 \cdot 430}{\sqrt{3} \cdot 0,85 \cdot 1,25} = 1635,60 \frac{\text{kN}}{\text{m}}$,

da cui si ottiene: $F_{W,Ed} < F_{W,Rd}$

La verifica risulta essere SODDISFATTA.

21.2.1.1 Verifica a taglio – trazione gambo dei bulloni

Si verificano a taglio trazione i bulloni costituenti la connessione 1 dell'impalcato.

Il massimo valore delle sollecitazioni dall'involuppo delle combinazioni al SLU e SLV è pari a:

$$V_{Ed} = 100,5 \text{ kN}$$

$$M_{Ed} = 13,20 \text{ kNm}$$

Il valore di taglio agente sul singolo bullone è quindi pari a $V_{Ed,i} = 25 \text{ kN}$.

Il valore di trazione sul singolo bullone teso è pari a: $T_{Ed,i} = M_{Ed}/b = 13,20/(0,142 \times 2) = 46,48 \text{ kN}$

Figura 123: Verifica a taglio trazione bulloni – Passerella 1C e 1D

La verifica risulta essere SODDISFATTA.

21.2.1.2 Verifica a rifollamento piastre

Si verificano a rifollamento le piastre oggetto dell'unione, considerando il caso di piastra 3

Il massimo valore delle sollecitazioni dall'involuppo delle combinazioni al SLU e SLV è pari a:

$$V_{Ed} = 100,5 \text{ kN}$$

Il valore di taglio agente sul singolo bullone è quindi pari a $V_{Ed,i} = 100/4 = 25 \text{ kN}$.

Figura 124: Verifica a rifollamento piastra – Passerella 1C e 1D

La resistenza a rifollamento della piastra è pari a: $F_{b,Rd} = 94,43 \text{ kN}$

La verifica risulta essere SODDISFATTA.

21.2.1.3 Verifica tensionale piastre

Si verificano le massime tensioni presenti nelle piastre oggetto dell'unione.

Il massimo valore delle sollecitazioni dall'involuppo delle combinazioni al SLU e SLV è pari a:

$$V_{Ed} = 100,5 \text{ kN}$$

$$M_{Ed} = 13,20 \text{ kNm}$$

La massima tensione tangenziale è pari a: $\tau = V_{Ed}/A = (100/(0,01 \times 0,18))/1000 = 55,55 \text{ MPa}$;

La massima tensione normale è pari a: $\sigma = T_{Ed,i}/(3,14 \times d_0) = (46,48/(3,14 \times 0,017 \times 0,01))/1000 = 87,07 \text{ MPa}$;

La tensione di Von Mises risulta essere: $\sigma_{VM} = \sqrt{\sigma^2 + 3\tau^2} = \sqrt{87^2 + 3 \cdot 55,55^2} = 129,65 \text{ MPa}$

La tensione resistente di progetto della piastra è pari a: $F_{Rd} = f_{yk}/\gamma_{M0} = 275/1,05 = 261,90 \text{ MPa}$

La verifica risulta essere SODDISFATTA.

21.2.1.4 Verifica dei cordoni di saldatura – Piatto 3

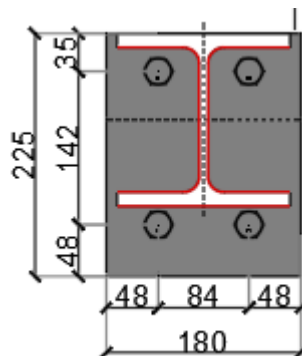


Figura 125: Dettagli piatto 3

Si verificano le massime tensioni presenti nei cordoni oggetto dell'unione.

Il massimo valore delle sollecitazioni dall'involuppo delle combinazioni al SLU e SLV è pari a:

$$V_{Ed} = 100,5 \text{ kN}$$

$$M_{Ed} = 13,20 \text{ kNm}$$

Si assume che i 2 cordoni paralleli all'anima del profilo sono sollecitati all'azione di taglio.

L'altezza di gola dei due cordoni d'anima è pari a 6 mm.

La forza per unità di lunghezza agente sui cordoni è pari a: $F_{W,Ed} = V_{Ed}/(2 \times L) = (100/(2 \times 0,104)) = 481 \text{ kN/m}$;

La resistenza del cordone per unità di lunghezza può essere calcolata in maniera semplificata (in accordo al 4.2.8.2.4 di [1]) come: $F_{W,Rd} = \frac{a \cdot f_{tk}}{\sqrt{3} \cdot \beta \cdot \gamma_{M2}} = \frac{6 \cdot 430}{\sqrt{3} \cdot 0,85 \cdot 1,25} = 1401,94 \frac{\text{kN}}{\text{m}}$,

da cui si ottiene: $F_{W,Ed} < F_{W,Rd}$

La verifica risulta essere SODDISFATTA.

Si assume che i 2 cordoni paralleli alle flange, superiormente ed inferiormente, del profilo sono sollecitati all'azione flessionale.

L'altezza di gola dei due cordoni sulle piattabande è pari a 6 mm.

La forza per unità di lunghezza agente sui cordoni è pari a: $F_{W,Ed} = M_{Ed}/b = (13,20/(0,134)) = 98,50 \text{ kN}$;

La tensione normale agente sulla sezione di gola ribaltata è pari a:
 $\sigma = (98,50 \times 1000)/(60 \times 2 \times 8,48) = 96,80 \text{ MPa}$

Il valore limite di tensione normale imposto da [1] è pari a: $\beta_1 \times f_{yk} = 0,7 \times 275 = 192,50 \text{ MPa}$

$\sigma = 96,80 \text{ MPa} < 192,50 \text{ MPa}$

La verifica risulta essere SODDISFATTA.

21.2.1.5 Verifica dei cordoni di saldatura – Piatto 2

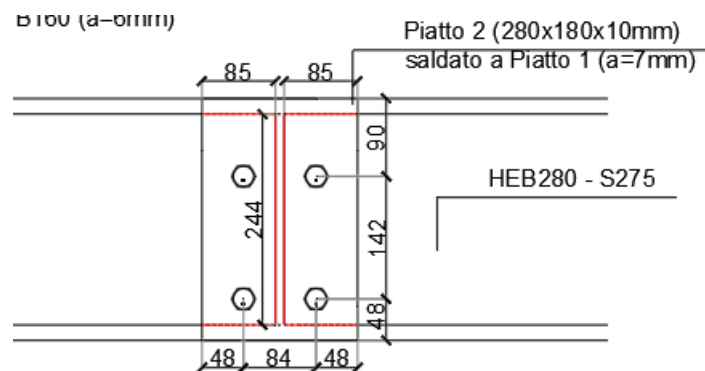


Figura 126: Dettagli piatto 2

Si verificano le massime tensioni presenti nei cordoni oggetto dell'unione.

Il massimo valore delle sollecitazioni dall'involuppo delle combinazioni al SLU e SLV è pari a:

$$V_{Ed} = 100,5 \text{ kN}$$

$$M_{Ed} = 13,20 \text{ kNm}$$

Si assume che i 2 cordoni paralleli all'anima del profilo sono sollecitati all'azione di taglio.

L'altezza di gola dei due cordoni d'anima è pari a 7 mm.

La forza per unità di lunghezza agente sui cordoni è pari a: $F_{W,Ed} = V_{Ed}/(2 \times L) = (100/(2 \times 0,244)) = 205 \text{ kN/m}$;

La resistenza del cordone per unità di lunghezza può essere calcolata in maniera semplificata (in accordo al 4.2.8.2.4 di [1]) come: $F_{W,Rd} = \frac{\alpha \cdot f_{tk}}{\sqrt{3} \cdot \beta \cdot \gamma_{M2}} = \frac{7 \cdot 430}{\sqrt{3} \cdot 0,85 \cdot 1,25} = 1635,60 \frac{\text{kN}}{\text{m}}$,

da cui si ottiene: $F_{W,Ed} < F_{W,Rd}$

22 VERIFICHE PARAPETTO

22.1.1.1 Dettagli parapetti in acciaio

Si prevede l'installazione di due nuovi parapetti in acciaio S235J2 con verniciatura effetto Corten per la lunghezza complessiva di 6,56 m (cad. uno) per le opere "1C" e "1D" e di 9,16m per l'opera "2B". La struttura principale è formata da montanti in profili scatolari rettangolari 100x60x3 mm con interasse fra loro di 1,30 m, ancorati tramite piastra di base 200x200x10mm e tirafondi M14 classe 8.8 (con 1cm di malta di levamento Emaco o similare) per la profondità di 80 mm nel cordolo della soletta.

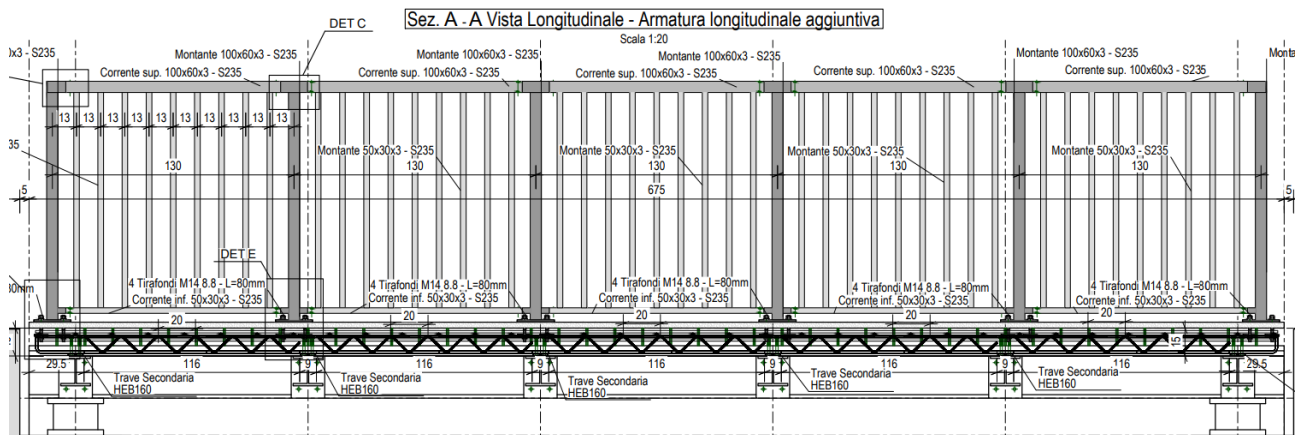


Figura 128: parapietti opere "1C" e "1D"

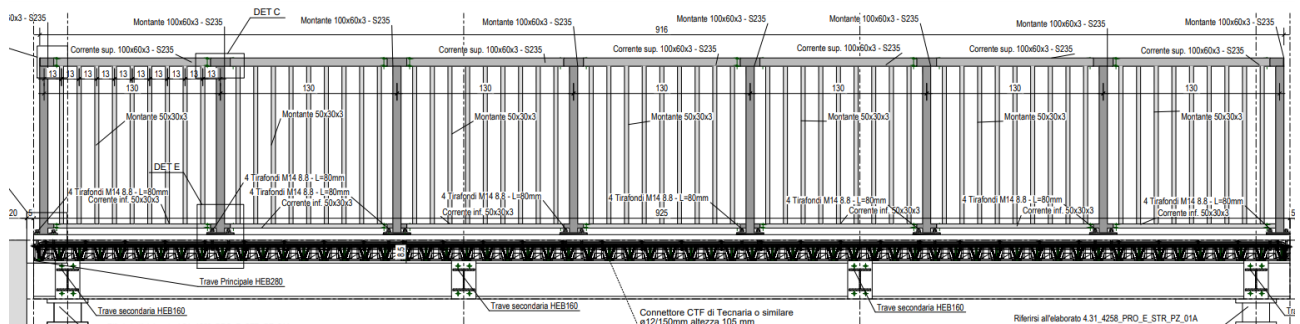


Figura 129: parapietti opere "2B"

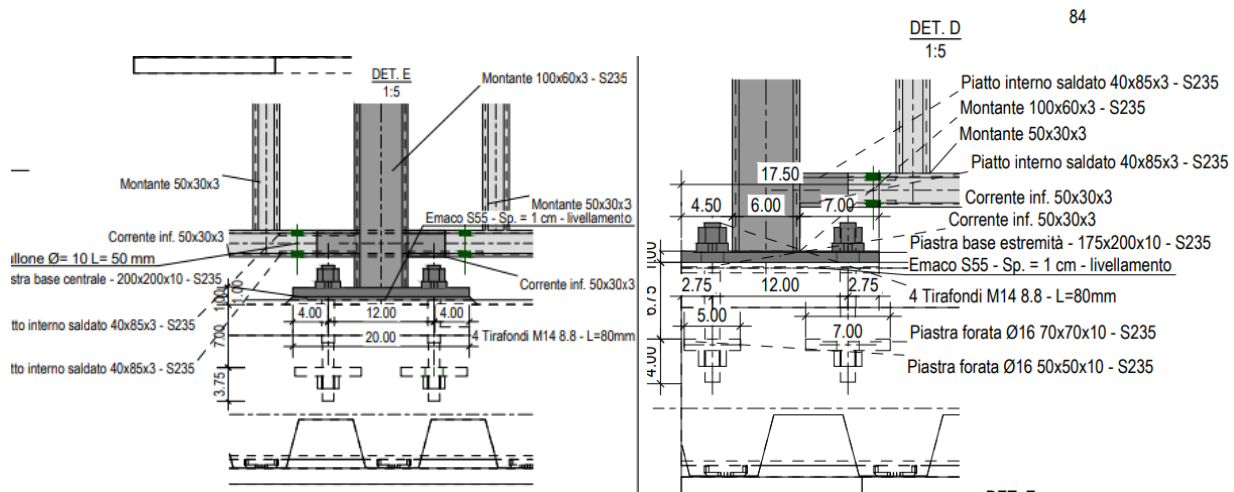


Figura 130: Dettaglio installazione parapetto con tirafondi e piastra di base – a sx caso base per tutte le opere – a dx caso di estremità per opera "2B"

22.1.1.2 Verifiche strutturali

Si verificano i parapetti con un'azione variabile di spinta pari a 2 kN/m applicati al corrimano (corrente superiore).

22.1.1.2.1 VERIFICHE DI RESISTENZA PROFILI

Montanti

La forza trasmessa dal corrente superiore al singolo montante è pari a:

$$F = 2 \text{ kN/m} \times 1,30 \text{ m} = 2,60 \text{ kN}$$

che allo SLU è pari a:

$$F_{Ed, SLU} = 2,60 \text{ kN} \times 1,50 = 3,90 \text{ kN}$$

Il momento alla base del montante è quindi pari a:

$$M_{Ed, SLU} = 3,90 \text{ kN} \times 1,30 \text{ m} = 5,07 \text{ kNm}$$

Verifica a taglio:

$$A_V = \frac{A \cdot h}{b+h} = \frac{718 \cdot 100}{100+60} = 448,75 \text{ mm}^2;$$

$$V_{Rd} = \frac{f_{yk}}{\gamma_{Mo}} \cdot \frac{1}{\sqrt{3}} \cdot A_V = \frac{235}{1,05} \cdot \frac{1}{\sqrt{3}} \cdot 448,75 = 57,99 \gg V_{Ed} = 3,90 \text{ kN};$$

Verifica a momento:

$$M_{Rd} = \frac{f_{yk}}{\gamma_{Mo}} \cdot W_{El} = \frac{235}{1,05} \cdot 24700 = 5,52 \text{ kNm} \gg M_{Ed} = 5,07 \text{ kN};$$

Corrente superiore

La forza di taglio sul singolo corrente superiore considerandolo vincolato in appoggio-appoggio fra due montanti con interasse 1,30 m è pari a:

$$q = 2 \text{ kN/m}$$

che allo SLU è pari a:

$$q_{Ed, SLU} = 2,00 \text{ kN/m} \times 1,50 = 3,00 \text{ kN/m}$$

Il taglio agente è pari a:

$$V_{Ed, SLU} = 3,00 \text{ kN} \times 1,30/2 \text{ m} = 1,95 \text{ kN}$$

Il momento massimo è quindi pari a:

$$M_{Ed, SLU} = 3,00 \text{ kN} \times 1,30^2/8 \text{ m} = 0,64 \text{ kNm}$$

Verifica a taglio:

$$A_V = \frac{A \cdot h}{b+h} = \frac{718 \cdot 100}{100+60} = 448,75 \text{ mm}^2;$$

$$V_{Rd} = \frac{f_{yk}}{\gamma_{Mo}} \cdot \frac{1}{\sqrt{3}} \cdot A_V = \frac{235}{1,05} \cdot \frac{1}{\sqrt{3}} \cdot 448,75 = 57,99 \gg V_{Ed} = 3,90 \text{ kN};$$

Verifica a momento:

$$M_{Rd} = \frac{f_{yk}}{\gamma_{M0}} \cdot W_{El} = \frac{235}{1,05} \cdot 24700 = 5,52 \text{ kNm} \gg M_{Ed} = 0,65 \text{ kN}$$

22.1.1.2.2 VERIFICHE DEI TIRAFONDI

Si riportano in seguito alcuni screen di verifica per i tirafondi in oggetto.

Attraverso il programma VCA-slu nella sezione "solo barre" si determina lo stato tensionale agente sui tirafondi considerando:

$$N_{Ed,SLU} = 0,466 \text{ kN/m} \cdot 1,30\text{m} \cdot 1,3 = 0,61 \text{ kN} \cdot 1,3 = 0,79 \text{ kN}$$

$$M_{Ed,SLU} = 5,07 \text{ kNm}$$

TITOLO :

N* barre 4 **Zoom**

N*	As [mm²]	x [mm]	y [mm]
1	154	60	60
2	154	-60	60
3	154	-60	-60
4	154	60	-60

Sollecitazioni
 S.L.U. **Metodo n**

N Ed 0 0 kN
M xEd 0 5,1 kNm
M yEd 0 0

P.to applicazione N
☒ Centro ☐ Baricentro cls
☐ Coord.[mm] xN 0 yN 0

Materiali
B450C **C25/30**

ϵ_{su} 67,5 ‰ ϵ_{c2} 2 ‰
 f_{yd} 391,3 N/mm² ϵ_{cu} 3,5 ‰
 E_s 200 000 N/mm² f_{cd} 14,17 N/mm²
 E_s/E_c 15 f_{cc}/f_{cd} 0,8
 ϵ_{syd} 1,957 ‰ $\sigma_{c,adm}$ 9,75 N/mm²
 $\sigma_{s,adm}$ 255 N/mm² τ_{co} 0,6
 τ_{c1} 1,829

Metodo di calcolo
☒ Metodo n

σ_{sMax} 138 N/mm²
 σ_{sMin} -138 N/mm²
 ϵ_s 0,6899 ‰

Verifica

Figura 131: Tensione tirafondi

La massima tensione di trazione presente sul tirafondo è quindi pari a 138 MPa.

Nella pagina seguente si riportano i calcoli di verifica dei tirafondi.

Calcolo portata tirafondi a testa di martello (con piatto)

Dati Azione assiale

σ_{ax}	138 MPa	Tensione massima di trazione agente sul tirafondo
N_{Ed}	21,24 kN	Azione assiale massima di trazione agente sul tirafondo

Dati bullone

CLASSE BULLONI	8.8	
TIPO BULLONE	14	
f_{yk}	640 MPa	Resistenza a snervamento dell'acciaio del bullone
f_{tk}	800 MPa	Resistenza a rottura dell'acciaio del bullone
A_s	154 mm ²	Area lorda del bullone
A_{se}	115 mm ²	Area resistente del bullone
\varnothing	14,00 mm	Diametro barra
a	77 mm	Distanza centro-barra da boia
L	80 mm	Lunghezza barra
$r = 2,5 \cdot \varnothing$	35 mm	Raggio piatto del tirafondo
r	35 mm	Raggio piatto del tirafondo

Dati piastra

ACCIAIO PIASTRA	S 235	
t	10 mm	Spessore piastra
d_f	15,00 mm	Diametro foro

Dati calcestruzzo

CLS	C30/37	Classe di calcestruzzo
R_{ck}	37 MPa	Resistenza caratteristica cubica calcestruzzo
f_{ck}	30 MPa	Resistenza caratteristica cilindrica calcestruzzo
η_1	1 [-]	$\eta_1 = 1$ condizioni di buona aderenza $\eta_1 = 0,7$ condizioni di non buona aderenza
η_2	1 [-]	Coefficiente in funzione del \varnothing della barra
$f_{cd} = 0,85 \frac{f_{ck}}{1,5}$	17,00 MPa	Resistenza a compressione di progetto calcestruzzo [4.1.2.1.1]
f_{td}	2,90 MPa	Resistenza media a trazione semplice del calcestruzzo [11.2.10.2]
$f_{t,0,05} = 0,7 f_{td}$	2,03 MPa	Resistenza a trazione caratteristica (frattile 5%)
$f_{td} = 2,25 \eta_1 \eta_2 f_{t,0,05}$	4,56 MPa	Resistenza tangenziale caratteristica di aderenza
$f_{td} = f_{td} \gamma_s$	3,04 MPa	Tensione tangenziale di aderenza acciaio-calcestruzzo

Calcolo Resistenza tirafondo

$N_{Rd,pull-out} = \frac{f_{td} \pi \varnothing L}{\left(1 + \frac{\varnothing}{a}\right)^2}$	7,66 kN	Resistenza a sfilamento = termine legato all'aderenza acciaio-calcestruzzo
$F_{t,Rd} = \frac{0,9 f_{tdk} A_{res}}{\gamma_{M2}}$	66,24 kN	Resistenza a trazione del tirafondo in acciaio
$N_{Rd,1} = \min(N_{Rd,pull-out}; F_{t,Rd})$	7,66 kN	Resistenza a sfilamento = termine legato all'aderenza acciaio-calcestruzzo
$N_{Rd,2} = f_{cd} \alpha \pi r^2$	35,69 kN	Resistenza a sfilamento = termine legato al bolzone di ancoraggio
dove: $\alpha = \begin{cases} 1 - \frac{r}{L} & \text{per } L \leq a \\ 1 - \frac{r}{a} & \text{per } L > a \end{cases}$	$\alpha = 0,55$	
$N_{Rd} = N_{Rd,1} + N_{Rd,2}$	43,35 kN	Resistenza a sfilamento
N_{Ed}/N_{Rd}	0,49 < 1	Verificato

Figura 132: Verifica dei tirafondi

23 VERIFICHE GEOTECNICHE MURI DI SOSTEGNO NAVIGLIO PAVESE

Nel seguente paragrafo si riportano i risultati delle verifiche geotecniche relative ai muri di sostegno per la pista ciclopeditonale della micro tratta del Naviglio Pavese.

Le verifiche vengono condotte secondo il paragrafo §6.5.3.1.1 delle NTC2018, secondo l'approccio 2 combinazione (A1+M1+R3).

Devono essere soddisfatte:

- Verifica di ribaltamento:
- Verifica di scorrimento sul piano di posa:
- Verifica di collasso per carico limite del complesso fondazione-terreno (schiacciamento):

23.1 MURO DI SOSTEGNO LATO NAVIGLIO PAVESE

L'altezza più significativa del muro ai fini delle verifiche si ha dalla sezione n.3 alla sezione n.9 pari a 1,45m (1,20m – altezza paramento + 0,25m ciabatta di fondazione)

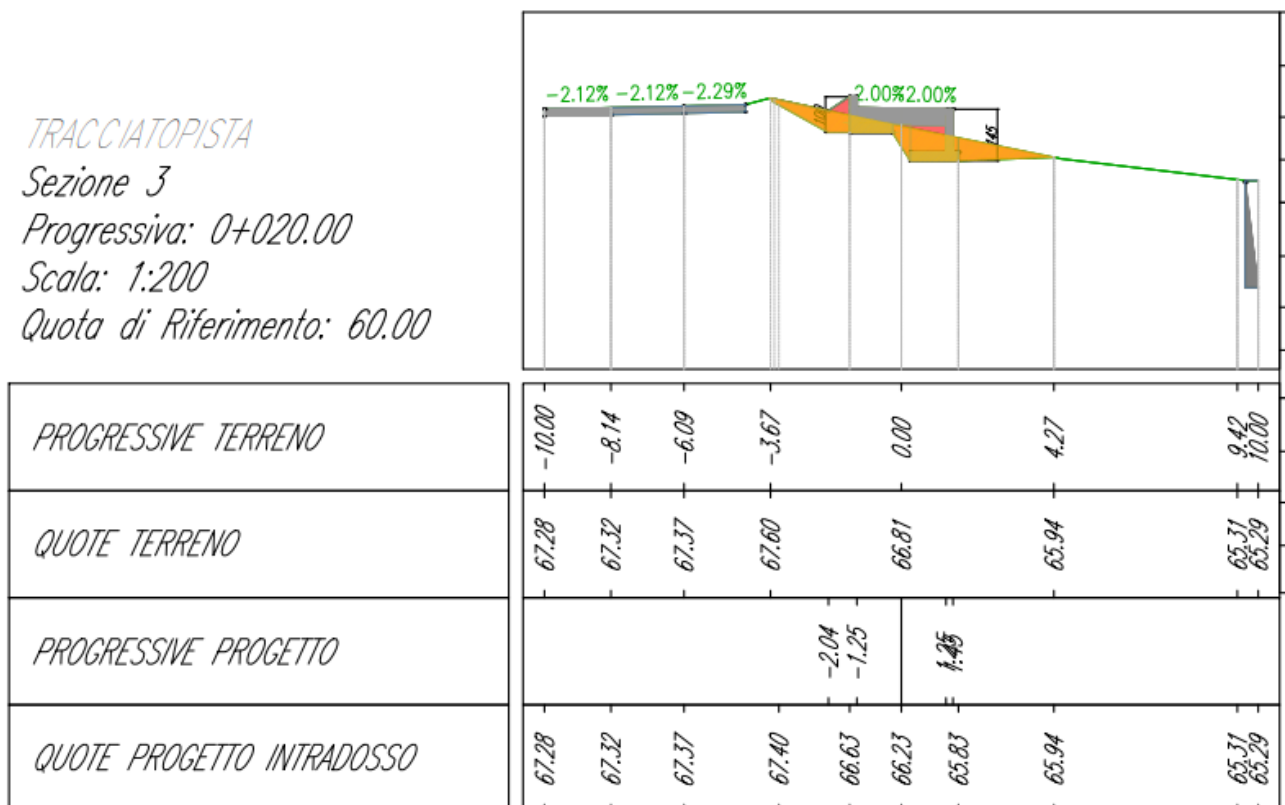


Figura 133 Tratta L3 – Microtratta Naviglio pavese – sezione trasversale n.3

Si riportano le verifiche nelle pagine seguenti.

CARATTERISTICHE FONDAZIONI

CARATTERISTICHE TERRENO

CARICHI VARIABILI

COEFFICIENTI DEI MATERIALI (M1)

CARICHI VERTICALI

PESO TERRENO

MOMENTO STABILIZZANTE

PESO TERRENO

SPINTA ORIZZONTALE

MOMENTO INSTABILIZZANTE

VERIFICA A RIBALTAMENTO

VENTO

AIPO - AGENZIA INTERREGIONALE PER IL FIUME PO
 LOTTO 2: PV-E-9-MD SERVIZI DI PROGETTAZIONE RELATIVI ALLA TRATTA L3 DA PAVIA
 A SAN ROCCO AL PORTO (LO) DELLA CICLOVIA TURISTICA NAZIONALE VENTO

PROGETTO ESECUTIVO
 RELAZIONE DI CALCOLO STRUTTURALE OPERE D'ARTE MINORI 2B-1C-1D E NAVIGLIO PAVESE

VERIFICA A SCORRIMENTO E SCHIACCIAMENTO - CONDIZIONE STATICA (A1+M1+R3)

CARATTERISTICHE FONDAZIONI

H _{fond}	0,25 m	altezza fondazione
H _{param}	1,20 m	altezza paramento verticale
H _{terreno a monte}	1,20 m	altezza terreno a monte
H _{terreno a valle}	0,00 m	altezza terreno a valle
B _{monte}	1,00 m	base mensola a monte
B _{valle}	0,15 m	base mensola a valle
B _{param}	0,20 m	larghezza paramento
B	1,35 m	larghezza fondazione
γ _{da}	25 kN/m ³	peso specifico da

CARATTERISTICHE TERRENO

γ _{terreno}	20 kN/m ³	peso specifico terreno
Φ	34,6 gradi	angolo di attrito del terreno
Φ	0,60 radianti	angolo di attrito del terreno
β	0 gradi	angolo di inclinazione terrapieno
β	0,00 radianti	angolo di inclinazione terrapieno

CARICHI VARIABILI

Q	5 kN/m ²	carico variabile pista ciclabile
---	---------------------	----------------------------------

CARICHI VERTICALI

PESO PROPRIO SPALLA

mensola a monte
 mensola a valle
 paramento verticale

area [m ² /m]	F _i [kN/m]	yA/(s _{fav}) [-]	yA/(s _{fav}) [-]	F _i (s _{fav}) [kN/m]	F _i (s _{fav}) [kN/m]
0,25	6,25	1,00	1,30	6,25	8,13
0,04	0,94	1,00	1,30	0,94	1,22
0,29	7,25	1,00	1,30	7,25	9,43

PESO TERRENO

terreno a monte
 terreno a valle

1,20	24,00	1,00	1,30	24,00	31,20
0,00	0,00	1,00	1,30	0,00	0,00
tot				38,44	49,97

Momento rispetto a centro di rotazione 0

X ₀ [m]	Y ₀ [m]	M+ (s _{fav}) [kN m/m]	M+ (s _{fav}) [kN m/m]
0,85	0,13	5,31	6,91
0,08	0,13	0,07	0,09
0,25	0,85	1,81	2,36

0,85	0,85	20,40	26,52
0,08	0,25	0,00	0,00
		27,80	36,87

Mom. stab.

APPROCCIO 2 (A1+M1+R3)

k _a	0,276	-	coefficiente di spinta attiva
k _p	3,628	-	coefficiente di spinta passiva
P _A	3,97	kN/m	spinta attiva statica

SPINTA ORIZZONTALE

spinta terreno monte sisma
 spinta indotta da carico var.

H _i [kN/m]	yA/(s _{fav}) [-]	yA/(s _{fav}) [-]	H _i [kN/m]
3,97		1,30	5,16
1,65		1,50	2,48
5,62			7,64

tot

X ₀ [m]	Y ₀ [m]
-	-0,40
-	-0,60

M- (s _{fav}) [kN m/m]
-2,06
-1,49
-3,55

Mom. Rib.

Verifica a scorrimento

F _{att}	26,52 kN	forza di attrito (N*tg(φ))
f _{rid}	1,1	-
R _d	24,106 kN	Resistenza di attrito progetto
H _{cd}	7,64 kN	Azione sollecitante
R _d /H _{cd}	3,15	Verifica

Verifica a schiacciamento

M _s	35,87 kN m	momento stabilizzante
M _R	-3,55 kN m	momento ribaltante
M	-32,32 kN m	momento in fondazione
u	0,65 m	-
g	0,028 m	-
B/6	0,23 m	e < B/6

se e < B/6

σ _{max}	32,04 kPa	pressione massima sul terreno
σ _{min}	24,91 kPa	pressione minima sul terreno
σ _{lim}	100,00 kPa	portata limite del terreno
(σ _{lim} / σ) _{lim}	1,40	-
σ _{lim} / σ	3,12	OK

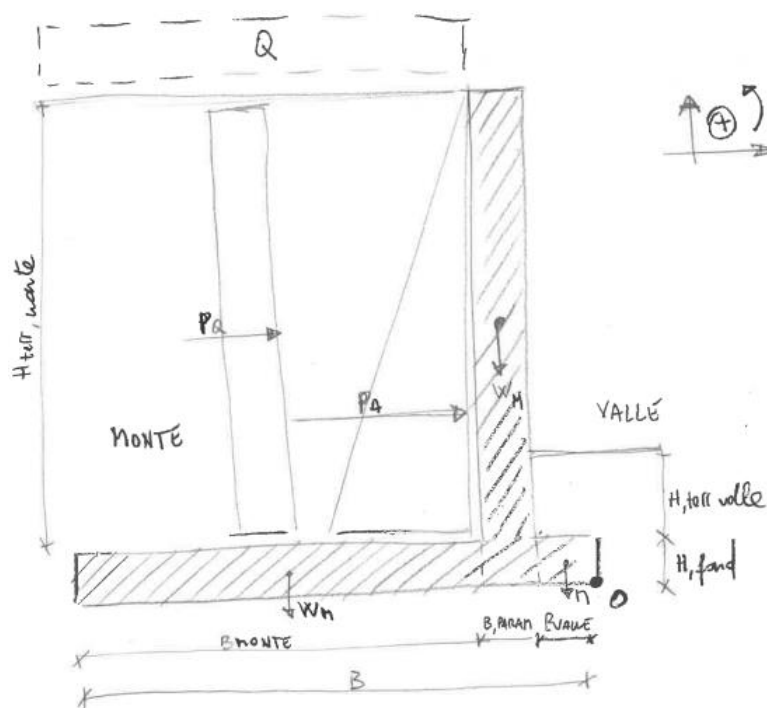


Figura 134 Tratta L3 – Microtratta Naviglio pavese – Convenzione adottata per muro lato naviglio

23.2 MURO DI SOSTEGNO LATO STRADA (VIALE VENEZIA)

L'altezza più significativa del muro ai fini delle verifiche si ha dalla sezione n.7 alla sezione n.16 pari a 1,50m (1,25m – altezza paramento + 0,25m ciabatta di fondazione)

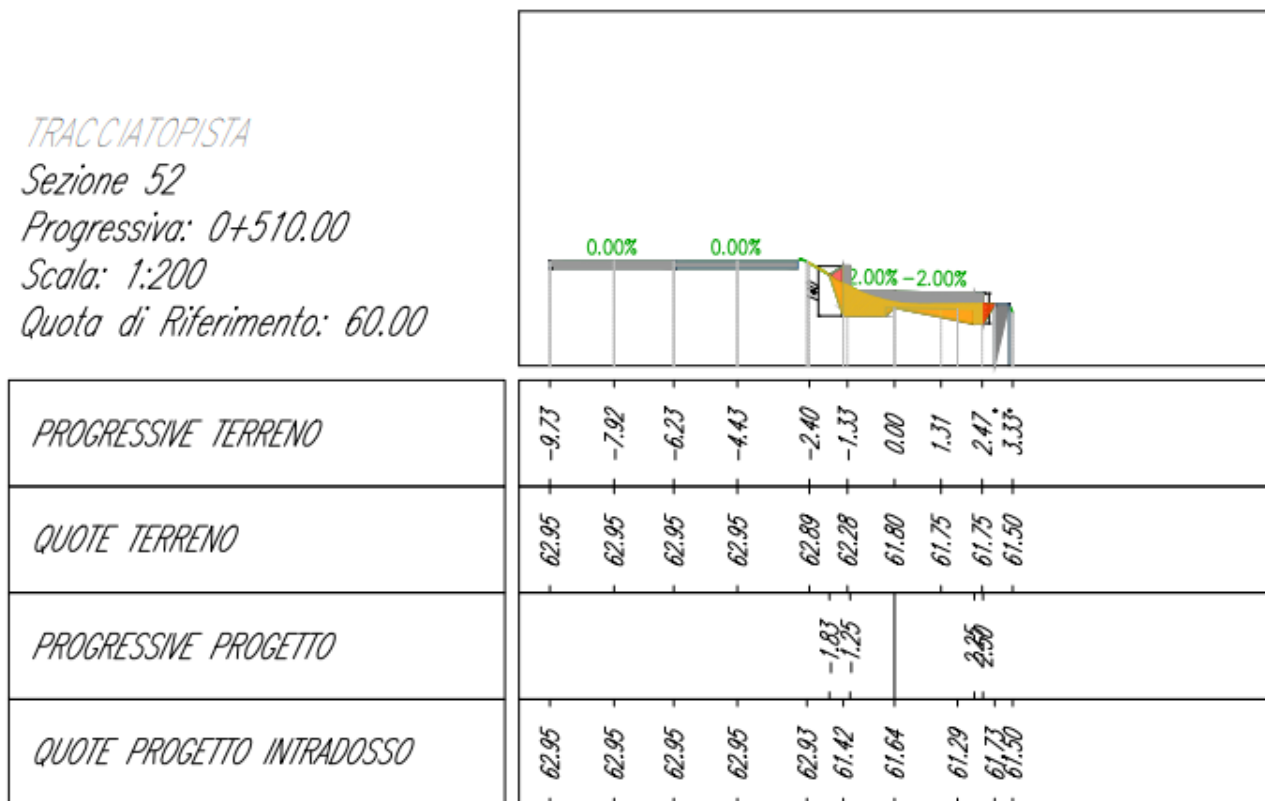


Figura 135 Tratta L3 – Microtratta Naviglio pavese – sezione trasversale n.52

Si riportano le verifiche nelle pagine seguenti.

AIPO - AGENZIA INTERREGIONALE PER IL FIUME PO
LOTTO 2: PV-E-9-MD SERVIZI DI PROGETTAZIONE RELATIVI ALLA TRATTA L3 DA PAVIA
A SAN ROCCO AL PORTO (LO) DELLA CICLOVIA TURISTICA NAZIONALE VENTO

PROGETTO ESECUTIVO
RELAZIONE DI CALCOLO STRUTTURALE OPERE D'ARTE MINORI 2B-1C-1D E NAVIGLIO PAVESE

VERIFICA A SCORRIMENTO E SCHIACCIAMENTO - CONDIZIONE STATICA (A1+M1+R3)

CARATTERISTICHE FONDAZIONI

H _{fond}	0,25 m	altezza fondazione
H _{param}	1,25 m	altezza paramento verticale
H _{terreno}	1,50 m	altezza terreno a monte
H _{terrovalle}	0,45 m	altezza terreno a valle
B _{monte}	0,00 m	base mensola a monte
B _{valle}	1,00 m	base mensola a valle
B _{param}	0,20 m	larghezza paramento
B	1,20 m	larghezza fondazione
γ _{ds}	25 kN/m ³	peso specifico ds

CARATTERISTICHE TERRENO

γ _{terreno}	20 kN/m ³	peso specifico terreno
Φ	34,6 gradi	angolo di attrito del terreno
Φ	0,60 radianti	angolo di attrito del terreno
β	0 gradi	angolo di inclinazione terrapieno
β	0,00 radianti	angolo di inclinazione terrapieno

CARICHI VARIABILI

Q	5 kN/m ²	carico variabile pista ciclabile
---	---------------------	----------------------------------

CARICHI VERTICALI

PESO PROPRIO SPALLA

mensola a monte
mensola a valle
paramento verticale

area [m ² /m]	F _i [kN/m]	γA/(fav) [-]	γA/(sfav) [-]	F _i (fav) [kN/m]	F _i (sfav) [kN/m]
0,00	0,00	1,00	1,30	0,00	0,00
0,25	6,25	1,00	1,30	6,25	8,13
0,30	7,50	1,00	1,30	7,50	9,75

Momento rispetto a centro di rotazione 0

X ₀ [m]	Y ₀ [m]	M+ (fav) [kN m/m]	M+ (sfav) [kN m/m]
1,20	0,13	0,00	0,00
0,50	0,13	3,13	4,06
1,10	0,88	8,25	10,73

PESO TERRENO

terreno a monte
terreno a valle

0,00	0,00	1,00	1,30	0,00	0,00
0,45	9,00	1,00	1,30	9,00	11,70
tot				22,75	28,58

1,20	1,00	0,00	0,00
0,50	0,48	4,50	5,85
		15,88	20,84 Mom. stab.

APPROCCIO 2 (A1+M1+R3)

k _a	0,276 -	coefficiente di spinta attiva
k _p	3,628 -	coefficiente di spinta passiva
P _A	6,20 kN/m	spinta attiva statica

SPINTA ORIZZONTALE

spinta terreno monte dsima
spinta indotta da carico var.

H _i [kN/m]	γA/(sfav) [-]	γA/(sfav) [-]	H _i [kN/m]
6,20		1,30	8,06
2,07		1,50	3,10
tot			11,16

X ₀ [m]	Y ₀ [m]
-	-0,58
-	-0,88

M- (sfav) [kN m/m]
-4,70
-2,71
-7,42 Mom. Rib.

Verifica a scorrimento

F _{at}	15,69 kN	forza di attrito (N*tg(φ))
γ _{ds}	1,1 -	
R _d	14,267 kN	Resistenza di attrito progetto
H _{ed}	11,16 kN	Azione sollecitante
R _d /H _{ed}	1,28	Verifica

Verifica a schiacciamento

M _s	20,64 kN m	momento stabilizzante
M _R	-7,42 kN m	momento ribaltante
M	13,22 kN m	momento in fondazione
z	0,45 m	
z	0,15 m	
B/6	0,20 m	e < B/6

se e < B/6

σ _{max}	33,46 kPa	pressione massima sul terreno
σ _{min}	4,46 kPa	pressione minima sul terreno
σ _{lim}	100,00 kPa	portata limite del terreno
(σ _{lim} / σ) _{lim}	1,40	
σ _{lim} / σ	2,89 OK	

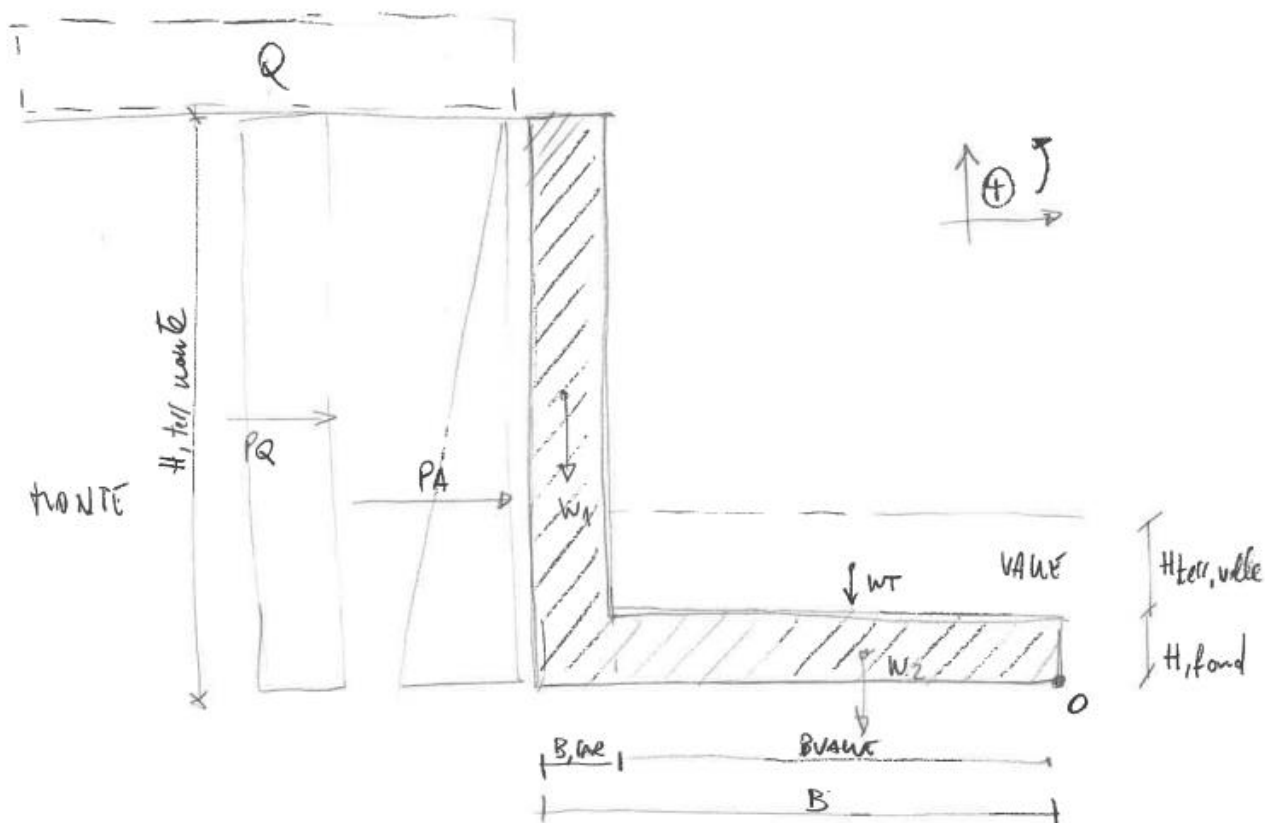


Figura 136 Tratta L3 – Microtratta Naviglio pavese – Convenzione adottata per muro lato strada Viale Venezia

24 VERIFICHE STRUTTURALI MURI DI SOSTEGNO NAVIGLIO PAVESE

Nel seguente paragrafo si riportano i risultati delle verifiche strutturali relative ai muri di sostegno per la pista ciclopedonale della micro tratta del Naviglio Pavese.

24.1 PARAMENTI VERTICALI

Le massime altezze dei muri di sostegno, sia lato Naviglio che lato strada, sono simili in quanto nel primo caso si ha dimensione pari a 1,20 m e nel secondo pari a 1,25m.

Il dimensionamento dell'armatura e relative verifiche quindi verrà eseguito considerando un'altezza di 1,25m.

24.1.1 VERIFICA A FLESSIONE

Il massimo momento d'incastro della mensola, prodotto dall'effetto di spinta ribaltante del terreno e dei carichi variabili, è pari a circa:

$$P_{A, SLU} = 1,3 \times 0,5 \times K_a \times \gamma \times H^2 = 1,3 \times 0,5 \times 0,276 \times 20 \times 1,25^2 = 8,07 \text{ kN/m}$$

$$P_{Q, SLU} = 1,5 \times K_a \times Q \times H = 1,5 \times 0,276 \times 5 \times 1,25 = 2,59 \text{ kN/m}$$

$$M_{Ed} = P_A \times H/3 + P_Q \times H/2 = 8,07 \times 1,25/3 + 2,59 \times 1,25/2 = 4,98 = \mathbf{5 \text{ kNm/m}}$$

Si assume armatura verticale (interna ed esterna) Ø12/200mm.

Calcestruzzo di classe C32/40 e classe di esposizione XC4.

Il massimo momento resistente della sezione (su lunghezza unitaria) è pari a 36,23 kNm/m.

$M_{Rd} > M_{Ed}$ la verifica è SODDISFATTA

Titolo: []

N° strati barre: 2 **Zoom**

N°	b [mm]	h [mm]
1	1000	200

N°	As [mm²]	d [mm]
1	565	35
2	565	165

Sollecitazioni
 S.L.U. **Metodo n**

N_{Ed} 0 **kN**
M_{xEd} 5 **kNm**
M_{yEd} 0 **kNm**

P.to applicazione N
☒ Centro ☐ Baricentro cls
☐ Coord.[mm] xN 0 yN 0

Tipo rottura
 Lato calcestruzzo - Acciaio snervato

Materiali
 B450C C25/30
 E_{su} 67,5 % E_{c2} 2 %
 f_{yd} 391,3 N/mm² E_{cu} 3,5
 E_s 200 000 N/mm² f_{cd} 14,17
 E_s/E_c 15 f_{cc}/f_{cd} 0,8
 E_{syd} 1,957 % σ_{c,adm} 9,75
 σ_{s,adm} 255 N/mm² τ_{co} 0,6
 τ_{c1} 1,829

M 36,23 kNm
 xRd 36,23 kNm
 σ_c -14,17 N/mm²
 σ_s 391,3 N/mm²
 ε_c 3,5 ‰
 ε_s 17,16 ‰
 d 165 mm
 x 27,95 x/d 0,1694
 ξ 0,7

Tipo Sezione
☒ Rettang. ☐ Trapezi
☐ a T ☐ Circolare
☐ Rettangoli ☐ Coord.
☐ DXF

Metodo di calcolo
☒ S.L.U. + ☐ S.L.U. -
☒ Metodo n

Tipo flessione
☒ Retta ☐ Devia

N° rett. 100
Calcola MRd **Dominio M-N**
 L₀ 0 mm **Col. modello**
M-curvatura
☐ Precompresso

Figura 137 Tratta L3 – Microtratta Naviglio pavese – Verifica a momento – paramento verticale

24.1.2 VERIFICA A TAGLIO

Taglio_nuovo_Naviglio muro.xlsx

STUDIOCALVI

VERIFICA A TAGLIO PER SEZIONI DI ELEMENTI IN C.A

	INPUT	OK	OK
	OUTPUT	NOT OK	NOT OK

CARATTERISTICHE GEOMETRICHE

b	1000,00	[mm]			
h	200,00	[mm]			
d'	35,00	[mm]			
d	165,00	[mm]			
A _c	200000,00	[mm ²]			
k	2,00	≤2			
v _{min}	0,5600	[#]			
A _{sl}	565,00	[mm ²]			
ρ _l	0,00342	≤0.02			
N _{ed}	0,00	[N]			
σ _{cp}	0,00	[N/mm ²]	≤0.2*f _{cd}		

CARATTERISTICHE MECCANICHE

R _{ck}	38,55	[MPa]			
f _{ck}	32,00	[MPa]			
f _{yk}	450,00	[MPa]			
γ _c	1,50	[#]			
γ _s	1,15	[#]			
f _{cd}	18,13	[MPa]			
f _{yd}	391,30	[MPa]			
ν	0,50	[#]			
α _c	1,00	[#]			
α	90,00	[°]			

SOLLECITAZIONE TAGLIO AGENTE

V _{Ed}	10,66	[kN]			
t _{Ed}	0,004	[#]			

Figura 138 Tratta L3 – Microtratta Naviglio pavese – Verifica a taglio – paramento verticale

Taglio_nuovo_Naviglio muro.xlsx

STUDIOCALVI

VERIFICA A TAGLIO PER SEZIONI DI ELEMENTI IN C.A

INPUT	OK
OUTPUT	NOT OK

VERIFICA SENZA ARMATURA SPECIFICA AL TAGLIO

Formula da NTC2018

$$V_{Rd} = 92,40 \text{ [kN]} \quad V_{Rd} = \min \left\{ 0,15 \cdot f_c \cdot (100 \cdot \rho_k \cdot f_{ctk} / f_c + 0,15 \cdot \rho_{sp}) \cdot b_w \cdot d; (1,5 \cdot \rho_{sp}) \cdot b_w \cdot d \right\}$$

Valore di resistenza al taglio senza armatura specifica

$$V_{Rd} = 92,40 \text{ [kN]}$$

VERIFICA CON ARMATURA SPECIFICA AL TAGLIO

Resistenza massima lato calcestruzzo

$$t_{Rcd, \max(cot\theta=1)} = 0,25 \text{ [#]}$$

Calcolo resistenza traliccio di Ritter e Morsch

ϕ_{staffa}	8 [mm]	A_{st}	50,27 [mm ²]
n. bracci	2 [#]	A_{sw}	100,53 [mm ²]
s	200 [mm]	ω_{sw}	0,011 [#]
cot θ^*	6,715	se cot θ^*	<1
cot θ	2,500		1≤cot θ^* ≤2,5
			>2,5
V_{Rcd}	464,28 [kN]	Resistenza bielle compresse	
V_{Rsd}	73,02 [kN]	Resistenza armatura trasversale	
Valore di resistenza al taglio con armatura specifica			
V_{Rd}	73,02 [kN]	t_{Rd}	0,03 [#]

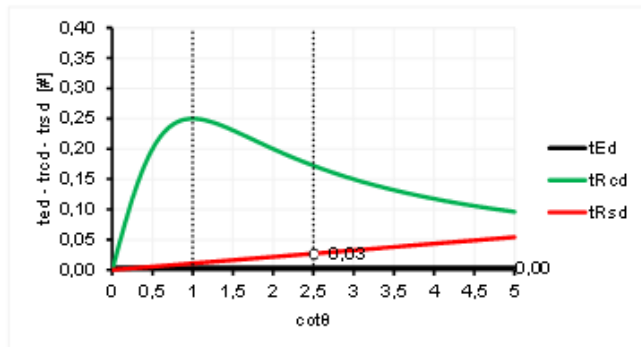


Figura 139 Tratta L3 – Microtratta Naviglio pavese – Verifica a taglio – paramento verticale

La massima azione di taglio alla sezione d'incastro del paramento verticale è pari a:

$$V_{Ed} = P_A, SLU + P_Q, SLU = 8,07 + 2,59 = 10,66 \text{ kN}$$

Il taglio resistente della sezione è pari a:

$$V_{Rd} = 73,02 \text{ kN}$$

$V_{Rd} > V_{Ed}$ La verifica risulta essere SODDISFATTA

24.2 CIABATTE DI FONDAZIONE

Il dimensionamento dell'armatura e relative verifiche verrà eseguito considerando il caso peggiore fra lato Naviglio e lato strada,

24.2.1 VERIFICHE A FLESSIONE

24.2.1.1 Lato Naviglio pavese

La σ_{\max} è pari a 32,04 kPa mentre la σ_{\min} è pari a 24,91 kPa.

Considerando una lunghezza teorica della ciabatta pari a 1,10 m si ha che il momento massimo all'incastro, per sovrapposizione degli effetti dovuti al carico ripartito e triangolare, è pari a:

$$M_i = 24,91 \times 1,10^2/2 + 5,8 \times 1,10^2/6 = 16,24 \text{ kNm/m}$$

Si assume armatura $\varnothing 12/200\text{mm}$ incrociati

Calcestruzzo di classe C32/40 e classe di esposizione XC4.

Il massimo momento resistente della sezione (su lunghezza unitaria) è pari a 36,23 kNm/m.

$M_{Rd} > M_{Ed}$ la verifica è SODDISFATTA

Titolo : _____

N° strati barre 2 **Zoom**

N°	b [mm]	h [mm]
1	1000	250

N°	As [mm²]	d [mm]
1	565	35
2	565	215

Tipologia Sezione
☒ Rettan.re ☐ Trapezi
☐ a T ☐ Circolare
☐ Rettangoli ☐ Coord.
☐ DXF

Sollecitazioni
 S.L.U. ☒ Metodo n
 N_{Ed} 0 kN
 M_{xEd} 0 kNm
 M_{yEd} 0 kNm

P.to applicazione N
☒ Centro ☐ Baricentro cls
☐ Coord.[mm] xN 0 yN 0

Tipologia rottura
 Lato calcestruzzo - Acciaio snervato

Materiali
 B450C C25/30
 ε_{su} 67.5 ‰ ε_{c2} 2 ‰
 f_{yd} 391.3 N/mm² ε_{cu} 3.5 ‰
 E_s 200 000 N/mm² f_{cd} 14.17 N/mm²
 E_s/E_c 15 f_{cc}/f_{cd} 0.8
 ε_{syd} 1.957 ‰ σ_{c,adm} 9.75 N/mm²
 σ_{s,adm} 255 N/mm² τ_{co} 0.6
 τ_{c1} 1.829

Calcolo
 M_{xRd} 47.29 kNm
 σ_c -14.17 N/mm²
 σ_s 391.3 N/mm²
 ε_c 3.5 ‰
 ε_s 23.43 ‰
 d 215 mm
 x 27.94 x/d 0.13
 δ 0.7

Metodo di calcolo
☒ S.L.U.+ ☐ S.L.U.-
☒ Metodo n

Tipologia flessione
☒ Retta ☐ Deviata

Parametri
 N° rett. 100
 L₀ 0 mm
 Col. modello
☐ Precompresso

Figura 140 Tratta L3 – Microtratta Naviglio pavese – Verifica a momento – ciabatta fondazione

24.2.1.2 Lato strada Viale Venezia

La σ_{\max} è pari a 33,46 kPa mentre la σ_{\min} è pari a 4,46 kPa.

Considerando una lunghezza teorica della ciabatta pari a 1,10 m si ha che il momento massimo all'incastro, per sovrapposizione degli effetti dovuti al carico ripartito e triangolare, è pari a:

$$M_i = 29 \times 1,10^2/3 + 4,46 \times 1,10^2/2 = 14,38 \text{ kNm/m}$$

Si assume armatura $\varnothing 12/200\text{mm}$ incrociati

Calcestruzzo di classe C32/40 e classe di esposizione XC4.

Il massimo momento resistente della sezione (su lunghezza unitaria) è pari a 36,23 kNm/m.

$M_{Rd} > M_{Ed}$ la verifica è SODDISFATTA

TITOLO : _____

N° strati barre 2 **Zoom**

N°	b [mm]	h [mm]
1	1000	250

N°	As [mm²]	d [mm]
1	565	35
2	565	215

Tipo Sezione
☒ Rettan.re ☐ Trapezi
☐ a T ☐ Circolare
☐ Rettangoli ☐ Coord.
☐ DXF

Sollecitazioni
 S.L.U. ☒ Metodo n ☐

P.to applicazione N
☒ Centro ☐ Baricentro cls
☐ Coord.[mm] xN 0 yN 0

Tipologia
 Lato calcestruzzo - Acciaio snervato

Materiali
 B450C C25/30
 ϵ_{su} 67,5 ‰ ϵ_{c2} 2 ‰
 f_{yd} 391,3 N/mm² ϵ_{cu} 3,5 ‰
 E_s 200 000 N/mm² f_{cd} 14,17 N/mm²
 E_s/E_c 15 f_{cc}/f_{cd} 0,8
 ϵ_{syd} 1,957 ‰ $\sigma_{c,adm}$ 9,75 N/mm²
 $\sigma_{s,adm}$ 255 N/mm² τ_{co} 0,6
 τ_{c1} 1,829

Metodo di calcolo
☒ S.L.U. + ☐ S.L.U. - ☐ Metodo n

Tipo flessione
☒ Retta ☐ Deviata

N° rett. 100

Calcola MRd **Dominio M-N**

L₀ 0 mm **Col. modello**

M-curvatura

☐ Precompresso

Risultati:
 M_{xRd} 47,29 kN m
 σ_c -14,17 N/mm²
 σ_s 391,3 N/mm²
 ϵ_c 3,5 ‰
 ϵ_s 23,43 ‰
 d 215 mm
 x 27,94 mm x/d 0,13
 δ 0,7

Figura 141 Tratta L3 – Microtratta Naviglio pavese – Verifica a momento – ciabatta fondazione

24.2.2 VERIFICHE A TAGLIO

24.2.2.1 Lato Naviglio pavese

Taglio_nuovo_Naviglio ciabatta.xlsx

STUDIOCALVI

VERIFICA A TAGLIO PER SEZIONI DI ELEMENTI IN C.A

	INPUT		OK
	OUTPUT		NOT OK

CARATTERISTICHE GEOMETRICHE

b	1000,00	[mm]			
h	250,00	[mm]			
d'	35,00	[mm]			
d	215,00	[mm]			
A _c	250000,00	[mm ²]			
k	1,96	≤2			
V _{min}	0,5452	[#]			
A _{stl}	565,00	[mm ²]			
ρ _i	0,00263	≤0.02			
N _{ed}	0,00	[N]			
σ _{cp}	0,00	[N/mm ²]	≤0.2*f _{cd}		

CARATTERISTICHE MECCANICHE

R _{ck}	38,55	[MPa]			
f _{ck}	32,00	[MPa]			
f _{yk}	450,00	[MPa]			
γ _c	1,50	[#]			
γ _s	1,15	[#]			
f _{cd}	18,13	[MPa]			
f _{yd}	391,30	[MPa]			
v	0,50	[#]			
α _c	1,00	[#]			
α	90,00	[°]			

SOLLECITAZIONE TAGLIO AGENTE

V _{Ed}	30,59	[kN]			
t _{Ed}	0,009	[#]			

Figura 142 Tratta L3 – Microtratta Naviglio pavese – Verifica a taglio – ciabatta di fondazione

Taglio_nuovo_Naviglio ciabatta.xlsx

STUDIOCALVI

VERIFICA A TAGLIO PER SEZIONI DI ELEMENTI IN C.A

	INPUT		OK
	OUTPUT		NOT OK

VERIFICA SENZA ARMATURA SPECIFICA AL TAGLIO

Formula da NTC2018	
V_{Rd}	$117,21 \text{ [kN]}$ $V_{Rd} = \min \left\{ 0,15 \cdot k \cdot f_{ctd} \cdot d^2 / f_{ctd} + 0,15 \cdot \sigma_{cp} \cdot d; (k_{max} + 0,15 \cdot \sigma_{cp}) \cdot d \cdot d \right\}$
Valore di resistenza al taglio senza armatura specifica	
V_{Rd}	117,21 [kN]

La massima azione di taglio alla sezione d 'incastro del paramento verticale è pari a:

$$V_{Ed} = 24,91 \times 1,10 + 5,80 \times 1,10/2 = 30,59 \text{ kN}$$

Il taglio resistente, per sezioni senza armatura specifica, della sezione è pari a:

$$V_{Rd} = 117,21 \text{ kN}$$

$V_{Rd} > V_{Ed}$ La verifica risulta essere SODDISFATTA

24.2.2.2 Lato strada – Viale Venezia

Taglio_nuovo_Naviglio ciabatta.xlsx

STUDIOCALVI

VERIFICA A TAGLIO PER SEZIONI DI ELEMENTI IN C.A

	INPUT		OK
	OUTPUT		NOT OK

CARATTERISTICHE GEOMETRICHE

b	1000,00 [mm]				
h	250,00 [mm]				
d'	35,00 [mm]				
d	215,00 [mm]				
A _c	250000,00 [mm ²]				
k	1,96 ≤2				
v _{min}	0,5452 [#]				
A _{cl}	565,00 [mm ²]				
ρ _l	0,00263 ≤0.02				
N _{ed}	0,00 [N]				
σ _{cp}	0,00 [N/mm ²]	≤0.2*f _{cd}			

CARATTERISTICHE MECCANICHE

R _{ck}	38,55 [MPa]				
f _{ck}	32,00 [MPa]				
f _{yk}	450,00 [MPa]				
γ _c	1,50 [#]				
γ _s	1,15 [#]				
f _{cd}	18,13 [MPa]				
f _{yd}	391,30 [MPa]				
v	0,50 [#]				
α _c	1,00 [#]				
α	90,00 [°]				

SOLLECITAZIONE TAGLIO AGENTE

V _{Ed}	20,86 [kN]				
t _{Ed}	0,006 [#]				

Figura 143 Tratta L3 – Microtratta Naviglio pavese – Verifica a taglio – ciabatta di fondazione

Taglio_nuovo_Naviglio ciabatta.xlsx

STUDIOCALVI

VERIFICA A TAGLIO PER SEZIONI DI ELEMENTI IN C.A

	INPUT		OK
	OUTPUT		NOT OK

VERIFICA SENZA ARMATURA SPECIFICA AL TAGLIO

Formula da NTC2018	
V_{Rd}	$117,21 \text{ [kN]}$ $V_{Rd} = \min \left\{ 0,18 \cdot k \cdot f_{ctd} \cdot d^2 / f_{ctd} + 0,15 \cdot \sigma_{cp} \right\} \cdot k_w \cdot d; (1,5 \cdot \sigma_{cp}) \cdot k_w \cdot d \}$
Valore di resistenza al taglio senza armatura specifica	
V_{Rd}	117,21 [kN]

La massima azione di taglio alla sezione d 'incastro del paramento verticale è pari a:

$$V_{Ed} = 29 \times 1,10/2 + 4,46 \times 1,10 = 20,86 \text{ kN}$$

Il taglio resistente, per sezioni senza armatura specifica, della sezione è pari a:

$$V_{Rd} = 117,21 \text{ kN}$$

$V_{Rd} > V_{Ed}$ La verifica risulta essere SODDISFATTA